



Ministerstwo  
Cyfryzacji

**INSTYTUT ŁĄCZNOŚCI**  
PAŃSTWOWY INSTYTUT BADAWCZY

# RAPORT Z POMIARÓW PEM

Pomiary pól elektromagnetycznych (PEM) wytwarzanych  
przez stacje bazowe telefonii komórkowej

Etap III – pomiary na terenie całego kraju

Warszawa, grudzień 2018



**METRYKA**

<b>Dane</b>	<b>Opis</b>
Tytuł dokumentu	<b>RAPORT Z POMIARÓW PEM</b> Pomiary pól elektromagnetycznych (PEM) wytwarzanych przez stacje bazowe telefonii komórkowej. Etap III – pomiary na terenie całego kraju
Autor dokumentu	Instytut Łączności – Państwowy Instytut Badawczy (IŁ-PIB)
Nr pracy IŁ-PIB	01.10.1.01.01.8
Nr Zadania/Podzadania	1/1
Nazwa Zadania	Prace w obszarze zastosowania technik radiowych
Nazwa Podzadania	Pomiary pól elektromagnetycznych (PEM) wytwarzanych przez stacje bazowe telefonii komórkowej - kontynuacja prac z 2016 i 2017 r.
Umowa dotacji celowej	Nr 1/DT/2018 z dnia 21 maja 2018 r.
Rodzaj dokumentu	Produkt podzadania 1.1 – Raport z pomiarów PEM
Załączniki	<b>Załącznik 1.</b> Sprawozdania z badań w otoczeniu stacji bazowych telefonii komórkowej – 96 szt. (pdf – wersja elektroniczna) <b>Załącznik 2.</b> Sprawozdania z badań w otoczeniu punktów dostępnych do sieci RLAN 2,4 GHz oraz 5 GHz w placówkach szkolnych – 32 szt. (pdf – wersja elektroniczna)

**SPIS TREŚCI**

WYKAZ TABLIC.....	6
WYKAZ RYSUNKÓW.....	11
WYKAZ SKRÓTÓW .....	12
WYKAZ AKTÓW PRAWNYCH .....	13
<b>1. WPROWADZENIE .....</b>	<b>14</b>
1.1 Podstawa opracowania .....	14
1.2 Zakres podzadania.....	14
1.3 Zakres opracowania i cel pracy .....	15
<b>2. PODSUMOWANIE, WNIOSKI, REKOMENDACJE .....</b>	<b>17</b>
<b>3. PRZYGOTOWANIE DO WYKONANIA POMIARÓW .....</b>	<b>22</b>
3.1 Przedmiot i cel analiz dokumentacji stacji bazowych .....	22
3.2 Założenia i kryteria typowania lokalizacji stacji bazowych do pomiarów .....	22
3.3 Metodyka badań dokumentacji stacji bazowych .....	23
3.4 Założenia i kryteria typowania placówek szkolnych do pomiarów .....	24
3.5 Metodyka przygotowania do pomiarów w placówkach szkolnych.....	24
3.6 Lokalizacje stacji bazowych wskazane do przeprowadzenia pomiarów PEM.....	25
3.7 Placówki szkolne wskazane do przeprowadzenia pomiarów PEM .....	34
<b>4. REALIZACJA POMIARÓW PEM.....</b>	<b>35</b>
4.1 Przedmiot pomiarów .....	35
4.2 Zakres pomiarów .....	35
4.3 Wykonawcy badań .....	42
4.4 Aparatura i oprzyrządowanie wykorzystane do badań .....	44
4.5 Metody pomiarowe.....	45
<b>5. WYNIKI POMIARÓW – SBTk.....</b>	<b>46</b>
5.1 Białystok, Nowowarszawska .....	47
5.2 Białystok, Jałbrzykowskiego .....	49
5.3 Białystok, NMP Królowej Rodzin .....	51
5.4 Białystok, Jana Pawła II.....	53
5.5 Białystok, Świętojańska .....	55
5.6 Białystok, Mickiewicza.....	57
5.7 Bydgoszcz, Gdańska.....	59
5.8 Bydgoszcz, Grzymały-Siedleckiego .....	61
5.9 Bydgoszcz, Żeglarska .....	63
5.10 Bydgoszcz, Chodkiewicza.....	65
5.11 Bydgoszcz, Poznańska .....	67
5.12 Bydgoszcz, Jaskólcza.....	69
5.13 Gdańsk, Prezydenta Lecha Kaczyńskiego .....	71
5.14 Gdańsk, Jagiellońska.....	73
5.15 Gdańsk, Grunwaldzka.....	75
5.16 Gdańsk, Zielone Wzgórze .....	77
5.17 Gdańsk, Siennicka.....	79
5.18 Gdańsk, Rozłogi .....	81
5.19 Katowice, Bocheńskiego.....	83
5.20 Katowice, Graniczna .....	85
5.21 Katowice, Bytkowska .....	87
5.22 Katowice, Siemianowicka .....	89
5.23 Katowice, Grodowa .....	91
5.24 Katowice, Gawronów .....	93
5.25 Kielce, Warszawska .....	95

---

5.26	Kielce, Sienkiewicza .....	97
5.27	Kielce, Kredowa/Massalskiego .....	99
5.28	Kielce, Szczecińska .....	101
5.29	Kielce, Sikorskiego .....	103
5.30	Kielce, Solidarności .....	105
5.31	Kraków, Zaborska .....	107
5.32	Kraków, Wąska .....	109
5.33	Kraków, Krzemionki .....	111
5.34	Kraków, Dobrzycka .....	113
5.35	Kraków, Waszyngtona .....	115
5.36	Kraków, Przy Rondzie .....	117
5.37	Lublin, Koncertowa .....	119
5.38	Lublin, Dragonów .....	121
5.39	Lublin, Jaczewskiego .....	123
5.40	Lublin, Nałęczowska .....	125
5.41	Lublin, Pogodna .....	127
5.42	Lublin, Działkowa .....	129
5.43	Łódź, Wólczańska .....	131
5.44	Łódź, Matejki .....	133
5.45	Łódź, Chóralna .....	135
5.46	Łódź, Sandomierska .....	137
5.47	Łódź, Limanowskiego .....	139
5.48	Łódź, 6 Sierpnia .....	141
5.49	Olsztyn, Dybowskiiego .....	143
5.50	Olsztyn, Bajkowa .....	145
5.51	Olsztyn, Głowackiego .....	147
5.52	Olsztyn, Pl. Łódzki .....	149
5.53	Olsztyn, Pstrowskiego .....	151
5.54	Olsztyn, Grunwaldzka .....	153
5.55	Opole, Nowowiejskiego .....	156
5.56	Opole, Sosnowskiego .....	158
5.57	Opole, Jerzego i Ryszarda Kowalczyków .....	160
5.58	Opole, Wschodnia .....	162
5.59	Opole, Korfantego .....	164
5.60	Opole, Wrocławska .....	166
5.61	Poznań, Dąbrowskiego .....	168
5.62	Poznań, Unii Lubelskiej .....	170
5.63	Poznań, Warszawska .....	172
5.64	Poznań, Przetajowa .....	174
5.65	Poznań, Szymanowskiego .....	176
5.66	Poznań, Bałtycka .....	178
5.67	Rzeszów, Ćwiklińskiej .....	180
5.68	Rzeszów, Powstańców W-wy .....	182
5.69	Rzeszów, Boya-Żeleńskiego .....	184
5.70	Rzeszów, Lwowska .....	186
5.71	Rzeszów, Krakowska .....	188
5.72	Rzeszów, Reja .....	190
5.73	Szczecin, Dmowskiego .....	192
5.74	Szczecin, Poznańska .....	195
5.75	Szczecin, Santocka .....	197
5.76	Szczecin, Jagiełły .....	199
5.77	Szczecin, Komuny Paryskiej .....	201

---

5.78	Szczecin, Niemierzyńska .....	203
5.79	Warszawa, Karowa .....	205
5.80	Warszawa, Wspólna .....	207
5.81	Warszawa, Jana Pawła II 18.....	210
5.82	Warszawa, Kopernika .....	212
5.83	Warszawa, Jana Pawła II 34.....	214
5.84	Warszawa, Krucza.....	216
5.85	Wrocław, Szczytnicka .....	218
5.86	Wrocław, Pl. Grunwaldzki.....	220
5.87	Wrocław, Trzebnicka .....	222
5.88	Wrocław, Strzegomska .....	224
5.89	Wrocław, Szczecińska .....	226
5.90	Wrocław, Kuźnicza.....	228
5.91	Zielona Góra, Wrocławska.....	230
5.92	Zielona Góra, Przylep-Solidarności.....	232
5.93	Zielona Góra, Zjednoczenia .....	234
5.94	Zielona Góra, Strzelecka .....	236
5.95	Zielona Góra, Ptasia.....	238
5.96	Zielona Góra, Dąbrowskiego .....	240
<b>6.</b>	<b>PODSUMOWANIE I WNIOSKI Z POMIARÓW – SBTK.....</b>	<b>243</b>
<b>7.</b>	<b>WYNIKI POMIARÓW – RLAN .....</b>	<b>256</b>
7.1	Województwo dolnośląskie, Wrocław, Worcella.....	257
7.2	Województwo dolnośląskie, Wrocław, Dawida .....	258
7.3	Województwo kujawsko-pomorskie, Witoldowo .....	259
7.4	Województwo kujawsko-pomorskie, Inowrocław, Kopernika .....	260
7.5	Województwo lubelskie, Drzewce-Kolonia .....	261
7.6	Województwo lubelskie, Zofiówka.....	262
7.7	Województwo lubuskie, Zielona Góra, Szosa Kisielińska .....	263
7.8	Województwo lubuskie, Zielona Góra, św. Kingi .....	264
7.9	Województwo łódzkie, Betdów .....	265
7.10	Województwo łódzkie, Popów, Poznańska .....	266
7.11	Województwo małopolskie, Brzoskwinia.....	268
7.12	Województwo małopolskie, Kraków, Telimeny .....	268
7.13	Województwo mazowieckie, Warszawa, Ciasna.....	269
7.14	Województwo mazowieckie, Warszawa, Cieszyńska .....	270
7.15	Województwo opolskie, Dąbrowa .....	272
7.16	Województwo opolskie, Niemodlin .....	273
7.17	Województwo podkarpackie, Brzezówka .....	273
7.18	Województwo podkarpackie, Rzeszów, Hetmańska .....	274
7.19	Województwo podlaskie, Białystok, Broniewskiego .....	275
7.20	Województwo podlaskie, Białystok, Piastowska.....	277
7.21	Województwo pomorskie, Gdańsk, Głęboka .....	278
7.22	Województwo pomorskie, Starogard Gdański, Dominika.....	279
7.23	Województwo śląskie, Katowice, Mickiewicza.....	280
7.24	Województwo śląskie, Katowice, Bolesława Chrobrego .....	282
7.25	Województwo świętokrzyskie, Kielce, Zagórska .....	282
7.26	Województwo świętokrzyskie, Kielce, Aleja Legionów .....	283
7.27	Województwo warmińsko-mazurskie, Olsztyn, Bałtycka.....	285
7.28	Województwo warmińsko-mazurskie, Olsztyn, Żołnierska.....	288
7.29	Województwo wielkopolskie, Poznań, Prądczyńskiego.....	290
7.30	Województwo wielkopolskie, Poznań, Bydgoska.....	291
7.31	Województwo zachodniopomorskie, Szczecin, Pomorska.....	292

7.32	Województwo zachodniopomorskie, Szczecin, Hoża.....	293
<b>8.</b>	<b>PODSUMOWANIE I WNIOSKI Z POMIARÓW – RLAN .....</b>	<b>295</b>

### WYKAZ TABLIC

Tabl. 1	Lokalizacje w Białymstoku .....	25
Tabl. 2	Lokalizacje w Bydgoszczy .....	25
Tabl. 3	Lokalizacje w Gdańsku .....	26
Tabl. 4	Lokalizacje w Katowicach .....	27
Tabl. 5	Lokalizacje w Kielcach .....	27
Tabl. 6	Lokalizacje w Krakowie .....	28
Tabl. 7	Lokalizacje w Lublinie .....	29
Tabl. 8	Lokalizacje w Łodzi.....	29
Tabl. 9	Lokalizacje w Olsztynie .....	29
Tabl. 10	Lokalizacje w Opolu .....	30
Tabl. 11	Lokalizacje w Poznaniu .....	31
Tabl. 12	Lokalizacje w Rzeszowie .....	31
Tabl. 13	Lokalizacje w Szczecinie .....	32
Tabl. 14	Lokalizacje w Warszawie .....	33
Tabl. 15	Lokalizacje we Wrocławiu.....	33
Tabl. 16	Lokalizacje w Zielonej Górze.....	34
Tabl. 17	Lokalizacje stacji bazowych uzgodnione do wykonania pomiarów PEM .....	36
Tabl. 18	Lokalizacje placówek szkolnych uzgodnionych do pomiarów PEM.....	40
Tabl. 19	Wykaz aparatury pomiarowej – pomiary SBTK– zespół IŁ-PIB w Warszawie.....	44
Tabl. 20	Wykaz aparatury pomiarowej – pomiary SBTK – zespół IŁ-PIB we Wrocławiu .....	44
Tabl. 21	Wykaz aparatury pomiarowej – pomiary RLAN– zespół IŁ-PIB w Warszawie .....	44
Tabl. 22	Wykaz aparatury pomiarowej – pomiary RLAN – zespół IŁ-PIB we Wrocławiu .....	44
Tabl. 23	Wyniki pomiarów szerokopasmowych – Białystok, Nowowarszawska.....	47
Tabl. 24	Wyniki pomiarów selektywnych – Białystok, Nowowarszawska.....	48
Tabl. 25	Wyniki pomiarów szerokopasmowych – Białystok, Jałbrzykowskiego.....	49
Tabl. 26	Wyniki pomiarów selektywnych – Białystok, Jałbrzykowskiego.....	50
Tabl. 27	Wyniki pomiarów szerokopasmowych – Białystok, NMP Królowej Rodzin.....	51
Tabl. 28	Wyniki pomiarów selektywnych – Białystok, NMP Królowej Rodzin .....	52
Tabl. 29	Wyniki pomiarów szerokopasmowych – Białystok, Jana Pawła II .....	54
Tabl. 30	Wyniki pomiarów selektywnych – Białystok, Jana Pawła II.....	54
Tabl. 31	Wyniki pomiarów szerokopasmowych – Białystok, Świętojańska .....	56
Tabl. 32	Wyniki pomiarów selektywnych – Białystok, Świętojańska .....	57
Tabl. 33	Wyniki pomiarów szerokopasmowych – Białystok, Mickiewicza .....	58
Tabl. 34	Wyniki pomiarów selektywnych – Białystok, Mickiewicza .....	59
Tabl. 35	Wyniki pomiarów szerokopasmowych – Bydgoszcz, Gdańska .....	60
Tabl. 36	Wyniki pomiarów selektywnych – Bydgoszcz, Gdańska .....	61
Tabl. 37	Wyniki pomiarów szerokopasmowych – Bydgoszcz, Grzymały-Siedleckiego .....	62
Tabl. 38	Wyniki pomiarów selektywnych – Bydgoszcz, Grzymały-Siedleckiego .....	63
Tabl. 39	Wyniki pomiarów szerokopasmowych – Bydgoszcz, Żeglarska.....	64
Tabl. 40	Wyniki pomiarów selektywnych – Bydgoszcz, Żeglarska.....	65
Tabl. 41	Wyniki pomiarów szerokopasmowych – Bydgoszcz, Chodkiewicza.....	66
Tabl. 42	Wyniki pomiarów selektywnych – Bydgoszcz, Chodkiewicza.....	67
Tabl. 43	Wyniki pomiarów szerokopasmowych – Bydgoszcz, Poznańska.....	68
Tabl. 44	Wyniki pomiarów selektywnych – Bydgoszcz, Poznańska.....	69
Tabl. 45	Wyniki pomiarów szerokopasmowych – Bydgoszcz, Jaskólcza .....	70
Tabl. 46	Wyniki pomiarów selektywnych – Bydgoszcz, Jaskólcza .....	71
Tabl. 47	Wyniki pomiarów szerokopasmowych – Gdańsk, Prezydenta Lecha Kaczyńskiego.....	72
Tabl. 48	Wyniki pomiarów selektywnych – Gdańsk, Prezydenta Lecha Kaczyńskiego .....	73

Tabl. 49 Wyniki pomiarów szerokopasmowych – Gdańsk, Jagiellońska .....	74
Tabl. 50 Wyniki pomiarów selektywnych – Gdańsk, Jagiellońska .....	75
Tabl. 51 Wyniki pomiarów szerokopasmowych – Gdańsk, Grunwaldzka .....	76
Tabl. 52 Wyniki pomiarów selektywnych – Gdańsk, Grunwaldzka .....	77
Tabl. 53 Wyniki pomiarów szerokopasmowych – Gdańsk, Zielone Wzgórze.....	78
Tabl. 54 Wyniki pomiarów selektywnych – Gdańsk, Zielone Wzgórze .....	79
Tabl. 55 Wyniki pomiarów szerokopasmowych – Gdańsk, Siennicka .....	80
Tabl. 56 Wyniki pomiarów selektywnych – Gdańsk, Siennicka .....	81
Tabl. 57 Wyniki pomiarów szerokopasmowych – Gdańsk, Rozłogi.....	82
Tabl. 58 Wyniki pomiarów selektywnych – Gdańsk, Rozłogi .....	83
Tabl. 59 Wyniki pomiarów szerokopasmowych – Katowice, Bocheńskiego .....	84
Tabl. 60 Wyniki pomiarów selektywnych – Katowice, Bocheńskiego .....	85
Tabl. 61 Wyniki pomiarów szerokopasmowych – Katowice, Graniczna .....	86
Tabl. 62 Wyniki pomiarów selektywnych – Katowice, Graniczna .....	87
Tabl. 63 Wyniki pomiarów szerokopasmowych – Katowice, Bytkowska .....	88
Tabl. 64 Wyniki pomiarów selektywnych – Katowice, Bytkowska .....	89
Tabl. 65 Wyniki pomiarów szerokopasmowych – Katowice, Siemianowicka .....	90
Tabl. 66 Wyniki pomiarów selektywnych – Katowice, Siemianowicka .....	91
Tabl. 67 Wyniki pomiarów szerokopasmowych – Katowice, Grodowa .....	92
Tabl. 68 Wyniki pomiarów selektywnych – Katowice, Grodowa .....	93
Tabl. 69 Wyniki pomiarów szerokopasmowych – Katowice, Gawronów.....	94
Tabl. 70 Wyniki pomiarów selektywnych – Katowice, Gawronów.....	95
Tabl. 71 Wyniki pomiarów szerokopasmowych – Kielce, Warszawska.....	96
Tabl. 72 Wyniki pomiarów selektywnych – Kielce, Warszawska.....	97
Tabl. 73 Wyniki pomiarów szerokopasmowych – Kielce, Sienkiewicza .....	98
Tabl. 74 Wyniki pomiarów selektywnych – Kielce, Sienkiewicza .....	99
Tabl. 75 Wyniki pomiarów szerokopasmowych – Kielce, Kredowa/Massalskiego .....	100
Tabl. 76 Wyniki pomiarów selektywnych – Kielce, Kredowa/Massalskiego .....	101
Tabl. 77 Wyniki pomiarów szerokopasmowych – Kielce, Szczecińska .....	102
Tabl. 78 Wyniki pomiarów selektywnych – Kielce, Szczecińska .....	103
Tabl. 79 Wyniki pomiarów szerokopasmowych – Kielce, Sikorskiego .....	104
Tabl. 80 Wyniki pomiarów selektywnych – Kielce, Sikorskiego .....	105
Tabl. 81 Wyniki pomiarów szerokopasmowych – Kielce, Solidarności .....	106
Tabl. 82 Wyniki pomiarów selektywnych – Kielce, Solidarności .....	107
Tabl. 83 Wyniki pomiarów szerokopasmowych – Kraków, Zaborska.....	108
Tabl. 84 Wyniki pomiarów selektywnych – Kraków, Zaborska .....	109
Tabl. 85 Wyniki pomiarów szerokopasmowych – Kraków, Wąska .....	110
Tabl. 86 Wyniki pomiarów selektywnych – Kraków, Wąska .....	111
Tabl. 87 Wyniki pomiarów szerokopasmowych – Kraków, Krzemionki .....	112
Tabl. 88 Wyniki pomiarów selektywnych – Kraków, Krzemionki .....	113
Tabl. 89 Wyniki pomiarów szerokopasmowych – Kraków, Dobrzycka .....	114
Tabl. 90 Wyniki pomiarów selektywnych – Kraków, Dobrzycka .....	115
Tabl. 91 Wyniki pomiarów szerokopasmowych – Kraków, Waszyngtona .....	116
Tabl. 92 Wyniki pomiarów selektywnych – Kraków, Waszyngtona .....	117
Tabl. 93 Wyniki pomiarów szerokopasmowych – Kraków, Przy Rondzie.....	118
Tabl. 94 Wyniki pomiarów selektywnych – Kraków, Przy Rondzie .....	119
Tabl. 95 Wyniki pomiarów szerokopasmowych – Lublin, Koncertowa .....	120
Tabl. 96 Wyniki pomiarów selektywnych – Lublin, Koncertowa .....	121
Tabl. 97 Wyniki pomiarów szerokopasmowych – Lublin, Dragonów.....	122
Tabl. 98 Wyniki pomiarów selektywnych – Lublin, Dragonów.....	123
Tabl. 99 Wyniki pomiarów szerokopasmowych – Lublin, Jaczewskiego .....	124
Tabl. 100 Wyniki pomiarów selektywnych – Lublin, Jaczewskiego.....	125

Tabl. 101 Wyniki pomiarów szerokopasmowych – Lublin, Nałęczowska.....	126
Tabl. 102 Wyniki pomiarów selektywnych – Lublin, Nałęczowska .....	127
Tabl. 103 Wyniki pomiarów szerokopasmowych – Lublin, Pogodna .....	128
Tabl. 104 Wyniki pomiarów selektywnych – Lublin, Pogodna .....	129
Tabl. 105 Wyniki pomiarów szerokopasmowych – Lublin, Działkowa.....	130
Tabl. 106 Wyniki pomiarów selektywnych – Lublin, Działkowa.....	131
Tabl. 107 Wyniki pomiarów szerokopasmowych – Łódź, Wólczańska.....	132
Tabl. 108 Wyniki pomiarów selektywnych – Łódź, Wólczańska.....	133
Tabl. 109 Wyniki pomiarów szerokopasmowych – Łódź, Matejki .....	134
Tabl. 110 Wyniki pomiarów selektywnych – Łódź, Matejki .....	135
Tabl. 111 Wyniki pomiarów szerokopasmowych – Łódź, Chóralna .....	136
Tabl. 112 Wyniki pomiarów selektywnych – Łódź, Chóralna .....	137
Tabl. 113 Wyniki pomiarów szerokopasmowych – Łódź, Sandomierska .....	138
Tabl. 114 Wyniki pomiarów selektywnych – Łódź, Sandomierska .....	139
Tabl. 115 Wyniki pomiarów szerokopasmowych – Łódź, Limanowskiego.....	140
Tabl. 116 Wyniki pomiarów selektywnych – Łódź, Limanowskiego.....	141
Tabl. 117 Wyniki pomiarów szerokopasmowych – Łódź, 6 Sierpnia.....	142
Tabl. 118 Wyniki pomiarów selektywnych – Łódź, 6 Sierpnia.....	143
Tabl. 119 Wyniki pomiarów szerokopasmowych – Olsztyn, Dybowskiego.....	144
Tabl. 120 Wyniki pomiarów selektywnych – Olsztyn, Dybowskiego.....	145
Tabl. 121 Wyniki pomiarów szerokopasmowych – Olsztyn, Bajkowa.....	146
Tabl. 122 Wyniki pomiarów selektywnych – Olsztyn, Bajkowa.....	147
Tabl. 123 Wyniki pomiarów szerokopasmowych – Olsztyn, Głowackiego.....	148
Tabl. 124 Wyniki pomiarów selektywnych – Olsztyn, Głowackiego.....	149
Tabl. 125 Wyniki pomiarów szerokopasmowych – Olsztyn, Pl. Łódzki .....	150
Tabl. 126 Wyniki pomiarów selektywnych – Olsztyn, Pl. Łódzki .....	151
Tabl. 127 Wyniki pomiarów szerokopasmowych – Olsztyn, Pstrowskiego .....	152
Tabl. 128 Wyniki pomiarów selektywnych – Olsztyn, Pstrowskiego.....	153
Tabl. 129 Wyniki pomiarów szerokopasmowych – Olsztyn, Grunwaldzka .....	154
Tabl. 130 Wyniki pomiarów selektywnych – Olsztyn, Grunwaldzka .....	155
Tabl. 131 Wyniki pomiarów szerokopasmowych – Opole, Nowowiejskiego.....	156
Tabl. 132 Wyniki pomiarów selektywnych – Opole, Nowowiejskiego.....	157
Tabl. 133 Wyniki pomiarów szerokopasmowych – Opole, Sosnowskiego.....	158
Tabl. 134 Wyniki pomiarów selektywnych – Opole, Sosnowskiego.....	159
Tabl. 135 Wyniki pomiarów szerokopasmowych – Opole, Jerzego i Ryszarda Kowalczyków.....	160
Tabl. 136 Wyniki pomiarów selektywnych – Opole, Jerzego i Ryszarda Kowalczyków.....	161
Tabl. 137 Wyniki pomiarów szerokopasmowych – Opole, Wschodnia.....	162
Tabl. 138 Wyniki pomiarów selektywnych – Opole, Wschodnia .....	163
Tabl. 139 Wyniki pomiarów szerokopasmowych – Opole, Korfantego .....	165
Tabl. 140 Wyniki pomiarów selektywnych – Opole, Korfantego .....	165
Tabl. 141 Wyniki pomiarów szerokopasmowych – Opole, Wrocławska.....	167
Tabl. 142 Wyniki pomiarów selektywnych – Opole, Wrocławska.....	167
Tabl. 143 Wyniki pomiarów szerokopasmowych –Poznań, Dąbrowskiego .....	169
Tabl. 144 Wyniki pomiarów selektywnych – Poznań, Dąbrowskiego .....	170
Tabl. 145 Wyniki pomiarów szerokopasmowych –Poznań, Unii Lubelskiej .....	171
Tabl. 146 Wyniki pomiarów selektywnych – Poznań, Unii Lubelskiej.....	172
Tabl. 147 Wyniki pomiarów szerokopasmowych – Poznań, Warszawska .....	173
Tabl. 148 Wyniki pomiarów selektywnych – Poznań, Warszawska .....	174
Tabl. 149 Wyniki pomiarów szerokopasmowych – Poznań, Przetajowa.....	175
Tabl. 150 Wyniki pomiarów selektywnych – Poznań, Przetajowa.....	176
Tabl. 151 Wyniki pomiarów szerokopasmowych – Poznań, Szymanowskiego.....	177
Tabl. 152 Wyniki pomiarów selektywnych – Poznań, Szymanowskiego.....	178



Tabl. 153 Wyniki pomiarów szerokopasmowych – Poznań, Bałtycka.....	179
Tabl. 154 Wyniki pomiarów selektywnych – Poznań, Bałtycka.....	180
Tabl. 155 Wyniki pomiarów szerokopasmowych – Rzeszów, Ćwiklińskiej.....	181
Tabl. 156 Wyniki pomiarów selektywnych – Rzeszów, Ćwiklińskiej.....	182
Tabl. 157 Wyniki pomiarów szerokopasmowych – Rzeszów, Powstańców W-wy.....	183
Tabl. 158 Wyniki pomiarów selektywnych – Rzeszów, Powstańców W-wy .....	184
Tabl. 159 Wyniki pomiarów szerokopasmowych – Rzeszów, Boya-Żeleńskiego .....	185
Tabl. 160 Wyniki pomiarów selektywnych – Rzeszów, Boya-Żeleńskiego .....	186
Tabl. 161 Wyniki pomiarów szerokopasmowych – Rzeszów, Lwowska.....	187
Tabl. 162 Wyniki pomiarów selektywnych – Rzeszów, Lwowska.....	188
Tabl. 163 Wyniki pomiarów szerokopasmowych – Rzeszów, Krakowska .....	189
Tabl. 164 Wyniki pomiarów selektywnych – Rzeszów, Krakowska .....	190
Tabl. 165 Wyniki pomiarów szerokopasmowych – Rzeszów, Reja .....	191
Tabl. 166 Wyniki pomiarów selektywnych – Rzeszów, Reja .....	192
Tabl. 167 Wyniki pomiarów szerokopasmowych –Szczecin, Dmowskiego .....	193
Tabl. 168 Wyniki pomiarów selektywnych – Szczecin, Dmowskiego .....	194
Tabl. 169 Wyniki pomiarów szerokopasmowych – Szczecin, Poznańska .....	195
Tabl. 170 Wyniki pomiarów selektywnych – Szczecin, Poznańska.....	196
Tabl. 171 Wyniki pomiarów szerokopasmowych – Szczecin, Santocka .....	197
Tabl. 172 Wyniki pomiarów selektywnych – Szczecin, Santocka .....	198
Tabl. 173 Wyniki pomiarów szerokopasmowych – Szczecin, Jagiełły .....	199
Tabl. 174 Wyniki pomiarów selektywnych – Szczecin, Jagiełły .....	200
Tabl. 175 Wyniki pomiarów szerokopasmowych – Szczecin, Komuny Paryskiej .....	202
Tabl. 176 Wyniki pomiarów selektywnych – Szczecin, Komuny Paryskiej .....	202
Tabl. 177 Wyniki pomiarów szerokopasmowych – Szczecin, Niemierzyńska .....	204
Tabl. 178 Wyniki pomiarów selektywnych – Szczecin, Niemierzyńska .....	205
Tabl. 179 Wyniki pomiarów szerokopasmowych – Warszawa, Karowa .....	206
Tabl. 180 Wyniki pomiarów selektywnych – Warszawa, Karowa .....	207
Tabl. 181 Wyniki pomiarów szerokopasmowych – Warszawa, Wspólna .....	208
Tabl. 182 Wyniki pomiarów selektywnych – Warszawa, Wspólna .....	209
Tabl. 183 Wyniki pomiarów szerokopasmowych – Warszawa, Jana Pawła II 18.....	210
Tabl. 184 Wyniki pomiarów selektywnych – Warszawa, Jana Pawła II 18.....	211
Tabl. 185 Wyniki pomiarów szerokopasmowych – Warszawa, Kopernika .....	212
Tabl. 186 Wyniki pomiarów selektywnych – Warszawa, Kopernika .....	213
Tabl. 187 Wyniki pomiarów szerokopasmowych – Warszawa, Jana Pawła II 34.....	214
Tabl. 188 Wyniki pomiarów selektywnych – Warszawa, Jana Pawła II 34.....	215
Tabl. 189 Wyniki pomiarów szerokopasmowych – Warszawa, Krucza.....	216
Tabl. 190 Wyniki pomiarów selektywnych – Warszawa, Krucza.....	217
Tabl. 191 Wyniki pomiarów szerokopasmowych – Wrocław, Szczytnicka.....	219
Tabl. 192 Wyniki pomiarów selektywnych – Wrocław, Szczytnicka .....	219
Tabl. 193 Wyniki pomiarów szerokopasmowych – Wrocław, Pl. Grunwaldzki.....	221
Tabl. 194 Wyniki pomiarów selektywnych – Wrocław, Pl. Grunwaldzki.....	221
Tabl. 195 Wyniki pomiarów szerokopasmowych – Wrocław, Trzebnicka .....	223
Tabl. 196 Wyniki pomiarów selektywnych – Wrocław, Trzebnicka .....	224
Tabl. 197 Wyniki pomiarów szerokopasmowych – Wrocław, Strzegomska .....	225
Tabl. 198 Wyniki pomiarów selektywnych – Wrocław, Strzegomska .....	226
Tabl. 199 Wyniki pomiarów szerokopasmowych – Wrocław, Szczecińska .....	227
Tabl. 200 Wyniki pomiarów selektywnych – Wrocław, Szczecińska .....	228
Tabl. 201 Wyniki pomiarów szerokopasmowych – Wrocław, Kuźnicza.....	229
Tabl. 202 Wyniki pomiarów selektywnych – Wrocław, Kuźnicza.....	230
Tabl. 203 Wyniki pomiarów szerokopasmowych – Zielona Góra, Wrocławska.....	231
Tabl. 204 Wyniki pomiarów selektywnych – Zielona Góra, Wrocławska.....	232

Tabl. 205 Wyniki pomiarów szerokopasmowych – Zielona Góra, Przylep-Solidarności .....	233
Tabl. 206 Wyniki pomiarów selektywnych – Zielona Góra, Przylep-Solidarności .....	234
Tabl. 207 Wyniki pomiarów szerokopasmowych – Zielona Góra, Zjednoczenia .....	235
Tabl. 208 Wyniki pomiarów selektywnych – Zielona Góra, Zjednoczenia .....	236
Tabl. 209 Wyniki pomiarów szerokopasmowych – Zielona Góra, Strzelecka .....	237
Tabl. 210 Wyniki pomiarów selektywnych – Zielona Góra, Strzelecka .....	238
Tabl. 211 Wyniki pomiarów szerokopasmowych – Zielona Góra, Ptasia .....	239
Tabl. 212 Wyniki pomiarów selektywnych – Zielona Góra, Ptasia .....	240
Tabl. 213 Wyniki pomiarów szerokopasmowych – Zielona Góra, Dąbrowskiego .....	241
Tabl. 214 Wyniki pomiarów selektywnych – Zielona Góra, Dąbrowskiego .....	242
Tabl. 215 Piony pomiarowe z przekroczeniami (pomiar selektywny): $E > 7 \text{ V/m}$ .....	244
Tabl. 216 Piony pomiarowe z możliwymi przekroczeniami (pomiar selektywny): $E < 7 \text{ V/m}$ , $E+U\%$ > $7 \text{ V/m}$ .....	244
Tabl. 217 Zestawienie liczby przypadków możliwych przekroczeń na terenie województw .....	246
Tabl. 218 Zestawienie liczby przypadków możliwych przekroczeń w poszczególnych lokalizacjach .....	247
Tabl. 219 Maksymalne wartości poziomu natężenia pola elektrycznego w lokalizacjach .....	248
Tabl. 220 Stwierdzone i możliwe przekroczenia dopuszczalnego poziomu $7 \text{ V/m}$ . $E$ i udział $E_{BS}$ .....	251
Tabl. 221 Przekroczenia dopuszczalnego poziomu $7 \text{ V/m}$ . $E_{BS}$ i udział operatorów (piony) .....	253
Tabl. 222 Wyniki pomiarów selektywnych – województwo dolnośląskie, Wrocław, Worcella .....	257
Tabl. 223 Wyniki pomiarów selektywnych – województwo dolnośląskie, Wrocław, Dawida .....	258
Tabl. 224 Wyniki pomiarów selektywnych – województwo kujawsko-pomorskie, Witoldowo .....	259
Tabl. 225 Wyniki pomiarów selektywnych – województwo kujawsko-pomorskie, Inowrocław, Kopernika .....	260
Tabl. 226 Wyniki pomiarów selektywnych – województwo lubelskie, Drzewce-Kolonia .....	261
Tabl. 227 Wyniki pomiarów selektywnych – województwo lubelskie, Zofiówka .....	263
Tabl. 228 Wyniki pomiarów selektywnych – województwo lubuskie, Zielona Góra, Szosa Kisielińska .....	264
Tabl. 229 Wyniki pomiarów selektywnych – województwo lubuskie, Zielona Góra, św. Kingi .....	265
Tabl. 230 Wyniki pomiarów selektywnych – województwo łódzkie, Bełdów .....	266
Tabl. 231 Wyniki pomiarów selektywnych – województwo łódzkie, Popów, Poznańska .....	267
Tabl. 232 Wyniki pomiarów selektywnych – województwo małopolskie, Brzoskwinia .....	268
Tabl. 233 Wyniki pomiarów selektywnych – województwo małopolskie, Kraków, Telimeny .....	269
Tabl. 234 Wyniki pomiarów selektywnych – województwo mazowieckie, Warszawa, Ciasna .....	270
Tabl. 235 Wyniki pomiarów selektywnych – województwo mazowieckie, Warszawa, Cieszyńska .....	271
Tabl. 236 Wyniki pomiarów selektywnych – województwo opolskie, Dąbrowa .....	272
Tabl. 237 Wyniki pomiarów selektywnych – województwo opolskie, Niemodlin, Reymonta .....	273
Tabl. 238 Wyniki pomiarów selektywnych – województwo podkarpackie, Brzezówka .....	274
Tabl. 239 Wyniki pomiarów selektywnych – województwo podkarpackie, Rzeszów, Hetmańska .....	274
Tabl. 240 Wyniki pomiarów selektywnych – województwo podlaskie, Białystok, Broniewskiego .....	276
Tabl. 241 Wyniki pomiarów selektywnych – województwo podlaskie, Białystok, Piastowska .....	277
Tabl. 242 Wyniki pomiarów selektywnych – województwo pomorskie, Gdańsk, Głęboka .....	278
Tabl. 243 Wyniki pomiarów selektywnych – województwo pomorskie, Starogard Gdański, Dominika .....	279
Tabl. 244 Wyniki pomiarów selektywnych – województwo śląskie, Katowice, Mickiewicza .....	281
Tabl. 245 Wyniki pomiarów selektywnych – województwo śląskie, Katowice, Bolesława Chrobrego .....	282
Tabl. 246 Wyniki pomiarów selektywnych – województwo świętokrzyskie, Kielce, Zagórska .....	283
Tabl. 247 Wyniki pomiarów selektywnych – województwo świętokrzyskie, Kielce, Aleja Legionów .....	284
Tabl. 248 Wyniki pomiarów selektywnych – województwo warmińsko-mazurskie, Olsztyn, Bałtycka .....	285
Tabl. 249 Wyniki pomiarów selektywnych – województwo warmińsko-mazurskie, Olsztyn, Żołnierska .....	288
Tabl. 250 Wyniki pomiarów selektywnych – województwo wielkopolskie, Poznań, Prądyńskiego 53 .....	290
Tabl. 251 Wyniki pomiarów selektywnych – województwo wielkopolskie, Poznań, Bydgoska .....	291
Tabl. 252 Wyniki pomiarów selektywnych – województwo zachodniopomorskie, Szczecin, Pomorska .....	292
Tabl. 253 Wyniki pomiarów selektywnych – województwo zachodniopomorskie, Szczecin, Hoża .....	293
Tabl. 254 Maksymalne wartości poziomu natężenia pola elektrycznego w otoczeniu punktów dostępowych RLAN .....	296

## WYKAZ RYSUNKÓW

Rys. 1 Porównanie udziału wyników z możliwymi przekroczeniami z roku 2017 i 2018 .....	17
Rys. 2 Liczba punktów pomiarowych bez przekroczeń i z możliwymi przekroczeniami .....	18
Rys. 3 Podział zadań pomiędzy wykonawców .....	43
Rys. 4 Obrazowanie wyników pomiarów PEM – przykład: lokalizacje SBTK w Warszawie.....	254
Rys. 5 Obrazowanie wyników pomiarów PEM – przykład: lokalizacja SBTK z możliwym przekroczeniem dopuszczanego poziomu PEM .....	255
Rys. 6 Obrazowanie wyników pomiarów PEM – przykład: placówki oświatowe z RLAN.....	298
Rys. 7 Obrazowanie wyników pomiarów PEM – przykład: wybrana placówka oświatowa .....	298

## WYKAZ SKRÓTÓW

Skrót	Rozwinięcie
DVB-T	<i>Digital Video Broadcasting – Terrestrial</i> – naziemna telewizja cyfrowa
EIRP	<i>Equivalent Isotropic Radiated Power</i> – równoważna moc promieniowana izotropowo
IŁ-PIB	Instytut Łączności – Państwowy Instytut Badawczy
LTE	<i>Long Term Evolution</i> – system komórkowy czwartej generacji
MC	Ministerstwo Cyfryzacji
PEM	pola elektromagnetyczne
PKiN	Pałac Kultury i Nauki
Poś	Prawo ochrony środowiska
RF EMF	<i>Radio Frequency Electromagnetic Field</i> – pole elektromagnetyczne o częstotliwości radiowej
RLAN	<i>Radio Local Area Network</i> – radiowa sieć lokalna
RTCN	Radiowo-Telewizyjne Centrum Nadawcze
SBTK	Stacja Bazowa Telefonii Komórkowej
SP	Starostwo Powiatowe
SRM-3006	selektywny miernik pól promieniowanych ( <i>Selective Radiation Meter</i> )
UKE	Urząd Komunikacji Elektronicznej
UM	Urząd Miasta
UM/SP	urząd miasta/starostwo powiatowe
UMTS	<i>Universal Mobile Telecommunications System</i> – system komórkowy trzeciej generacji

### WYKAZ AKTÓW PRAWNYCH

- [1] Ustawa z dnia 27 kwietnia 2001 r. – Prawo ochrony środowiska (Dz. U. z 2017 r. poz. 519)
- [2] Rozporządzenie Ministra Środowiska z dnia 30 października 2003 r. w sprawie dopuszczalnych poziomów pól elektromagnetycznych w środowisku oraz sposobów sprawdzania dotrzymania tych poziomów (Dz. U. poz. 1883)<sup>1</sup>
- [3] Rozporządzenie Ministra Środowiska z dnia 2 lipca 2010 r. w sprawie rodzajów instalacji, których eksploatacja wymaga zgłoszenia (Dz. U. poz. 880)
- [4] Rozporządzenie Ministra Środowiska z dnia 2 lipca 2010 r. w sprawie zgłoszenia instalacji wytwarzających pola elektromagnetyczne (Dz. U. poz. 879)
- [5] Ustawa z dnia 20 lipca 1991 r. o Inspekcji Ochrony Środowiska (Dz. U. z 2016 r. poz. 1688)
- [6] Rozporządzenie Ministra Środowiska z dnia 12 listopada 2007 r. w sprawie zakresu i sposobu prowadzenia okresowych badań poziomów pól elektromagnetycznych w środowisku (Dz. U. poz. 1645)
- [7] Rozporządzenie Ministra Środowiska z dnia 21 września 2015 r. w sprawie systemu informatycznego Inspekcji Ochrony Środowiska „Ekoinfonet” (Dz.U. poz. 1584)
- [8] Ustawa z dnia 3 października 2008 r. o udostępnianiu informacji o środowisku i jego ochronie, udziale społeczeństwa w ochronie środowiska oraz o ocenach oddziaływania na środowisko (Dz. U. z 2017 r. poz. 1405)
- [9] Rozporządzenie Ministra Środowiska z dnia 22 września 2010 r. w sprawie wzoru oraz zawartości i układu publicznie dostępnego wykazu danych o dokumentach zawierających informacji o środowisku i jego ochronie (Dz. U. poz. 1249)
- [10] Rozporządzenie Ministra Środowiska z dnia 23 listopada 2010 r. w sprawie sposobu i częstotliwości aktualizacji informacji o środowisku (Dz. U. poz. 1485)
- [11] Rozporządzenie Rady Ministrów z dnia 9 listopada 2010 r. w sprawie przedsięwzięć mogących znacząco oddziaływać na środowisko (Dz. U. z 2016 r. poz. 71)

Powyżej wskazane zostały akty prawne ściśle związane z przedmiotem niniejszego Raportu tj. badaniami i analizami dotyczącymi dopuszczalnych poziomów pól elektromagnetycznych (PEM).

---

<sup>1</sup> Rozporządzenie bazuje na Zaleceniu Rady Europejskiej z dnia 12 lipca 1999 r. w sprawie ograniczania ekspozycji ludności w polach elektromagnetycznych o częstotliwościach od 0 Hz do 300 GHz (1999/519/EC), przyjmując bardziej rygorystyczne wartości dopuszczalne.

## 1. WPROWADZENIE

### 1.1 Podstawa opracowania

Umowa dotacji celowej Nr 1/DT/2018 z dnia 21 maja 2018 r.

Zadanie nr 1: *Prace w obszarze zastosowanie technik radiowych.*

Podzadanie nr 1: *Pomiary pól elektromagnetycznych (PEM) wytwarzanych przez stacje bazowe telefonii komórkowej – kontynuacja prac z 2016 i 2017 r.*

### 1.2 Zakres podzadania

Podzadanie było kontynuacją prac wykonanych w 2016 r. oraz w 2017 r.

Celem podzadania było wykonanie pomiarów poziomów promieniowania elektromagnetycznego (PEM) w otoczeniu stacji bazowych telefonii komórkowej, a także w otoczeniu punktów dostępowych do sieci WiFi 2,4 GHz oraz WLAN 5 GHz.

Zakres podzadania nr 1 pn.: *Pomiary pól elektromagnetycznych (PEM) wytwarzanych przez stacje bazowe telefonii komórkowej - kontynuacja prac z 2016 i 2017 r., obejmował:*

- wykonanie pomiarów poziomów PEM:
  - w otoczeniu stacji bazowych telefonii komórkowej w 6 lokalizacjach w każdym z 16 województw (łącznie 96 lokalizacji) – w tym dwie lokalizacje na terenach miejskich, gdzie jest duża emisja pola elektromagnetycznego ze źródeł takich jak radary, RTCN;
  - w otoczeniu punktów dostępowych do sieci WiFi 2,4 GHz oraz WLAN 5 GHz w 2 placówkach szkolnych w każdym z 16 województw (łącznie 32 lokalizacje);
- przygotowanie do wykonania pomiarów poziomów PEM obejmujące:
  - pozyskanie i przeanalizowanie dokumentacji odnośnie stacji bazowych telefonii komórkowej, wytypowanych według kryteriów zgodnych z opracowanym w 2017 r. Programem badań, przedłożonej do organów właściwych w sprawach ochrony środowiska oraz pozwoleń radiowych wydanych przez Prezesa Urzędu Komunikacji Elektronicznej;
  - wytypowanie 6 lokalizacji stacji bazowych telefonii komórkowej na terenie każdego województwa do wykonania selektywnych pomiarów poziomów PEM w otoczeniu tych stacji, w miejscach ogólnie dostępnych dla ludności;
  - uzgodnienie wytypowanych lokalizacji stacji bazowych telefonii komórkowej z MC;
  - wytypowanie 2 placówek szkolnych na terenie każdego województwa do wykonania pomiarów poziomów PEM w otoczeniu punktów dostępowych do sieci WiFi 2,4 GHz oraz WLAN 5 GHz, z wykorzystaniem listy placówek szkolnych udostępnionej przez MC;
- przedstawienie wyników wszystkich pomiarów poziomów PEM w formie sprawozdań z badań (osobne sprawozdanie dla każdej lokalizacji);
- zobrazowanie graficzne (na mapie) danych pomiarowych z kampanii pomiarowych PEM zrealizowanych w 2016 r., 2017 r. oraz w 2018 r.;

- przeprowadzenie badań przesiewowych wpływu PEM na zdrowie człowieka oraz opracowanie raportu z przeprowadzonych badań;
- zaktualizowanie Raportu pt. „Aspekty medyczne i biofizyczne promieniowania elektromagnetycznego o częstotliwości radiowej” z roku 2016 informacjami i odniesieniem do badań w zakresie wpływu PEM przeprowadzonych w latach 2017-2018;
- przeprowadzenie analizy i opracowanie raportu dotyczącego sposobów monitoringu PEM w krajach UE;
- prowadzenie tematycznej strony, poświęconej zagadnieniom z obszaru PEM: [pem.itl.waw.pl](http://pem.itl.waw.pl), polegające na:
  - publikowaniu aktualnych wyników prac prowadzonych przez Instytut łączności w obszarze PEM;
  - przygotowaniu, zamieszczaniu i aktualizacji informacji (np. analiz, raportów, przedruków artykułów) dotyczących PEM, które, podobnie jak wymienione powyżej, przyczynia się do podniesienia świadomości i wiedzy obywateli w obszarze różnorodnych aspektów związanych z promieniowaniem elektromagnetycznym;
- opracowanie Raportu końcowego z realizacji zadania.

### 1.3 Zakres opracowania i cel pracy

Niniejsze opracowanie stanowi jeden z produktów podzadania 1.1 pn. **Raport z pomiarów PEM**, nazywany dalej Raportem i wraz załącznikami przedstawia:

- wyniki oraz wnioski z wykonanych pomiarów PEM dla wytypowanych i uzgodnionych lokalizacji stacji bazowych (łącznie 96 lokalizacji) na obszarze 16 województw – rozdział 5 i rozdział 6 Raportu oraz **Załącznik 1**;
- wyniki oraz wnioski z wykonanych pomiarów PEM w otoczeniu punktów dostępnych sieci RLAN 2,4 GHz oraz 5 GHz dla wytypowanych lokalizacji placówek szkolnych (łącznie 32 lokalizacje) na obszarze 16 województw – rozdział 7 i rozdział 8 Raportu oraz **Załącznik 2**.

Pomiary pól elektromagnetycznych w otoczeniu stacji bazowych telefonii komórkowej miały na celu:

- zweryfikowanie czy w miejscach dostępnych dla ludności w otoczeniu instalacji antenowych stacji bazowych ustalona wartość skuteczna natężenia składowej elektrycznej pola elektromagnetycznego nie przekracza wartości dopuszczalnej 7 V/m;
- wskazanie liczby przypadków (lokalizacji/punktów pomiarowych) w których stwierdzone zostało wystąpienie lub możliwość wystąpienia natężenia PEM o wartości równej lub wyższej od wartości dopuszczalnej 7 V/m;
- wykonania analizy wyników pomiarów selektywnych pozwalającej na precyzyjne zidentyfikowanie i wskazanie źródeł zarejestrowanych składowych PEM (zakres częstotliwości, operator, system/usługa), w przypadku uzyskania wyników przekraczających wartość dopuszczalną;
- uwzględnienie w planach pomiarowych lokalizacji w pobliżu których znajdują się obiekty o dużej emisji pola elektromagnetycznego, takich jak radary, RTCN;

- uzyskanie większej ilości danych dla przyszłej, kompleksowej oceny zmian poziomów pól elektromagnetycznych w środowisku.

Pomiary poziomów PEM w otoczeniu punktów dostępowych sieci RLAN 2,4 GHz oraz 5 GHz miały na celu:

- zweryfikowanie czy w otoczeniu tych punktów dostępowych, ustalona wartość skuteczna natężenia składowej elektrycznej pola elektromagnetycznego nie przekracza wartości dopuszczalnej 7 V/m;
- wskazanie liczby przypadków (lokalizacji/punktów pomiarowych) w których stwierdzone zostało wystąpienie lub możliwość wystąpienia natężenia PEM o wartości równej lub wyższej od wartości dopuszczalnej 7 V/m.



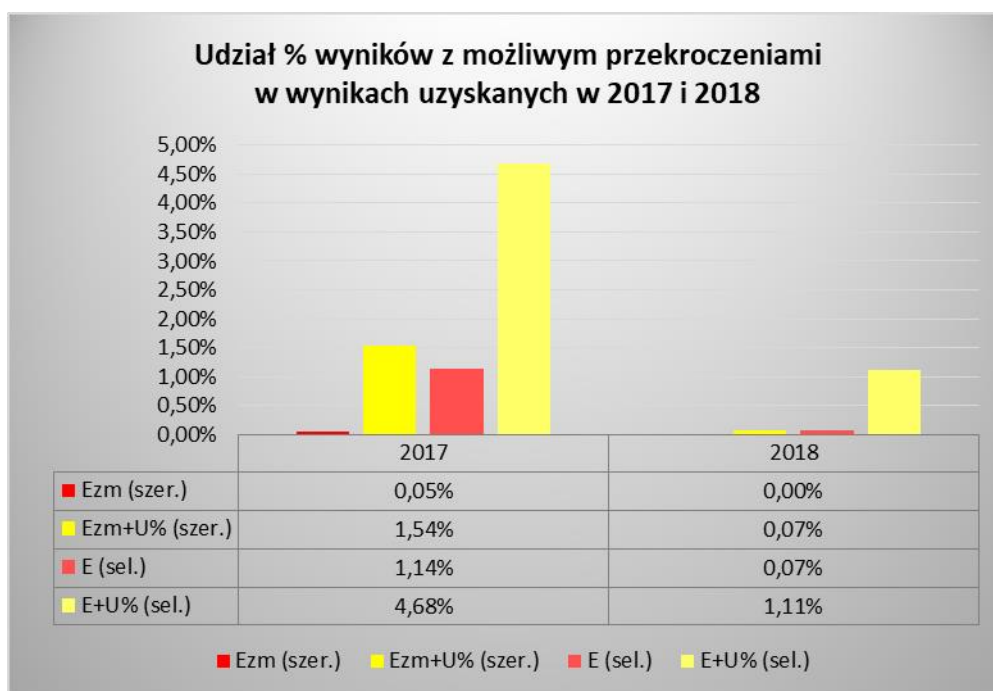
## 2. PODSUMOWANIE, WNIOSKI, REKOMENDACJE

Przeprowadzone pomiary szerokopasmowe i selektywne pozwoliły na ocenę zgodności określonych wartości skutecznych natężenia składowej elektrycznej pola elektromagnetycznego w otoczeniu instalacji antenowych stacji bazowych z wartością dopuszczalną (7 V/m), określoną w *Rozporządzeniu Ministra Środowiska z dnia 30 października 2003 r. w sprawie dopuszczalnych poziomów pól elektromagnetycznych w środowisku oraz sposobów sprawdzania dotrzymania tych poziomów*, dla badanych lokalizacji.

Uzyskane wyniki pomiarów PEM można uznać za zadawalające. Wyniki pomiarów szerokopasmowych, odzwierciedlające wartości natężenia pól elektromagnetycznych występujących w środowisku przy normalnej pracy SBTK, wskazują, że wartość dopuszczalna w środowisku (7 V/m) nie jest przekraczana. Dla porównania, w pomiarach wykonywanych w roku 2017, stwierdzono jedno takie przekroczenie.

Ponadto, porównując wyniki z pomiarów z roku 2017, wykonywanych łącznie w 2 010 punktach pomiarowych w 64 lokalizacjach, do wyników uzyskanych w roku 2018, dla 96 lokalizacji i 2 880 punktów pomiarowych, stwierdza się istotną poprawę.

Porównanie udziału procentowego liczby punktów pomiarowych, w których stwierdzono możliwe przekroczenia wartości dopuszczalnej, w łącznej liczbie punktów pomiarowych w danej kampanii pomiarowej, w 2017 r. i 2018 r., ilustruje Rys. 1.



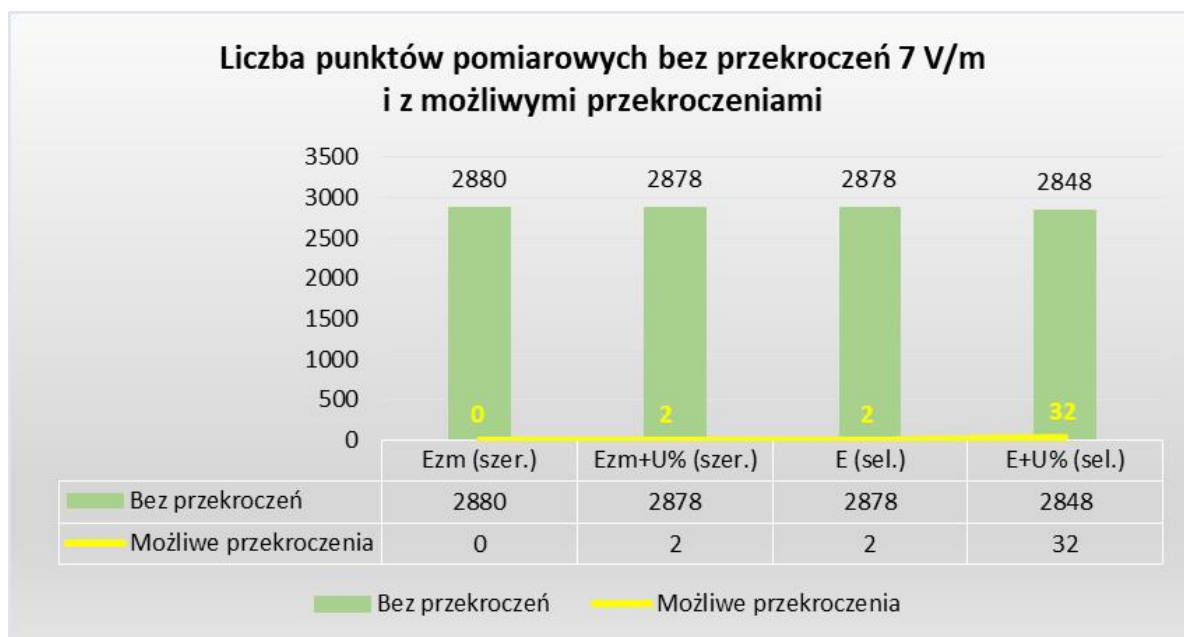
Rys. 1 Porównanie udziału wyników z możliwymi przekroczeniami z roku 2017 i 2018

Zidentyfikowane, nieliczne nawet przypadki możliwych przekroczeń wartości dopuszczalnych, oznaczają potrzebę stałego monitorowania stanu w tym zakresie, szczególnie wobec szybko postępującego rozwoju technologii oraz spodziewanego wzrostu liczby instalacji wytwarzających pola elektromagnetyczne, nie tylko będących stacjami bazowymi telefonii komórkowej (SBTK).

I tak, przeprowadzając badania w 96 lokalizacjach na terenie całego kraju, głównie w miastach wojewódzkich, w wyniku wykonanych pomiarów oraz przeprowadzonych obliczeń, przy łącznej liczbie 2 880 punktów pomiarowych, stwierdzono następujące liczby przypadków możliwych przekroczeń poziomu natężenia pola elektrycznego powyżej dopuszczalnej w środowisku wartości 7 V/m, w miejscach dostępnych dla ludności:

- w przypadku **pomiarów szerokopasmowych**:
  - 2 punkty pomiarowe (w 2 lokalizacjach), w których maksymalna wartość natężenia pól elektrycznych, obliczona z uwzględnieniem rozszerzonej niepewności pomiaru, może przekraczać wartość dopuszczalną ( $E_{zm}+U\% > 7 \text{ V/m}$ );
  - nie zarejestrowano wyników pomiarów szerokopasmowych, które bez uwzględnienia rozszerzonej niepewności pomiaru przekraczałyby wartość dopuszczalną ( $E_{zm} > 7 \text{ V/m}$ );
- w przypadku **pomiarów selektywnych**:
  - 2 punkty pomiarowe (w 2 lokalizacjach), w których wartość średniokwadratowa natężenia pól elektrycznych, obliczona bez uwzględnienia rozszerzonej niepewności pomiaru ( $E > 7 \text{ V/m}$ ), a także wartość średniokwadratowa natężenia pól elektrycznych, obliczona z uwzględnieniem rozszerzonej niepewności pomiaru, przekracza wartość dopuszczalną ( $E+U\% > 7 \text{ V/m}$ );
  - 30 punktów pomiarowych, w 17 lokalizacjach (patrz Tabl. 216), w których estymowana wartość średniokwadratowa natężenia pól elektrycznych może przekraczać wartość dopuszczalną 7 V/m w miejscach dostępnych dla ludności, gdyż obliczona z uwzględnieniem oszacowanej rozszerzonej niepewności pomiaru przekracza wartość dopuszczalną ( $E+U\% > 7 \text{ V/m}$ ).

Zestawienie wyników, uzyskanych w pomiarach wykonywanych w roku 2018, odwzorowuje wykres przedstawiony na Rys. 2.



Rys. 2 Liczba punktów pomiarowych bez przekroczeń i z możliwymi przekroczeniami

Mając na względzie uzyskane wyniki przeprowadzonych pomiarów PEM rekomenduje się:

- cykliczne powtarzanie wykonywanych pomiarów w celu rozszerzenia obszaru badań (zwiększenia liczby badanych lokalizacji i analizowanych wyników) oraz bieżącej oceny stanu faktycznego, a także zachodzących zmian i tendencji w zakresie przekroczeń dopuszczalnego poziomu PEM;
- badania krajowe i analizy wyników światowych badań medycznych w zakresie rzeczywistego wpływu natężenia pól elektrycznych na zdrowie ludzkie;
- prowadzenie analiz w zakresie niezbędnych zmian w aktach prawnych regulujących kwestie dotyczące dopuszczalnych poziomów pól elektromagnetycznych w środowisku, w tym podwyższenia wymagań w stosunku do przedsiębiorców (np. obowiązek wykonania badań selektywnych dla instalacji istotnie rozbudowywanych bądź planowanych w bezpośrednim sąsiedztwie instalacji już istniejących).

Biorąc pod uwagę rozbudowaną infrastrukturę telekomunikacyjną, planowane wdrożenie sieci 5G przy obecnie obowiązującej wartości dopuszczalnej w środowisku (7 V/m), może być istotnie utrudnione. Wyniki przeprowadzonych pomiarów selektywnych wskazują, że w wielu lokalizacjach nie będzie możliwe skuteczne zgłoszenie nowych instalacji, zgodnie z obowiązującymi przepisami Prawa ochrony środowiska. Dotyczy to zwłaszcza tych lokalizacji, w których aktualnie już stwierdzono możliwe przekroczenie wartości dopuszczalnej w środowisku (7 V/m), szczególnie tych, w których faktyczny zapas jest niewielki. Dodatkowo, ograniczenia w zakresie wartości dopuszczalnej w środowisku powodują konieczność zwiększania liczby instalacji SBTK wymaganych do pokrycia danego obszaru zasięgiem sieci.

W związku z tym proponuje się dwie alternatywne, wskazane poniżej możliwości pozwalające na dotrzymanie właściwego poziomu PEM.

- Modyfikacja konfiguracji istniejącej sieci komórkowej w taki sposób, aby zwiększyć zapas w stosunku do wartości dopuszczalnej, co może skutkować pogorszeniem jakości usług i ich lokalnym brakiem, a jednocześnie skutkować będzie koniecznością rozbudowania istniejącej już infrastruktury w celu utrzymania pożądanego pokrycia siecią. To w efekcie doprowadzi do kolejnej ingerencji w krajobraz przestrzeni publicznej i do znacznego zanieczyszczenia środowiska poprzez np. zwiększenie wykorzystania materiałów budowlanych, czy wzrost zużycia energii wymaganej do zasilania większej liczby SBTK. Ponadto takie rozwiązanie, z uwagi na skrajnie nieoptymalną i nieefektywną topologię i konfigurację sieci uniemożliwiająca pełne wykorzystanie widma dostępnych częstotliwości radiowych, będzie skutkowało pogorszeniem jakości oferowanych usług sieciowych. Zatem, przy oczekiwaniu na usługi wysokiej jakości, wydaje się to działaniem skrajnie niecelowym, które nie będzie mogło zaspokoić rosnących potrzeb użytkowników. Może również wywołać eskalację trudności w pozyskaniu nowych lokalizacji pod budowę SBTK oraz znacznie ograniczyć możliwość wykorzystania nowoczesnych technologii, takich jak np. Massive MIMO (jednoczesne wysyłanie i odbiór z matrycy antenowej zbudowanej z ponad kilkudziesięciu lub nawet kilkuset anten) czy 3D Beamforming (możliwość przestrzennego formowania i kierowania wielu różnych wiązek antenowych), krytycznych dla funkcjonowania sieci 5G na wymaganym poziomie usług.

- Wprowadzenie zmian w prawie polegających na harmonizacji obowiązujących w Polsce regulacji prawnych z Zaleceniem Rady Europejskiej z dnia 12 lipca 1999 r. w sprawie ograniczania ekspozycji ludności w polach elektromagnetycznych o częstotliwościach od 0 Hz do 300 GHz (1999/519/EC). Przy czym harmonizacja powinna dotyczyć nie tylko dopuszczalnych wartości natężenia PEM w środowisku, ale przede wszystkim metodyki wykonywania pomiarów, np. z uwzględnieniem Zalecenia ECC (02)04 Measuring Non-Ionising Electromagnetic Radiation (9 kHz – 300 GHz). Alternatywnie można także rozwijać metody obliczeniowe polegające na symulacjach ciągłych rozkładów PEM w otoczeniu SBTK. Metody symulacyjne powinny uwzględniać lokalizację SBTK (w tym istniejąca zabudowę) i liczne parametry techniczne SBTK. Ze względu na przewidywane lokalizacje stacji bazowych sieci 5G i znaczne zmniejszenie odległości pomiędzy antenami, a użytkownikami, można wnioskować, że estymacja rozkładów PEM wyłącznie w strefie pola dalekiego, tak jak dotychczas oparta na charakterystykach promieniowania, nie będzie wystarczająca. To implikuje rozszerzenie estymacji PEM o cechy oparte na sferyczno-cylindrycznym modelu propagacji PEM, właściwe dla strefy pola bliskiego: reaktywnej i radiacyjnej. Nowy model powinien ponadto uwzględniać zjawiska propagacyjne (tj.: dyfrakcja, odbicie, interferencja fal EM), wynikające z wykorzystywanych częstotliwości GHz i istniejącej zabudowy.

Przeprowadzone pomiary PEM w otoczeniu stacji bazowych telefonii komórkowej pozwoliły jednocześnie na:

- precyzyjne zidentyfikowanie i wskazanie, na podstawie analizy wyników pomiarów selektywnych, źródeł zarejestrowanych składowych pola elektrycznego (zakres częstotliwości, operator, system/usługa) w przypadku uzyskania wyników przekraczających wartość dopuszczalną;
- potwierdzenie wysokiego stopnia pracochłonności dokładnych pomiarów selektywnych.

Prowadzone równolegle, w ramach podzadania 1.1, analizy w zakresie sposobów monitorowania PEM w krajach UE, w tym w Polsce, w powiązaniu z doświadczeniami zdobytymi w trakcie prowadzonych pomiarów PEM, wskazują na potrzebę zwiększenia potencjału wykorzystywanego przez wojewódzkie inspekcje ochrony środowiska.

Mając na uwadze działania służb inspekcyjnych ochrony środowiska w zakresie pomiarów PEM (WIOŚ i GIOŚ), celowe wydaje się zapewnienie tym służbom skutecznych narzędzi pomiarowych, pozwalających na identyfikację nie tylko samych poziomów PEM występujących w środowisku, ale także ich źródeł, czyli jednoznaczne wskazanie prowadzących instalacje wytwarzające PEM o poziomach skutkujących przekroczeniem poziomów dopuszczalnych. Mowa oczywiście o przyrządach pomiarowych umożliwiających wykonywanie selektywnych pomiarów PEM w dziedzinie częstotliwości oraz w dziedzinie kodowej z zastosowaniem dekodery systemów UMTS i LTE.

Więcej wniosków z przeprowadzonych pomiarów PEM w otoczeniu stacji bazowych telefonii komórkowej oraz prezentacje zbiorczych wyników pomiarów, znajduje się w rozdziale 6.

Przeprowadzone pomiary PEM w otoczeniu punktów dostępowych sieci RLAN 2,4 GHz oraz 5 GHz pozwoliły na ocenę zgodności określonych wartości skutecznego natężenia składowej elektrycznej pola elektromagnetycznego w otoczeniu punktów dostępowych

sieci RLAN 2,4 GHz oraz 5 GHz z wartością dopuszczalną (7 V/m), określoną w *Rozporządzeniu Ministra Środowiska z dnia 30 października 2003 r. w sprawie dopuszczalnych poziomów pól elektromagnetycznych w środowisku oraz sposobów sprawdzania dotrymania tych poziomów*.

Największe wartości natężenia pól elektrycznych występują w bezpośrednim otoczeniu punktu dostępowego i są tym większe, im mniejsza odległość anteny przyrządu pomiarowego od punktu dostępowego.

Nie stwierdzono przypadków możliwych przekroczeń wartości dopuszczalnych natężenia pól elektrycznych. Ze względu jednak na coraz większą liczbę instalacji punktów dostępowych sieci RLAN w miejscach użyteczności publicznej, w tym w jednostkach oświatowych, rekomenduje się uwzględnienie pomiarów natężenia pól elektrycznych w otoczeniu punktów dostępowych sieci RLAN w kolejnych kampaniach pomiarowych PEM.

Więcej wniosków z przeprowadzonych pomiarów PEM w otoczeniu punktów dostępowych sieci RLAN 2,4 GHz oraz 5 GHz oraz prezentacje zbiorczych wyników pomiarów, znajduje się w rozdziale 8.

### 3. PRZYGOTOWANIE DO WYKONANIA POMIARÓW

Przygotowanie do wykonania pomiarów poziomów PEM obejmowało:

- pozyskanie i przeanalizowanie dokumentacji odnośnie stacji bazowych telefonii komórkowej, przedłożonej do organów właściwych w sprawach ochrony środowiska oraz analizę informacji udostępnianych przez UKE w rejestrach pozwoleń radiowych, pozwoleń telewizyjnych DVB-T i urządzeń radiowych nie wymagających pozwoleń;
- wytypowanie 6 lokalizacji stacji bazowych telefonii komórkowej na terenie każdego województwa do wykonania selektywnych pomiarów poziomów PEM w otoczeniu tych stacji, w miejscach ogólnie dostępnych dla ludności;
- uzgodnienie wytypowanych lokalizacji stacji bazowych telefonii komórkowej z MC;
- wytypowanie 2 placówek szkolnych na terenie każdego województwa do wykonania pomiarów poziomów PEM w otoczeniu punktów dostępowych do sieci RLAN 2,4 GHz oraz 5 GHz, z wykorzystaniem listy placówek szkolnych udostępnionej przez MC;
- uzgodnienie wytypowanych placówek szkolnych z MC;
- pozyskanie i analiza kompletnej dokumentacji stacji bazowych;
- opracowanie szczegółowych planów pomiarowych.

#### 3.1 Przedmiot i cel analiz dokumentacji stacji bazowych

Przedmiotem analiz była dokumentacja wskazana w rozporządzeniu Ministra Środowiska z dnia 2 lipca 2010 r. w sprawie zgłoszenia instalacji wytwarzających pola elektromagnetyczne, udostępniona w komórkach organizacyjnych właściwych w sprawach ochrony środowiska urzędów miast/starostw powiatowych:

- *zgłoszenia instalacji* wytwarzających pola elektromagnetyczne;
- *ponowne zgłoszenia* i informacje o zmianie danych;
- *sprawozdania z pomiarów* pól elektromagnetycznych.

Dodatkowo analizie podlegały dane Ekoportalu oraz informacje udostępniane przez UKE w rejestrach pozwoleń radiowych, pozwoleń telewizyjnych DVB-T oraz urządzeń radiowych nie wymagających pozwoleń.

Celem analiz dokumentacji było wskazanie instalacji do pomiarów poziomów PEM, w tym lokalizacji, dla których określone wartości PEM w otoczeniu stacji bazowych przekraczają lub mogą przekraczać 50% wartości dopuszczalnej 7 V/m.

Stąd dokumentami badanymi w pierwszej kolejności były *sprawozdania z pomiarów* pól elektromagnetycznych.

Dokumentacja *zgłoszeń i ponownych zgłoszeń* podlegała w tym wypadku analizie głównie pod kątem pozyskania informacji niezbędnych do przygotowania szczegółowych planów pomiarowych.

#### 3.2 Założenia i kryteria typowania lokalizacji stacji bazowych do pomiarów

Przy typowaniu lokalizacji do pomiarów w otoczeniu stacji bazowych przyjęto następujące założenia dotyczące położenie lokalizacji:

- po 6 lokalizacji na terenie każdego województwa;

- wszystkie lokalizacje na terenie miast;
- co najmniej 4 lokalizacje w mieście wojewódzkim;
- 2-4 lokalizacje (z łącznej liczby 96) w pobliżu źródeł dużej emisji pola elektromagnetycznego, takich jak radary, RTCN;
- dla Warszawy typowane lokalizacje na terenie dzielnicy Śródmieście.

Przy typowaniu lokalizacji do pomiarów w otoczeniu stacji bazowych przyjęto następujące rozłączne kryteria\*:

- SBTK o wykazanym w sprawozdaniach poziomie natężenia PE > 3,5 V/m;
- lokalizacje wskazane bezpośrednio przez UM/SP<sup>2</sup>;
- różni właściciele / operatorzy SBTK;
- dostępność terenu dla osób przeprowadzających pomiar;
- ewentualne sąsiedztwo źródeł takich jak radary, RTCN.

\* Podstawowym kryterium typowania lokalizacji do pomiarów PEM było wystąpienie, w sprawozdaniach z pomiarów przeprowadzonych na zlecenie właściciela instalacji, wartości natężenia PEM równej lub wyższej od 50% wartości dopuszczalnej po uwzględnieniu rozszerzonej niepewności pomiarów (> 3,5 V/m). Założeniem, przy typowaniu lokalizacji do pomiarów było również zapewnienie zróżnicowania właścicieli / operatorów SBTK, celem uniknięcia dominacji jednego podmiotu w prezentowanych wynikach pomiarów PEM. Przewidywana była również możliwość wskazań, ze strony UM/SP, lokalizacji typowanych do pomiarów PEM. Kolejnym aspektem, uwzględnianym przy typowaniu lokalizacji, była dostępność terenu dla osób przeprowadzających pomiary, z preferencją terenu publicznego/ogólnodostępnego. Natomiast, z uwagi na wskazanie wykonania pomiarów także w 2-4 lokalizacjach z dużą emisją pola elektromagnetycznego ze źródeł takich jak radary, RTCN, kryterium było również sąsiedztwo tego rodzaju instalacji.

### 3.3 Metodyka badań dokumentacji stacji bazowych

Metodyka badań (przeglądu) dokumentacji stacji bazowych obejmowała:

- przegląd (w siedzibach IŁ-PIB) dokumentacji pozyskanej w roku 2017 oraz dostępnych wykazów i rejestrów;
- wstępne typowanie lokalizacji według przyjętych kryteriów i założeń;
- w koniecznych przypadkach: pozyskiwanie dokumentacji uzupełniającej drogą elektroniczną, bądź wyjazdy do siedzib UM/SP;
- analiza (w siedzibach IŁ-PIB) zebranych informacji, sporządzenie wykazów lokalizacji wytypowanych do badań;
- przedstawienie MC do akceptacji wytypowanych lokalizacji;
- sporządzenie wykazów lokalizacji zaakceptowanych do pomiarów PEM oraz stacji bazowych znajdujących się w okolicy mierzonej lokalizacji – załącznik wystąpienie do UM/SP;
- pozyskanie z UM/SP skanów kompletnej dokumentacji według ww. załącznika;
- przegląd dokumentacji (*zgłoszeń i ponownych zgłoszeń*) dla potrzeb opracowania szczegółowych planów pomiarowych poszczególnych lokalizacji.

---

<sup>2</sup> Komórki organizacyjne urzędów miast/starostw powiatowych właściwe w sprawach ochrony środowiska.

### 3.4 Założenia i kryteria typowania placówek szkolnych do pomiarów

Przy typowaniu placówek szkolnych do pomiarów w otoczeniu punktów dostępowych do sieci RLAN 2,4 GHz oraz 5 GHz, przyjęto następujące założenia dotyczące położenie lokalizacji:

- wybór z listy przekazanej przez przedstawiciela MC;
- po 2 lokalizacje na terenie każdego województwa;
- wszystkie lokalizacje na terenie miast;
- możliwe 2 lokalizacje w tym samym mieście;
- lokalizacje różne adresowo.

Przy typowaniu placówek szkolnych do pomiarów przyjęto następujące rozłączne kryteria:

- na terenie miast, w których wykonywane będą pomiary w otoczeniu stacji bazowych;
- w pobliżu lokalizacji, w których wykonywane będą pomiary PEM w otoczeniu stacji bazowych;
- inne – gdy brak placówki szkolnej spełniającej ww. kryteria na otrzymanej z MC liście.

Przy wyborze szkół do pomiarów PEM w otoczeniu punktów dostępowych w pierwszej kolejności brane były pod uwagę te placówki szkolne, które znajdują się w wykazie przedstawionym przez MC, przy czym weryfikowane było spełnienie niżej wymienionych dodatkowych kryteriów:

- dyrekcje szkół wyrażają zgodę na wykonanie pomiarów PEM;
- placówki szkolne posiadają przynajmniej cztery punkty dostępne WiFi do pomiarów.

W przypadku nie spełnienia ww. dodatkowych kryteriów przez szkoły z wykazu MC, w typowaniu placówek szkolnych do pomiarów wykorzystano Rejestr Szkół i Placówek Oświatowych (stan na dzień 30 września 2017 r.) dostępny na portalu Centrum Informacyjnego Edukacji (<https://cie.men.gov.pl/sio-strona-glowna/podstawowe-informacje-dotycze-wykazu-szko-i-placowek-owiatowych/wykaz-wg-wojewodstw/>).

### 3.5 Metodyka przygotowania do pomiarów w placówkach szkolnych

Przygotowanie do pomiarów w otoczeniu punktów dostępowych do sieci RLAN 2,4 GHz oraz 5 GHz, obejmowało:

- uzyskanie pisma polecającego z MC;
- wstępne wytypowanie placówek z listy otrzymanej z MC;
- uzupełnienie o placówki umieszczone w Rejestrze Szkół i Placówek Szkolnych;
- przedstawienie MC do akceptacji wytypowanych placówek szkolnych;
- uzgodnienia telefoniczne z przedstawicielami placówek szkolnych (dotyczące możliwości przeprowadzenia pomiarów, terminów pomiarów, dostępności dokumentacji itd.);
- przygotowanie szczegółowych planów pomiarowych.



### 3.6 Lokalizacje stacji bazowych wskazane do przeprowadzenia pomiarów PEM

W wyniku przeprowadzonych badań dokumentacji sporządzono wstępne listy instalacji typowanych do wykonania pomiarów PEM.

Listy lokalizacji wskazanych do pomiarów PEM podlegały analizie i akceptacji MC.

W kolejnych tabelach zostały przedstawione wykazy lokalizacji, w poszczególnych województwach, wskazanych i zaakceptowanych do pomiarów PEM (wyróżnione) oraz stacji bazowych znajdujących się w okolicy mierzonych lokalizacji, których dokumentacja podlegała szczegółowej analizie przy przygotowywaniu planów pomiarowych.

Wykazy te stanowiły załączniki do Wniosków UM/SP o udostępnienie kompletnej dokumentacji instalacji wytwarzających pola elektromagnetyczne.

Tabl. 1 Lokalizacje w Białymstoku

Lp.	Adres	ID Stacji	Operator
1	Nowowarszawska 32/2	BIA1046A	P4 Sp. z o.o.
		96920N!	Orange Polska S.A.
2	Jałbrzykowskiego 5	BIA1031B	P4 Sp. z o.o.
3	NMP Królowej Rodzin 3	BIA1107B	P4 Sp. z o.o.
		BT13225	Aero2 Sp. z o.o.
4	Jana Pawła II 79	BT13464	Polkomtel Sp. z o.o.
5	Świętojańska 13	BIA1103A	P4 Sp. z o.o.
6	Mickiewicza 42	24008(96007N!)	T-Mobile Polska S.A.

Tabl. 2 Lokalizacje w Bydgoszczy

Lp.	Adres	ID Stacji	Operator
1	Gdańska 42	BT44891	Polkomtel Sp. z o.o.
	Gdańska 53	4939	Orange Polska S.A.
2	Adama Grzymały Siedleckiego 26	BYD1031B	P4 Sp. z o.o.
	Adama Grzymały Siedleckiego 24	4987(N!), 31435(N!)	T-Mobile Polska S.A., Orange Polska S.A., NetWorks! Sp. z o.o.
3 /*	Żeglarska 67	BYD1058D	P4 Sp. z o.o.
4 /**	Chodkiewicza 61	BYD1042C	P4 Sp. z o.o.
		0868	Orange Polska S.A.
	Kossaka 72	BYD1022	P4 Sp. z o.o.
	Świętej Trójcy 2	BT43831	Polkomtel Sp. z o.o.
5	Poznańska 3	BYD1006D	P4 Sp. z o.o.
6	Jaskólcza 39	BT44281	Polkomtel Sp. z o.o.
		35252	T-Mobile Polska S.A.
	Długa 5	44886	Polkomtel Sp. z o.o.

/\* W odległości ok. 570 m od stacji bazowej znajduje się Telewizyjny Ośrodek Nadawczy (częstość emisji DVB-T: 618 MHz), którego operatorem jest Emitel S.A.

/\*\* Na tej samej wieży co stacja bazowa znajduje się Stacja Linii Radioliniowych (częstotliwości emisji DVB-T: 594 MHz, częstotliwość emisji UKF-FM: 90,5 MHz, częstotliwość emisji systemu radiokomunikacji ruchomej: 160 MHz).

Tabl. 3 Lokalizacje w Gdańsku

Lp.	Adres	ID Stacji	Operator
1 /*	Prezydenta Lecha Kaczyńskiego 35 /**	GDA0009E	P4 Sp. z o.o.
	Obrońców Wybrzeża 27	30045(N!)	T-Mobile Polska S.A., Orange Polska S.A., NetWorks! Sp. z o.o.
		BT44801	Aero2 Sp. z o.o., Polkomtel Sp. z o.o.
2 /*	Jagiellońska 13	GDA0008B	P4 Sp. z o.o.
		BT43288	Polkomtel Sp. z o.o., Aero2 Sp. z o.o.
		4971/5677(6420)/(40182N)	Orange Polska S.A.
3 /*	Grunwaldzka 135A	GDA0079A	P4 Sp. z o.o.
		BT43285	Polkomtel Sp. z o.o., Aero2 Sp. z o.o.
	Grunwaldzka 141	BT43289	Polkomtel Sp. z o.o.
		30240(N!)	T-Mobile Polska S.A., Orange Polska S.A., NetWorks! Sp. z o.o.
		GDA9002	P4 Sp. z o.o.
4	Zielone Wzgórze 8	BT43780	Polkomtel Sp. z o.o.
		2782/2589(3185)/40108	Orange Polska S.A.
5 /*	Siennicka 10	GDA0033D	P4 Sp. z o.o.
	Siennicka 11	4846(N!), 31343(N!)	T-Mobile Polska S.A., Orange Polska S.A., NetWorks! Sp. z o.o.
6 /*	Rozłogi 11	GDA0028D	P4 Sp. z o.o.
		40103N!	Orange Polska S.A.
	Szpaki 13	BT43766	Polkomtel Sp. z o.o.

/\* Wskazane przez UM Gdańsk.

/\*\* Dawniej ul. Dąbrowszczaków. Nazwa zmieniona wyrokiem NSA-IIOSK-1824/2018 z dnia 13.11.2018 r.

Tabl. 4 Lokalizacje w Katowicach

Lp.	Adres	ID Stacji	Operator
1.	Bocheńskiego 125	KAT0062_A	P4 Sp. z o.o.
		BT_24813	Polkomtel Sp. z o.o.
	Bocheńskiego 100	55551	T-Mobile Polska S.A.
	Pukowca 15	KAT0113_A	P4 Sp. z o.o.
		54752	T-Mobile Polska S.A.
		BT_22021	Polkomtel Sp. z o.o.
2.	Gawronów 22	KAT0060_C	P4 Sp. z o.o.
		32468N!	Orange Polska S.A.
		BT_24194	Polkomtel Sp. z o.o.
3.	Graniczna 54	KAT0556_A	P4 Sp. z o.o.
	Pułaskiego 60	BT 22575	Polkomtel Sp. z o.o.
	Sowińskiego 46A	50396	T-Mobile Polska S.A.
4.	Grodowa 30	KAT0049_B	P4 Sp. z o.o.
		32412	Orange Polska S.A.
	Grodowa 26	BT_20305	Polkomtel Sp. z o.o.
5./*	Bytkowska 1B	KAT0012_B	P4 Sp. z o.o.
		2104	Orange Polska S.A.
6./**	Siemianowicka 60	BT_24214	Polkomtel Sp. z o.o.

/\* W odległości ok. 570 m od stacji bazowej znajduje się Telewizyjny Ośrodek Nadawczy (częstotliwość emisji DVB-T: 634 MHz), którego operatorem jest Telewizja Polska S.A.

\*\* Na tym samym kominie co stacja bazowa znajduje się również Radiowo-Telewizyjny Ośrodek Nadawczy (częstotliwości emisji: DVB-T: 658 MHz), którego operatorem jest INFO TV FM Sp. z o.o.

Tabl. 5 Lokalizacje w Kielcach

Lp.	Adres	ID Stacji	Operator
1	Warszawska 147	BT12101	Aero2 Sp. z o.o., Polkomtel Sp. z o.o.
		5261	Orange Polska S.A.
		KIE1030I	P4 Sp. z o.o.
	Sienkiewicza 33	51073(N!), 5039(N!)	T-Mobile Polska S.A., Orange Polska S.A., NetWorks! Sp. z o.o.
		BT12131	Aero2 Sp. z o.o., Polkomtel Sp. z o.o.
2	Sienkiewicza 48/50	KIE1001B	P4 Sp. z o.o.
		BT12131	Polkomtel Sp. z o.o., Aero2 Sp. z o.o.
3	Kredowa 2/ Mas- salskiego 9	KIE1046A	P4 Sp. z o.o.
		6689 (27343, 12947(N!))	Orange Polska S.A.
4	Szczecińska 25	KIE1009E	P4 Sp. z o.o.

Lp.	Adres	ID Stacji	Operator
		55113 (27113N!)	T-Mobile Polska S.A.
5	Sikorskiego 2	KIE1029A	P4 Sp. z o.o.
		55317 (27317N!)	T-Mobile Polska S.A.
		BT12100	Polkomtel Sp. z o.o.
6	Solidarności 34	10220	Aero2 Sp. z o.o., Polkomtel Sp. z o.o.
	Solidarności 36	55321(N!)	T-Mobile Polska S.A., Orange Polska S.A., NetWorks! Sp. z o.o.
	Solidarności 36	BT12475	Polkomtel Sp. z o.o.

Tabl. 6 Lokalizacje w Krakowie

Lp.	Adres	ID Stacji	Operator
1.	Dobrzycka 20	KRA0163_B	P4 Sp. z o.o.
		28370	Orange Polska S.A.
	Witosa 9	BT_22056	Polkomtel Sp. z o.o.
		51171	T-Mobile Polska S.A.
2./*	Krzemionki 29	KRA9005_A	P4 Sp. z o.o.
		MW29276	Polkomtel Sp. z o.o.
		28404N!	Orange Polska S.A.
	Powstańców Śląskich 26	51685	T-Mobile Polska S.A.
	Zamoyskiego 56	KRA0143_C	P4 Sp. z o.o.
	Smolki 8	28189	Orange Polska S.A.
3.	Przy Rondzie 2	51167	T-Mobile Polska S.A.
		28167	Orange Polska S.A.
4./**	Waszyngtona 1	28354N!	T-Mobile Polska S.A.
		Borowego 14	BT20756
	Królowej Jadwigi 147	KRA0206_E	P4 Sp. z o.o.
	Malczewskiego 45	51434	T-Mobile Polska S.A.
		KRA0216_A	P4 Sp. z o.o.
		BT_22523	Polkomtel Sp. z o.o.
		28001	Orange Polska S.A.
5.	Wąska 5	BT_24086	Polkomtel Sp. z o.o.
	Józefa 26	51226	T-Mobile Polska S.A.
	Starowiślna 62	28200	Orange Polska S.A.
	Wąska 7	1866/2128	Orange Polska S.A.
	Estery 18	KRA0133_J	P4 Sp. z o.o.
	Krakowska 26	KRA0140_A	P4 Sp. z o.o.
6.	Zaborska 1	KRA0248_A	P4 Sp. z o.o.
		BT_20297	Polkomtel Sp. z o.o.

Lp.	Adres	ID Stacji	Operator
	Pasternik 116	51372	T-Mobile Polska S.A.

/\* Na tej samej wieży co stacja bazowa znajduje się również Telewizyjny Ośrodek Nadawczy (częstotliwości emisji DVB-T: 706 MHz), którego operatorem jest Telewizja Polska S.A.

/\*\* W odległości ok. 100 m od stacji bazowej znajduje się RTON (częstotliwości emisji DVB-T: 570 MHz), którego operatorem jest Emitel S.A.

Tabl. 7 Lokalizacje w Lublinie

Lp.	Adres	ID Stacji	Operator
1	Koncertowa 15	LUB1039C	P4 Sp. z o.o.
		27028 (86022N!)	T-Mobile Polska S.A.
2	Dragonów 8	LUB1031A	P4 Sp. z o.o.
		884 (86925N!)	Orange Polska S.A.
3	Jaczewskiego 2	LUB1011D	P4 Sp. z o.o.
		BT12085	Polkomtel Sp. z o.o.
		27043 (86030N!)	T-Mobile Polska S.A.
4	Nałęczowska 94	LUB1091A	P4 Sp. z o.o.
		23560 (86229N!)	T-Mobile Polska S.A.
		BT14573	Aero2 Sp. z o.o.
5	Pogodna 36	LUB1093A	P4 Sp. z o.o.
		BT11122	Polkomtel Sp. z o.o.
		710 (86977N!)	Orange Polska S.A.
6	Działkowa 45	BT12754	Polkomtel Sp. z o.o., Aero2 Sp. z o.o.
		LUB1050A	P4 Sp. z o.o.

Tabl. 8 Lokalizacje w Łodzi

Lp.	Adres	ID Stacji	Operator
1	Wólczańska 66	LOD1086A	P4 Sp. z o.o.
2	Matejki 21/23	LOD1221A	P4 Sp. z o.o.
3	Chóralna 13	BT33905	Polkomtel Sp. z o.o.
4	Sandomierska 1/9	LOD1029F	P4 Sp. z o.o.
5	Limanowskiego 154	BT31063	Polkomtel Sp. z o.o.
6	6 Sierpnia 52/44	LOD1212A	P4 Sp. z o.o.

Tabl. 9 Lokalizacje w Olsztynie

Lp.	Adres	ID Stacji	Operator
1 /*	Dybowskiego 7	44017N!	Orange Polska S.A.
	Al. Gen. Władysława Sikorskiego 54	BT44336	Aero2 Sp. z o.o., Polkomtel Sp. z o.o., Sferia S.A.

Lp.	Adres	ID Stacji	Operator
		32498(N!), 44199(N!)	T-Mobile Polska S.A., Orange Polska S.A., NetWorks! Sp. z o.o.
	Dywizjonu 303	6123	Orange Polska S.A.
2	Bajkowa 15	34057(44057N!)	T-Mobile Polska S.A.
		OLS1031A	P4 Sp. z o.o.
3	Bartosza Głowackiego 17	4778/5702(6446)/44019	Orange Polska S.A.
	Bartosza Głowackiego 18/20	OLS1007	P4 Sp. z o.o.
4	Pl. Łódzki 3	BT43916	Polkomtel Sp. z o.o.
		OLS1021B	P4 Sp. z o.o.
	Pl. Cieszyński 1	9034(N!), 30464(N!)	T-Mobile Polska S.A., Orange Polska S.A., NetWorks! Sp. z o.o.
5	Pstrowskiego 14F	OLS1011F	P4 Sp. z o.o.
6	Grunwaldzka 21A	BT42379	Polkomtel Sp. z o.o., Aero2 Sp. z o.o.
		34020(44020N!)	T-Mobile Polska S.A.
	Artyleryjska 3b	OLS1001	P4 Sp. z o.o.

/\* W odległości ok. 520 m od stacji bazowej znajduje się Telewizyjny Ośrodek Nadawczy (częstość emisji DVB-T: 730 MHz), którego operatorem jest Emitel S.A.

Tabl. 10 Lokalizacje w Opolu

Lp.	Adres	ID Stacji	Operator
1./*	Korfantego 1	2467	Orange Polska S.A.
		53113	T-Mobile Polska S.A.
		BT20665	Aero 2 Sp. z o.o.
		OPO1001_C	P4 Sp. z o.o.
	Krakowska 57-59	OPO1501_A	P4 Sp. z o.o.
2.	Nowowiejskiego 19	OPO1027_D	P4 Sp. z o.o.
	Koszyka 13	BT24116	Polkomtel Sp. z o.o.
3.	Jerzego i Ryszarda Kowalczyków 29 /**	OPO1024_A	P4 Sp. z o.o.
	Armii Krajowej 36	BT22088	Polkomtel Sp. z o.o.
4.	Sosnkowskiego 16	OPO1017_A	P4 Sp. z o.o.
	Sosnkowskiego 20	37209N!	Orange Polska S.A.
5.	Wrocławska 107	OPO1030_B	P4 Sp. z o.o.
6./***	Wschodnia 23	37214N!	Orange Polska S.A.
		OPO1022_E	P4 Sp. z o.o.
		OPO22610	Polkomtel Sp. z o.o.
	Głogowska 37	37104N!	T-Mobile Polska S.A.

/\* Na tej samej wieży co stacja bazowa znajduje się Telewizyjny Ośrodek Nadawczy (częstotliwość emisji DVB-T: 578 MHz), którego operatorem jest Emitel S.A.

/\*\* Dawniej ul. Obrońców Stalingradu. Nazwa zmieniona decyzją Wojewody Opolskiego Dz.U. Woj. Opolskiego z 2017 r. poz. 3205.

/\*\*/ Na tym samym kominie co stacja bazowa znajduje się Telewizyjny Ośrodek Nadawczy (częstotliwości emisji DVB-T: 546 MHz i 610 MHz), którego operatorem jest Emitel S.A.

Tabl. 11 Lokalizacje w Poznaniu

Lp.	Adres	ID Stacji	Operator
1. /*	Bałycka 65	70340N!	T-Mobile Polska S.A.
2.	Jana Henryka Dąbrowskiego 60	BT33364	Polkomtel Sp. z o.o.
		40381	T-Mobile Polska S.A.
	Dąbrowskiego 79	MW39355	Polkomtel Sp. z o.o.
	Dąbrowskiego 79A	BT32280	Polkomtel Sp. z o.o.
	Św. Floriana 4-6-8	POZ0128	P4 Sp. z o.o.
	Kościelna 5	POZ0241	P4 Sp. z o.o.
3.	Przełajowa 4	70414N!	T-Mobile Polska S.A.
		POZ0116	P4 Sp. z o.o.
4. /**	Szymanowskiego 17	BT33154	Polkomtel Sp. z o.o.
		POZ0182	P4 Sp. z o.o.
5.	Unii Lubelskiej 3	POZ0200	P4 Sp. z o.o.
		70344	T-Mobile Polska S.A.
6.	Warszawska 349	POZ0114	P4 Sp. z o.o.
		BT30152	Polkomtel Sp. z o.o.

/\* W odległości ok. 900 m od stacji bazowej znajduje się Telewizyjny Ośrodek Nadawczy (częstotliwości emisji DVB-T: 706 MHz), którego operatorem jest RS TV S.A.

/\*\* Na tej samej wieży co stacja bazowa znajduje się Telewizyjny Ośrodek Nadawczy (częstotliwości emisji DVB-T: 706 MHz), którego operatorem jest Telewizja Polska S.A.

Tabl. 12 Lokalizacje w Rzeszowie

Lp.	Adres	ID Stacji	Operator
1	Ćwiklińskiej 2	58284 (20284N!)	T-Mobile Polska S.A.
	Ćwiklińskiej 2a	BT24728	Aero2 Sp. z o.o., Polkomtel Sp. z o.o., Sferia S.A.
		RZE1040	P4 Sp. z o.o.
2	Powstańców Warszawy 16	RZE1012D	P4 Sp. z o.o.
3	Boya Żeleńskiego 2	RZE1028D	P4 Sp. z o.o.
	Hanasiewicza 10	13083(N!), 51808(N!)	T-Mobile Polska S.A., Orange Polska S.A., NetWorks! Sp. z o.o.
		BT20674, 22869, 20044	Aero2 Sp. z o.o., Polkomtel Sp. z o.o.
4	Lwowska 6	RZE1033A	P4 Sp. z o.o.

Lp.	Adres	ID Stacji	Operator
	Lwowska 8a	BT24232	Polkomtel Sp. z o.o.
		52927(N!), 58173(N!)	T-Mobile Polska S.A., Orange Polska S.A., NetWorks! Sp. z o.o.
5 /*	Krakowska 18b i 18g	RZE1022A	P4 Sp. z o.o.
		58103 (20103)	T-Mobile Polska S.A.
6	Reja 13	RZE1016A	P4 Sp. z o.o.
		BT20167	Polkomtel Sp. z o.o.

/\* W odległości ok. 650 m od stacji bazowych, znajduje się Radiowo-Telewizyjny Ośrodek Nadawczy (częstotliwości emisji – UKF-FM: 89,9 MHz, 96,4 MHz, 97,1 MHz; – DAB: 216,929 MHz; – DVB-T: 538 MHz), którego operatorem jest Emitel S.A.

Tabl. 13 Lokalizacje w Szczecinie

Lp.	Adres	ID Stacji	Operator	
1.	Komuny Paryskiej 32B	BT_43097	Polkomtel Sp. z o.o.	
	Komuny Paryskiej 32A	SZC1087_C	P4 Sp. z o.o.	
	Druckiego-Lubeckiego 1A	74086	Orange Polska S.A.	
2.	Niemierzyńska 27A	BT_42831	Polkomtel Sp. z o.o.	
		SZC1029_F	P4 Sp. z o.o.	
	Niemierzyńska 23	74020	Orange Polska S.A.	
3. /*	Poznańska 3D	SCZ33600	Aero 2 Sp. z o.o.	
		SZC1188_A	P4 Sp. z o.o.	
		BT44612	Polkomtel Sp. z o.o.	
		74011N!	Orange Polska S.A.	
4. /**	Dmowskiego 69 /***	12528	Orange Polska S.A.	
		Transportowa 1	1203 / 3802	Orange Polska S.A.
		Pabianicka 33	BT42827	Polkomtel Sp. z o.o.
		Ołowiana 7	33299	T-Mobile Polska S.A.
5.	Santocka 16A-17	33192	T-Mobile Polska S.A.	
		SZC1078_A	P4 Sp. z o.o.	
	Santocka 15D	BT43100	Polkomtel Sp. z o.o.	
	Jodłowa 15	10299	Orange Polska S.A.	
	Zielonogórska 31	33183	T-Mobile Polska S.A.	
6.	Władysława Jagiełły 1	BT43629	Polkomtel Sp. z o.o.	
	Władysława Łokietka 28	73067N!	T-Mobile Polska S.A.	
	Kaszubska 52	73078N!	Orange Polska S.A.	
	Wojska Polskiego 7-11	SZC1001_E	P4 Sp. z o.o.	
	Księcia Bolesława X 22	SZC1004_A	P4 Sp. z o.o.	

/\* W odległości ok. 20 m od stacji bazowych, znajduje się Radiowo-Telewizyjny Ośrodek Nadawczy (częstotliwości emisji: DVB-T: 690 MHz), którego operatorem jest Telewizja Polska S.A.

/\*\*W odległości ok. 260 m od stacji bazowej, znajduje się RTON (częstotliwości emisji: DVB-T: 746 MHz), którego operatorem jest Info-TV-FM Sp. z o.o.



/\*\*/ Dawniej ul. Przodowników Pracy. Nazwa zmieniona uchwałą Rady Miasta Szczecin Nr XXXI/821/17 z dnia 20.06.2017 r.

Tabl. 14 Lokalizacje w Warszawie

Lp.	Adres	ID Stacji	Operator
1	Karowa 31a	BT16002	Polkomtel Sp. z o.o.
		WAR1232C	P4 Sp. z o.o.
2	Wspólna 37/39	BT10759	Polkomtel Sp. z o.o., Aero2 Sp. z o.o.
3	Jana Pawła II 18	BT11100	Polkomtel Sp. z o.o., Aero2 Sp. z o.o.
4	M. Kopernika 36/40	WAR1038E	P4 Sp. z o.o.
5	Jana Pawła II 34	WAR1030F	P4 Sp. z o.o.
6	Krucza 51	WAR1092C	P4 Sp. z o.o.

Tabl. 15 Lokalizacje we Wrocławiu

Lp.	Adres	ID Stacji	Operator
1./*	Pl. Grunwaldzki 30	BT34132	Polkomtel Sp. z o.o.
			Aero 2 Sp. z o.o.
	Pasteura 15	WRO1028	P4 Sp. z o.o.
	Pasteura 18	46006	T-Mobile Polska S.A.
2./**	Strzegomska 208	WRO1072	P4 Sp. z o.o.
		46180	T-Mobile Polska S.A.
	Strzegomska 206	BT34154	Polkomtel Sp. z o.o.
	Szkocka 35	34152	Polkomtel Sp. z o.o.
3.	Szczecińska 17-21	46306	T-Mobile Polska S.A.
		12092/1050	Orange Polska S.A.
		WRO1039	P4 Sp. z o.o.
4.	Szczytnicka 32/34	WRO1025	P4 Sp. z o.o.
		64155	T-Mobile Polska S.A.
	Czekoladowa 77	WRO1127	P4 Sp. z o.o.
	Szczytnicka 37	BT34095	Polkomtel Sp. z o.o.
			Aero 2 Sp. z o.o.
5.	Kuźnicza 46/47	BT33470	Polkomtel Sp. z o.o.
			Aero 2 Sp. z o.o.
	Plac uniwersytecki 2	46177	T-Mobile Polska S.A.
6.	Trzebnicka 42-44	WRO1020	P4 Sp. z o.o.
		BT34022	Polkomtel Sp. z o.o.
			Aero 2 Sp. z o.o.

/\* Na tym samym budynku co stacja bazowa znajduje się Radiowo-Telewizyjny Ośrodek Nadawczy (częstotliwość emisji DVB-T: 658 MHz), którego operatorem jest Emitel S.A.

\*\* W odległości ok. 250 m od stacji bazowej znajduje się Telewizyjny Ośrodek Nadawczy (częstotliwości emisji DVB-T: 658 MHz), którego operatorem jest Emitel S.A.

Tabl. 16 Lokalizacje w Zielonej Górze

Lp.	Adres	ID Stacji	Operator
1.	Przylep-Solidarności 65 /*	ZGO1027	P4 Sp. z o.o.
	Przylep-Solidarności 86A /*	4614	Orange Polska S.A.
		BT33451	Polkomtel Sp. z o.o.
			Aero 2 Sp. z o.o.
2.	Zjednoczenia 188B	5180 / 61558	T-Mobile Polska S.A.
	Zjednoczenia 118	ZGO1028	P4 Sp. z o.o.
	Zimna 5	41171	T-Mobile Polska S.A.
	Naftowa 2L	BT31760	Polkomtel Sp. z o.o.
3.	Dąbrowskiego 41B	41092	T-Mobile Polska S.A.
		ZGO1010	P4 Sp. z o.o.
	Wiejska 2	ZGO1026	P4 Sp. z o.o.
4. /**	Ptasia 2B	43963	T-Mobile Polska S.A.
		BT31752	Polkomtel Sp. z o.o.
		ZGO1013	P4 Sp. z o.o.
	Cyryla i Metodego 9	61556N!	Orange Polska S.A.
		BT33720	Polkomtel Sp. z o.o.
		ZGO1015	P4 Sp. z o.o.
	Wyszyńskiego 17	ZGO1012	P4 Sp. z o.o.
	Jaskólcza 66	ZGO1023	P4 Sp. z o.o.
5. /***	Strzelecka 9	ZGO1021	P4 Sp. z o.o.
	Kożuchowska 4	61553N!	Orange Polska S.A.
6.	Wrocławska 63A	4559	Orange Polska S.A.
		BT_30172	Polkomtel Sp. z o.o.
	Wrocławska 65A	ZGO1022	P4 Sp. z o.o.

/\* Dawniej ul. Przylep-22 Lipca. Nazwa zmieniona decyzją Wojewody Lubuskiego Dz.U. Woj. Lubuskiego z dnia 13.12.2017 r. poz. 2701.

\*\* W odległości ok. 260 m znajduje się RTON (częstotliwości emisji DVB-T: 562 MHz), którego operatorem jest Telewizja Polska S.A.

\*\*\* W odległości ok. 800 m znajduje się RTON (częstotliwości emisji DVB-T: 562 MHz), którego operatorem jest Telewizja Polska S.A.

### 3.7 Placówki szkolne wskazane do przeprowadzenia pomiarów PEM

Placówki szkolne wytypowane do przeprowadzenia pomiarów w otoczeniu punktów dostępowych do sieci RLAN 2,4 GHz oraz 5 GHz, przedstawia Tabl. 18 w rozdziale 4.

## 4. REALIZACJA POMIARÓW PEM

### 4.1 Przedmiot pomiarów

Badania zaplanowane na rok 2018, polegały głównie na szerokopasmowym oraz selektywnym pomiarze poziomu pól elektrycznych, w otoczeniu wytypowanych do badań stacji bazowych telefonii komórkowej.

Przeprowadzono także badania poziomu pól elektrycznych w otoczeniu punktów dostępowych sieci RLAN 2,4 GHz oraz 5 GHz.

### 4.2 Zakres pomiarów

Pomiary w otoczeniu stacji bazowych telefonii komórkowej realizowane były na terenie całego kraju, głównie w miastach wojewódzkich.

Lokalizacje na terenie kraju, wytypowane przez IŁ-PIB w wyniku badań dokumentacji, uzgodnione i zaakceptowane przez MC do wykonywania pomiarów PEM, przedstawiono w Tabl. 17.

Badania wykonano łącznie w 96 lokalizacjach, przy czym w każdej z tych lokalizacji były zainstalowane systemy antenowe jednej lub kilku stacji bazowych wielu systemów radiokomunikacyjnych/pasm częstotliwości.

Badania były wykonywane przede wszystkim w miejscach ogólnie dostępnych dla ludności, takich jak chodniki, ulice, place, parkingi.

Preferowane były lokalizacje punktów pomiarowych:

- na kierunkach azymutów osi głównych wiązek anten SBTk, z których była zapewniona widoczność instalacji antenowych;
- takie, aby osoba wykonująca pomiary i osoby postronne nie przestaniały linii widoczności łączącej antenę pomiarową z anteną stacji bazowej.

Osiemnaście z wytypowanych do pomiarów lokalizacji, w tym: Bydgoszcz, ul. Żeglarska 67; Bydgoszcz, ul. Chodkiewicza 61; Katowice, ul. Bytkowska 1B; Katowice, ul. Siemianowicka 60; Kraków, ul. Krzemionki 29; Kraków, ul. J. Waszyngtona 1; Olsztyn, ul. Dybrowskiego 7; Opole, ul. Korfantego 1; Opole, ul. Wschodnia 23; Poznań, ul. Bałtycka 65; Poznań, ul. Szymanowskiego 17; Rzeszów, ul. Krakowska 18b i 18g; Szczecin, ul. Dmowskiego 69; Szczecin ul. Poznańska 3D; Wrocław, Pl. Grunwaldzki 30; Wrocław, ul. Strzegomska 208; Zielona Góra, ul. Ptasia 2b; Zielonej Góra, ul. Strzelecka 9, znajdowało się w bezpośrednim sąsiedztwie źródeł emisji pola elektromagnetycznego takich jak Telewizyjne Ośrodki Nadawcze lub Radiowo-Telewizyjne Ośrodki Nadawcze.

W każdej lokalizacji w otoczeniu stacji bazowych wykonywano pomiary szerokopasmowe oraz selektywne poziomu pól elektrycznych we wszystkich zakresach częstotliwości przeznaczonych dla stacji bazowych zgodnie z rezerwacjami częstotliwości dla operatorów, a nie tylko w tych zakresach, które wg udostępnionej dokumentacji stacji powinny być wykorzystywane w danej lokalizacji.

Pomiary w otoczeniu punktów dostępowych sieci RLAN 2,4 GHz oraz 5 GHz realizowane były w placówkach szkolnych na terenie całego kraju.

Placówki szkolne na terenie kraju, wytypowane przez IŁ-PIB z wykorzystaniem listy otrzymanej z MC oraz Rejestru Szkół i Placówek Oświatowych (stan na dzień 30 września

2017 r.) dostępnego na portalu Centrum Informatycznego Edukacji, uzgodnione i zaakceptowane przez MC do wykonywania pomiarów PEM, przedstawiono w Tabl. 18. Badania wykonano łącznie w 32 placówkach szkolnych, po dwie w każdym województwie.

Tabl. 17 Lokalizacje stacji bazowych uzgodnione do wykonania pomiarów PEM

Lp.	Miasto	Adres	ID Stacji	Operator	Sprawozdanie
1.	Białystok	Nowowarszawska 32/2	BIA1046A	P4 Sp. z o.o.	BIA01
			96920N!	Orange Polska S.A.	
2.	Białystok	Jałbrzykowskiego 5	BIA1031B	P4 Sp. z o.o.	BIA02
3.	Białystok	NMP Królowej Rodzin 3	BIA1107B	P4 Sp. z o.o.	BIA03
			BT13225	Aero2 Sp. z o.o.	
4.	Białystok	Jana Pawła II 79	BT13464	Polkomtel Sp. z o.o.	BIA04
5.	Białystok	Świętojańska 13	BIA1103A	P4 Sp. z o.o.	BIA05
6.	Białystok	Mickiewicza 42	24008(96007N!)	T-Mobile Polska S.A.	BIA06
7.	Bydgoszcz	Gdańska 42	BT44891	Polkomtel Sp. z o.o.	BYD01
8.	Bydgoszcz	Adama Grzymały Siedleckiego 26	BYD1031B	P4 Sp. z o.o.	BYD02
9.	Bydgoszcz	Żeglarska 67	BYD1058D	P4 Sp. z o.o.	BYD03
10.	Bydgoszcz	Chodkiewicza 61	BYD1042C	P4 Sp. z o.o.	BYD04
			0868	Orange Polska S.A.	
11.	Bydgoszcz	Poznańska 3	BYD1006D	P4 Sp. z o.o.	BYD05
12.	Bydgoszcz	Jaskólcza 39	BT44281	Polkomtel Sp. z o.o.	BYD06
			35252	T-Mobile Polska S.A.	
13.	Gdańsk	Prezydenta Lecha Kaczyńskiego 35	GDA0009E	P4 Sp. z o.o.	GDA01
14.	Gdańsk	Jagiellońska 13	GDA0008B	P4 Sp. z o.o.	GDA02
			BT43288	Polkomtel Sp. z o.o., Aero2 Sp. z o.o.	
			4971/5677 (6420)/(40182N)	Orange Polska S.A.	
15.	Gdańsk	Grunwaldzka 135A	GDA0079A	P4 Sp. z o.o.	GDA03
			BT43285	Polkomtel Sp. z o.o., Aero2 Sp. z o.o.	
16.	Gdańsk	Zielone Wzgórze 8	BT43780	Polkomtel Sp. z o.o.	GDA04
			2782/2589(3185)/ 40108	Orange Polska S.A.	
17.	Gdańsk	Siennicka 10	GDA0033D	P4 Sp. z o.o.	GDA05
18.	Gdańsk	Rozłogi 11	GDA0028D	P4 Sp. z o.o.	GDA06
			40103N!	Orange Polska S.A.	
19.	Katowice	Bocheńskiego 125	BT_24813	Polkomtel Sp. z o.o.	KAT01
			KAT0062_A	P4 Sp. z o. o.	

Lp.	Miasto	Adres	ID Stacji	Operator	Sprawozdanie
20.	Katowice	Graniczna 54	KAT0556_A	P4 Sp. z o. o.	KAT02
21.	Katowice	Bytkowska 1B	KAT0012_B	P4 Sp. z o.o.	KAT03
22.	Katowice	Siemianowicka 60	BT_24214	Polkomtel Sp. z o.o.	KAT04
23.	Katowice	Grodowa 30	KAT0049_B	P4 Sp. z o.o.	KAT05
			32412	Orange Polska S.A.	
24.	Katowice	Gawronów 22	KAT0060_C	P4 Sp. z o.o.	KAT06
			32468N!	Orange Polska S.A.	
			BT_24194	Polkomtel Sp. z o.o.	
25.	Kielce	Warszawska 147	BT12101	Aero2 Sp. z o.o., Polkomtel Sp. z o.o.	KIE01
			5261	Orange Polska S.A.	
			KIE1030I	P4 Sp. z o.o.	
26.	Kielce	Sienkiewicza 48/50	KIE1001B	P4 Sp. z o.o.	KIE02
			BT12131	Aero2 Sp. z o.o., Polkomtel Sp. z o.o.	
27.	Kielce	Kredowa 2 / Masalskiego 9	KIE1046A	P4 Sp. z o.o.	KIE03
			6689 (27343, 12947(N!))	Orange Polska S.A.	
28.	Kielce	Szczecińska 25	KIE1009E	P4 Sp. z o.o.	KIE04
			55113 (27113N!)	T-Mobile Polska S.A.	
29.	Kielce	Sikorskiego 2	KIE1029A	P4 Sp. z o.o.	KIE05
			55317 (27317N!)	T-Mobile Polska S.A.	
			BT12100	Polkomtel Sp. z o.o.	
30.	Kielce	Solidarności 34	10220	Aero2 Sp. z o.o., Polkomtel Sp. z o.o.	KIE06
31.	Kraków	Zaborska 1	KRA0248_A	P4 Sp. z o.o.	KRA01
			BT_20297	Polkomtel Sp. z o.o.	
32.	Kraków	Wąska 5	BT_24086	Polkomtel Sp. z o.o.	KRA02
33.	Kraków	Krzemionki 29	KRA9005_A	P4 Sp. z o.o.	KRA03
			MW29276	Polkomtel Sp. z o.o.	
			28404N!	Orange Polska S.A.	
34.	Kraków	Dobrzycka 20	KRA0163_B	P4 Sp. z o.o.	KRA04
			28370	Orange Polska S.A.	
35.	Kraków	Waszyngtona 1	28354N!	T-Mobile Polska S.A.	KRA05
36.	Kraków	Przy Rondzie 2	51167	T-Mobile Polska S.A.	KRA06
			28167	Orange Polska S.A.	
37.	Lublin	Koncertowa 15	LUB1039C	P4 Sp. z o.o.	LUB01
			27028 (86022N!)	T-Mobile Polska S.A.	
38.	Lublin	Dragonów 8	LUB1031A	P4 Sp. z o.o.	LUB02
			884 (86925N!)	Orange Polska S.A.	

Lp.	Miasto	Adres	ID Stacji	Operator	Sprawozdanie
39.	Lublin	Jaczewskiego 2	LUB1011D	P4 Sp. z o.o.	LUB03
			BT12085	Polkomtel Sp. z o.o.	
			27043 (86030N!)	T-Mobile Polska S.A.	
40.	Lublin	Nałęczowska 94	LUB1091A	P4 Sp. z o.o.	LUB04
			23560 (86229N!)	T-Mobile Polska S.A.	
			BT14573	Aero2 Sp. z o.o.	
41.	Lublin	Pogodna 36	LUB1093A	P4 Sp. z o.o.	LUB05
			BT11122	Polkomtel Sp. z o.o.	
			710 (86977N!)	Orange Polska S.A.	
42.	Lublin	Działkowa 45	BT12754	Polkomtel Sp. z o.o., Aero2 Sp. z o.o.	LUB06
			LUB1050A	P4 Sp. z o.o.	
43.	Łódź	Wólczańska 66	LOD1086A	P4 Sp. z o.o.	LOD01
44.	Łódź	Matejki 21/23	LOD1221A	P4 Sp. z o.o.	LOD02
45.	Łódź	Chóralna 13	BT33905	Polkomtel Sp. z o.o.	LOD03
46.	Łódź	Sandomierska 1/9	LOD1029F	P4 Sp. z o.o.	LOD04
47.	Łódź	Limanowskiego 154	BT31063	Polkomtel Sp. z o.o.	LOD05
48.	Łódź	6 Sierpnia 52/44	LOD1212A	P4 Sp. z o.o.	LOD06
49.	Olsztyn	Dybowskiego 7	44017N!	Orange Polska S.A.	OLS01
50.	Olsztyn	Bajkowa 15	34057(44057N!)	T-Mobile Polska S.A.	OLS02
			OLS1031A	P4 Sp. z o.o.	
51.	Olsztyn	Bartosza Głowackiego 17	4778/5702(6446)/ 44019	Orange Polska S.A.	OLS03
52.	Olsztyn	Pl. Łódzki 3	BT43916	Polkomtel Sp. z o.o.	OLS04
			OLS1021B	P4 Sp. z o.o.	
53.	Olsztyn	Pstrowskiego 14F	OLS1011F	P4 Sp. z o.o.	OLS05
54.	Olsztyn	Grunwaldzka 21A	BT42379	Polkomtel Sp. z o.o., Aero2 Sp. z o.o.	OLS06
			34020(44020N!)	T-Mobile Polska S.A.	
55.	Opole	Nowowiejskiego 19	OPO1027_D	P4 Sp. z o.o.	OPO01
56.	Opole	Sosnkowskiego 16	OPO1017_A	P4 Sp. z o.o.	OPO02
57.	Opole	Jerzego i Ryszarda Kowalczyków 29	OPO1024_A	P4 Sp. z o.o.	OPO03
58.	Opole	Wschodnia 23	37214N!	Orange Polska S.A.	OPO04
			OPO1022_E	P4 Sp. z o.o.	
			OPO22610	Polkomtel Sp. z o.o.	
59.	Opole	Korfantego 1	2467	Orange Polska S.A.	OPO05

Lp.	Miasto	Adres	ID Stacji	Operator	Sprawozdanie
			53113	T-Mobile Polska S.A.	
			BT20665	Aero 2 Sp. z o.o.	
			OPO1001	P4 Sp. z o.o.	
60.	Opole	Wrocławska 107	OPO1030_B	P4 Sp. z o.o.	OPO06
61.	Poznań	Dąbrowskiego 60	BT33364	Polkomtel Sp. z o.o.	POZ01
			40381	T-Mobile Polska S.A.	
62.	Poznań	Unii Lubelskiej 3	POZ0200	P4 Sp. z o.o.	POZ02
			70344	T-Mobile Polska S.A.	
63.	Poznań	Warszawska 349	POZ0114	P4 Sp. z o.o.	POZ03
64.	Poznań	Przełajowa 4	70414N!	T-Mobile Polska S.A.	POZ04
65.	Poznań	Szymanowskiego 17	BT33154	Polkomtel Sp. z o.o.	POZ05
66.	Poznań	Bałtycka 65	70340N!	T-Mobile Polska S.A.	POZ06
67.	Rzeszów	Ćwiklińskiej 2	58284 (20284!)	T-Mobile Polska S.A.	RZE01
68.	Rzeszów	Powstańców Warszawy 16	RZE1012D	P4 Sp. z o.o.	RZE02
69.	Rzeszów	Boya Żeleńskiego 2	RZE1028D	P4 Sp. z o.o.	RZE03
70.	Rzeszów	Lwowska 6	RZE1033A	P4 Sp. z o.o.	RZE04
71.	Rzeszów	Krakowska 18b i 18g	RZE1022A	P4 Sp. z o.o.	RZE05
			58103 (20103)	T-Mobile Polska S.A.	
72.	Rzeszów	Reja 13	RZE1016A	P4 Sp. z o.o.	RZE06
			BT20167	Polkomtel Sp. z o.o.	
73.	Szczecin	Dmowskiego 69	12528	Orange Polska S.A.	SZC01
74.	Szczecin	Poznańska 3D	SCZ33600	Aero 2 Sp. z o.o.	SZC02
			SZC1188_A	P4 Sp. z o.o.	
			BT44612	Polkomtel Sp. z o.o.	
			74011N!	Orange Polska S.A.	
75.	Szczecin	Santocka 16A-17	33192	T-Mobile Polska S.A.	SZC03
			SZC1078_A	P4 Sp. z o.o.	
76.	Szczecin	Władysława Jagiełły 1	BT43629	Polkomtel Sp. z o.o.	SZC04
77.	Szczecin	Komuny Paryskiej 32B	BT_43097	Polkomtel Sp. z o.o.	SZC05
78.	Szczecin	Niemierzyńska 27A	BT_42831	Polkomtel Sp. z o.o.	SZC06
			SZC1029_F	P4 Sp. z o.o.	
79.	Warszawa	Karowa 31a	BT16002	Polkomtel Sp. z o.o.	WAR01
			WAR1232C	P4 Sp. z o.o.	
80.	Warszawa	Wspólna 37/39	BT10759	Polkomtel Sp. z o.o., Aero2 Sp. z o.o.	WAR02
81.	Warszawa	Jana Pawła II 18	BT11100	Polkomtel Sp. z o.o., Aero2 Sp. z o.o.	WAR03

Lp.	Miasto	Adres	ID Stacji	Operator	Sprawozdanie
82.	Warszawa	M. Kopernika 36/40	WAR1038E	P4 Sp. z o.o.	WAR04
83.	Warszawa	Jana Pawła II 34	WAR1030F	P4 Sp. z o.o.	WAR05
84.	Warszawa	Krucza 51	WAR1092C	P4 Sp. z o.o.	WAR06
85.	Wrocław	Szczytnicka 32/34	WRO1025	P4 Sp. z o.o.	WRO01
			64155	T-Mobile Polska S.A.	
86.	Wrocław	Pl. Grunwaldzki 30	BT34132	Polkomtel Sp. z o.o.	WRO02
				Aero 2 Sp. z o.o.	
87.	Wrocław	Trzebnicka 42-44	WRO1020	P4 Sp. z o.o.	WRO03
			BT34022	Polkomtel Sp. z o.o. Aero 2 Sp. z o.o.	
88.	Wrocław	Strzegomska 208	WRO1072	P4 Sp. z o.o.	WRO04
			46180	T-Mobile Polska S.A.	
89.	Wrocław	Szczecińska 17-21	46306	T-Mobile Polska S.A.	WRO05
			12092/1050	Orange Polska S.A.	
			WRO1039	P4 Sp. z o.o.	
90.	Wrocław	Kućnicza 46/47	BT33470	Polkomtel Sp. z o.o.	WRO06
				Aero 2 Sp. z o.o.	
91.	Zielona Góra	Wrocławska 63A	4559	Orange Polska S.A.	ZIE01
			BT_30172	Polkomtel Sp. z o.o.	
92.	Zielona Góra	Przylep-Solidarności 65	ZGO1027	P4 Sp. z o.o.	ZIE02
93.	Zielona Góra	Zjednoczenia 118B	5180 / 61558	T-Mobile Polska S.A.	ZIE03
94.	Zielona Góra	Strzelecka 9	ZGO1021	P4 Sp. z o.o.	ZIE04
95.	Zielona Góra	Ptasia 2B	43963	T-Mobile Polska S.A.	ZIE05
			BT31752	Polkomtel Sp. z o.o.	
			ZGO1013	P4 Sp. z o.o.	
96.	Zielona Góra	Dąbrowskiego 41B	41092	T-Mobile Polska S.A.	ZIE06
			ZGO1010	P4 Sp. z o.o.	

Tabl. 18 Lokalizacje placówek szkolnych uzgodnionych do pomiarów PEM

Lp.	Województwo	Adres	Rodzaj placówki	Sprawozdanie
1	dolnośląskie	Wrocław, ul. Worcella 3	Zespół Szkół Ekonomiczno-Administracyjnych im. Marii Dąbrowskiej	RLAN_WRO01
		Wrocław, ul. Jana Wł. Dawida 5	Zespół Szkół Zawodowych Nr 5	RLAN_WRO02
2	kujawsko-pomorskie	Wtelno, Witoldowo 33	Szkoła Podstawowa w Witoldowie	RLAN_WIT01



Lp.	Województwo	Adres	Rodzaj placówki	Sprawozdanie
		Inowrocław, al. M. Kopernika 18	Szkoła Podstawowa Nr 6 im. M. Kopernika	RLAN_INO01
3	lubelskie	Nałęczów, Drzewce-Kolonia 82A	Szkoła Podstawowa im. Ewy Szelburg-Zarembiny w Drzewcach	RLAN_DRZ01
		Łęczna, Zofiówka 85	Niepubliczne Gimnazjum im. Polskich Noblistów w Zofiówce	RLAN_ZOF01
4	lubuskie	Zielona Góra, ul Szosa Kisielińska 18	IV Liceum Ogólnokształcące	RLAN_ZIE01
		Zielona Góra, ul św. Kingi 1	Szkoła Podstawowa Nr 6	RLAN_ZIE02
5	łódzkie	Aleksandrów Łódzki, Bełdów 37	Szkoła Podstawowa im. Ryszarda Wyrzykowskiego w Bełdowie	RLAN_BEL01
		Łowicz, ul. Poznańska 4	Szkoła Podstawowa w Popowie	RLAN_POPO1
6	małopolskie	Morawica, Brzoskwinia 129	Szkoła Podstawowa w Brzoskwini	RLAN_BRO01
		Kraków, ul. Telimeny 9	Zespole Szkół Ogólnokształcących Nr 12	RLAN_KRA01
7	mazowieckie	Warszawa, ul. Ciasna 13	Szkoła Podstawowa Nr 158 im. Jana Kilińskiego	RLAN_WAR01
		Warszawa, ul. Cieszyńska 8	Szkoła Podstawowa Nr 33 im. Wojsk Obrony Powietrznej Kraju	RLAN_WAR02
8	opolskie	Dąbrowa, ul. Szkolna 9	Szkoła Podstawowa w Dąbrowie	RLAN_DAB01
		Niemodlin, ul. Reymonta	Szkoła Podstawowa Nr 1 w Niemodlinie	RLAN_NIE01
9	podkarpackie	Brzeźówka, Brzeźówka 94	Szkoła Podstawowa w Brzeźówce	RLAN_BRZ01
		Rzeszów, ul. Hetmańska 120	Zespół Szkół Elektronicznych	RLAN_RZE01
10	podlaskie	Białystok, ul. W. Broniewskiego 14	Zespół Szkół Mechanicznych im. Św. Józefa Centrum Kształcenia Praktycznego Nr 2	RLAN_BIA01
		Białystok, ul. Piastowska 5	Liceum Ogólnokształcące Nr VIII im. Kazimierza Wielkiego	RLAN_BIA02
11	pomorskie	Gdańsk, ul. Głęboka 11	Zespół Szkół Ogólnokształcących Nr 6	RLAN_GDA01
		Starogard Gdański, ul. Bp. Ks. Dominika 32	Publiczna Szkoła Podstawowa Nr 6 im. J. Pawła II	RLAN_STA01

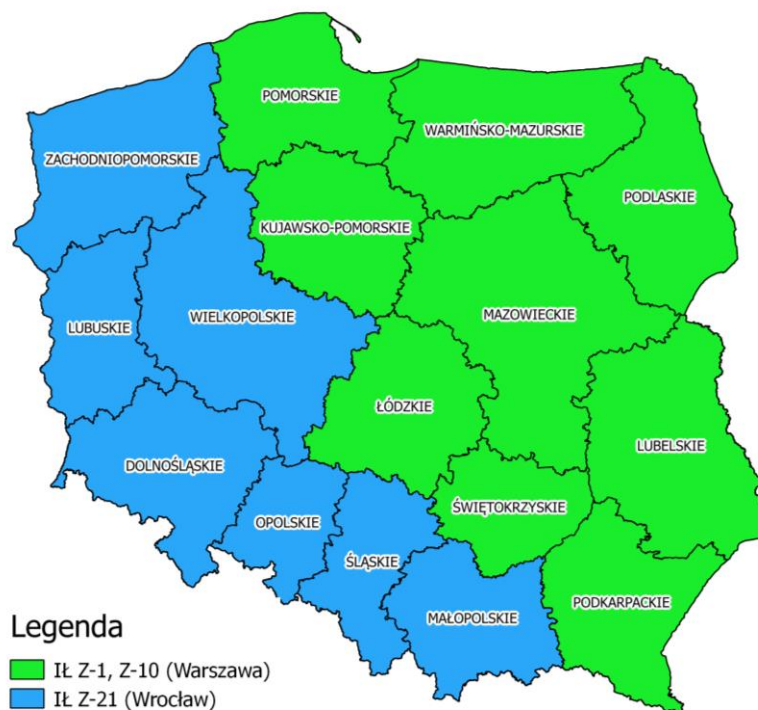
Lp.	Województwo	Adres	Rodzaj placówki	Sprawozdanie
12	śląskie	Katowice, ul. Mickiewicza 11	Liceum Ogólnokształcące Nr 3	RLAN_KAT01
		Katowice, ul. Bolesława Chrobrego 4	Zespole Szkół Ogólnokształcących Nr 3	RLAN_KAT02
13	świętokrzyskie	Kielce, ul. Zagórska 14	Zespół Szkół Przemysłu Spożywczego w Kielcach	RLAN_KIE01
		Kielce, Aleja Legionów 4	VII Liceum Ogólnokształcące im. J. Piłsudskiego / I Liceum Profilowane (ZSP Nr 2)	RLAN_KIE02
14	warmińsko-mazurskie	Olsztyn, ul. Bałtycka 37a	Zespół Szkół Elektronicznych i Telekomunikacyjnych	RLAN_OLS01
		Olsztyn, ul. Żołnierska 15	Zespół Szkół Budowlanych im. Żołnierzy Armii Krajowej	RLAN_OLS02
15	wielkopolskie	Poznań, ul. Prądyńskiego 53	Szkoła Podstawowa Nr 25	RLAN_POZ01
		Poznań, ul. Bydgoska 4	Poznańska Ogólnokształcąca Szkoła Muzyczna I stopnia Nr 2	RLAN_POZ02
16	zachodniopomorskie	Szczecin, ul. Pomorska 150	III Liceum Ogólnokształcące	RLAN_SZC01
		Szczecin, ul. Hoża 3	Zespół Szkół Nr 5	RLAN_SZC02

### 4.3 Wykonawcy badań

Zakres prac realizowanych w ramach podzadania (zarówno badań dokumentacji jak i wykonywania pomiarów PEM) został podzielony pomiędzy dwa zespoły wykonawcze IŁ-PIB:

- Z-21 we Wrocławiu,
- Z-1 i Z-10 w Warszawie,

odpowiednio województwami, tak jak pokazano to na mapie (Rys. 3).



Rys. 3 Podział zadań pomiędzy wykonawców

Kluczowy zespół projektowy IŁ-PIB w Warszawie:

- Arkadiusz Kalinowski,
- Jakub Kwiecień,
- Konrad Łakomic,
- Aleksander Orłowski,
- Henryk Parapura,
- Rafał Pawlak,
- Tomasz Sędek,
- Arkadiusz Staszak,
- Mikołaj Waszkiewicz,
- Augustyn Wójcik.

Kluczowy zespół projektowy IŁ-PIB we Wrocławiu:

- Dagmara Dykiert,
- Bartosz Głowacz,
- Tomasz Górdziałek,
- Joanna Kalina,
- Marek Michalak,
- Michał Stajszczyk,
- Jagoda Wierzbicka.

#### 4.4 Aparatura i oprzyrządowanie wykorzystane do badań

Wykazy aparatury pomiarowej stosowanej w badaniach PEM w otoczeniu stacji bazowych, oraz w badaniach PEM w otoczeniu punktów dostępowych sieci RLAN, prowadzonych przez zespół IŁ-PIB w Warszawie oraz we Wrocławiu, są zawarte odpowiednio w Tabl. 19 i Tabl. 20 oraz w Tabl. 21 i Tabl. 22.

Tabl. 19 Wykaz aparatury pomiarowej – pomiary SBTK– zespół IŁ-PIB w Warszawie

Lp.	Nazwa	Model	Numer	Producent
1.	Miernik temperatury i wilgotności	HMI 41	IŁ 801.1111352	VAISALA
2a.	Selektywny miernik pól promieniowanych	SRM-3006	O-0019	Narda Safety Test Solutions GmbH
2b.	Izotropowa antena pomiarowa składowej pola E	3501/03	M-0201	

Tabl. 20 Wykaz aparatury pomiarowej – pomiary SBTK – zespół IŁ-PIB we Wrocławiu

Lp.	Nazwa	Model	Numer	Producent
1.	Termohigrometr	D3121	06910142	Comet
2a.	Selektywny miernik natężenia pola	SRM-3006	O-0024	Narda Safety Test Solutions GmbH
2b.	Izotropowa antena pomiarowa składowej pola E	3501/03	M-0204	

Tabl. 21 Wykaz aparatury pomiarowej – pomiary RLAN– zespół IŁ-PIB w Warszawie

Lp.	Nazwa	Model	Numer	Producent
1.	Miernik temperatury i wilgotności	HMI 41	IŁ 801.1111352	VAISALA
2a.	Selektywny miernik pól promieniowanych	SRM-3006	O-0019	Narda Safety Test Solutions GmbH
2b.	Izotropowa antena pomiarowa składowej pola E	3502/01	G-0164	

Tabl. 22 Wykaz aparatury pomiarowej – pomiary RLAN – zespół IŁ-PIB we Wrocławiu

Lp.	Nazwa	Model	Numer	Producent
1.	Termohigrometr	D3121	06910142	Comet
2a.	Selektywny miernik natężenia pola	SRM-3006	O-0024	Narda Safety Test Solutions GmbH
2b.	Izotropowa antena pomiarowa składowej pola elektrycznego	3502/01	G-0162	

Wszystkie przyrządy pomiarowe, wykorzystywane w trakcie prowadzenia badań PEM, posiadały aktualne świadectwa wzorcowania.

#### 4.5 Metody pomiarowe

W badaniach poziomu pól elektrycznych w otoczeniu stacji bazowych telefonii komórkowej, prowadzonych w roku 2018 zastosowano, opracowaną w ramach badań pilotażowych prowadzonych w roku 2016 oraz zweryfikowaną w kampanii pomiarowej w roku 2017, metodykę wykonywania pomiarów i oszacowania maksymalnych wartości natężenia pola w przypadku stacji systemów radiokomunikacji ruchomej, w których to stacjach wartość skuteczna natężenia pola jest związana z chwilowym obciążeniem stacji ruchem telekomunikacyjnych (dotyczy to w szczególności stacji UMTS i LTE powszechnie stosowanych w sieciach krajowych). W opracowanej metodyce uwzględniono wymagania określone w Rozporządzeniu Ministra Środowiska z 30.10.2003 r. oraz wytyczne, ustalone na podstawie norm europejskich, dotyczące wykonywania i ekstrapolacji wyników w przypadku pól wytwarzanych przez instalacje antenowe stacji bazowych systemów GSM, UMTS i LTE. Opracowaną metodykę dostosowano do posiadanego wyposażenia pomiarowego, tj. miernika natężenia pola model SRM-3006. Ponadto zastosowano wymagania akredytacyjne Polskiego Centrum Akredytacji dla laboratoriów badawczych wykonujących pomiary pola elektromagnetycznego w środowisku dla celów obszaru regulowanego, opisane w programie DAB-18, Wydanie 1 z 2.02.2017 r. Program DAB-18 został opracowany w celu harmonizacji podejścia do akredytacji laboratoriów badawczych, wykonujących pomiary pola elektromagnetycznego w środowisku, o którym mowa w ustawie z dnia 27 kwietnia 2001 r. Prawo ochrony środowiska (Dz.U. 2016 poz. 672 z późn. zm.). Zgodnie z zaleceniami programu DAB-18, pomiary pól elektromagnetycznych realizowano z uwzględnieniem wymagań rozporządzenia Ministra Środowiska z dnia 30 października 2003 r., z uwzględnieniem mających zastosowanie norm PN-EN 50413:2009 +A1:2014, PN-EN 62232:2018 oraz PN-EN 62311:2010. Wymagania i wytyczne opisane w programie DAB-18 są także powiązane z wymaganiami zawartymi w normie PN-EN ISO/IEC 17025, która stanowi podstawę akredytacji laboratoriów badawczych. Szczegółowy opis metodyki przedstawiono w dokumencie **Załącznik 1: Metodyka pomiarów – stacje bazowe**, udostępnionym na portalu [pem.itl.waw.pl](http://pem.itl.waw.pl).

W badaniach poziomu pól elektrycznych w otoczeniu punktów dostępowych sieci RLAN 2,4 GHz oraz 5 GHz, prowadzonych w roku 2018 zastosowano, opracowaną i zweryfikowaną w badaniach pilotażowych w roku 2017, metodykę wykonywania pomiarów i oszacowania maksymalnych wartości natężenia pola.

Szczegółowy opis metodyki przedstawiono w dokumencie **Załącznik 2: Metodyka pomiarów – RLAN**, udostępnionym na portalu [pem.itl.waw.pl](http://pem.itl.waw.pl).

## 5. WYNIKI POMIARÓW – SBTk

Poniżej przedstawiono zestawienie wyników pomiarów natężenia pól elektrycznych (pomiaru szerokopasmowe oraz selektywne) dla 96 badanych lokalizacji stacji bazowych na terenie całego kraju.

W kolejnych podpunktach, biorąc pod uwagę:

- wymagania, określone w rozporządzeniu Ministra Środowiska z dnia 30 października 2003 r. w sprawie dopuszczalnych poziomów pól elektromagnetycznych w środowisku oraz sposobów sprawdzania dotrzymania tych poziomów w miejscach dostępnych dla ludności (Dz. U. 2003, Nr 192, poz. 1883);
- wyniki badań poziomów pól elektromagnetycznych wykonanych w punktach pomiarowych, w poszczególnych lokalizacjach wytypowanych i zaakceptowanych do przeprowadzenia pomiarów,

zostały przedstawione wnioski z badań oraz tabele z wynikami pomiarów i obliczeń.

W poszczególnych tabelach zastosowano następujące opisy pól.

Opis pól – tabele wyników pomiarów szerokopasmowych:

1. Lok. – oznaczenie punktu pomiarowego;
2.  $E_{zm}$  – zmierzona wartość natężenia pola elektrycznego w zakresie częstotliwości;
3.  $E_{zm}-U\%$  – minimalna wartość natężenia pola elektrycznego  $E_{zm}$  z uwzględnieniem rozszerzonej niepewności pomiaru;
4.  $E_{zm}+U\%$  – maksymalna wartość natężenia pola elektrycznego  $E_{zm}$  z uwzględnieniem rozszerzonej niepewności pomiaru.

Opis pól – tabele wyników pomiarów selektywnych:

1. Lok. – oznaczenie punktu pomiarowego;
2.  $E$  – obliczona wartość natężenia pola elektrycznego w zakresie częstotliwości;
3.  $E-U\%$  – minimalna wartość natężenia pola elektrycznego  $E$  z uwzględnieniem rozszerzonej niepewności pomiaru;
4.  $E+U\%$  – maksymalna wartość natężenia pola elektrycznego  $E$  z uwzględnieniem rozszerzonej niepewności pomiaru;
5.  $E_{BS}$  – obliczona wartość natężenia pola elektrycznego wytwarzanego przez stacje bazowe GSM, UMTS, LTE;
6.  $E_{BS}-U\%$  – minimalna wartość natężenia pola elektrycznego  $E_{BS}$  z uwzględnieniem rozszerzonej niepewności pomiaru;
7.  $E_{BS}+U\%$  – maksymalna wartość natężenia pola elektrycznego  $E_{BS}$  z uwzględnieniem rozszerzonej niepewności pomiaru.

Uwaga: Różnice pomiędzy poszczególnymi wartościami natężenia pola elektrycznego z uwzględnieniem rozszerzonej niepewności pomiaru ( $E_{zm}-U\%$ ,  $E_{zm}+U\%$  dla pomiarów szerokopasmowych oraz  $E-U\%$ ,  $E+U\%$ ,  $E_{BS}-U\%$ ,  $E_{BS}+U\%$  dla pomiarów selektywnych), obliczonymi dla identycznej wartości natężenia pola elektrycznego ( $E_{zm}$ ,  $E$ ,  $E_{BS}$ ), są związane z:

- koniecznością zaokrąglenia, zgodnie z Rozporządzeniem Ministra Środowiska z dnia 30 października 2003 r., wyników do jednego miejsca po przecinku;

- różnymi składowymi cząstkowymi rozszerzonej niepewności pomiaru dla poszczególnych zakresów częstotliwości.

### 5.1 Białystok, Nowowarszawska

Stwierdza się, że w otoczeniu stacji:

- ID: BIA1046A,
  - ID: 96920N!
- zmierzone, w trakcie pomiarów szerokopasmowych, wartości natężenia pola elektrycznego we wszystkich 30 z 30 punktów pomiarowych, nie przekraczają wartości granicznej 7 V/m;
  - obliczone, na podstawie wyników pomiarów szerokopasmowych, wartości średniokwadratowe natężenia pola elektrycznego z uwzględnieniem oszacowanej rozszerzonej niepewności pomiaru (przedział ufności 95%), we wszystkich 30 z 30 punktów pomiarowych, nie przekraczają wartości granicznej 7 V/m;
  - obliczone, na podstawie wyników pomiarów selektywnych, wartości średniokwadratowe natężenia pola elektrycznego we wszystkich 30 z 30 punktów pomiarowych, nie przekraczają wartości granicznej 7 V/m;
  - obliczone, na podstawie wyników pomiarów selektywnych, wartości średniokwadratowe natężenia pola elektrycznego z uwzględnieniem oszacowanej rozszerzonej niepewności pomiaru (przedział ufności 95%), w 3 z 30 punktów pomiarowych, przekraczają wartość graniczną 7 V/m.

Tabl. 23 Wyniki pomiarów szerokopasmowych  
– Białystok, Nowowarszawska

1	2	3	4
Lok.	$E_{zm}$	$E_{zm}-U\%$	$E_{zm}+U\%$
-	V/m	V/m	V/m
1.	1,8	1,2	2,5
2.	2,6	1,7	3,6
3.	3,7	2,5	5,1
4.	2,3	1,6	3,3
5.	1,9	1,3	2,7
6.	2,3	1,5	3,1
7.	5,0	3,3	6,9
8.	2,1	1,4	3,0
9.	2,7	1,8	3,8
10.	1,4	1,0	2,0
11.	2,7	1,8	3,8
12.	2,9	1,9	4,0
13.	2,0	1,4	2,8
14.	0,6	0,5	0,8
15.	3,3	2,2	4,6
16.	1,7	1,1	2,4
17.	3,3	2,2	4,6
18.	1,8	1,1	2,5

1	2	3	4
Lok.	E <sub>zm</sub>	E <sub>zm</sub> -U%	E <sub>zm</sub> +U%
-	V/m	V/m	V/m
19.	2,1	1,4	3,0
20.	1,3	0,9	1,8
21.	2,1	1,5	3,0
22.	1,0	0,7	1,3
23.	1,1	0,8	1,5
24.	2,0	1,4	2,7
25.	1,2	0,8	1,7
26.	1,4	1,0	2,0
27.	1,9	1,3	2,8
28.	0,8	0,5	1,1
29.	0,7	0,5	1,0
30.	1,4	1,0	2,0

Tabl. 24 Wyniki pomiarów selektywnych  
– Białystok, Nowowarszawska

1	2	3	4	5	6	7
Lok.	E	E-U%	E+U%	E <sub>BS</sub>	E <sub>BS</sub> -U%	E <sub>BS</sub> +U%
-	V/m	V/m	V/m	V/m	V/m	V/m
1.	3,1	2,1	4,3	3,1	2,1	4,3
2.	4,0	2,7	5,5	4,0	2,7	5,5
3.	5,5	3,7	7,7	5,5	3,7	7,7
4.	3,9	2,6	5,4	3,9	2,6	5,4
5.	2,6	1,7	3,6	2,6	1,7	3,6
6.	3,4	2,3	4,7	3,4	2,3	4,7
7.	6,9	4,4	9,6	6,9	4,4	9,6
8.	3,3	2,2	4,5	3,3	2,2	4,5
9.	3,3	2,2	4,6	3,3	2,2	4,6
10.	1,9	1,3	2,7	1,9	1,3	2,7
11.	3,8	2,5	5,3	3,8	2,5	5,3
12.	3,9	2,6	5,4	3,9	2,6	5,4
13.	3,4	2,3	4,8	3,4	2,3	4,8
14.	0,8	0,5	1,1	0,8	0,5	1,1
15.	5,2	3,4	7,2	5,2	3,4	7,2
16.	2,3	1,5	3,2	2,3	1,5	3,2
17.	4,3	2,9	6,0	4,3	2,9	6,0
18.	3,4	2,2	4,8	3,4	2,2	4,8
19.	2,8	1,9	3,9	2,8	1,9	3,9
20.	1,7	1,1	2,3	1,6	1,1	2,3
21.	3,0	1,9	4,1	2,9	1,9	4,1
22.	1,4	0,9	1,9	1,4	0,9	1,9
23.	1,2	0,8	1,6	1,2	0,8	1,6
24.	2,6	1,7	3,6	2,6	1,7	3,6
25.	1,4	1,0	2,0	1,4	1,0	2,0
26.	1,8	1,2	2,5	1,8	1,2	2,5
27.	2,7	1,8	3,7	2,7	1,8	3,7



1	2	3	4	5	6	7
Lok.	E	E-U%	E+U%	E <sub>BS</sub>	E <sub>BS</sub> -U%	E <sub>BS</sub> +U%
-	V/m	V/m	V/m	V/m	V/m	V/m
28.	1,0	0,7	1,4	1,0	0,7	1,4
29.	0,8	0,6	1,2	0,8	0,6	1,1
30.	1,8	1,2	2,6	1,8	1,2	2,6

Szczegóły odnośnie przeprowadzonych badań oraz wyniki pomiarów zawarte są w Sprawozdaniu z badań nr 0110101018/BIA01 – **Załącznik 1.**

## 5.2 Białystok, Jałbrzykowskiego

Stwierdza się, że w otoczeniu stacji:

– ID: BIA1031B

- zmierzone, w trakcie pomiarów szerokopasmowych, wartości natężenia pola elektrycznego we wszystkich 31 z 31 punktów pomiarowych, nie przekraczają wartości granicznej 7 V/m;
- obliczone, na podstawie wyników pomiarów szerokopasmowych, wartości średniokwadratowe natężenia pola elektrycznego z uwzględnieniem oszacowanej rozszerzonej niepewności pomiaru (przedział ufności 95%), we wszystkich 31 z 31 punktów pomiarowych, nie przekraczają wartości granicznej 7 V/m;
- obliczone, na podstawie wyników pomiarów selektywnych, wartości średniokwadratowe natężenia pola elektrycznego we wszystkich 31 z 31 punktów pomiarowych, nie przekraczają wartości granicznej 7 V/m;
- obliczone, na podstawie wyników pomiarów selektywnych, wartości średniokwadratowe natężenia pola elektrycznego z uwzględnieniem oszacowanej rozszerzonej niepewności pomiaru (przedział ufności 95%), we wszystkich 31 z 31 punktów pomiarowych, nie przekraczają wartości granicznej 7 V/m.

Tabl. 25 Wyniki pomiarów szerokopasmowych  
– Białystok, Jałbrzykowskiego

1	2	3	4
Lok.	E <sub>zm</sub>	E <sub>zm</sub> -U%	E <sub>zm</sub> +U%
-	V/m	V/m	V/m
1.	2,0	1,3	2,8
2.	2,3	1,5	3,3
3.	0,5	0,4	0,7
4.	2,2	1,5	3,1
5.	2,6	1,7	3,7
6.	0,9	0,7	1,4
7.	0,8	0,6	1,2
8.	0,6	0,4	0,7
9.	1,0	0,7	1,3
10.	0,6	0,5	0,8
11.	1,0	0,7	1,4
12.	1,1	0,8	1,5

1	2	3	4
Lok.	$E_{zm}$	$E_{zm}-U\%$	$E_{zm}+U\%$
-	V/m	V/m	V/m
13.	1,6	1,1	2,2
14.	1,4	0,9	1,9
15.	1,9	1,3	2,7
16.	2,9	1,8	4,1
17.	1,7	1,2	2,3
18.	0,8	0,6	1,0
19.	0,9	0,6	1,3
20.	2,8	1,8	4,0
21.	2,4	1,6	3,3
22.	2,5	1,6	3,5
23.	1,7	1,1	2,4
24.	0,8	0,6	1,0
25.	1,8	1,2	2,6
26.	2,3	1,5	3,3
27.	2,0	1,3	2,8
28.	0,4	0,3	0,4
29.	0,4	0,3	0,4
30.	0,3	0,3	0,3
31.	0,9	0,7	1,3

Tabl. 26 Wyniki pomiarów selektywnych  
– Białystok, Jałbrzykowskiego

1	2	3	4	5	6	7
Lok.	E	E-U%	E+U%	$E_{BS}$	$E_{BS}-U\%$	$E_{BS}+U\%$
-	V/m	V/m	V/m	V/m	V/m	V/m
1.	2,4	1,6	3,3	2,4	1,6	3,3
2.	2,7	1,7	3,9	2,7	1,7	3,8
3.	0,7	0,6	1,0	0,7	0,5	0,9
4.	2,6	1,7	3,7	2,6	1,7	3,6
5.	3,7	2,4	5,2	3,7	2,4	5,1
6.	1,3	0,9	1,7	1,3	0,8	1,7
7.	1,0	0,6	1,4	1,0	0,6	1,4
8.	0,6	0,4	0,8	0,6	0,4	0,8
9.	1,3	0,9	1,8	1,3	0,9	1,8
10.	0,5	0,4	0,6	0,5	0,4	0,6
11.	1,2	0,8	1,7	1,2	0,8	1,7
12.	1,5	1,0	2,1	1,5	0,9	2,1
13.	1,6	1,0	2,2	1,5	1,0	2,1
14.	1,9	1,3	2,7	1,9	1,3	2,7
15.	2,3	1,5	3,3	2,3	1,5	3,2
16.	3,9	2,5	5,6	3,9	2,5	5,6
17.	1,8	1,2	2,5	1,8	1,1	2,5
18.	1,4	1,0	2,1	1,4	0,9	2,0
19.	1,0	0,7	1,4	1,0	0,7	1,4
20.	3,8	2,4	5,3	3,7	2,4	5,3

1	2	3	4	5	6	7
Lok.	E	E-U%	E+U%	E <sub>BS</sub>	E <sub>BS</sub> -U%	E <sub>BS</sub> +U%
-	V/m	V/m	V/m	V/m	V/m	V/m
21.	3,0	2,0	4,2	3,0	1,9	4,1
22.	3,2	2,1	4,5	3,2	2,1	4,5
23.	1,8	1,1	2,5	1,8	1,1	2,5
24.	1,1	0,7	1,5	1,0	0,7	1,4
25.	2,2	1,4	3,1	2,1	1,4	3,0
26.	2,8	1,8	3,8	2,7	1,8	3,8
27.	2,0	1,3	2,8	1,9	1,3	2,7
28.	0,4	0,3	0,5	0,3	0,3	0,4
29.	0,4	0,4	0,5	0,4	0,3	0,5
30.	0,3	0,3	0,4	0,3	0,2	0,4
31.	1,0	0,7	1,4	1,0	0,7	1,3

Szczegóły odnośnie przeprowadzonych badań oraz wyniki pomiarów zawarte są w Sprawozdaniu z badań nr 0110101018/BIA02 – **Załącznik 1.**

### 5.3 Białystok, NMP Królowej Rodzin

Stwierdza się, że w otoczeniu stacji:

- ID: BIA1107B,
- ID: BT13225

- a) zmierzone, w trakcie pomiarów szerokopasmowych, wartości natężenia pola elektrycznego we wszystkich 30 z 30 punktów pomiarowych, nie przekraczają wartości granicznej 7 V/m;
- b) obliczone, na podstawie wyników pomiarów szerokopasmowych, wartości średniokwadratowe natężenia pola elektrycznego z uwzględnieniem oszacowanej rozszerzonej niepewności pomiaru (przedział ufności 95%), we wszystkich 30 z 30 punktów pomiarowych, nie przekraczają wartości granicznej 7 V/m;
- c) obliczone, na podstawie wyników pomiarów selektywnych, wartości średniokwadratowe natężenia pola elektrycznego we wszystkich 30 z 30 punktów pomiarowych, nie przekraczają wartości granicznej 7 V/m;
- d) obliczona, na podstawie wyników pomiarów selektywnych, wartość średniokwadratowa natężenia pola elektrycznego z uwzględnieniem oszacowanej rozszerzonej niepewności pomiaru (przedział ufności 95%), w 1 z 30 punktów pomiarowych, przekracza wartość graniczną 7 V/m.

Tabl. 27 Wyniki pomiarów szerokopasmowych  
– Białystok, NMP Królowej Rodzin

1	2	3	4
Lok.	E <sub>zm</sub>	E <sub>zm</sub> -U%	E <sub>zm</sub> +U%
-	V/m	V/m	V/m
1.	1,5	1,0	2,1
2.	2,6	1,7	3,6
3.	3,0	2,0	4,2

1	2	3	4
Lok.	$E_{zm}$	$E_{zm}-U\%$	$E_{zm}+U\%$
-	V/m	V/m	V/m
4.	2,7	1,7	3,8
5.	2,0	1,3	2,8
6.	0,9	0,6	1,3
7.	2,0	1,4	2,8
8.	1,7	1,1	2,4
9.	1,0	0,6	1,4
10.	1,4	0,9	2,0
11.	0,8	0,6	1,1
12.	1,7	1,1	2,3
13.	2,8	1,9	3,9
14.	0,7	0,5	0,9
15.	1,0	0,7	1,4
16.	0,7	0,5	0,9
17.	2,6	1,7	3,6
18.	1,8	1,2	2,5
19.	2,0	1,3	2,7
20.	1,3	0,9	1,8
21.	1,0	0,7	1,5
22.	0,8	0,6	1,1
23.	0,7	0,5	0,9
24.	1,6	1,1	2,2
25.	0,8	0,5	1,1
26.	0,8	0,5	1,1
27.	1,5	1,0	2,1
28.	0,5	0,4	0,6
29.	1,7	1,1	2,3
30.	0,2	0,2	0,2

Tabl. 28 Wyniki pomiarów selektywnych  
– Białystok, NMP Królowej Rodzin

1	2	3	4	5	6	7
Lok.	E	E-U%	E+U%	$E_{BS}$	$E_{BS}-U\%$	$E_{BS}+U\%$
-	V/m	V/m	V/m	V/m	V/m	V/m
1.	2,1	1,4	3,0	2,1	1,4	3,0
2.	3,8	2,5	5,3	3,8	2,5	5,3
3.	4,4	2,9	6,1	4,4	2,9	6,1
4.	4,4	2,8	6,2	4,4	2,8	6,2
5.	2,2	1,5	3,2	2,2	1,5	3,2
6.	1,5	1,0	2,3	1,5	1,0	2,3
7.	2,8	1,9	3,9	2,8	1,9	3,9
8.	2,5	1,6	3,5	2,5	1,6	3,5
9.	1,6	1,1	2,3	1,6	1,0	2,2
10.	2,4	1,6	3,4	2,4	1,6	3,4
11.	1,2	0,8	1,6	1,2	0,8	1,6
12.	3,9	2,5	5,4	3,9	2,5	5,4

1	2	3	4	5	6	7
Lok.	E	E-U%	E+U%	E <sub>BS</sub>	E <sub>BS</sub> -U%	E <sub>BS</sub> +U%
-	V/m	V/m	V/m	V/m	V/m	V/m
13.	5,3	3,4	7,4	5,3	3,4	7,4
14.	1,1	0,8	1,6	1,1	0,7	1,6
15.	2,3	1,5	3,2	2,2	1,5	3,2
16.	0,8	0,6	1,1	0,8	0,5	1,1
17.	4,2	2,8	5,9	4,2	2,7	5,9
18.	3,0	2,0	4,3	3,0	2,0	4,3
19.	4,2	2,7	5,9	4,2	2,7	5,9
20.	1,9	1,3	2,7	1,9	1,3	2,7
21.	2,0	1,3	2,8	2,0	1,3	2,7
22.	2,8	1,7	3,9	2,7	1,7	3,9
23.	1,3	0,9	1,8	1,3	0,8	1,8
24.	2,3	1,6	3,2	2,3	1,6	3,2
25.	1,2	0,7	1,6	1,1	0,7	1,6
26.	1,6	1,1	2,3	1,6	1,1	2,3
27.	2,9	1,9	4,1	2,9	1,9	4,1
28.	0,8	0,6	1,0	0,8	0,5	1,0
29.	3,3	2,1	4,7	3,3	2,1	4,7
30.	0,3	0,3	0,3	0,3	0,3	0,3

Szczegóły odnośnie przeprowadzonych badań oraz wyniki pomiarów zawarte są w Sprawozdaniu z badań nr 0110101018/BIA03 – **Załącznik 1.**

#### 5.4 Białystok, Jana Pawła II

Stwierdza się, że w otoczeniu stacji:

- ID: BT13464
- a) zmierzone, w trakcie pomiarów szerokopasmowych, wartości natężenia pola elektrycznego we wszystkich 30 z 30 punktów pomiarowych, nie przekraczają wartości granicznej 7 V/m;
- b) obliczone, na podstawie wyników pomiarów szerokopasmowych, wartości średniokwadratowe natężenia pola elektrycznego z uwzględnieniem oszacowanej rozszerzonej niepewności pomiaru (przedział ufności 95%), we wszystkich 30 z 30 punktów pomiarowych, nie przekraczają wartości granicznej 7 V/m;
- c) obliczone, na podstawie wyników pomiarów selektywnych, wartości średniokwadratowe natężenia pola elektrycznego we wszystkich 30 z 30 punktów pomiarowych, nie przekraczają wartości granicznej 7 V/m;
- d) obliczone, na podstawie wyników pomiarów selektywnych, wartości średniokwadratowe natężenia pola elektrycznego z uwzględnieniem oszacowanej rozszerzonej niepewności pomiaru (przedział ufności 95%), we wszystkich 30 z 30 punktów pomiarowych, nie przekraczają wartości granicznej 7 V/m.

Tabl. 29 Wyniki pomiarów szerokopasmowych  
– Białystok, Jana Pawła II

1	2	3	4
Lok.	$E_{zm}$	$E_{zm}-U\%$	$E_{zm}+U\%$
-	V/m	V/m	V/m
1.	1,2	0,8	1,6
2.	0,7	0,6	1,0
3.	1,0	0,7	1,3
4.	0,7	0,5	0,9
5.	1,1	0,8	1,5
6.	0,8	0,7	1,1
7.	1,5	1,0	2,1
8.	2,7	1,8	3,9
9.	0,9	0,6	1,3
10.	0,8	0,6	1,1
11.	0,9	0,7	1,2
12.	0,9	0,7	1,2
13.	1,0	0,7	1,3
14.	1,1	0,8	1,5
15.	0,8	0,5	1,1
16.	0,7	0,5	1,0
17.	1,1	0,8	1,5
18.	1,5	1,1	2,2
19.	1,2	0,8	1,7
20.	1,4	0,9	1,8
21.	1,1	0,8	1,5
22.	1,0	0,7	1,4
23.	0,9	0,6	1,2
24.	0,5	0,4	0,5
25.	0,9	0,6	1,2
26.	0,8	0,6	1,1
27.	0,8	0,6	1,1
28.	0,9	0,6	1,2
29.	1,0	0,7	1,4
30.	1,5	1,0	2,1

Tabl. 30 Wyniki pomiarów selektywnych  
– Białystok, Jana Pawła II

1	2	3	4	5	6	7
Lok.	E	$E-U\%$	$E+U\%$	$E_{BS}$	$E_{BS}-U\%$	$E_{BS}+U\%$
-	V/m	V/m	V/m	V/m	V/m	V/m
1.	1,4	0,8	1,9	1,3	0,8	1,9
2.	1,0	0,7	1,4	1,0	0,7	1,4
3.	1,3	0,8	1,8	1,3	0,8	1,8
4.	0,9	0,7	1,2	0,9	0,7	1,2
5.	1,2	0,8	1,7	1,2	0,7	1,7

1	2	3	4	5	6	7
Lok.	E	E-U%	E+U%	E <sub>BS</sub>	E <sub>BS</sub> -U%	E <sub>BS</sub> +U%
-	V/m	V/m	V/m	V/m	V/m	V/m
6.	0,9	0,6	1,2	0,9	0,6	1,2
7.	1,5	1,0	2,1	1,5	1,0	2,1
8.	2,7	1,8	3,8	2,7	1,8	3,7
9.	1,2	0,8	1,7	1,2	0,8	1,7
10.	1,0	0,7	1,4	1,0	0,7	1,4
11.	1,2	0,8	1,6	1,1	0,8	1,6
12.	1,1	0,8	1,6	1,1	0,7	1,6
13.	1,3	0,9	1,8	1,3	0,9	1,8
14.	1,4	1,0	2,0	1,4	0,9	2,0
15.	1,1	0,8	1,6	1,1	0,8	1,6
16.	0,9	0,6	1,2	0,9	0,6	1,2
17.	1,2	0,8	1,6	1,1	0,8	1,6
18.	1,9	1,3	2,7	1,9	1,3	2,7
19.	1,8	1,2	2,5	1,8	1,2	2,5
20.	1,8	1,2	2,6	1,8	1,2	2,6
21.	1,4	0,9	1,9	1,4	0,9	1,9
22.	1,2	0,8	1,7	1,2	0,8	1,7
23.	1,3	0,9	1,8	1,3	0,8	1,8
24.	0,5	0,5	0,7	0,5	0,4	0,7
25.	1,2	0,8	1,6	1,2	0,8	1,6
26.	1,3	0,9	1,8	1,3	0,9	1,8
27.	1,3	0,8	1,7	1,3	0,8	1,7
28.	1,2	0,7	1,6	1,1	0,7	1,6
29.	1,7	1,1	2,3	1,7	1,1	2,3
30.	2,0	1,3	2,8	2,0	1,3	2,8

Szczegóły odnośnie przeprowadzonych badań oraz wyniki pomiarów zawarte są w Sprawozdaniu z badań nr 0110101018/BIA04 – **Załącznik 1.**

### 5.5 Białystok, Świętojańska

Stwierdza się, że w otoczeniu stacji:

- ID: BIA1103A
- a) zmierzone, w trakcie pomiarów szerokopasmowych, wartości natężenia pola elektrycznego we wszystkich 30 z 30 punktów pomiarowych, nie przekraczają wartości granicznej 7 V/m;
- b) obliczone, na podstawie wyników pomiarów szerokopasmowych, wartości średniokwadratowe natężenia pola elektrycznego z uwzględnieniem oszacowanej rozszerzonej niepewności pomiaru (przedział ufności 95%), we wszystkich 30 z 30 punktów pomiarowych, nie przekraczają wartości granicznej 7 V/m;
- c) obliczone, na podstawie wyników pomiarów selektywnych, wartości średniokwadratowe natężenia pola elektrycznego we wszystkich 30 z 30 punktów pomiarowych, nie przekraczają wartości granicznej 7 V/m;

- d) obliczone, na podstawie wyników pomiarów selektywnych, wartości średniokwadratowe natężenia pola elektrycznego z uwzględnieniem oszacowanej rozszerzonej niepewności pomiaru (przedział ufności 95%), we wszystkich 30 z 30 punktów pomiarowych, nie przekraczają wartości granicznej 7 V/m.

Tabl. 31 Wyniki pomiarów szerokopasmowych  
– Białystok, Świętojańska

<b>1</b>	<b>2</b>	<b>3</b>	<b>4</b>
<b>Lok.</b>	<b><math>E_{zm}</math></b>	<b><math>E_{zm}-U\%</math></b>	<b><math>E_{zm}+U\%</math></b>
-	<b>V/m</b>	<b>V/m</b>	<b>V/m</b>
1.	0,8	0,6	1,1
2.	1,5	1,0	2,1
3.	0,9	0,6	1,3
4.	0,8	0,5	1,2
5.	1,0	0,7	1,4
6.	1,1	0,8	1,6
7.	0,4	0,4	0,5
8.	0,9	0,6	1,2
9.	1,0	0,7	1,4
10.	0,5	0,3	0,7
11.	0,8	0,5	1,2
12.	0,9	0,7	1,3
13.	0,6	0,5	0,8
14.	0,9	0,6	1,2
15.	1,1	0,7	1,5
16.	1,4	0,9	1,9
17.	0,4	0,3	0,5
18.	1,1	0,7	1,5
19.	1,7	1,1	2,4
20.	1,2	0,8	1,6
21.	1,5	0,9	2,1
22.	1,2	0,8	1,7
23.	1,0	0,7	1,3
24.	0,8	0,6	1,2
25.	1,3	0,9	1,8
26.	1,0	0,7	1,4
27.	0,6	0,4	0,8
28.	1,8	1,1	2,5
29.	1,1	0,7	1,5
30.	1,2	0,8	1,6



Tabl. 32 Wyniki pomiarów selektywnych  
– Białystok, Świętojańska

1	2	3	4	5	6	7
Lok.	E	E-U%	E+U%	E <sub>BS</sub>	E <sub>BS</sub> -U%	E <sub>BS</sub> +U%
-	V/m	V/m	V/m	V/m	V/m	V/m
1.	1,0	0,7	1,4	1,0	0,7	1,4
2.	2,4	1,5	3,4	2,4	1,5	3,4
3.	1,8	1,2	2,6	1,8	1,2	2,6
4.	1,3	0,9	1,8	1,3	0,9	1,8
5.	1,6	1,1	2,2	1,6	1,1	2,2
6.	1,6	1,0	2,3	1,6	1,0	2,3
7.	0,5	0,4	0,6	0,4	0,3	0,6
8.	1,3	0,9	1,8	1,3	0,9	1,8
9.	1,4	0,9	2,0	1,4	0,9	2,0
10.	0,6	0,4	0,9	0,6	0,4	0,9
11.	1,7	1,1	2,4	1,7	1,1	2,4
12.	1,3	0,9	1,8	1,3	0,9	1,8
13.	0,8	0,5	1,1	0,7	0,5	1,0
14.	0,8	0,6	1,1	0,8	0,6	1,1
15.	1,2	0,8	1,6	1,2	0,8	1,6
16.	1,7	1,2	2,4	1,7	1,2	2,4
17.	0,7	0,5	1,1	0,7	0,5	1,1
18.	1,6	1,0	2,2	1,6	1,0	2,2
19.	2,1	1,3	3,0	2,1	1,3	3,0
20.	1,7	1,2	2,4	1,7	1,2	2,4
21.	1,8	1,2	2,5	1,8	1,2	2,5
22.	1,9	1,2	2,5	1,8	1,2	2,5
23.	1,2	0,8	1,7	1,2	0,8	1,7
24.	0,9	0,6	1,3	0,9	0,6	1,3
25.	2,1	1,4	3,0	2,1	1,4	3,0
26.	1,9	1,3	2,7	1,9	1,3	2,7
27.	1,1	0,8	1,6	1,1	0,8	1,6
28.	2,3	1,5	3,3	2,3	1,5	3,3
29.	1,6	1,1	2,2	1,6	1,1	2,2
30.	1,2	0,8	1,7	1,2	0,8	1,7

Szczegóły odnośnie przeprowadzonych badań oraz wyniki pomiarów zawarte są w Sprawozdaniu z badań nr 0110101018/BIA05 – **Załącznik 1.**

### 5.6 Białystok, Mickiewicza

Stwierdza się, że w otoczeniu stacji:

- ID: 24008(96007N!)

a) zmierzone, w trakcie pomiarów szerokopasmowych, wartości natężenia pola elektrycznego we wszystkich 30 z 30 punktów pomiarowych, nie przekraczają wartości granicznej 7 V/m;

- b) obliczone, na podstawie wyników pomiarów szerokopasmowych, wartości średniokwadratowe natężenia pola elektrycznego z uwzględnieniem oszacowanej rozszerzonej niepewności pomiaru (przedział ufności 95%), we wszystkich 30 z 30 punktów pomiarowych, nie przekraczają wartości granicznej 7 V/m;
- c) obliczone, na podstawie wyników pomiarów selektywnych, wartości średniokwadratowe natężenia pola elektrycznego we wszystkich 30 z 30 punktów pomiarowych, nie przekraczają wartości granicznej 7 V/m;
- d) obliczone, na podstawie wyników pomiarów selektywnych, wartości średniokwadratowe natężenia pola elektrycznego z uwzględnieniem oszacowanej rozszerzonej niepewności pomiaru (przedział ufności 95%), we wszystkich 30 z 30 punktów pomiarowych, nie przekraczają wartości granicznej 7 V/m.

Tabl. 33 Wyniki pomiarów szerokopasmowych  
– Białystok, Mickiewicza

<b>1</b>	<b>2</b>	<b>3</b>	<b>4</b>
<b>Lok.</b>	<b><math>E_{zm}</math></b>	<b><math>E_{zm}-U\%</math></b>	<b><math>E_{zm}+U\%</math></b>
-	<b>V/m</b>	<b>V/m</b>	<b>V/m</b>
1.	1,3	0,9	1,7
2.	0,9	0,7	1,3
3.	0,8	0,6	1,1
4.	0,6	0,5	0,7
5.	0,6	0,4	0,8
6.	1,0	0,7	1,3
7.	0,8	0,6	1,1
8.	0,5	0,4	0,7
9.	0,9	0,6	1,3
10.	0,5	0,4	0,8
11.	0,7	0,4	1,0
12.	0,5	0,4	0,7
13.	1,1	0,8	1,5
14.	0,7	0,5	1,1
15.	0,3	0,3	0,3
16.	1,0	0,7	1,4
17.	0,5	0,4	0,7
18.	0,8	0,5	1,1
19.	0,5	0,4	0,7
20.	1,2	0,8	1,6
21.	1,2	0,8	1,6
22.	0,5	0,5	0,6
23.	0,9	0,6	1,3
24.	0,6	0,4	0,9
25.	0,8	0,6	1,1
26.	0,5	0,4	0,6
27.	0,6	0,5	0,9
28.	0,4	0,4	0,5
29.	0,8	0,5	1,1
30.	0,8	0,5	1,1

Tabl. 34 Wyniki pomiarów selektywnych  
– Białystok, Mickiewicza

1	2	3	4	5	6	7
Lok.	E	E-U%	E+U%	E <sub>BS</sub>	E <sub>BS</sub> -U%	E <sub>BS</sub> +U%
-	V/m	V/m	V/m	V/m	V/m	V/m
1.	1,3	0,9	1,8	1,3	0,9	1,8
2.	0,9	0,7	1,3	0,9	0,7	1,3
3.	0,9	0,6	1,2	0,9	0,6	1,2
4.	0,4	0,4	0,5	0,4	0,4	0,5
5.	0,6	0,4	0,8	0,6	0,4	0,8
6.	0,7	0,6	1,0	0,7	0,6	1,0
7.	0,9	0,6	1,2	0,9	0,6	1,2
8.	0,3	0,3	0,4	0,3	0,3	0,4
9.	1,0	0,6	1,4	0,7	0,5	0,9
10.	0,6	0,4	0,8	0,6	0,4	0,8
11.	0,8	0,5	1,1	0,8	0,5	1,1
12.	0,5	0,3	0,7	0,5	0,3	0,7
13.	1,4	0,9	1,9	1,4	0,9	1,9
14.	0,7	0,4	1,0	0,7	0,4	0,9
15.	0,3	0,3	0,3	0,3	0,3	0,3
16.	1,2	0,8	1,6	1,2	0,8	1,6
17.	0,5	0,3	0,7	0,5	0,3	0,7
18.	1,3	0,9	1,8	1,3	0,9	1,8
19.	0,7	0,4	0,9	0,7	0,4	0,9
20.	1,2	0,8	1,6	1,2	0,8	1,6
21.	1,3	0,9	1,8	1,3	0,9	1,8
22.	0,6	0,4	0,8	0,6	0,4	0,8
23.	1,1	0,8	1,6	1,1	0,8	1,6
24.	0,9	0,6	1,2	0,9	0,6	1,2
25.	1,0	0,7	1,5	1,0	0,7	1,5
26.	0,6	0,4	0,8	0,6	0,4	0,8
27.	0,8	0,5	1,1	0,8	0,5	1,1
28.	0,4	0,4	0,5	0,4	0,4	0,5
29.	0,8	0,5	1,1	0,8	0,5	1,1
30.	0,9	0,6	1,3	0,9	0,6	1,3

Szczegóły odnośnie przeprowadzonych badań oraz wyniki pomiarów zawarte są w Sprawozdaniu z badań nr 0110101018/BIA06 – **Załącznik 1.**

### 5.7 Bydgoszcz, Gdańska

Stwierdza się, że w otoczeniu stacji:

- ID: BT44891
- a) zmierzone, w trakcie pomiarów szerokopasmowych, wartości natężenia pola elektrycznego we wszystkich 30 z 30 punktów pomiarowych, nie przekraczają wartości granicznej 7 V/m;
- b) obliczone, na podstawie wyników pomiarów szerokopasmowych, wartości średniokwadratowe natężenia pola elektrycznego z uwzględnieniem oszacowanej

rozszerzonej niepewności pomiaru (przedział ufności 95%), we wszystkich 30 z 30 punktów pomiarowych, nie przekraczają wartości granicznej 7 V/m;

- c) obliczone, na podstawie wyników pomiarów selektywnych, wartości średniokwadratowe natężenia pola elektrycznego we wszystkich 30 z 30 punktów pomiarowych, nie przekraczają wartości granicznej 7 V/m;
- d) obliczone, na podstawie wyników pomiarów selektywnych, wartości średniokwadratowe natężenia pola elektrycznego z uwzględnieniem oszacowanej rozszerzonej niepewności pomiaru (przedział ufności 95%), we wszystkich 30 z 30 punktów pomiarowych, nie przekraczają wartości granicznej 7 V/m.

Tabl. 35 Wyniki pomiarów szerokopasmowych  
– Bydgoszcz, Gdańska

<b>1</b>	<b>2</b>	<b>3</b>	<b>4</b>
<b>Lok.</b>	<b><math>E_{zm}</math></b>	<b><math>E_{zm}-U\%</math></b>	<b><math>E_{zm}+U\%</math></b>
<b>-</b>	<b>V/m</b>	<b>V/m</b>	<b>V/m</b>
1.	1,7	1,2	2,4
2.	1,5	1,0	2,0
3.	0,9	0,7	1,3
4.	2,0	1,4	2,8
5.	1,2	0,9	1,7
6.	1,0	0,8	1,4
7.	1,5	1,1	2,0
8.	1,2	0,8	1,6
9.	1,6	1,1	2,2
10.	1,6	1,1	2,2
11.	1,1	0,8	1,6
12.	0,6	0,5	0,8
13.	0,8	0,6	1,1
14.	1,6	1,1	2,3
15.	1,6	1,1	2,2
16.	1,0	0,7	1,4
17.	1,2	0,8	1,6
18.	0,2	0,2	0,2
19.	0,4	0,3	0,5
20.	0,7	0,5	0,9
21.	0,5	0,4	0,6
22.	0,5	0,4	0,5
23.	0,3	0,3	0,3
24.	0,2	0,2	0,2
25.	0,3	0,3	0,4
26.	0,3	0,3	0,4
27.	0,7	0,5	0,9
28.	0,8	0,6	1,1
29.	1,9	1,2	2,6
30.	0,3	0,3	0,3

Tabl. 36 Wyniki pomiarów selektywnych  
– Bydgoszcz, Gdańska

1	2	3	4	5	6	7
Lok.	E	E-U%	E+U%	E <sub>BS</sub>	E <sub>BS</sub> -U%	E <sub>BS</sub> +U%
-	V/m	V/m	V/m	V/m	V/m	V/m
1.	2,8	1,9	3,9	2,8	1,9	3,9
2.	2,9	2,0	4,0	2,9	2,0	4,0
3.	2,0	1,4	2,7	2,0	1,4	2,7
4.	2,2	1,5	3,0	2,1	1,5	3,0
5.	1,4	1,0	2,0	1,4	1,0	2,0
6.	1,6	1,1	2,2	1,6	1,1	2,2
7.	1,9	1,3	2,6	1,9	1,3	2,6
8.	1,6	1,1	2,2	1,6	1,1	2,2
9.	1,9	1,3	2,7	1,9	1,3	2,7
10.	2,0	1,3	2,7	2,0	1,3	2,7
11.	1,3	0,9	1,8	1,3	0,9	1,8
12.	0,8	0,6	1,1	0,7	0,6	1,1
13.	1,5	1,0	2,1	1,5	1,0	2,1
14.	1,8	1,3	2,5	1,8	1,3	2,5
15.	2,3	1,5	3,2	2,3	1,5	3,2
16.	1,7	1,1	2,3	1,7	1,1	2,3
17.	1,7	1,1	2,3	1,7	1,1	2,3
18.	0,3	0,3	0,3	0,3	0,3	0,3
19.	0,5	0,3	0,6	0,5	0,3	0,6
20.	0,9	0,6	1,2	0,9	0,6	1,2
21.	0,5	0,4	0,6	0,4	0,4	0,5
22.	0,5	0,4	0,5	0,4	0,4	0,5
23.	0,2	0,2	0,2	0,2	0,2	0,2
24.	0,3	0,3	0,4	0,3	0,2	0,4
25.	0,2	0,2	0,2	0,2	0,2	0,2
26.	0,4	0,3	0,4	0,4	0,3	0,4
27.	1,4	0,9	1,8	1,4	0,9	1,8
28.	1,0	0,7	1,4	1,0	0,7	1,4
29.	2,2	1,4	3,0	2,2	1,4	3,0
30.	0,3	0,3	0,3	0,3	0,3	0,3

Szczegóły odnośnie przeprowadzonych badań oraz wyniki pomiarów zawarte są w Sprawozdaniu z badań nr 0110101018/BYD01 – **Załącznik 1.**

### 5.8 Bydgoszcz, Grzymały-Siedleckiego

Stwierdza się, że w otoczeniu stacji:

- ID: BYD1031B
- a) zmierzone, w trakcie pomiarów szerokopasmowych, wartości natężenia pola elektrycznego we wszystkich 30 z 30 punktów pomiarowych, nie przekraczają wartości granicznej 7 V/m;
- b) obliczone, na podstawie wyników pomiarów szerokopasmowych, wartości średniokwadratowe natężenia pola elektrycznego z uwzględnieniem oszacowanej

rozszerzonej niepewności pomiaru (przedział ufności 95%), we wszystkich 30 z 30 punktów pomiarowych, nie przekraczają wartości granicznej 7 V/m;

- c) obliczona, na podstawie wyników pomiarów selektywnych, wartość średniokwadratowa natężenia pola elektrycznego w 1 z 30 punktów pomiarowych, przekracza wartość graniczną 7 V/m;
- d) obliczona, na podstawie wyników pomiarów selektywnych, wartość średniokwadratowa natężenia pola elektrycznego z uwzględnieniem oszacowanej rozszerzonej niepewności pomiaru (przedział ufności 95%), w 1 z 30 punktów pomiarowych, przekracza wartość graniczną 7 V/m.

Tabl. 37 Wyniki pomiarów szerokopasmowych  
– Bydgoszcz, Grzymały-Siedleckiego

<b>1</b>	<b>2</b>	<b>3</b>	<b>4</b>
<b>Lok.</b>	<b><math>E_{zm}</math></b>	<b><math>E_{zm}-U\%</math></b>	<b><math>E_{zm}+U\%</math></b>
<b>-</b>	<b>V/m</b>	<b>V/m</b>	<b>V/m</b>
1.	1,6	1,1	2,3
2.	3,7	2,4	5,2
3.	3,1	2,0	4,3
4.	2,0	1,3	2,8
5.	4,3	2,8	5,9
6.	2,0	1,3	2,8
7.	2,5	1,7	3,4
8.	3,0	2,0	4,1
9.	1,9	1,3	2,7
10.	2,2	1,5	3,1
11.	2,0	1,4	2,9
12.	2,6	1,7	3,7
13.	2,9	1,9	4,0
14.	2,5	1,7	3,5
15.	1,8	1,2	2,6
16.	2,8	1,9	3,9
17.	2,9	2,0	4,1
18.	3,2	2,1	4,5
19.	3,5	2,3	4,8
20.	2,9	2,0	4,1
21.	2,7	1,8	3,8
22.	2,5	1,7	3,5
23.	3,0	2,0	4,3
24.	2,5	1,7	3,5
25.	2,4	1,6	3,4
26.	2,7	1,7	3,7
27.	2,5	1,6	3,4
28.	3,1	2,1	4,3
29.	3,6	2,4	5,1
30.	2,1	1,4	2,9

Tabl. 38 Wyniki pomiarów selektywnych  
– Bydgoszcz, Grzymały-Siedleckiego

1	2	3	4	5	6	7
Lok.	E	E-U%	E+U%	E <sub>BS</sub>	E <sub>BS</sub> -U%	E <sub>BS</sub> +U%
-	V/m	V/m	V/m	V/m	V/m	V/m
1.	2,2	1,5	3,1	2,2	1,5	3,1
2.	4,3	2,8	6,0	4,3	2,8	6,0
3.	4,3	2,9	6,0	4,3	2,9	6,0
4.	2,4	1,5	3,4	2,4	1,5	3,4
5.	7,1	4,5	10,1	7,1	4,5	10,1
6.	2,8	1,8	3,9	2,7	1,8	3,8
7.	3,8	2,4	5,2	3,8	2,4	5,2
8.	4,3	2,8	5,9	4,3	2,8	5,9
9.	2,4	1,6	3,3	2,4	1,6	3,3
10.	2,7	1,8	3,8	2,7	1,8	3,8
11.	3,1	2,1	4,3	3,1	2,1	4,3
12.	3,6	2,4	5,1	3,6	2,4	5,1
13.	3,7	2,4	5,1	3,7	2,4	5,1
14.	3,0	1,9	4,2	2,9	1,9	4,0
15.	2,1	1,4	2,9	2,1	1,4	2,9
16.	3,8	2,5	5,3	3,8	2,5	5,3
17.	3,6	2,4	4,9	3,6	2,4	4,9
18.	3,7	2,5	5,2	3,7	2,5	5,2
19.	4,6	3,1	6,4	4,6	3,1	6,4
20.	3,6	2,4	5,0	3,6	2,4	5,0
21.	4,2	2,7	5,8	4,2	2,7	5,8
22.	3,4	2,2	4,7	3,4	2,2	4,7
23.	3,8	2,5	5,3	3,8	2,5	5,3
24.	3,2	2,1	4,4	3,2	2,1	4,4
25.	3,1	2,0	4,3	3,1	2,0	4,3
26.	3,5	2,3	4,8	3,5	2,3	4,8
27.	3,3	2,2	4,6	3,3	2,2	4,6
28.	3,8	2,6	5,4	3,8	2,6	5,4
29.	4,0	2,6	5,6	4,0	2,6	5,6
30.	2,6	1,7	3,6	2,6	1,7	3,6

Szczegóły odnośnie przeprowadzonych badań oraz wyniki pomiarów zawarte są w Sprawozdaniu z badań nr 0110101018/BYD02 – **Załącznik 1.**

### 5.9 Bydgoszcz, Żeglarska

Stwierdza się, że w otoczeniu stacji:

- ID: BYD1058D
- a) zmierzone, w trakcie pomiarów szerokopasmowych, wartości natężenia pola elektrycznego we wszystkich 30 z 30 punktów pomiarowych, nie przekraczają wartości granicznej 7 V/m;
- b) obliczone, na podstawie wyników pomiarów szerokopasmowych, wartości średniokwadratowe natężenia pola elektrycznego z uwzględnieniem oszacowanej

rozszerzonej niepewności pomiaru (przedział ufności 95%), we wszystkich 30 z 30 punktów pomiarowych, nie przekraczają wartości granicznej 7 V/m;

- c) obliczone, na podstawie wyników pomiarów selektywnych, wartości średniokwadratowe natężenia pola elektrycznego we wszystkich 30 z 30 punktów pomiarowych, nie przekraczają wartości granicznej 7 V/m;
- d) obliczone, na podstawie wyników pomiarów selektywnych, wartości średniokwadratowe natężenia pola elektrycznego z uwzględnieniem oszacowanej rozszerzonej niepewności pomiaru (przedział ufności 95%), w 2 z 30 punktów pomiarowych, przekraczają wartość graniczną 7 V/m.

Tabl. 39 Wyniki pomiarów szerokopasmowych  
– Bydgoszcz, Żeglarska

<b>1</b>	<b>2</b>	<b>3</b>	<b>4</b>
<b>Lok.</b>	<b><math>E_{zm}</math></b>	<b><math>E_{zm}-U\%</math></b>	<b><math>E_{zm}+U\%</math></b>
-	<b>V/m</b>	<b>V/m</b>	<b>V/m</b>
1.	1,9	1,3	2,6
2.	0,9	0,6	1,3
3.	0,6	0,4	0,9
4.	1,0	0,7	1,4
5.	0,8	0,5	1,1
6.	0,8	0,5	1,2
7.	0,7	0,5	0,9
8.	1,1	0,7	1,5
9.	2,2	1,4	3,0
10.	2,2	1,4	3,0
11.	2,1	1,4	2,9
12.	2,1	1,4	2,9
13.	2,1	1,4	3,0
14.	1,4	1,0	1,8
15.	1,4	1,0	2,0
16.	1,9	1,3	2,8
17.	1,7	1,1	2,4
18.	1,6	1,1	2,2
19.	1,5	1,0	2,2
20.	1,8	1,2	2,6
21.	2,4	1,5	3,3
22.	2,1	1,4	2,9
23.	0,8	0,6	1,1
24.	0,7	0,5	0,9
25.	1,3	0,9	1,8
26.	0,6	0,5	0,8
27.	1,2	0,8	1,6
28.	0,9	0,7	1,3
29.	1,8	1,2	2,5
30.	2,0	1,3	2,8



Tabl. 40 Wyniki pomiarów selektywnych  
– Bydgoszcz, Żeglarska

1	2	3	4	5	6	7
Lok.	E	E-U%	E+U%	E <sub>BS</sub>	E <sub>BS</sub> -U%	E <sub>BS</sub> +U%
-	V/m	V/m	V/m	V/m	V/m	V/m
1.	3,0	2,0	4,2	3,0	2,0	4,2
2.	2,2	1,4	3,0	2,2	1,4	3,0
3.	1,1	0,7	1,5	1,1	0,7	1,5
4.	2,1	1,4	3,0	2,1	1,4	3,0
5.	1,5	1,0	2,1	1,5	1,0	2,1
6.	1,8	1,1	2,6	1,8	1,1	2,6
7.	1,3	0,9	1,9	1,3	0,9	1,9
8.	1,8	1,2	2,5	1,8	1,2	2,5
9.	3,9	2,6	5,5	3,9	2,6	5,5
10.	4,3	2,8	6,0	4,3	2,8	6,0
11.	3,8	2,5	5,3	3,8	2,5	5,3
12.	3,3	2,2	4,7	3,3	2,2	4,7
13.	3,0	2,0	4,3	3,0	2,0	4,3
14.	2,0	1,3	2,8	2,0	1,3	2,8
15.	2,2	1,5	3,1	2,2	1,5	3,1
16.	2,7	1,8	3,9	2,7	1,8	3,9
17.	2,2	1,4	3,1	2,2	1,4	3,1
18.	5,1	3,2	7,2	5,1	3,2	7,2
19.	2,1	1,3	3,0	2,1	1,3	2,9
20.	6,3	4,0	9,0	6,3	4,0	9,0
21.	4,0	2,6	5,6	4,0	2,6	5,6
22.	3,3	2,2	4,5	3,3	2,2	4,5
23.	1,4	0,9	2,0	1,4	0,9	2,0
24.	0,9	0,6	1,2	0,9	0,6	1,2
25.	2,0	1,3	2,8	2,0	1,3	2,8
26.	0,9	0,7	1,2	0,9	0,7	1,2
27.	1,7	1,2	2,4	1,7	1,2	2,4
28.	1,8	1,2	2,5	1,8	1,2	2,5
29.	4,8	3,1	6,9	4,8	3,0	6,9
30.	3,3	2,2	4,6	3,3	2,2	4,6

Szczegóły odnośnie przeprowadzonych badań oraz wyniki pomiarów zawarte są w Sprawozdaniu z badań nr 0110101018/BYD03 – **Załącznik 1.**

### 5.10 Bydgoszcz, Chodkiewiczza

Stwierdza się, że w otoczeniu stacji:

- ID: BYD1042C,
- ID: 0868

a) zmierzone, w trakcie pomiarów szerokopasmowych, wartości natężenia pola elektrycznego we wszystkich 30 z 30 punktów pomiarowych, nie przekraczają wartości granicznej 7 V/m;

- b) obliczone, na podstawie wyników pomiarów szerokopasmowych, wartości średniokwadratowe natężenia pola elektrycznego z uwzględnieniem oszacowanej rozszerzonej niepewności pomiaru (przedział ufności 95%), we wszystkich 30 z 30 punktów pomiarowych, nie przekraczają wartość graniczną 7 V/m;
- c) obliczone, na podstawie wyników pomiarów selektywnych, wartości średniokwadratowe natężenia pola elektrycznego we wszystkich 30 z 30 punktów pomiarowych, nie przekraczają wartości granicznej 7 V/m;
- d) obliczona, na podstawie wyników pomiarów selektywnych, wartość średniokwadratowa natężenia pola elektrycznego z uwzględnieniem oszacowanej rozszerzonej niepewności pomiaru (przedział ufności 95%), w 1 z 30 punktów pomiarowych, przekracza wartość graniczną 7 V/m.

Tabl. 41 Wyniki pomiarów szerokopasmowych  
– Bydgoszcz, Chodkiewicza

1	2	3	4
Lok.	$E_{zm}$	$E_{zm}-U\%$	$E_{zm}+U\%$
-	V/m	V/m	V/m
1.	1,7	1,1	2,4
2.	2,4	1,6	3,3
3.	2,3	1,5	3,3
4.	1,6	1,1	2,2
5.	1,9	1,3	2,7
6.	2,0	1,3	2,8
7.	1,3	0,9	1,8
8.	1,9	1,3	2,7
9.	2,3	1,5	3,3
10.	2,1	1,4	2,9
11.	1,8	1,2	2,5
12.	2,1	1,4	3,0
13.	2,3	1,5	3,2
14.	0,6	0,4	0,8
15.	2,5	1,7	3,6
16.	3,2	2,1	4,5
17.	1,7	1,1	2,4
18.	1,1	0,7	1,5
19.	2,1	1,4	3,0
20.	2,8	1,8	3,9
21.	3,3	2,2	4,5
22.	1,8	1,2	2,5
23.	1,8	1,2	2,6
24.	2,2	1,5	3,0
25.	2,5	1,7	3,5
26.	2,0	1,4	2,9
27.	1,9	1,3	2,6
28.	2,2	1,4	3,1
29.	1,4	0,9	1,9
30.	1,6	1,1	2,3

Tabl. 42 Wyniki pomiarów selektywnych  
– Bydgoszcz, Chodkiewicza

1	2	3	4	5	6	7
Lok.	E	E-U%	E+U%	E <sub>BS</sub>	E <sub>BS</sub> -U%	E <sub>BS</sub> +U%
-	V/m	V/m	V/m	V/m	V/m	V/m
1.	2,0	1,4	2,8	1,6	1,1	2,3
2.	3,0	2,0	4,2	2,6	1,7	3,7
3.	2,6	1,6	3,6	2,0	1,3	2,7
4.	1,8	1,2	2,5	1,6	1,1	2,3
5.	2,0	1,4	2,8	1,9	1,3	2,6
6.	2,2	1,4	3,0	1,7	1,1	2,4
7.	1,5	1,0	2,0	1,2	0,8	1,7
8.	1,8	1,2	2,5	1,7	1,1	2,4
9.	2,4	1,6	3,3	2,2	1,5	3,1
10.	2,3	1,5	3,2	2,0	1,4	2,8
11.	1,9	1,3	2,8	1,8	1,2	2,5
12.	2,5	1,7	3,5	2,5	1,7	3,4
13.	2,7	1,7	3,8	2,4	1,5	3,4
14.	0,6	0,5	0,9	0,3	0,3	0,3
15.	3,2	2,1	4,5	2,9	1,9	4,0
16.	3,8	2,5	5,4	3,4	2,2	4,8
17.	2,1	1,4	2,9	2,0	1,3	2,9
18.	1,2	0,8	1,7	1,0	0,7	1,3
19.	2,8	1,8	3,8	2,6	1,7	3,6
20.	3,1	2,0	4,3	2,9	1,9	4,1
21.	5,8	3,8	8,1	5,7	3,7	8,0
22.	2,4	1,5	3,3	1,9	1,2	2,7
23.	1,9	1,3	2,7	1,4	0,9	2,0
24.	2,5	1,6	3,4	1,7	1,1	2,3
25.	2,7	1,8	3,8	2,2	1,4	3,1
26.	2,2	1,5	3,2	1,8	1,3	2,6
27.	2,1	1,3	2,9	1,9	1,2	2,7
28.	2,7	1,8	3,8	2,6	1,7	3,6
29.	1,3	0,9	1,7	0,8	0,6	1,0
30.	1,8	1,2	2,6	1,5	1,0	2,1

Szczegóły odnośnie przeprowadzonych badań oraz wyniki pomiarów zawarte są w Sprawozdaniu z badań nr 0110101018/BYD04 – **Załącznik 1.**

### 5.11 Bydgoszcz, Poznańska

Stwierdza się, że w otoczeniu stacji:

- ID: BYD1006D
- a) zmierzone, w trakcie pomiarów szerokopasmowych, wartości natężenia pola elektrycznego we wszystkich 30 z 30 punktów pomiarowych, nie przekraczają wartości granicznej 7 V/m;
- b) obliczone, na podstawie wyników pomiarów szerokopasmowych, wartości średniokwadratowe natężenia pola elektrycznego z uwzględnieniem oszacowanej

rozszerzonej niepewności pomiaru (przedział ufności 95%), we wszystkich 30 z 30 punktów pomiarowych, nie przekraczają wartości granicznej 7 V/m;

- c) obliczone, na podstawie wyników pomiarów selektywnych, wartości średniokwadratowe natężenia pola elektrycznego we wszystkich 30 z 30 punktów pomiarowych, nie przekraczają wartości granicznej 7 V/m;
- d) obliczone, na podstawie wyników pomiarów selektywnych, wartości średniokwadratowe natężenia pola elektrycznego z uwzględnieniem oszacowanej rozszerzonej niepewności pomiaru (przedział ufności 95%), w 2 z 30 punktów pomiarowych, przekraczają wartość graniczną 7 V/m.

Tabl. 43 Wyniki pomiarów szerokopasmowych  
– Bydgoszcz, Poznańska

<b>1</b>	<b>2</b>	<b>3</b>	<b>4</b>
<b>Lok.</b>	<b><math>E_{zm}</math></b>	<b><math>E_{zm}-U\%</math></b>	<b><math>E_{zm}+U\%</math></b>
<b>-</b>	<b>V/m</b>	<b>V/m</b>	<b>V/m</b>
1.	1,8	1,2	2,6
2.	1,9	1,3	2,6
3.	1,2	0,8	1,6
4.	1,5	1,0	2,2
5.	1,0	0,7	1,5
6.	3,5	2,3	4,9
7.	2,3	1,5	3,2
8.	1,1	0,8	1,6
9.	0,9	0,6	1,2
10.	2,3	1,6	3,2
11.	2,0	1,3	2,8
12.	3,9	2,6	5,4
13.	0,9	0,6	1,3
14.	1,0	0,6	1,3
15.	2,0	1,2	2,7
16.	0,9	0,6	1,3
17.	0,5	0,5	0,5
18.	0,5	0,4	0,7
19.	1,1	0,8	1,4
20.	0,8	0,6	1,0
21.	1,8	1,2	2,6
22.	1,2	0,8	1,7
23.	3,7	2,5	5,1
24.	1,3	0,8	1,7
25.	0,8	0,6	1,1
26.	1,4	0,9	1,9
27.	1,0	0,7	1,4
28.	0,8	0,5	1,1
29.	0,7	0,5	0,9
30.	0,5	0,4	0,7

Tabl. 44 Wyniki pomiarów selektywnych  
– Bydgoszcz, Poznańska

1	2	3	4	5	6	7
Lok.	E	E-U%	E+U%	E <sub>BS</sub>	E <sub>BS</sub> -U%	E <sub>BS</sub> +U%
-	V/m	V/m	V/m	V/m	V/m	V/m
1.	3,3	2,1	4,6	3,3	2,1	4,6
2.	3,4	2,3	4,8	3,4	2,3	4,8
3.	2,2	1,4	3,1	2,2	1,4	3,1
4.	2,7	1,7	3,8	2,7	1,7	3,8
5.	1,6	1,1	2,3	1,6	1,1	2,3
6.	6,0	3,9	8,3	6,0	3,9	8,3
7.	3,9	2,5	5,5	3,9	2,5	5,5
8.	2,0	1,3	2,7	2,0	1,3	2,7
9.	1,1	0,7	1,5	1,1	0,7	1,5
10.	3,2	2,1	4,5	3,2	2,1	4,5
11.	3,8	2,5	5,3	3,8	2,5	5,3
12.	5,4	3,6	7,6	5,4	3,6	7,6
13.	1,2	0,8	1,7	1,2	0,8	1,7
14.	1,9	1,3	2,6	1,9	1,3	2,6
15.	3,5	2,2	4,9	3,5	2,2	4,9
16.	0,9	0,6	1,2	0,9	0,6	1,2
17.	0,6	0,5	0,7	0,6	0,5	0,7
18.	0,7	0,5	0,9	0,7	0,5	0,9
19.	1,1	0,7	1,5	1,1	0,7	1,4
20.	0,8	0,6	1,1	0,8	0,6	1,1
21.	3,5	2,3	4,9	3,5	2,3	4,9
22.	1,8	1,1	2,5	1,8	1,1	2,5
23.	4,7	3,1	6,5	4,7	3,1	6,5
24.	1,6	1,1	2,3	1,6	1,1	2,3
25.	1,0	0,7	1,4	1,0	0,7	1,4
26.	1,7	1,2	2,3	1,7	1,2	2,3
27.	1,0	0,7	1,4	0,9	0,6	1,4
28.	1,0	0,7	1,4	1,0	0,7	1,4
29.	0,7	0,5	1,0	0,7	0,5	0,9
30.	0,5	0,3	0,6	0,5	0,3	0,6

Szczegóły odnośnie przeprowadzonych badań oraz wyniki pomiarów zawarte są w Sprawozdaniu z badań nr 0110101018/BYD05 – **Załącznik 1.**

### 5.12 Bydgoszcz, Jaskółcza

Stwierdza się, że w otoczeniu stacji:

- ID: BT44281,
- ID: 35252

a) zmierzone, w trakcie pomiarów szerokopasmowych, wartości natężenia pola elektrycznego we wszystkich 30 z 30 punktów pomiarowych, nie przekraczają wartości granicznej 7 V/m;

- b) obliczone, na podstawie wyników pomiarów szerokopasmowych, wartości średniokwadratowe natężenia pola elektrycznego z uwzględnieniem oszacowanej rozszerzonej niepewności pomiaru (przedział ufności 95%), we wszystkich 30 z 30 punktów pomiarowych, nie przekraczają wartości granicznej 7 V/m;
- c) obliczone, na podstawie wyników pomiarów selektywnych, wartości średniokwadratowe natężenia pola elektrycznego we wszystkich 30 z 30 punktów pomiarowych, nie przekraczają wartości granicznej 7 V/m;
- d) obliczona, na podstawie wyników pomiarów selektywnych, wartość średniokwadratowa natężenia pola elektrycznego z uwzględnieniem oszacowanej rozszerzonej niepewności pomiaru (przedział ufności 95%), w 1 z 30 punktów pomiarowych, przekracza wartość graniczną 7 V/m.

Tabl. 45 Wyniki pomiarów szerokopasmowych  
– Bydgoszcz, Jaskólcza

1	2	3	4
Lok.	$E_{zm}$	$E_{zm}-U\%$	$E_{zm}+U\%$
-	V/m	V/m	V/m
1.	2,6	1,7	3,6
2.	1,8	1,2	2,5
3.	1,7	1,1	2,4
4.	1,6	1,1	2,2
5.	1,6	1,1	2,3
6.	2,6	1,7	3,6
7.	2,4	1,5	3,3
8.	1,4	1,0	2,0
9.	1,5	1,1	2,1
10.	1,9	1,3	2,7
11.	1,4	0,9	1,9
12.	2,2	1,4	3,0
13.	1,1	0,7	1,4
14.	1,0	0,7	1,3
15.	1,4	1,0	2,1
16.	2,4	1,6	3,4
17.	2,3	1,5	3,2
18.	3,0	2,0	4,2
19.	3,2	2,1	4,6
20.	2,9	1,9	4,0
21.	2,0	1,3	2,8
22.	1,5	1,0	2,1
23.	1,1	0,8	1,5
24.	1,2	0,9	1,7
25.	2,3	1,5	3,2
26.	1,7	1,1	2,4
27.	1,8	1,2	2,6
28.	1,5	1,0	2,1
29.	1,0	0,7	1,4
30.	2,1	1,4	2,9

Tabl. 46 Wyniki pomiarów selektywnych  
– Bydgoszcz, Jaskółcza

1	2	3	4	5	6	7
Lok.	E	E-U%	E+U%	E <sub>BS</sub>	E <sub>BS</sub> -U%	E <sub>BS</sub> +U%
-	V/m	V/m	V/m	V/m	V/m	V/m
1.	3,5	2,3	4,9	3,5	2,3	4,9
2.	2,9	1,9	4,1	2,9	1,9	4,1
3.	2,3	1,6	3,2	2,3	1,6	3,2
4.	2,0	1,3	2,9	2,0	1,3	2,8
5.	1,9	1,2	2,7	1,9	1,2	2,7
6.	4,6	3,1	6,4	4,6	3,1	6,4
7.	3,4	2,2	4,7	3,4	2,2	4,7
8.	1,9	1,2	2,6	1,9	1,2	2,6
9.	2,3	1,6	3,3	2,3	1,6	3,3
10.	4,0	2,6	5,6	4,0	2,6	5,6
11.	2,7	1,8	3,8	2,7	1,8	3,8
12.	3,5	2,2	4,9	3,5	2,2	4,9
13.	1,7	1,1	2,4	1,7	1,1	2,4
14.	1,8	1,2	2,4	1,7	1,2	2,4
15.	2,5	1,6	3,5	2,5	1,6	3,5
16.	4,2	2,7	5,8	4,2	2,7	5,8
17.	4,4	2,9	6,3	4,4	2,9	6,3
18.	4,6	3,0	6,5	4,6	3,0	6,5
19.	5,8	3,8	8,3	5,8	3,8	8,3
20.	4,0	2,6	5,6	4,0	2,6	5,6
21.	4,5	2,9	6,4	4,5	2,9	6,4
22.	2,3	1,6	3,3	2,3	1,6	3,3
23.	1,6	1,1	2,3	1,6	1,1	2,3
24.	2,0	1,3	2,8	2,0	1,3	2,8
25.	2,9	1,9	4,1	2,9	1,9	4,1
26.	2,7	1,8	3,8	2,7	1,8	3,8
27.	3,0	1,9	4,2	3,0	1,9	4,2
28.	2,6	1,6	3,5	2,6	1,6	3,5
29.	1,7	1,2	2,5	1,7	1,1	2,5
30.	3,0	2,0	4,2	3,0	2,0	4,2

Szczegóły odnośnie przeprowadzonych badań oraz wyniki pomiarów zawarte są w Sprawozdaniu z badań nr 0110101018/BYD06 – **Załącznik 1.**

### 5.13 Gdańsk, Prezydenta Lecha Kaczyńskiego

Stwierdza się, że w otoczeniu stacji:

- ID: GDA0009E
- a) zmierzone, w trakcie pomiarów szerokopasmowych, wartości natężenia pola elektrycznego we wszystkich 30 z 30 punktów pomiarowych, nie przekraczają wartości granicznej 7 V/m;
- b) obliczone, na podstawie wyników pomiarów szerokopasmowych, wartości średniokwadratowe natężenia pola elektrycznego z uwzględnieniem oszacowanej

rozszerzonej niepewności pomiaru (przedział ufności 95%), we wszystkich 30 z 30 punktów pomiarowych, nie przekraczają wartości granicznej 7 V/m;

- c) obliczone, na podstawie wyników pomiarów selektywnych, wartości średniokwadratowe natężenia pola elektrycznego we wszystkich 30 z 30 punktów pomiarowych, nie przekraczają wartości granicznej 7 V/m;
- d) obliczona, na podstawie wyników pomiarów selektywnych, wartość średniokwadratowa natężenia pola elektrycznego z uwzględnieniem oszacowanej rozszerzonej niepewności pomiaru (przedział ufności 95%), w 1 z 30 punktów pomiarowych, przekracza wartość graniczną 7 V/m.

Tabl. 47 Wyniki pomiarów szerokopasmowych  
– Gdańsk, Prezydenta Lecha Kaczyńskiego

<b>1</b>	<b>2</b>	<b>3</b>	<b>4</b>
<b>Lok.</b>	<b><math>E_{zm}</math></b>	<b><math>E_{zm}-U\%</math></b>	<b><math>E_{zm}+U\%</math></b>
<b>-</b>	<b>V/m</b>	<b>V/m</b>	<b>V/m</b>
1.	2,8	1,8	3,9
2.	2,2	1,5	3,1
3.	2,9	1,9	4,1
4.	3,7	2,4	5,1
5.	3,1	2,1	4,2
6.	2,0	1,3	2,9
7.	1,4	1,0	2,0
8.	1,4	1,0	2,0
9.	1,7	1,1	2,3
10.	2,1	1,3	2,9
11.	0,7	0,5	0,9
12.	1,5	1,0	2,0
13.	1,1	0,8	1,5
14.	1,5	1,0	2,1
15.	1,4	1,0	2,0
16.	1,7	1,2	2,4
17.	2,4	1,6	3,3
18.	0,6	0,4	0,8
19.	1,6	1,1	2,2
20.	1,5	1,1	2,1
21.	1,3	0,9	1,9
22.	1,4	1,0	2,0
23.	1,2	0,9	1,7
24.	1,1	0,7	1,5
25.	0,9	0,6	1,2
26.	1,2	0,8	1,7
27.	2,2	1,5	3,1
28.	0,4	0,3	0,4
29.	1,6	1,1	2,2
30.	2,6	1,7	3,7



Tabl. 48 Wyniki pomiarów selektywnych  
– Gdańsk, Prezydenta Lecha Kaczyńskiego

1	2	3	4	5	6	7
Lok.	E	E-U%	E+U%	E <sub>BS</sub>	E <sub>BS</sub> -U%	E <sub>BS</sub> +U%
-	V/m	V/m	V/m	V/m	V/m	V/m
1.	3,3	2,2	4,7	3,3	2,2	4,7
2.	2,2	1,4	3,0	2,2	1,4	3,0
3.	4,4	2,9	6,2	4,4	2,9	6,2
4.	4,9	3,2	6,8	4,9	3,2	6,8
5.	5,3	3,4	7,3	5,3	3,4	7,3
6.	2,9	1,9	4,1	2,9	1,9	4,1
7.	2,0	1,3	2,7	2,0	1,3	2,7
8.	2,2	1,5	3,0	2,2	1,5	3,0
9.	3,0	2,0	4,2	3,0	2,0	4,2
10.	2,6	1,7	3,7	2,6	1,7	3,7
11.	1,2	0,9	1,7	1,2	0,9	1,7
12.	2,9	1,9	4,0	2,9	1,9	4,0
13.	1,9	1,2	2,7	1,9	1,2	2,7
14.	2,0	1,4	2,8	2,0	1,4	2,8
15.	2,6	1,7	3,6	2,6	1,7	3,6
16.	3,0	2,0	4,2	3,0	2,0	4,2
17.	4,1	2,7	5,6	4,1	2,7	5,6
18.	1,0	0,7	1,4	1,0	0,7	1,4
19.	2,2	1,4	3,0	2,2	1,4	3,0
20.	2,3	1,5	3,2	2,3	1,5	3,2
21.	2,5	1,6	3,5	2,5	1,6	3,5
22.	2,1	1,3	2,9	2,1	1,3	2,9
23.	1,4	0,9	2,0	1,4	0,9	2,0
24.	1,5	1,0	2,1	1,5	1,0	2,1
25.	1,2	0,8	1,7	1,2	0,8	1,7
26.	1,9	1,2	2,6	1,9	1,2	2,6
27.	3,7	2,4	5,2	3,7	2,4	5,2
28.	0,6	0,4	0,8	0,6	0,4	0,8
29.	2,9	1,9	4,0	2,9	1,9	4,0
30.	3,7	2,4	5,1	3,7	2,4	5,1

Szczegóły odnośnie przeprowadzonych badań oraz wyniki pomiarów zawarte są w Sprawozdaniu z badań nr 0110101018/GDA01 – **Załącznik 1.**

#### 5.14 Gdańsk, Jagiellońska

Stwierdza się, że w otoczeniu stacji:

- ID: GDA0008B,
- ID: BT43288,
- ID: 4971/5677(6420)/(40182N)

a) zmierzone, w trakcie pomiarów szerokopasmowych, wartości natężenia pola elektrycznego we wszystkich 30 z 30 punktów pomiarowych, nie przekraczają wartości granicznej 7 V/m;

- b) obliczone, na podstawie wyników pomiarów szerokopasmowych, wartości średniokwadratowe natężenia pola elektrycznego z uwzględnieniem oszacowanej rozszerzonej niepewności pomiaru (przedział ufności 95%), we wszystkich 30 z 30 punktów pomiarowych, nie przekraczają wartości granicznej 7 V/m;
- c) obliczone, na podstawie wyników pomiarów selektywnych, wartości średniokwadratowe natężenia pola elektrycznego we wszystkich 30 z 30 punktów pomiarowych, nie przekraczają wartości granicznej 7 V/m;
- d) obliczone, na podstawie wyników pomiarów selektywnych, wartości średniokwadratowe natężenia pola elektrycznego z uwzględnieniem oszacowanej rozszerzonej niepewności pomiaru (przedział ufności 95%), we wszystkich 30 z 30 punktów pomiarowych, nie przekraczają wartości granicznej 7 V/m.

Tabl. 49 Wyniki pomiarów szerokopasmowych  
– Gdańsk, Jagiellońska

<b>1</b>	<b>2</b>	<b>3</b>	<b>4</b>
<b>Lok.</b>	<b><math>E_{zm}</math></b>	<b><math>E_{zm}-U\%</math></b>	<b><math>E_{zm}+U\%</math></b>
-	<b>V/m</b>	<b>V/m</b>	<b>V/m</b>
1.	1,8	1,2	2,5
2.	2,2	1,5	3,1
3.	1,8	1,2	2,5
4.	1,4	0,9	2,0
5.	1,1	0,7	1,6
6.	0,8	0,6	1,2
7.	2,4	1,6	3,4
8.	2,1	1,4	2,9
9.	1,6	1,1	2,3
10.	1,6	1,1	2,4
11.	1,7	1,2	2,4
12.	1,4	0,9	1,9
13.	1,2	0,8	1,7
14.	1,3	0,8	1,9
15.	1,4	1,0	2,0
16.	2,0	1,3	2,8
17.	1,4	0,9	1,9
18.	1,3	0,8	1,8
19.	1,6	1,1	2,3
20.	1,9	1,2	2,7
21.	1,8	1,2	2,5
22.	1,6	1,0	2,3
23.	2,5	1,7	3,5
24.	1,8	1,2	2,5
25.	1,6	1,0	2,2
26.	2,0	1,3	2,9
27.	2,0	1,3	2,9
28.	1,3	0,9	1,8
29.	1,1	0,8	1,6
30.	1,1	0,7	1,5

Tabl. 50 Wyniki pomiarów selektywnych  
– Gdańsk, Jagiellońska

1	2	3	4	5	6	7
Lok.	E	E-U%	E+U%	E <sub>BS</sub>	E <sub>BS</sub> -U%	E <sub>BS</sub> +U%
-	V/m	V/m	V/m	V/m	V/m	V/m
1.	2,0	1,3	2,8	2,0	1,3	2,8
2.	2,4	1,6	3,4	2,4	1,6	3,4
3.	3,1	2,1	4,3	3,1	2,1	4,3
4.	1,5	1,0	2,1	1,5	1,0	2,1
5.	1,5	1,0	2,1	1,5	1,0	2,1
6.	1,0	0,6	1,3	1,0	0,6	1,3
7.	3,1	2,0	4,3	3,1	2,0	4,3
8.	3,4	2,2	4,7	3,4	2,2	4,7
9.	2,2	1,5	3,1	2,2	1,5	3,1
10.	2,1	1,4	2,9	2,1	1,4	2,9
11.	2,3	1,6	3,3	2,3	1,6	3,3
12.	1,5	1,0	2,1	1,5	1,0	2,1
13.	1,4	1,0	2,0	1,4	1,0	2,0
14.	1,7	1,1	2,5	1,7	1,1	2,5
15.	2,0	1,3	2,8	2,0	1,3	2,8
16.	2,8	1,8	3,9	2,8	1,8	3,9
17.	1,6	1,0	2,2	1,6	1,0	2,2
18.	2,4	1,5	3,3	2,4	1,5	3,3
19.	2,1	1,4	3,0	2,1	1,4	3,0
20.	2,3	1,5	3,2	2,3	1,5	3,2
21.	2,1	1,4	3,0	2,1	1,4	3,0
22.	2,0	1,3	2,8	2,0	1,3	2,8
23.	4,0	2,6	5,7	4,0	2,6	5,7
24.	2,7	1,8	3,7	2,7	1,8	3,7
25.	2,0	1,3	2,8	2,0	1,3	2,8
26.	2,6	1,7	3,6	2,6	1,7	3,6
27.	3,0	2,0	4,2	3,0	2,0	4,2
28.	2,1	1,4	3,0	2,1	1,4	3,0
29.	1,7	1,1	2,3	1,7	1,1	2,3
30.	2,0	1,3	2,9	2,0	1,3	2,9

Szczegóły odnośnie przeprowadzonych badań oraz wyniki pomiarów zawarte są w Sprawozdaniu z badań nr 0110101018/GDA02 – **Załącznik 1.**

### 5.15 Gdańsk, Grunwaldzka

Stwierdza się, że w otoczeniu stacji:

- ID: GDA0079A,
- ID: BT43285

a) zmierzone, w trakcie pomiarów szerokopasmowych, wartości natężenia pola elektrycznego we wszystkich 30 z 30 punktów pomiarowych, nie przekraczają wartości granicznej 7 V/m;

- b) obliczone, na podstawie wyników pomiarów szerokopasmowych, wartości średniokwadratowe natężenia pola elektrycznego z uwzględnieniem oszacowanej rozszerzonej niepewności pomiaru (przedział ufności 95%), we wszystkich 30 z 30 punktów pomiarowych, nie przekraczają wartości granicznej 7 V/m;
- c) obliczone, na podstawie wyników pomiarów selektywnych, wartości średniokwadratowe natężenia pola elektrycznego we wszystkich 30 z 30 punktów pomiarowych, nie przekraczają wartości granicznej 7 V/m;
- d) obliczone, na podstawie wyników pomiarów selektywnych, wartości średniokwadratowe natężenia pola elektrycznego z uwzględnieniem oszacowanej rozszerzonej niepewności pomiaru (przedział ufności 95%), we wszystkich 30 z 30 punktów pomiarowych, nie przekraczają wartości granicznej 7 V/m.

Tabl. 51 Wyniki pomiarów szerokopasmowych  
– Gdańsk, Grunwaldzka

<b>1</b>	<b>2</b>	<b>3</b>	<b>4</b>
<b>Lok.</b>	<b><math>E_{zm}</math></b>	<b><math>E_{zm}-U\%</math></b>	<b><math>E_{zm}+U\%</math></b>
-	<b>V/m</b>	<b>V/m</b>	<b>V/m</b>
1.	1,4	0,9	1,9
2.	1,1	0,8	1,5
3.	1,0	0,7	1,4
4.	0,8	0,5	1,2
5.	0,9	0,5	1,3
6.	0,5	0,3	0,8
7.	0,7	0,5	1,0
8.	0,7	0,5	1,1
9.	0,4	0,4	0,5
10.	0,3	0,3	0,4
11.	0,7	0,4	1,0
12.	1,2	0,9	1,8
13.	1,0	0,6	1,3
14.	1,3	0,9	1,8
15.	0,5	0,3	0,6
16.	0,1	0,1	0,1
17.	1,4	1,0	2,0
18.	0,6	0,3	0,8
19.	0,4	0,3	0,6
20.	0,2	0,2	0,2
21.	0,3	0,3	0,4
22.	0,5	0,3	0,6
23.	0,6	0,3	0,9
24.	0,7	0,5	1,0
25.	1,3	0,8	1,8
26.	1,6	1,1	2,3
27.	0,4	0,3	0,5
28.	0,8	0,5	1,1
29.	0,7	0,4	1,0
30.	0,4	0,3	0,6

Tabl. 52 Wyniki pomiarów selektywnych  
– Gdańsk, Grunwaldzka

1	2	3	4	5	6	7
Lok.	E	E-U%	E+U%	E <sub>BS</sub>	E <sub>BS</sub> -U%	E <sub>BS</sub> +U%
-	V/m	V/m	V/m	V/m	V/m	V/m
1.	2,3	1,5	3,2	2,3	1,5	3,2
2.	3,3	2,1	4,6	3,3	2,1	4,6
3.	0,8	0,6	1,1	0,8	0,6	1,1
4.	2,1	1,4	2,9	2,1	1,4	2,9
5.	2,2	1,4	3,1	2,2	1,4	3,1
6.	1,8	1,2	2,5	1,8	1,2	2,5
7.	0,8	0,6	1,1	0,8	0,6	1,1
8.	3,9	2,5	5,5	3,9	2,5	5,5
9.	3,6	2,3	5,0	3,6	2,3	5,0
10.	1,9	1,2	2,7	1,9	1,2	2,7
11.	1,9	1,3	2,7	1,9	1,3	2,7
12.	2,3	1,5	3,2	2,3	1,5	3,2
13.	2,2	1,4	3,1	2,2	1,4	3,1
14.	2,6	1,7	3,6	2,6	1,7	3,6
15.	1,6	1,1	2,3	1,6	1,1	2,3
16.	3,2	2,1	4,5	3,2	2,1	4,5
17.	2,6	1,7	3,6	2,6	1,7	3,6
18.	2,0	1,3	2,8	2,0	1,3	2,8
19.	1,3	0,9	1,9	1,3	0,9	1,9
20.	0,5	0,4	0,6	0,5	0,4	0,6
21.	0,6	0,4	0,8	0,6	0,4	0,8
22.	0,4	0,4	0,4	0,4	0,4	0,4
23.	2,5	1,7	3,6	2,5	1,7	3,6
24.	2,9	1,9	4,1	2,9	1,9	4,1
25.	3,4	2,2	4,8	3,4	2,2	4,7
26.	2,5	1,6	3,4	2,5	1,6	3,4
27.	2,2	1,5	3,1	2,2	1,5	3,1
28.	1,8	1,2	2,6	1,8	1,2	2,6
29.	0,8	0,5	1,1	0,8	0,5	1,1
30.	1,7	1,2	2,4	1,7	1,2	2,4

Szczegóły odnośnie przeprowadzonych badań oraz wyniki pomiarów zawarte są w Sprawozdaniu z badań nr 0110101018/GDA03 – **Załącznik 1.**

### 5.16 Gdańsk, Zielone Wzgórze

Stwierdza się, że w otoczeniu stacji:

- ID: BT43780,
- ID: 2782/2589(3185)/40108

- a) zmierzone, w trakcie pomiarów szerokopasmowych, wartości natężenia pola elektrycznego we wszystkich 28 z 28 punktów pomiarowych, nie przekraczają wartości granicznej 7 V/m;

- b) obliczone, na podstawie wyników pomiarów szerokopasmowych, wartości średniokwadratowe natężenia pola elektrycznego z uwzględnieniem oszacowanej rozszerzonej niepewności pomiaru (przedział ufności 95%), we wszystkich 28 z 28 punktów pomiarowych, nie przekraczają wartości granicznej 7 V/m;
- c) obliczone, na podstawie wyników pomiarów selektywnych, wartości średniokwadratowe natężenia pola elektrycznego we wszystkich 28 z 28 punktów pomiarowych, nie przekraczają wartości granicznej 7 V/m;
- d) obliczone, na podstawie wyników pomiarów selektywnych, wartości średniokwadratowe natężenia pola elektrycznego z uwzględnieniem oszacowanej rozszerzonej niepewności pomiaru (przedział ufności 95%), we wszystkich 28 z 28 punktów pomiarowych, nie przekraczają wartości granicznej 7 V/m.

Tabl. 53 Wyniki pomiarów szerokopasmowych  
– Gdańsk, Zielone Wzgórze

<b>1</b>	<b>2</b>	<b>3</b>	<b>4</b>
<b>Lok.</b>	<b><math>E_{zm}</math></b>	<b><math>E_{zm}-U\%</math></b>	<b><math>E_{zm}+U\%</math></b>
-	<b>V/m</b>	<b>V/m</b>	<b>V/m</b>
1.	1,4	0,9	1,9
2.	1,1	0,8	1,5
3.	1,0	0,7	1,4
4.	0,8	0,5	1,2
5.	0,9	0,5	1,3
6.	0,5	0,3	0,8
7.	0,7	0,5	1,0
8.	0,7	0,5	1,1
9.	0,4	0,4	0,5
10.	0,3	0,3	0,4
11.	0,7	0,4	1,0
12.	1,2	0,9	1,8
13.	1,0	0,6	1,3
14.	1,3	0,9	1,8
15.	0,5	0,3	0,6
16.	0,1	0,1	0,1
17.	1,4	1,0	2,0
18.	0,6	0,3	0,8
19.	0,4	0,3	0,6
20.	0,2	0,2	0,2
21.	0,3	0,3	0,4
22.	0,5	0,3	0,6
23.	0,6	0,3	0,9
24.	0,7	0,5	1,0
25.	1,3	0,8	1,8
26.	1,6	1,1	2,3
27.	0,4	0,3	0,5
28.	0,8	0,5	1,1

Tabl. 54 Wyniki pomiarów selektywnych  
– Gdańsk, Zielone Wzgórze

1	2	3	4	5	6	7
Lok.	E	E-U%	E+U%	E <sub>BS</sub>	E <sub>BS</sub> -U%	E <sub>BS</sub> +U%
-	V/m	V/m	V/m	V/m	V/m	V/m
1.	1,1	0,8	1,6	1,1	0,8	1,6
2.	1,3	0,9	1,8	1,3	0,9	1,8
3.	1,3	0,9	1,8	1,3	0,9	1,8
4.	1,2	0,8	1,7	1,2	0,8	1,7
5.	1,2	0,8	1,7	1,2	0,8	1,7
6.	0,8	0,5	1,1	0,8	0,5	1,1
7.	1,0	0,7	1,5	1,0	0,7	1,5
8.	1,0	0,7	1,4	1,0	0,7	1,4
9.	0,5	0,3	0,6	0,5	0,3	0,6
10.	0,3	0,3	0,3	0,3	0,3	0,3
11.	0,8	0,6	1,2	0,8	0,6	1,2
12.	1,4	1,0	2,0	1,4	1,0	2,0
13.	1,2	0,8	1,7	1,2	0,8	1,7
14.	1,2	0,9	1,8	1,2	0,9	1,8
15.	0,5	0,3	0,8	0,5	0,3	0,8
16.	0,1	0,1	0,1	0,1	0,1	0,1
17.	1,7	1,1	2,3	1,7	1,1	2,3
18.	0,8	0,5	1,1	0,8	0,5	1,1
19.	0,7	0,5	1,0	0,7	0,5	1,0
20.	0,2	0,2	0,2	0,2	0,2	0,2
21.	0,3	0,3	0,3	0,3	0,3	0,3
22.	0,7	0,5	1,0	0,7	0,5	1,0
23.	1,0	0,7	1,5	1,0	0,7	1,5
24.	0,8	0,6	1,2	0,8	0,6	1,2
25.	1,5	1,0	2,1	1,5	1,0	2,1
26.	1,9	1,3	2,7	1,9	1,3	2,7
27.	0,6	0,4	0,8	0,6	0,4	0,8
28.	0,2	0,2	0,2	0,1	0,1	0,1

Szczegóły odnośnie przeprowadzonych badań oraz wyniki pomiarów zawarte są w Sprawozdaniu z badań nr 0110101018/GDA04 – **Załącznik 1.**

### 5.17 Gdańsk, Siennicka

Stwierdza się, że w otoczeniu stacji:

- ID: GDA0033D
- a) zmierzone, w trakcie pomiarów szerokopasmowych, wartości natężenia pola elektrycznego we wszystkich 30 z 30 punktów pomiarowych, nie przekraczają wartości granicznej 7 V/m;
- b) obliczone, na podstawie wyników pomiarów szerokopasmowych, wartości średniokwadratowe natężenia pola elektrycznego z uwzględnieniem oszacowanej

rozszerzonej niepewności pomiaru (przedział ufności 95%), we wszystkich 30 z 30 punktów pomiarowych, nie przekraczają wartości granicznej 7 V/m;

- c) obliczone, na podstawie wyników pomiarów selektywnych, wartości średniokwadratowe natężenia pola elektrycznego we wszystkich 30 z 30 punktów pomiarowych, nie przekraczają wartości granicznej 7 V/m;
- d) obliczone, na podstawie wyników pomiarów selektywnych, wartości średniokwadratowe natężenia pola elektrycznego z uwzględnieniem oszacowanej rozszerzonej niepewności pomiaru (przedział ufności 95%), we wszystkich 30 z 30 punktów pomiarowych, nie przekraczają wartości granicznej 7 V/m.

Tabl. 55 Wyniki pomiarów szerokopasmowych  
– Gdańsk, Siennicka

<b>1</b>	<b>2</b>	<b>3</b>	<b>4</b>
<b>Lok.</b>	<b><math>E_{zm}</math></b>	<b><math>E_{zm}-U\%</math></b>	<b><math>E_{zm}+U\%</math></b>
-	<b>V/m</b>	<b>V/m</b>	<b>V/m</b>
1.	1,6	1,1	2,2
2.	1,4	1,0	1,9
3.	1,4	0,9	1,9
4.	1,0	0,7	1,4
5.	1,7	1,2	2,4
6.	1,1	0,8	1,6
7.	1,2	0,8	1,8
8.	1,5	1,0	2,0
9.	1,3	0,9	1,8
10.	1,3	0,9	1,9
11.	0,9	0,6	1,2
12.	1,0	0,7	1,4
13.	1,4	0,9	1,9
14.	0,9	0,7	1,2
15.	1,3	0,9	1,8
16.	0,8	0,6	1,0
17.	1,0	0,6	1,4
18.	1,0	0,7	1,4
19.	1,2	0,8	1,6
20.	1,5	1,1	2,1
21.	1,8	1,2	2,5
22.	1,4	1,0	2,0
23.	1,2	0,8	1,6
24.	1,5	1,0	2,0
25.	1,4	1,0	1,9
26.	1,4	0,9	1,9
27.	1,2	0,9	1,6
28.	1,5	1,0	2,2
29.	1,0	0,8	1,4
30.	1,7	1,1	2,3



Tabl. 56 Wyniki pomiarów selektywnych  
– Gdańsk, Siennicka

1	2	3	4	5	6	7
Lok.	E	E-U%	E+U%	E <sub>BS</sub>	E <sub>BS</sub> -U%	E <sub>BS</sub> +U%
-	V/m	V/m	V/m	V/m	V/m	V/m
1.	2,1	1,4	3,0	2,1	1,3	3,0
2.	2,6	1,7	3,7	2,6	1,7	3,7
3.	2,6	1,7	3,7	2,6	1,7	3,7
4.	1,6	1,1	2,2	1,6	1,1	2,2
5.	2,0	1,4	2,8	2,0	1,4	2,8
6.	1,7	1,1	2,4	1,7	1,1	2,4
7.	1,5	1,0	2,1	1,5	1,0	2,1
8.	1,7	1,1	2,3	1,7	1,1	2,3
9.	1,6	1,0	2,2	1,6	1,0	2,2
10.	1,9	1,2	2,7	1,9	1,2	2,7
11.	1,3	0,9	1,8	1,3	0,9	1,8
12.	1,4	0,9	2,0	1,4	0,9	2,0
13.	2,3	1,5	3,2	2,3	1,5	3,2
14.	1,1	0,7	1,6	1,1	0,7	1,6
15.	1,9	1,2	2,6	1,9	1,2	2,6
16.	1,0	0,6	1,3	0,9	0,6	1,3
17.	1,7	1,1	2,4	1,7	1,1	2,4
18.	2,0	1,3	2,8	2,0	1,3	2,8
19.	1,8	1,2	2,5	1,8	1,2	2,5
20.	2,3	1,5	3,2	2,3	1,5	3,2
21.	1,7	1,2	2,4	1,7	1,1	2,4
22.	1,7	1,2	2,4	1,7	1,2	2,4
23.	1,8	1,2	2,6	1,8	1,2	2,6
24.	2,0	1,3	2,8	2,0	1,3	2,8
25.	2,4	1,6	3,4	2,4	1,6	3,4
26.	1,5	1,0	2,1	1,5	1,0	2,1
27.	1,3	0,9	1,7	1,3	0,8	1,7
28.	1,9	1,2	2,7	1,9	1,2	2,7
29.	1,4	0,9	1,9	1,4	0,9	1,9
30.	2,0	1,3	2,8	2,0	1,3	2,8

Szczegóły odnośnie przeprowadzonych badań oraz wyniki pomiarów zawarte są w Sprawozdaniu z badań nr 0110101018/GDA05 – **Załącznik 1.**

### 5.18 Gdańsk, Rozłogi

Stwierdza się, że w otoczeniu stacji:

- ID: GDA0028D,
- ID: 40103N!

a) zmierzone, w trakcie pomiarów szerokopasmowych, wartości natężenia pola elektrycznego we wszystkich 30 z 30 punktów pomiarowych, nie przekraczają wartości granicznej 7 V/m;

- b) obliczone, na podstawie wyników pomiarów szerokopasmowych, wartości średniokwadratowe natężenia pola elektrycznego z uwzględnieniem oszacowanej rozszerzonej niepewności pomiaru (przedział ufności 95%), we wszystkich 30 z 30 punktów pomiarowych, nie przekraczają wartości granicznej 7 V/m;
- c) obliczone, na podstawie wyników pomiarów selektywnych, wartości średniokwadratowe natężenia pola elektrycznego we wszystkich 30 z 30 punktów pomiarowych, nie przekraczają wartości granicznej 7 V/m;
- d) obliczone, na podstawie wyników pomiarów selektywnych, wartości średniokwadratowe natężenia pola elektrycznego z uwzględnieniem oszacowanej rozszerzonej niepewności pomiaru (przedział ufności 95%), we wszystkich 30 z 30 punktów pomiarowych, nie przekraczają wartości granicznej 7 V/m.

Tabl. 57 Wyniki pomiarów szerokopasmowych  
– Gdańsk, Rozłogi

<b>1</b>	<b>2</b>	<b>3</b>	<b>4</b>
<b>Lok.</b>	<b><math>E_{zm}</math></b>	<b><math>E_{zm}-U\%</math></b>	<b><math>E_{zm}+U\%</math></b>
-	<b>V/m</b>	<b>V/m</b>	<b>V/m</b>
1.	1,0	0,7	1,4
2.	1,2	0,7	1,6
3.	2,3	1,6	3,2
4.	1,5	1,0	2,1
5.	1,6	1,1	2,3
6.	1,1	0,7	1,5
7.	1,1	0,7	1,4
8.	1,6	1,1	2,3
9.	1,9	1,2	2,7
10.	1,6	1,1	2,3
11.	1,1	0,7	1,5
12.	0,9	0,6	1,3
13.	0,8	0,6	1,2
14.	0,9	0,6	1,3
15.	1,1	0,7	1,5
16.	1,2	0,7	1,6
17.	0,5	0,4	0,6
18.	0,7	0,5	0,9
19.	0,8	0,5	1,1
20.	0,8	0,6	1,1
21.	1,3	0,9	1,8
22.	1,0	0,7	1,4
23.	1,9	1,3	2,6
24.	0,8	0,6	1,0
25.	0,8	0,5	1,1
26.	0,8	0,6	1,1
27.	0,8	0,6	1,0
28.	1,2	0,7	1,6
29.	2,0	1,3	2,8
30.	1,5	1,0	2,2

Tabl. 58 Wyniki pomiarów selektywnych  
– Gdańsk, Rozłogi

1	2	3	4	5	6	7
Lok.	E	E-U%	E+U%	E <sub>BS</sub>	E <sub>BS</sub> -U%	E <sub>BS</sub> +U%
-	V/m	V/m	V/m	V/m	V/m	V/m
1.	1,1	0,7	1,5	1,1	0,7	1,5
2.	1,3	0,8	1,8	1,3	0,8	1,8
3.	1,4	1,0	2,0	1,4	1,0	2,0
4.	2,1	1,3	3,0	2,1	1,3	3,0
5.	1,9	1,2	2,8	1,9	1,2	2,8
6.	1,3	0,9	1,9	1,3	0,9	1,9
7.	1,6	1,0	2,2	1,6	1,0	2,2
8.	2,0	1,3	2,7	2,0	1,3	2,7
9.	2,8	1,8	3,9	2,8	1,8	3,9
10.	2,0	1,3	2,8	2,0	1,3	2,8
11.	2,3	1,5	3,2	2,3	1,5	3,2
12.	1,6	1,0	2,2	1,6	1,0	2,2
13.	1,1	0,7	1,5	1,1	0,7	1,5
14.	1,0	0,7	1,4	1,0	0,7	1,4
15.	1,2	0,8	1,7	1,2	0,8	1,7
16.	1,5	1,0	2,1	1,5	1,0	2,1
17.	0,8	0,6	1,1	0,8	0,6	1,1
18.	1,0	0,7	1,4	1,0	0,7	1,4
19.	1,2	0,8	1,7	1,2	0,8	1,7
20.	1,2	0,8	1,7	1,2	0,8	1,7
21.	1,4	0,9	2,0	1,4	0,9	2,0
22.	1,8	1,2	2,5	1,8	1,2	2,5
23.	2,0	1,4	2,8	2,0	1,4	2,8
24.	1,0	0,7	1,4	1,0	0,7	1,4
25.	1,1	0,8	1,6	1,1	0,8	1,6
26.	0,9	0,6	1,2	0,9	0,6	1,2
27.	0,9	0,6	1,2	0,9	0,6	1,2
28.	1,5	1,0	2,1	1,5	1,0	2,1
29.	2,6	1,8	3,7	2,6	1,8	3,7
30.	2,0	1,3	2,9	2,0	1,3	2,9

Szczegóły odnośnie przeprowadzonych badań oraz wyniki pomiarów zawarte są w Sprawozdaniu z badań nr 0110101018/GDA06 – **Załącznik 1.**

### 5.19 Katowice, Bocheńskiego

Stwierdza się, że w otoczeniu stacji:

- ID: BT\_24813,
- ID: KAT0062\_A

a) zmierzone, w trakcie pomiarów szerokopasmowych, wartości natężenia pola elektrycznego we wszystkich 30 z 30 punktów pomiarowych, nie przekraczają wartości granicznej 7 V/m;

- b) obliczone, na podstawie wyników pomiarów szerokopasmowych, wartości średniokwadratowe natężenia pola elektrycznego z uwzględnieniem oszacowanej rozszerzonej niepewności pomiaru (przedział ufności 95%), we wszystkich 30 z 30 punktów pomiarowych, nie przekraczają wartości granicznej 7 V/m;
- c) obliczone, na podstawie wyników pomiarów selektywnych, wartości średniokwadratowe natężenia pola elektrycznego we wszystkich 30 z 30 punktów pomiarowych, nie przekraczają wartości granicznej 7 V/m;
- d) obliczone, na podstawie wyników pomiarów selektywnych, wartości średniokwadratowe natężenia pola elektrycznego z uwzględnieniem oszacowanej rozszerzonej niepewności pomiaru (przedział ufności 95%), we wszystkich 30 z 30 punktów pomiarowych, nie przekraczają wartości granicznej 7 V/m.

Tabl. 59 Wyniki pomiarów szerokopasmowych  
– Katowice, Bocheńskiego

1	2	3	4
Lok.	$E_{zm}$	$E_{zm}-U\%$	$E_{zm}+U\%$
-	V/m	V/m	V/m
1.	2,3	1,6	3,2
2.	2,9	1,9	4,1
3.	1,7	1,1	2,2
4.	2,1	1,4	2,9
5.	1,1	0,8	1,6
6.	0,5	0,4	0,6
7.	0,0	0,0	0,0
8.	1,1	0,8	1,5
9.	2,3	1,5	3,2
10.	2,5	1,7	3,4
11.	1,0	0,6	1,5
12.	1,3	0,9	1,8
13.	1,7	1,2	2,4
14.	1,8	1,2	2,6
15.	2,8	1,9	3,9
16.	3,2	2,1	4,5
17.	1,5	1,0	2,1
18.	1,9	1,2	2,6
19.	1,8	1,2	2,5
20.	2,7	1,7	3,7
21.	1,4	1,0	1,9
22.	2,7	1,8	3,7
23.	1,5	1,0	2,1
24.	2,3	1,6	3,2
25.	0,5	0,4	0,6
26.	0,4	0,3	0,4
27.	1,6	1,1	2,2
28.	1,3	0,9	1,7
29.	2,8	1,8	4,0
30.	0,8	0,6	1,1

Tabl. 60 Wyniki pomiarów selektywnych  
– Katowice, Bocheńskiego

1	2	3	4	5	6	7
Lok.	E	E-U%	E+U%	E <sub>BS</sub>	E <sub>BS</sub> -U%	E <sub>BS</sub> +U%
-	V/m	V/m	V/m	V/m	V/m	V/m
1.	4,1	2,6	5,7	4,1	2,6	5,7
2.	4,3	2,9	6,0	4,3	2,9	6,0
3.	2,5	1,7	3,4	2,5	1,7	3,4
4.	2,8	1,9	3,8	2,7	1,8	3,8
5.	1,9	1,2	2,6	1,9	1,2	2,6
6.	0,7	0,5	0,9	0,7	0,5	0,9
7.	0,0	0,0	0,0	0,0	0,0	0,0
8.	1,8	1,2	2,5	1,8	1,2	2,5
9.	2,9	2,0	4,1	2,9	2,0	4,1
10.	3,9	2,5	5,3	3,9	2,5	5,3
11.	2,0	1,3	2,8	2,0	1,3	2,8
12.	3,3	2,2	4,6	3,3	2,2	4,6
13.	2,2	1,5	3,1	2,2	1,5	3,1
14.	3,5	2,3	4,9	3,5	2,3	4,9
15.	3,7	2,5	5,1	3,7	2,5	5,1
16.	4,3	2,9	6,0	4,3	2,9	6,0
17.	2,0	1,3	2,7	2,0	1,3	2,7
18.	2,7	1,8	3,8	2,7	1,8	3,8
19.	2,2	1,5	3,1	2,2	1,5	3,1
20.	3,8	2,5	5,3	3,8	2,5	5,3
21.	1,7	1,1	2,3	1,7	1,1	2,3
22.	3,0	2,1	4,2	3,0	2,0	4,2
23.	2,0	1,3	2,8	1,9	1,3	2,7
24.	3,4	2,3	4,7	3,4	2,2	4,7
25.	0,6	0,4	0,8	0,6	0,4	0,8
26.	0,5	0,4	0,7	0,5	0,4	0,7
27.	2,5	1,7	3,5	2,5	1,7	3,5
28.	1,9	1,3	2,6	1,9	1,3	2,6
29.	4,1	2,7	5,6	4,1	2,7	5,6
30.	1,1	0,8	1,6	1,1	0,8	1,6

Szczegóły odnośnie przeprowadzonych badań oraz wyniki pomiarów zawarte są w Sprawozdaniu z badań nr 0110101018/KAT01 – **Załącznik 1.**

## 5.20 Katowice, Graniczna

Stwierdza się, że w otoczeniu stacji:

- ID: KAT0556\_A
- a) zmierzone, w trakcie pomiarów szerokopasmowych, wartości natężenia pola elektrycznego we wszystkich 30 z 30 punktów pomiarowych, nie przekraczają wartości granicznej 7 V/m;
- b) obliczone, na podstawie wyników pomiarów szerokopasmowych, wartości średniokwadratowe natężenia pola elektrycznego z uwzględnieniem oszacowanej

rozszerzonej niepewności pomiaru (przedział ufności 95%), we wszystkich 30 z 30 punktów pomiarowych, nie przekraczają wartości granicznej 7 V/m;

- c) obliczone, na podstawie wyników pomiarów selektywnych, wartości średniokwadratowe natężenia pola elektrycznego we wszystkich 30 z 30 punktów pomiarowych, nie przekraczają wartości granicznej 7 V/m;
- d) obliczone, na podstawie wyników pomiarów selektywnych, wartości średniokwadratowe natężenia pola elektrycznego z uwzględnieniem oszacowanej rozszerzonej niepewności pomiaru (przedział ufności 95%), we wszystkich 30 z 30 punktów pomiarowych, nie przekraczają wartości granicznej 7 V/m.

Tabl. 61 Wyniki pomiarów szerokopasmowych  
– Katowice, Graniczna

<b>1</b>	<b>2</b>	<b>3</b>	<b>4</b>
<b>Lok.</b>	<b><math>E_{zm}</math></b>	<b><math>E_{zm}-U\%</math></b>	<b><math>E_{zm}+U\%</math></b>
<b>-</b>	<b>V/m</b>	<b>V/m</b>	<b>V/m</b>
1.	1,7	1,2	2,4
2.	2,7	1,7	3,8
3.	2,7	1,8	3,8
4.	3,2	2,1	4,5
5.	2,7	1,8	3,7
6.	1,1	0,7	1,5
7.	1,7	1,2	2,5
8.	1,9	1,2	2,6
9.	0,2	0,2	0,2
10.	0,2	0,2	0,2
11.	0,5	0,5	0,6
12.	0,9	0,6	1,2
13.	2,0	1,4	2,8
14.	2,8	1,8	3,9
15.	1,4	1,0	2,1
16.	1,3	0,8	1,7
17.	1,5	1,0	2,1
18.	2,1	1,4	2,9
19.	2,2	1,4	3,1
20.	2,8	1,8	4,0
21.	0,7	0,5	1,0
22.	1,0	0,7	1,3
23.	1,2	0,8	1,6
24.	0,7	0,5	1,0
25.	1,5	1,0	2,1
26.	0,6	0,5	0,8
27.	1,6	1,1	2,2
28.	1,3	0,9	1,8
29.	1,4	0,9	1,9
30.	1,1	0,8	1,6

Tabl. 62 Wyniki pomiarów selektywnych  
– Katowice, Graniczna

1	2	3	4	5	6	7
Lok.	E	E-U%	E+U%	E <sub>BS</sub>	E <sub>BS</sub> -U%	E <sub>BS</sub> +U%
-	V/m	V/m	V/m	V/m	V/m	V/m
1.	3,4	2,2	4,7	3,4	2,2	4,7
2.	3,3	2,1	4,6	3,3	2,1	4,5
3.	4,5	2,9	6,3	4,5	2,9	6,3
4.	4,2	2,7	5,8	4,2	2,7	5,8
5.	3,7	2,4	5,2	3,7	2,4	5,2
6.	1,9	1,3	2,7	1,9	1,2	2,7
7.	2,3	1,5	3,3	2,3	1,5	3,3
8.	2,7	1,7	3,7	2,7	1,7	3,7
9.	0,3	0,3	0,3	0,2	0,2	0,2
10.	0,3	0,3	0,3	0,3	0,3	0,3
11.	0,9	0,6	1,2	0,9	0,6	1,2
12.	2,3	1,5	3,2	2,3	1,5	3,2
13.	2,4	1,5	3,3	2,4	1,5	3,3
14.	3,2	2,1	4,5	3,2	2,1	4,5
15.	1,9	1,3	2,6	1,9	1,3	2,6
16.	1,8	1,2	2,6	1,8	1,2	2,6
17.	1,9	1,3	2,6	1,9	1,3	2,6
18.	2,4	1,6	3,4	2,4	1,6	3,4
19.	2,1	1,4	3,1	2,1	1,4	3,1
20.	4,3	2,8	6,2	4,3	2,8	6,2
21.	1,7	1,1	2,4	1,7	1,1	2,4
22.	1,8	1,2	2,5	1,8	1,2	2,4
23.	1,9	1,2	2,7	1,9	1,2	2,7
24.	0,9	0,6	1,2	0,9	0,6	1,2
25.	1,9	1,2	2,6	1,9	1,2	2,6
26.	0,8	0,6	1,0	0,8	0,6	1,0
27.	2,2	1,4	3,0	2,2	1,4	3,0
28.	1,1	0,7	1,5	1,1	0,7	1,5
29.	1,4	0,9	1,9	1,4	0,9	1,9
30.	1,4	0,9	1,9	1,3	0,9	1,9

Szczegóły odnośnie przeprowadzonych badań oraz wyniki pomiarów zawarte są w Sprawozdaniu z badań nr 0110101018/KAT02 – **Załącznik 1.**

### 5.21 Katowice, Bytkowska

Stwierdza się, że w otoczeniu stacji:

- ID: KAT0012\_B
- a) zmierzone, w trakcie pomiarów szerokopasmowych, wartości natężenia pola elektrycznego we wszystkich 30 z 30 punktów pomiarowych, nie przekraczają wartości granicznej 7 V/m;
- b) obliczone, na podstawie wyników pomiarów szerokopasmowych, wartości średniokwadratowe natężenia pola elektrycznego z uwzględnieniem oszacowanej

rozszerzonej niepewności pomiaru (przedział ufności 95%), we wszystkich 30 z 30 punktów pomiarowych, nie przekraczają wartości granicznej 7 V/m;

- c) obliczone, na podstawie wyników pomiarów selektywnych, wartości średniokwadratowe natężenia pola elektrycznego we wszystkich 30 z 30 punktów pomiarowych, nie przekraczają wartości granicznej 7 V/m;
- d) obliczone, na podstawie wyników pomiarów selektywnych, wartości średniokwadratowe natężenia pola elektrycznego z uwzględnieniem oszacowanej rozszerzonej niepewności pomiaru (przedział ufności 95%), we wszystkich 30 z 30 punktów pomiarowych, nie przekraczają wartości granicznej 7 V/m.

Tabl. 63 Wyniki pomiarów szerokopasmowych  
– Katowice, Bytkowska

<b>1</b>	<b>2</b>	<b>3</b>	<b>4</b>
<b>Lok.</b>	<b><math>E_{zm}</math></b>	<b><math>E_{zm}-U\%</math></b>	<b><math>E_{zm}+U\%</math></b>
<b>-</b>	<b>V/m</b>	<b>V/m</b>	<b>V/m</b>
1.	0,9	0,6	1,2
2.	1,0	0,7	1,4
3.	1,1	0,7	1,5
4.	0,8	0,6	1,1
5.	0,3	0,2	0,4
6.	0,3	0,3	0,4
7.	0,7	0,5	1,0
8.	0,8	0,5	1,1
9.	0,6	0,4	0,8
10.	0,6	0,5	0,7
11.	0,9	0,6	1,3
12.	1,0	0,7	1,4
13.	1,1	0,8	1,6
14.	1,1	0,7	1,5
15.	0,7	0,5	0,9
16.	0,7	0,5	0,9
17.	1,0	0,7	1,4
18.	0,9	0,6	1,2
19.	0,6	0,5	0,8
20.	0,3	0,3	0,4
21.	0,5	0,4	0,7
22.	0,5	0,4	0,6
23.	1,0	0,7	1,4
24.	0,5	0,4	0,6
25.	0,5	0,4	0,6
26.	0,8	0,7	1,1
27.	1,1	0,8	1,5
28.	0,8	0,6	1,1
29.	0,8	0,6	1,1
30.	0,6	0,5	0,8



Tabl. 64 Wyniki pomiarów selektywnych  
– Katowice, Bytkowska

1	2	3	4	5	6	7
Lok.	E	E-U%	E+U%	E <sub>BS</sub>	E <sub>BS</sub> -U%	E <sub>BS</sub> +U%
-	V/m	V/m	V/m	V/m	V/m	V/m
1.	0,9	0,7	1,3	0,9	0,6	1,3
2.	1,1	0,8	1,6	1,1	0,8	1,5
3.	1,4	0,9	2,0	1,4	0,9	1,9
4.	1,1	0,8	1,6	1,1	0,8	1,6
5.	0,3	0,2	0,4	0,2	0,2	0,2
6.	0,4	0,3	0,5	0,4	0,3	0,5
7.	0,9	0,6	1,2	0,9	0,6	1,2
8.	1,2	0,7	1,6	1,1	0,7	1,6
9.	0,7	0,5	0,9	0,6	0,5	0,8
10.	0,8	0,6	1,1	0,8	0,5	1,1
11.	1,0	0,6	1,3	0,9	0,6	1,2
12.	1,0	0,7	1,5	1,0	0,7	1,5
13.	1,6	1,0	2,1	1,5	1,0	2,1
14.	2,1	1,4	3,0	2,1	1,4	3,0
15.	1,1	0,7	1,4	1,1	0,7	1,4
16.	0,9	0,6	1,2	0,9	0,6	1,2
17.	1,3	0,9	1,8	1,3	0,8	1,8
18.	1,6	1,1	2,3	1,6	1,1	2,3
19.	0,9	0,6	1,3	0,9	0,6	1,3
20.	0,6	0,4	0,8	0,6	0,4	0,8
21.	0,7	0,5	1,0	0,7	0,5	1,0
22.	0,6	0,4	0,8	0,6	0,4	0,8
23.	1,6	1,1	2,3	1,5	1,0	2,2
24.	0,9	0,6	1,2	0,8	0,5	1,2
25.	0,6	0,4	0,8	0,6	0,4	0,8
26.	0,9	0,7	1,2	0,7	0,5	0,9
27.	1,6	1,0	2,2	1,5	0,9	2,1
28.	1,2	0,8	1,7	1,2	0,8	1,7
29.	1,0	0,6	1,4	1,0	0,6	1,4
30.	0,7	0,5	0,8	0,3	0,3	0,3

Szczegóły odnośnie przeprowadzonych badań oraz wyniki pomiarów zawarte są w Sprawozdaniu z badań nr 0110101018/KAT03 – **Załącznik 1.**

## 5.22 Katowice, Siemianowicka

Stwierdza się, że w otoczeniu stacji:

– ID: BT\_24214

- zmierzone, w trakcie pomiarów szerokopasmowych, wartości natężenia pola elektrycznego we wszystkich 30 z 30 punktów pomiarowych, nie przekraczają wartości granicznej 7 V/m;
- obliczone, na podstawie wyników pomiarów szerokopasmowych, wartości średniokwadratowe natężenia pola elektrycznego z uwzględnieniem oszacowanej

rozszerzonej niepewności pomiaru (przedział ufności 95%), we wszystkich 30 z 30 punktów pomiarowych, nie przekraczają wartości granicznej 7 V/m;

- c) obliczone, na podstawie wyników pomiarów selektywnych, wartości średniokwadratowe natężenia pola elektrycznego we wszystkich 30 z 30 punktów pomiarowych, nie przekraczają wartości granicznej 7 V/m;
- d) obliczone, na podstawie wyników pomiarów selektywnych, wartości średniokwadratowe natężenia pola elektrycznego z uwzględnieniem oszacowanej rozszerzonej niepewności pomiaru (przedział ufności 95%), we wszystkich 30 z 30 punktów pomiarowych, nie przekraczają wartości granicznej 7 V/m.

Tabl. 65 Wyniki pomiarów szerokopasmowych  
– Katowice, Siemianowicka

<b>1</b>	<b>2</b>	<b>3</b>	<b>4</b>
<b>Lok.</b>	<b><math>E_{zm}</math></b>	<b><math>E_{zm}-U\%</math></b>	<b><math>E_{zm}+U\%</math></b>
<b>-</b>	<b>V/m</b>	<b>V/m</b>	<b>V/m</b>
1.	1,0	0,6	1,3
2.	0,6	0,4	0,8
3.	0,7	0,5	0,9
4.	0,8	0,5	1,1
5.	0,7	0,4	1,0
6.	0,7	0,5	1,0
7.	0,5	0,4	0,7
8.	0,5	0,3	0,7
9.	0,6	0,4	0,8
10.	0,6	0,4	0,8
11.	0,6	0,4	0,7
12.	0,9	0,6	1,4
13.	0,8	0,5	1,1
14.	0,9	0,6	1,3
15.	0,8	0,6	1,1
16.	1,3	0,8	1,7
17.	0,5	0,4	0,6
18.	0,4	0,4	0,5
19.	0,7	0,5	0,8
20.	0,7	0,5	1,0
21.	0,4	0,3	0,6
22.	0,4	0,3	0,6
23.	1,0	0,7	1,4
24.	0,7	0,5	1,0
25.	0,6	0,5	0,8
26.	0,3	0,2	0,4
27.	0,3	0,2	0,4
28.	0,4	0,3	0,6
29.	0,3	0,2	0,4
30.	0,5	0,3	0,7

Tabl. 66 Wyniki pomiarów selektywnych  
– Katowice, Siemianowicka

1	2	3	4	5	6	7
Lok.	E	E-U%	E+U%	E <sub>BS</sub>	E <sub>BS</sub> -U%	E <sub>BS</sub> +U%
-	V/m	V/m	V/m	V/m	V/m	V/m
1.	0,9	0,6	1,3	0,7	0,5	1,0
2.	0,7	0,5	0,9	0,5	0,4	0,6
3.	0,7	0,5	1,0	0,5	0,3	0,7
4.	0,9	0,6	1,3	0,6	0,4	0,8
5.	0,8	0,5	1,1	0,3	0,3	0,4
6.	0,8	0,5	1,0	0,3	0,3	0,3
7.	0,5	0,4	0,7	0,4	0,3	0,4
8.	0,6	0,4	0,7	0,3	0,3	0,3
9.	1,0	0,7	1,4	0,9	0,6	1,2
10.	0,6	0,4	0,9	0,6	0,4	0,8
11.	0,8	0,6	1,2	0,8	0,6	1,1
12.	1,3	0,8	1,9	1,2	0,8	1,7
13.	1,2	0,8	1,7	1,1	0,7	1,6
14.	1,1	0,8	1,6	1,1	0,8	1,5
15.	1,1	0,7	1,6	1,1	0,7	1,6
16.	1,9	1,3	2,6	1,9	1,2	2,6
17.	0,5	0,4	0,7	0,5	0,4	0,6
18.	0,6	0,5	0,8	0,6	0,4	0,8
19.	0,6	0,4	0,8	0,6	0,4	0,8
20.	0,8	0,5	1,1	0,8	0,5	1,1
21.	0,4	0,4	0,6	0,2	0,2	0,2
22.	0,5	0,4	0,6	0,2	0,2	0,2
23.	1,0	0,8	1,5	1,0	0,7	1,3
24.	0,9	0,6	1,2	0,8	0,5	1,1
25.	0,7	0,5	1,0	0,5	0,4	0,7
26.	0,4	0,3	0,4	0,2	0,2	0,2
27.	0,3	0,2	0,4	0,1	0,1	0,1
28.	0,4	0,4	0,6	0,2	0,2	0,2
29.	0,3	0,3	0,4	0,2	0,2	0,2
30.	0,5	0,4	0,7	0,2	0,2	0,2

Szczegóły odnośnie przeprowadzonych badań oraz wyniki pomiarów zawarte są w Sprawozdaniu z badań nr 0110101018/KAT04 – **Załącznik 1.**

### 5.23 Katowice, Grodowa

Stwierdza się, że w otoczeniu stacji:

- ID: KAT0049\_B,
- ID: 32412

a) zmierzone, w trakcie pomiarów szerokopasmowych, wartości natężenia pola elektrycznego we wszystkich 30 z 30 punktów pomiarowych, nie przekraczają wartości granicznej 7 V/m;

- b) obliczone, na podstawie wyników pomiarów szerokopasmowych, wartości średniokwadratowe natężenia pola elektrycznego z uwzględnieniem oszacowanej rozszerzonej niepewności pomiaru (przedział ufności 95%), we wszystkich 30 z 30 punktów pomiarowych, nie przekraczają wartości granicznej 7 V/m;
- c) obliczone, na podstawie wyników pomiarów selektywnych, wartości średniokwadratowe natężenia pola elektrycznego we wszystkich 30 z 30 punktów pomiarowych, nie przekraczają wartości granicznej 7 V/m;
- d) obliczone, na podstawie wyników pomiarów selektywnych, wartości średniokwadratowe natężenia pola elektrycznego z uwzględnieniem oszacowanej rozszerzonej niepewności pomiaru (przedział ufności 95%), we wszystkich 30 z 30 punktów pomiarowych, nie przekraczają wartości granicznej 7 V/m.

Tabl. 67 Wyniki pomiarów szerokopasmowych  
– Katowice, Grodowa

<b>1</b>	<b>2</b>	<b>3</b>	<b>4</b>
<b>Lok.</b>	<b><math>E_{zm}</math></b>	<b><math>E_{zm}-U\%</math></b>	<b><math>E_{zm}+U\%</math></b>
-	<b>V/m</b>	<b>V/m</b>	<b>V/m</b>
1.	1,5	1,0	2,1
2.	1,7	1,2	2,5
3.	2,1	1,4	3,0
4.	2,7	1,8	3,9
5.	1,7	1,1	2,3
6.	2,1	1,4	3,0
7.	1,7	1,1	2,4
8.	2,3	1,5	3,1
9.	1,6	1,0	2,2
10.	1,5	1,0	2,1
11.	0,6	0,5	0,7
12.	1,8	1,2	2,5
13.	1,2	0,9	1,8
14.	0,6	0,5	0,7
15.	2,7	1,7	3,8
16.	2,0	1,3	2,7
17.	1,4	0,8	1,9
18.	0,5	0,4	0,6
19.	1,7	1,1	2,4
20.	0,4	0,4	0,5
21.	1,5	1,1	2,2
22.	1,6	1,0	2,2
23.	2,1	1,3	2,9
24.	1,8	1,2	2,6
25.	1,7	1,2	2,4
26.	1,7	1,1	2,4
27.	1,4	0,9	2,0
28.	1,5	1,0	2,1
29.	2,4	1,6	3,5
30.	1,6	1,1	2,3

Tabl. 68 Wyniki pomiarów selektywnych  
– Katowice, Grodowa

1	2	3	4	5	6	7
Lok.	E	E-U%	E+U%	E <sub>BS</sub>	E <sub>BS</sub> -U%	E <sub>BS</sub> +U%
-	V/m	V/m	V/m	V/m	V/m	V/m
1.	3,7	2,4	5,3	3,7	2,4	5,3
2.	3,3	2,2	4,7	3,3	2,2	4,7
3.	4,6	3,0	6,5	4,6	3,0	6,5
4.	4,1	2,7	5,7	4,1	2,7	5,7
5.	2,1	1,3	2,9	2,0	1,3	2,9
6.	2,6	1,7	3,6	2,6	1,7	3,6
7.	2,2	1,5	3,1	2,2	1,5	3,1
8.	3,1	2,0	4,3	3,1	2,0	4,3
9.	2,1	1,4	3,0	2,1	1,4	3,0
10.	2,5	1,6	3,6	2,5	1,6	3,6
11.	0,8	0,5	1,1	0,8	0,5	1,1
12.	2,6	1,7	3,7	2,6	1,7	3,7
13.	1,5	1,0	2,1	1,5	1,0	2,1
14.	0,8	0,6	1,2	0,8	0,5	1,1
15.	3,6	2,4	5,1	3,6	2,3	5,1
16.	2,7	1,7	3,8	2,7	1,7	3,8
17.	1,9	1,2	2,6	1,9	1,2	2,6
18.	0,8	0,6	1,1	0,7	0,5	1,0
19.	2,3	1,6	3,2	2,3	1,6	3,2
20.	0,9	0,6	1,3	0,9	0,6	1,3
21.	2,4	1,6	3,4	2,4	1,6	3,4
22.	2,4	1,5	3,4	2,4	1,5	3,4
23.	2,3	1,5	3,2	2,3	1,5	3,2
24.	3,8	2,4	5,4	3,8	2,4	5,4
25.	2,2	1,4	3,1	2,2	1,4	3,1
26.	3,1	2,0	4,3	3,1	2,0	4,3
27.	2,5	1,6	3,5	2,5	1,6	3,5
28.	4,8	3,0	6,8	4,8	3,0	6,8
29.	3,3	2,2	4,7	3,3	2,2	4,7
30.	2,3	1,5	3,3	2,3	1,5	3,3

Szczegóły odnośnie przeprowadzonych badań oraz wyniki pomiarów zawarte są w Sprawozdaniu z badań nr 0110101018/KAT05 – **Załącznik 1.**

#### 5.24 Katowice, Gawronów

Stwierdza się, że w otoczeniu stacji:

- ID: KAT0060\_C,
- ID: 32468N!,
- ID: BT\_24194

a) zmierzone, w trakcie pomiarów szerokopasmowych, wartości natężenia pola elektrycznego we wszystkich 30 z 30 punktów pomiarowych, nie przekraczają wartości granicznej 7 V/m;

- b) obliczone, na podstawie wyników pomiarów szerokopasmowych, wartości średniokwadratowe natężenia pola elektrycznego z uwzględnieniem oszacowanej rozszerzonej niepewności pomiaru (przedział ufności 95%), we wszystkich 30 z 30 punktów pomiarowych, nie przekraczają wartości granicznej 7 V/m;
- c) obliczone, na podstawie wyników pomiarów selektywnych, wartości średniokwadratowe natężenia pola elektrycznego we wszystkich 30 z 30 punktów pomiarowych, nie przekraczają wartości granicznej 7 V/m;
- d) obliczone, na podstawie wyników pomiarów selektywnych, wartości średniokwadratowe natężenia pola elektrycznego z uwzględnieniem oszacowanej rozszerzonej niepewności pomiaru (przedział ufności 95%), we wszystkich 30 z 30 punktów pomiarowych, nie przekraczają wartości granicznej 7 V/m.

Tabl. 69 Wyniki pomiarów szerokopasmowych  
– Katowice, Gawronów

1	2	3	4
Lok.	$E_{zm}$	$E_{zm}-U\%$	$E_{zm}+U\%$
-	V/m	V/m	V/m
1.	1,8	1,2	2,5
2.	2,3	1,6	3,3
3.	2,4	1,6	3,4
4.	2,2	1,4	3,1
5.	2,2	1,4	3,0
6.	2,7	1,7	3,7
7.	1,6	1,1	2,3
8.	1,6	1,1	2,3
9.	0,9	0,6	1,2
10.	1,4	0,9	2,0
11.	3,0	2,0	4,2
12.	2,8	1,8	3,9
13.	3,3	2,2	4,6
14.	1,7	1,1	2,4
15.	1,4	0,9	2,0
16.	1,5	1,0	2,2
17.	2,0	1,3	2,8
18.	2,2	1,5	3,2
19.	2,4	1,6	3,3
20.	2,6	1,7	3,6
21.	1,4	0,9	1,9
22.	1,1	0,7	1,5
23.	0,9	0,6	1,3
24.	1,0	0,6	1,4
25.	0,7	0,5	0,9
26.	0,8	0,5	1,1
27.	0,8	0,5	1,2
28.	1,6	1,1	2,2
29.	1,8	1,2	2,4
30.	1,0	0,7	1,5

Tabl. 70 Wyniki pomiarów selektywnych  
– Katowice, Gawronów

1	2	3	4	5	6	7
Lok.	E	E-U%	E+U%	E <sub>BS</sub>	E <sub>BS</sub> -U%	E <sub>BS</sub> +U%
-	V/m	V/m	V/m	V/m	V/m	V/m
1.	2,4	1,6	3,4	2,4	1,6	3,4
2.	3,0	1,9	4,2	3,0	1,9	4,2
3.	3,7	2,4	5,2	3,7	2,4	5,2
4.	3,3	2,2	4,6	3,3	2,2	4,6
5.	2,6	1,8	3,7	2,6	1,8	3,7
6.	3,5	2,3	4,9	3,5	2,3	4,9
7.	2,6	1,7	3,7	2,6	1,7	3,7
8.	2,0	1,4	2,9	2,0	1,4	2,9
9.	1,0	0,7	1,5	1,0	0,7	1,5
10.	2,3	1,5	3,3	2,3	1,5	3,3
11.	4,6	3,0	6,4	4,6	3,0	6,4
12.	3,8	2,5	5,2	3,8	2,5	5,2
13.	4,6	3,1	6,4	4,6	3,1	6,4
14.	2,3	1,5	3,2	2,3	1,5	3,2
15.	1,8	1,2	2,5	1,8	1,1	2,5
16.	2,3	1,5	3,2	2,3	1,5	3,2
17.	2,6	1,7	3,6	2,6	1,7	3,6
18.	3,5	2,3	4,9	3,5	2,3	4,9
19.	3,1	2,0	4,4	3,1	2,0	4,4
20.	3,6	2,4	5,0	3,6	2,4	5,0
21.	2,0	1,3	2,8	2,0	1,3	2,8
22.	1,6	1,1	2,4	1,6	1,1	2,4
23.	1,4	0,9	2,0	1,4	0,9	2,0
24.	1,3	0,8	1,9	1,3	0,8	1,9
25.	1,1	0,7	1,6	1,1	0,7	1,5
26.	1,3	0,8	1,8	1,3	0,8	1,8
27.	1,4	0,9	1,9	1,4	0,9	1,9
28.	2,8	1,8	3,9	2,8	1,8	3,9
29.	2,2	1,4	3,0	2,2	1,4	3,0
30.	1,5	1,0	2,2	1,5	1,0	2,2

Szczegóły odnośnie przeprowadzonych badań oraz wyniki pomiarów zawarte są w Sprawozdaniu z badań nr 0110101018/KAT06 – **Załącznik 1.**

### 5.25 Kielce, Warszawska

Stwierdza się, że w otoczeniu stacji:

- ID: BT12101,
- ID: 5261,
- ID: KIE1030I

a) zmierzone, w trakcie pomiarów szerokopasmowych, wartości natężenia pola elektrycznego we wszystkich 30 z 30 punktów pomiarowych, nie przekraczają wartości granicznej 7 V/m;

- b) obliczone, na podstawie wyników pomiarów szerokopasmowych, wartości średniokwadratowe natężenia pola elektrycznego z uwzględnieniem oszacowanej rozszerzonej niepewności pomiaru (przedział ufności 95%), we wszystkich 30 z 30 punktów pomiarowych, nie przekraczają wartości granicznej 7 V/m;
- c) obliczone, na podstawie wyników pomiarów selektywnych, wartości średniokwadratowe natężenia pola elektrycznego we wszystkich 30 z 30 punktów pomiarowych, nie przekraczają wartości granicznej 7 V/m;
- d) obliczone, na podstawie wyników pomiarów selektywnych, wartości średniokwadratowe natężenia pola elektrycznego z uwzględnieniem oszacowanej rozszerzonej niepewności pomiaru (przedział ufności 95%), we wszystkich 30 z 30 punktów pomiarowych, nie przekraczają wartości granicznej 7 V/m.

Tabl. 71 Wyniki pomiarów szerokopasmowych  
– Kielce, Warszawska

<b>1</b>	<b>2</b>	<b>3</b>	<b>4</b>
<b>Lok.</b>	<b><math>E_{zm}</math></b>	<b><math>E_{zm}-U\%</math></b>	<b><math>E_{zm}+U\%</math></b>
-	<b>V/m</b>	<b>V/m</b>	<b>V/m</b>
1.	2,0	1,3	2,8
2.	2,0	1,3	2,8
3.	2,4	1,5	3,4
4.	1,2	0,9	1,8
5.	1,2	0,8	1,7
6.	1,6	1,1	2,3
7.	1,3	0,8	1,8
8.	1,7	1,1	2,4
9.	2,4	1,6	3,4
10.	2,4	1,6	3,3
11.	1,7	1,1	2,4
12.	1,5	1,0	2,1
13.	1,2	0,8	1,7
14.	1,2	0,9	1,7
15.	1,0	0,6	1,3
16.	0,3	0,3	0,3
17.	1,7	1,1	2,4
18.	2,1	1,4	3,0
19.	2,5	1,7	3,6
20.	1,7	1,2	2,4
21.	1,7	1,1	2,5
22.	1,1	0,7	1,5
23.	2,1	1,4	3,0
24.	1,9	1,3	2,8
25.	1,6	1,1	2,3
26.	1,9	1,2	2,6
27.	3,6	2,4	5,1
28.	2,9	2,0	4,1
29.	3,2	2,1	4,4
30.	1,4	0,9	2,0



Tabl. 72 Wyniki pomiarów selektywnych  
– Kielce, Warszawska

1	2	3	4	5	6	7
Lok.	E	E-U%	E+U%	E <sub>BS</sub>	E <sub>BS</sub> -U%	E <sub>BS</sub> +U%
-	V/m	V/m	V/m	V/m	V/m	V/m
1.	2,7	1,7	3,7	2,7	1,7	3,7
2.	2,8	1,8	3,9	2,8	1,8	3,9
3.	2,2	1,4	3,2	2,2	1,4	3,2
4.	1,4	0,9	2,0	1,4	0,9	2,0
5.	1,7	1,1	2,4	1,7	1,1	2,4
6.	2,5	1,6	3,4	2,4	1,6	3,4
7.	1,4	0,9	1,9	1,4	0,9	1,9
8.	1,7	1,2	2,5	1,7	1,2	2,5
9.	2,7	1,8	3,8	2,7	1,8	3,8
10.	2,6	1,7	3,5	2,6	1,7	3,5
11.	2,2	1,5	3,0	2,2	1,5	3,0
12.	1,8	1,1	2,4	1,8	1,1	2,4
13.	1,4	0,9	2,1	1,4	0,9	2,1
14.	1,4	0,9	2,0	1,4	0,9	2,0
15.	0,9	0,6	1,3	0,9	0,6	1,3
16.	0,3	0,3	0,3	0,3	0,3	0,3
17.	2,1	1,4	3,0	2,1	1,4	3,0
18.	2,8	1,8	3,9	2,7	1,8	3,9
19.	3,1	2,1	4,4	3,1	2,1	4,4
20.	2,0	1,4	2,9	2,0	1,4	2,9
21.	2,6	1,7	3,6	2,6	1,7	3,6
22.	1,6	1,1	2,2	1,6	1,1	2,2
23.	3,1	2,0	4,2	3,1	2,0	4,2
24.	2,4	1,6	3,3	2,4	1,5	3,3
25.	2,6	1,7	3,6	2,6	1,7	3,6
26.	2,9	1,9	4,0	2,9	1,9	4,0
27.	4,6	3,0	6,5	4,6	3,0	6,4
28.	4,1	2,7	5,8	4,1	2,7	5,8
29.	3,5	2,3	4,9	3,5	2,3	4,9
30.	2,0	1,3	2,8	2,0	1,3	2,8

Szczegóły odnośnie przeprowadzonych badań oraz wyniki pomiarów zawarte są w Sprawozdaniu z badań nr 0110101018/KIE01 – **Załącznik 1.**

### 5.26 Kielce, Sienkiewicza

Stwierdza się, że w otoczeniu stacji:

- ID: KIE1001B,
- ID: BT12131

a) zmierzone, w trakcie pomiarów szerokopasmowych, wartości natężenia pola elektrycznego we wszystkich 30 z 30 punktów pomiarowych, nie przekraczają wartości granicznej 7 V/m;

- b) obliczone, na podstawie wyników pomiarów szerokopasmowych, wartości średniokwadratowe natężenia pola elektrycznego z uwzględnieniem oszacowanej rozszerzonej niepewności pomiaru (przedział ufności 95%), we wszystkich 30 z 30 punktów pomiarowych, nie przekraczają wartości granicznej 7 V/m;
- c) obliczone, na podstawie wyników pomiarów selektywnych, wartości średniokwadratowe natężenia pola elektrycznego we wszystkich 30 z 30 punktów pomiarowych, nie przekraczają wartości granicznej 7 V/m;
- d) obliczone, na podstawie wyników pomiarów selektywnych, wartości średniokwadratowe natężenia pola elektrycznego z uwzględnieniem oszacowanej rozszerzonej niepewności pomiaru (przedział ufności 95%), we wszystkich 30 z 30 punktów pomiarowych, nie przekraczają wartości granicznej 7 V/m.

Tabl. 73 Wyniki pomiarów szerokopasmowych  
– Kielce, Sienkiewicza

<b>1</b>	<b>2</b>	<b>3</b>	<b>4</b>
<b>Lok.</b>	<b><math>E_{zm}</math></b>	<b><math>E_{zm}-U\%</math></b>	<b><math>E_{zm}+U\%</math></b>
-	<b>V/m</b>	<b>V/m</b>	<b>V/m</b>
1.	2,3	1,5	3,2
2.	0,8	0,6	1,1
3.	1,9	1,3	2,6
4.	2,0	1,3	2,9
5.	1,7	1,2	2,4
6.	1,8	1,3	2,6
7.	2,1	1,3	2,9
8.	2,1	1,4	2,9
9.	1,3	0,8	1,8
10.	1,0	0,7	1,3
11.	0,8	0,6	1,2
12.	1,3	0,9	1,8
13.	0,9	0,6	1,2
14.	1,3	0,9	1,8
15.	1,2	0,7	1,6
16.	0,8	0,6	1,0
17.	0,8	0,6	1,0
18.	1,4	1,0	2,0
19.	0,7	0,6	0,9
20.	1,7	1,1	2,3
21.	0,6	0,5	0,8
22.	0,4	0,4	0,4
23.	1,1	0,8	1,6
24.	0,8	0,6	1,1
25.	0,8	0,6	1,0
26.	2,2	1,5	3,1
27.	2,1	1,4	3,0
28.	1,6	1,0	2,2
29.	0,3	0,3	0,3
30.	1,1	0,7	1,5

Tabl. 74 Wyniki pomiarów selektywnych  
– Kielce, Sienkiewicza

1	2	3	4	5	6	7
Lok.	E	E-U%	E+U%	E <sub>BS</sub>	E <sub>BS</sub> -U%	E <sub>BS</sub> +U%
-	V/m	V/m	V/m	V/m	V/m	V/m
1.	3,1	2,0	4,3	3,1	2,0	4,3
2.	0,7	0,6	1,0	0,7	0,6	1,0
3.	2,4	1,6	3,4	2,4	1,6	3,4
4.	2,4	1,6	3,4	2,4	1,6	3,4
5.	2,2	1,4	3,1	2,2	1,4	3,1
6.	2,4	1,6	3,4	2,4	1,6	3,4
7.	2,0	1,3	2,8	2,0	1,3	2,8
8.	2,3	1,5	3,3	2,3	1,5	3,2
9.	1,3	0,9	1,9	1,3	0,9	1,9
10.	1,2	0,8	1,7	1,2	0,8	1,7
11.	1,0	0,6	1,3	0,9	0,6	1,3
12.	1,5	1,0	2,1	1,5	1,0	2,1
13.	0,9	0,6	1,3	0,9	0,6	1,3
14.	1,2	0,8	1,7	1,2	0,8	1,6
15.	1,4	0,9	2,0	1,4	0,9	2,0
16.	0,9	0,6	1,3	0,8	0,6	1,2
17.	0,8	0,6	1,1	0,7	0,5	0,9
18.	1,9	1,3	2,7	1,9	1,3	2,7
19.	0,7	0,5	0,9	0,7	0,5	0,8
20.	2,3	1,5	3,2	2,3	1,5	3,2
21.	0,4	0,4	0,4	0,4	0,4	0,4
22.	0,5	0,4	0,6	0,5	0,4	0,6
23.	1,6	1,0	2,2	1,5	1,0	2,2
24.	1,2	0,8	1,7	1,2	0,8	1,7
25.	1,2	0,8	1,6	1,1	0,7	1,6
26.	2,8	1,9	4,0	2,8	1,8	4,0
27.	2,5	1,7	3,6	2,5	1,7	3,6
28.	1,8	1,2	2,5	1,8	1,2	2,5
29.	0,4	0,4	0,4	0,4	0,4	0,4
30.	1,7	1,1	2,3	1,6	1,1	2,3

Szczegóły odnośnie przeprowadzonych badań oraz wyniki pomiarów zawarte są w Sprawozdaniu z badań nr 0110101018/KIE02 – **Załącznik 1.**

### 5.27 Kielce, Kredowa/Massalskiego

Stwierdza się, że w otoczeniu stacji:

- ID: KIE1046A,
- ID: 6689 (27343, 12947(N!))

a) zmierzone, w trakcie pomiarów szerokopasmowych, wartości natężenia pola elektrycznego we wszystkich 30 z 30 punktów pomiarowych, nie przekraczają wartości granicznej 7 V/m;

- b) obliczona, na podstawie wyników pomiarów szerokopasmowych, wartość średniokwadratowa natężenia pola elektrycznego z uwzględnieniem oszacowanej rozszerzonej niepewności pomiaru (przedział ufności 95%), w 1 z 30 punktów pomiarowych, przekracza wartość graniczną 7 V/m;
- c) obliczona, na podstawie wyników pomiarów selektywnych, wartość średniokwadratowa natężenia pola elektrycznego w 1 z 30 punktów pomiarowych, przekracza wartość graniczną 7 V/m;
- d) obliczone, na podstawie wyników pomiarów selektywnych, wartości średniokwadratowe natężenia pola elektrycznego z uwzględnieniem oszacowanej rozszerzonej niepewności pomiaru (przedział ufności 95%), w 4 z 30 punktów pomiarowych, przekraczają wartość graniczną 7 V/m.

Tabl. 75 Wyniki pomiarów szerokopasmowych  
– Kielce, Kredowa/Massalskiego

1	2	3	4
Lok.	$E_{zm}$	$E_{zm}-U\%$	$E_{zm}+U\%$
-	V/m	V/m	V/m
1.	3,0	2,0	4,2
2.	3,3	2,2	4,6
3.	2,0	1,3	2,8
4.	1,6	1,0	2,2
5.	2,2	1,5	3,1
6.	2,9	1,9	4,0
7.	3,9	2,6	5,5
8.	3,2	2,1	4,5
9.	2,5	1,7	3,5
10.	0,5	0,4	0,7
11.	1,9	1,3	2,6
12.	2,9	1,9	4,1
13.	2,6	1,8	3,6
14.	2,4	1,6	3,3
15.	2,8	1,9	3,9
16.	2,1	1,4	3,0
17.	3,9	2,6	5,5
18.	2,3	1,5	3,2
19.	2,1	1,4	2,9
20.	3,4	2,3	4,8
21.	4,5	3,0	6,2
22.	1,9	1,2	2,7
23.	5,3	3,4	7,3
24.	3,5	2,3	4,9
25.	3,0	2,0	4,2
26.	3,9	2,6	5,4
27.	1,9	1,3	2,6
28.	2,3	1,5	3,3
29.	1,5	1,0	2,1
30.	1,5	1,0	2,2

Tabl. 76 Wyniki pomiarów selektywnych  
– Kielce, Kredowa/Massalskiego

1	2	3	4	5	6	7
Lok.	E	E-U%	E+U%	E <sub>BS</sub>	E <sub>BS</sub> -U%	E <sub>BS</sub> +U%
-	V/m	V/m	V/m	V/m	V/m	V/m
1.	3,2	2,1	4,5	3,2	2,1	4,5
2.	4,9	3,2	6,8	4,9	3,2	6,8
3.	2,2	1,4	3,1	2,2	1,4	3,1
4.	3,4	2,2	4,7	3,4	2,2	4,7
5.	2,7	1,7	3,7	2,7	1,7	3,7
6.	4,5	2,9	6,2	4,5	2,9	6,2
7.	4,0	2,6	5,5	4,0	2,6	5,5
8.	3,7	2,4	5,1	3,7	2,4	5,1
9.	3,1	2,0	4,4	3,1	2,0	4,4
10.	0,7	0,5	1,0	0,7	0,5	1,0
11.	2,8	1,8	4,0	2,8	1,8	4,0
12.	5,4	3,4	7,7	5,4	3,4	7,7
13.	3,8	2,5	5,3	3,8	2,5	5,3
14.	3,4	2,2	4,8	3,4	2,2	4,8
15.	3,8	2,5	5,3	3,8	2,5	5,3
16.	2,5	1,7	3,5	2,5	1,7	3,5
17.	4,5	2,9	6,4	4,5	2,9	6,4
18.	4,2	2,7	5,9	4,2	2,7	5,9
19.	4,0	2,6	5,6	3,9	2,6	5,6
20.	5,0	3,2	7,0	5,0	3,2	7,0
21.	6,8	4,4	9,5	6,8	4,4	9,5
22.	2,9	1,9	4,1	2,9	1,9	4,1
23.	7,3	4,8	10,1	7,3	4,8	10,1
24.	4,8	3,2	6,8	4,8	3,2	6,8
25.	5,7	3,7	8,0	5,7	3,6	8,0
26.	4,4	2,9	6,2	4,4	2,9	6,2
27.	3,1	2,0	4,3	3,1	2,0	4,3
28.	2,9	1,9	4,1	2,9	1,9	4,1
29.	2,8	1,9	3,9	2,8	1,9	3,9
30.	2,6	1,7	3,6	2,6	1,7	3,6

Szczegóły odnośnie przeprowadzonych badań oraz wyniki pomiarów zawarte są w Sprawozdaniu z badań nr 0110101018/KIE03 – **Załącznik 1.**

### 5.28 Kielce, Szczecińska

Stwierdza się, że w otoczeniu stacji:

- ID: KIE1009E,
- ID: 55113 (27113N!)

a) zmierzone, w trakcie pomiarów szerokopasmowych, wartości natężenia pola elektrycznego we wszystkich 30 z 30 punktów pomiarowych, nie przekraczają wartości granicznej 7 V/m;

- b) obliczone, na podstawie wyników pomiarów szerokopasmowych, wartości średniokwadratowe natężenia pola elektrycznego z uwzględnieniem oszacowanej rozszerzonej niepewności pomiaru (przedział ufności 95%), we wszystkich 30 z 30 punktów pomiarowych, nie przekraczają wartości granicznej 7 V/m;
- c) obliczone, na podstawie wyników pomiarów selektywnych, wartości średniokwadratowe natężenia pola elektrycznego we wszystkich 30 z 30 punktów pomiarowych, nie przekraczają wartości granicznej 7 V/m;
- d) obliczone, na podstawie wyników pomiarów selektywnych, wartości średniokwadratowe natężenia pola elektrycznego z uwzględnieniem oszacowanej rozszerzonej niepewności pomiaru (przedział ufności 95%), we wszystkich 30 z 30 punktów pomiarowych, nie przekraczają wartości granicznej 7 V/m.

Tabl. 77 Wyniki pomiarów szerokopasmowych  
– Kielce, Szczecińska

<b>1</b>	<b>2</b>	<b>3</b>	<b>4</b>
<b>Lok.</b>	<b><math>E_{zm}</math></b>	<b><math>E_{zm}-U\%</math></b>	<b><math>E_{zm}+U\%</math></b>
-	<b>V/m</b>	<b>V/m</b>	<b>V/m</b>
1.	1,5	1,0	2,1
2.	1,1	0,8	1,5
3.	0,9	0,6	1,2
4.	1,5	1,0	2,0
5.	1,7	1,2	2,5
6.	2,2	1,5	3,1
7.	2,3	1,5	3,3
8.	1,8	1,2	2,5
9.	2,3	1,5	3,2
10.	1,1	0,7	1,6
11.	0,8	0,6	1,0
12.	1,5	1,0	2,1
13.	1,6	1,1	2,2
14.	2,2	1,5	3,1
15.	2,0	1,3	2,8
16.	2,0	1,3	2,8
17.	1,2	0,9	1,7
18.	1,6	1,1	2,2
19.	2,1	1,4	2,9
20.	0,8	0,6	1,0
21.	1,1	0,7	1,5
22.	1,2	0,8	1,6
23.	1,3	0,9	1,8
24.	1,9	1,2	2,7
25.	0,9	0,6	1,2
26.	1,0	0,7	1,4
27.	1,7	1,1	2,4
28.	2,2	1,5	3,1
29.	1,7	1,1	2,4
30.	1,7	1,1	2,4

Tabl. 78 Wyniki pomiarów selektywnych  
– Kielce, Szczecińska

1	2	3	4	5	6	7
Lok.	E	E-U%	E+U%	E <sub>BS</sub>	E <sub>BS</sub> -U%	E <sub>BS</sub> +U%
-	V/m	V/m	V/m	V/m	V/m	V/m
1.	2,2	1,4	3,1	2,2	1,4	3,1
2.	1,5	1,1	2,2	1,5	1,1	2,2
3.	0,9	0,7	1,2	0,9	0,6	1,2
4.	1,6	1,1	2,2	1,6	1,0	2,2
5.	2,1	1,4	2,9	2,1	1,3	2,9
6.	2,7	1,8	3,8	2,7	1,8	3,8
7.	2,3	1,6	3,3	2,3	1,6	3,3
8.	2,0	1,3	2,7	2,0	1,3	2,7
9.	2,4	1,6	3,4	2,4	1,6	3,4
10.	1,3	0,9	1,8	1,3	0,9	1,8
11.	1,1	0,8	1,5	1,1	0,8	1,5
12.	2,2	1,5	3,1	2,2	1,5	3,1
13.	2,8	1,9	4,0	2,8	1,9	4,0
14.	3,6	2,3	5,0	3,6	2,3	5,0
15.	3,1	2,0	4,3	3,1	2,0	4,3
16.	3,0	1,9	4,2	3,0	1,9	4,2
17.	1,7	1,1	2,4	1,7	1,1	2,3
18.	1,7	1,1	2,3	1,7	1,1	2,3
19.	2,1	1,3	2,9	2,1	1,3	2,9
20.	0,9	0,6	1,1	0,8	0,6	1,1
21.	1,3	0,9	1,9	1,3	0,9	1,9
22.	1,2	0,8	1,7	1,2	0,8	1,7
23.	1,2	0,8	1,6	1,2	0,8	1,6
24.	2,2	1,5	3,1	2,2	1,4	3,1
25.	1,2	0,8	1,6	1,1	0,8	1,6
26.	1,1	0,8	1,5	1,0	0,7	1,5
27.	2,4	1,5	3,3	2,4	1,5	3,3
28.	2,3	1,5	3,2	2,3	1,5	3,2
29.	2,3	1,5	3,2	2,3	1,5	3,2
30.	2,1	1,4	2,9	2,1	1,4	2,9

Szczegóły odnośnie przeprowadzonych badań oraz wyniki pomiarów zawarte są w Sprawozdaniu z badań nr 0110101018/KIE04 – **Załącznik 1.**

### 5.29 Kielce, Sikorskiego

Stwierdza się, że w otoczeniu stacji:

- ID: KIE1029A,
- ID: 55317 (27317N!),
- ID: BT12100

a) zmierzone, w trakcie pomiarów szerokopasmowych, wartości natężenia pola elektrycznego we wszystkich 30 z 30 punktów pomiarowych, nie przekraczają wartości granicznej 7 V/m;

- b) obliczone, na podstawie wyników pomiarów szerokopasmowych, wartości średniokwadratowe natężenia pola elektrycznego z uwzględnieniem oszacowanej rozszerzonej niepewności pomiaru (przedział ufności 95%), we wszystkich 30 z 30 punktów pomiarowych, nie przekraczają wartości granicznej 7 V/m;
- c) obliczone, na podstawie wyników pomiarów selektywnych, wartości średniokwadratowe natężenia pola elektrycznego we wszystkich 30 z 30 punktów pomiarowych, nie przekraczają wartości granicznej 7 V/m;
- d) obliczone, na podstawie wyników pomiarów selektywnych, wartości średniokwadratowe natężenia pola elektrycznego z uwzględnieniem oszacowanej rozszerzonej niepewności pomiaru (przedział ufności 95%), w 2 z 30 punktów pomiarowych, mogą przekraczać wartość graniczną 7 V/m.

Tabl. 79 Wyniki pomiarów szerokopasmowych  
– Kielce, Sikorskiego

<b>1</b>	<b>2</b>	<b>3</b>	<b>4</b>
<b>Lok.</b>	<b><math>E_{zm}</math></b>	<b><math>E_{zm}-U\%</math></b>	<b><math>E_{zm}+U\%</math></b>
-	<b>V/m</b>	<b>V/m</b>	<b>V/m</b>
1.	3,1	2,1	4,4
2.	2,6	1,7	3,6
3.	1,1	0,7	1,5
4.	1,9	1,3	2,6
5.	2,2	1,5	3,1
6.	2,1	1,4	3,0
7.	2,0	1,3	2,8
8.	1,9	1,3	2,7
9.	1,9	1,3	2,6
10.	1,6	1,1	2,3
11.	1,6	1,1	2,3
12.	1,8	1,2	2,5
13.	2,2	1,5	3,0
14.	2,7	1,7	3,7
15.	2,3	1,5	3,2
16.	2,0	1,3	2,8
17.	1,3	0,9	1,8
18.	3,2	2,1	4,5
19.	4,3	2,8	6,0
20.	2,0	1,4	2,8
21.	2,1	1,4	3,0
22.	1,7	1,1	2,4
23.	1,6	1,1	2,3
24.	1,6	1,0	2,2
25.	2,8	1,8	4,0
26.	3,9	2,6	5,4
27.	3,6	2,4	5,1
28.	5,0	3,3	7,0
29.	3,1	2,1	4,4
30.	1,7	1,2	2,4



Tabl. 80 Wyniki pomiarów selektywnych  
– Kielce, Sikorskiego

1	2	3	4	5	6	7
Lok.	E	E-U%	E+U%	E <sub>BS</sub>	E <sub>BS</sub> -U%	E <sub>BS</sub> +U%
-	V/m	V/m	V/m	V/m	V/m	V/m
1.	3,9	2,6	5,5	3,9	2,6	5,5
2.	3,2	2,1	4,4	3,2	2,0	4,4
3.	1,9	1,2	2,7	1,9	1,2	2,6
4.	3,2	2,1	4,4	3,2	2,1	4,4
5.	2,6	1,7	3,7	2,6	1,7	3,7
6.	2,4	1,6	3,4	2,4	1,6	3,4
7.	2,1	1,4	3,0	2,1	1,4	3,0
8.	2,5	1,6	3,4	2,5	1,6	3,4
9.	2,7	1,7	3,8	2,7	1,7	3,8
10.	2,0	1,4	2,9	2,0	1,3	2,9
11.	2,0	1,3	2,8	2,0	1,3	2,8
12.	2,2	1,4	3,0	2,2	1,4	3,0
13.	2,5	1,6	3,4	2,5	1,6	3,4
14.	2,6	1,8	3,7	2,6	1,7	3,7
15.	2,3	1,5	3,2	2,3	1,5	3,2
16.	2,2	1,5	3,0	2,1	1,4	3,0
17.	1,5	1,1	2,2	1,5	1,0	2,2
18.	3,0	2,1	4,3	3,0	2,1	4,2
19.	5,1	3,3	7,1	5,1	3,3	7,1
20.	1,9	1,3	2,7	1,9	1,3	2,7
21.	2,6	1,7	3,6	2,6	1,7	3,6
22.	2,1	1,4	2,9	2,1	1,4	2,9
23.	1,7	1,2	2,5	1,7	1,2	2,5
24.	1,9	1,3	2,6	1,8	1,2	2,6
25.	4,2	2,8	5,8	4,2	2,8	5,8
26.	4,2	2,8	5,9	4,2	2,8	5,9
27.	4,6	3,0	6,4	4,6	3,0	6,4
28.	6,7	4,3	9,3	6,7	4,3	9,3
29.	3,5	2,3	4,9	3,5	2,3	4,9
30.	2,3	1,5	3,2	2,2	1,5	3,2

Szczegóły odnośnie przeprowadzonych badań oraz wyniki pomiarów zawarte są w Sprawozdaniu z badań nr 0110101018/KIE05 – Załącznik 1.

### 5.30 Kielce, Solidarności

Stwierdza się, że w otoczeniu stacji:

- ID: 10220
- a) zmierzone, w trakcie pomiarów szerokopasmowych, wartości natężenia pola elektrycznego we wszystkich 30 z 30 punktów pomiarowych, nie przekraczają wartości granicznej 7 V/m;
- b) obliczone, na podstawie wyników pomiarów szerokopasmowych, wartości średniokwadratowe natężenia pola elektrycznego z uwzględnieniem oszacowanej

rozszerzonej niepewności pomiaru (przedział ufności 95%), we wszystkich 30 z 30 punktów pomiarowych, nie przekraczają wartości granicznej 7 V/m;

- c) obliczone, na podstawie wyników pomiarów selektywnych, wartości średniokwadratowe natężenia pola elektrycznego we wszystkich 30 z 30 punktów pomiarowych, nie przekraczają wartości granicznej 7 V/m;
- d) obliczone, na podstawie wyników pomiarów selektywnych, wartości średniokwadratowe natężenia pola elektrycznego z uwzględnieniem oszacowanej rozszerzonej niepewności pomiaru (przedział ufności 95%), we wszystkich 30 z 30 punktów pomiarowych, nie przekraczają wartości granicznej 7 V/m.

Tabl. 81 Wyniki pomiarów szerokopasmowych  
– Kielce, Solidarności

<b>1</b>	<b>2</b>	<b>3</b>	<b>4</b>
<b>Lok.</b>	<b><math>E_{zm}</math></b>	<b><math>E_{zm}-U\%</math></b>	<b><math>E_{zm}+U\%</math></b>
<b>-</b>	<b>V/m</b>	<b>V/m</b>	<b>V/m</b>
1.	0,6	0,5	0,7
2.	1,3	0,9	1,8
3.	1,5	1,0	2,0
4.	1,2	0,8	1,6
5.	1,3	0,8	1,7
6.	1,2	0,8	1,7
7.	0,9	0,7	1,2
8.	0,9	0,7	1,3
9.	0,9	0,6	1,2
10.	1,2	0,8	1,7
11.	1,3	0,8	1,8
12.	1,6	1,1	2,3
13.	2,1	1,4	2,9
14.	2,4	1,6	3,3
15.	1,6	1,0	2,1
16.	1,0	0,7	1,4
17.	1,5	1,0	2,1
18.	1,4	1,0	2,0
19.	1,1	0,8	1,5
20.	0,8	0,6	1,1
21.	0,7	0,6	0,9
22.	0,5	0,5	0,5
23.	0,7	0,5	0,9
24.	1,0	0,7	1,4
25.	1,5	1,0	2,0
26.	0,8	0,6	1,1
27.	0,9	0,7	1,3
28.	1,1	0,7	1,6
29.	1,4	0,9	2,0
30.	1,6	1,0	2,1

Tabl. 82 Wyniki pomiarów selektywnych  
– Kielce, Solidarności

1	2	3	4	5	6	7
Lok.	E	E-U%	E+U%	E <sub>BS</sub>	E <sub>BS</sub> -U%	E <sub>BS</sub> +U%
-	V/m	V/m	V/m	V/m	V/m	V/m
1.	0,7	0,6	0,9	0,6	0,5	0,8
2.	1,3	0,9	1,8	1,3	0,9	1,8
3.	1,3	0,9	1,8	1,3	0,9	1,8
4.	1,9	1,2	2,6	1,9	1,2	2,6
5.	1,3	0,8	1,8	1,3	0,8	1,8
6.	1,3	0,9	1,8	1,3	0,9	1,8
7.	1,2	0,8	1,8	1,2	0,8	1,8
8.	1,2	0,9	1,7	1,2	0,9	1,7
9.	1,0	0,7	1,4	1,0	0,7	1,4
10.	1,2	0,8	1,7	1,2	0,8	1,7
11.	1,3	0,9	1,9	1,3	0,9	1,9
12.	1,4	0,9	2,0	1,4	0,9	2,0
13.	1,9	1,3	2,7	1,9	1,3	2,7
14.	2,2	1,5	3,1	2,2	1,4	3,1
15.	1,6	1,0	2,2	1,6	1,0	2,2
16.	1,2	0,8	1,6	1,1	0,8	1,6
17.	1,6	1,0	2,2	1,6	1,0	2,2
18.	1,3	0,9	1,8	1,3	0,8	1,8
19.	1,2	0,8	1,7	1,2	0,8	1,7
20.	0,8	0,6	1,0	0,8	0,6	1,0
21.	0,7	0,5	0,9	0,7	0,5	0,9
22.	0,5	0,4	0,5	0,4	0,4	0,4
23.	0,6	0,5	0,8	0,6	0,5	0,8
24.	1,2	0,8	1,7	1,2	0,8	1,7
25.	1,9	1,3	2,6	1,9	1,3	2,6
26.	1,1	0,7	1,5	1,1	0,7	1,5
27.	1,3	0,9	1,8	1,3	0,9	1,8
28.	1,3	0,9	1,9	1,3	0,9	1,9
29.	1,8	1,2	2,5	1,8	1,2	2,5
30.	1,6	1,0	2,2	1,6	1,0	2,2

Szczegóły odnośnie przeprowadzonych badań oraz wyniki pomiarów zawarte są w Sprawozdaniu z badań nr 0110101018/KIE06 – Załącznik 1.

### 5.31 Kraków, Zaborska

Stwierdza się, że w otoczeniu stacji:

- ID: KRA0248\_A,
- ID: BT\_20297

a) zmierzone, w trakcie pomiarów szerokopasmowych, wartości natężenia pola elektrycznego we wszystkich 30 z 30 punktów pomiarowych, nie przekraczają wartości granicznej 7 V/m;

- b) obliczone, na podstawie wyników pomiarów szerokopasmowych, wartości średniokwadratowe natężenia pola elektrycznego z uwzględnieniem oszacowanej rozszerzonej niepewności pomiaru (przedział ufności 95%), we wszystkich 30 z 30 punktów pomiarowych, nie przekraczają wartości granicznej 7 V/m;
- c) obliczone, na podstawie wyników pomiarów selektywnych, wartości średniokwadratowe natężenia pola elektrycznego we wszystkich 30 z 30 punktów pomiarowych, nie przekraczają wartości granicznej 7 V/m;
- d) obliczone, na podstawie wyników pomiarów selektywnych, wartości średniokwadratowe natężenia pola elektrycznego z uwzględnieniem oszacowanej rozszerzonej niepewności pomiaru (przedział ufności 95%), we wszystkich 30 z 30 punktów pomiarowych, nie przekraczają wartości granicznej 7 V/m.

Tabl. 83 Wyniki pomiarów szerokopasmowych  
– Kraków, Zaborska

<b>1</b>	<b>2</b>	<b>3</b>	<b>4</b>
<b>Lok.</b>	<b><math>E_{zm}</math></b>	<b><math>E_{zm}-U\%</math></b>	<b><math>E_{zm}+U\%</math></b>
-	<b>V/m</b>	<b>V/m</b>	<b>V/m</b>
1.	1,7	1,2	2,4
2.	1,7	1,1	2,3
3.	2,2	1,5	3,0
4.	2,0	1,4	2,8
5.	2,6	1,7	3,6
6.	2,6	1,7	3,6
7.	1,7	1,1	2,3
8.	1,4	0,9	1,9
9.	0,7	0,6	1,0
10.	1,7	1,2	2,4
11.	1,9	1,2	2,6
12.	1,6	1,1	2,2
13.	0,9	0,7	1,3
14.	0,9	0,6	1,2
15.	2,3	1,5	3,2
16.	1,7	1,1	2,3
17.	0,2	0,2	0,2
18.	0,6	0,4	0,7
19.	0,4	0,4	0,4
20.	0,1	0,1	0,1
21.	1,3	1,0	1,9
22.	0,3	0,3	0,3
23.	0,2	0,2	0,2
24.	0,1	0,1	0,1
25.	1,0	0,6	1,3
26.	0,2	0,1	0,3
27.	0,3	0,3	0,3
28.	0,1	0,1	0,1
29.	0,1	0,1	0,1
30.	0,1	0,1	0,1

Tabl. 84 Wyniki pomiarów selektywnych  
– Kraków, Zaborska

1	2	3	4	5	6	7
Lok.	E	E-U%	E+U%	E <sub>BS</sub>	E <sub>BS</sub> -U%	E <sub>BS</sub> +U%
-	V/m	V/m	V/m	V/m	V/m	V/m
1.	2,4	1,6	3,3	2,4	1,6	3,3
2.	3,1	2,1	4,3	3,1	2,1	4,3
3.	3,4	2,2	4,7	3,4	2,2	4,7
4.	3,6	2,4	5,0	3,6	2,4	5,0
5.	3,3	2,2	4,6	3,3	2,2	4,6
6.	2,3	1,5	3,2	2,3	1,5	3,2
7.	1,4	0,9	2,0	1,4	0,9	2,0
8.	1,8	1,1	2,5	1,8	1,1	2,5
9.	0,8	0,5	1,2	0,8	0,5	1,2
10.	2,7	1,8	3,7	2,7	1,8	3,7
11.	3,0	2,0	4,1	3,0	2,0	4,1
12.	1,8	1,1	2,4	1,8	1,1	2,4
13.	1,3	0,9	1,9	1,3	0,9	1,9
14.	0,8	0,5	1,0	0,8	0,5	1,0
15.	3,0	2,0	4,1	3,0	2,0	4,1
16.	2,7	1,8	3,8	2,7	1,8	3,8
17.	0,4	0,4	0,4	0,3	0,3	0,3
18.	0,8	0,5	1,1	0,8	0,5	1,1
19.	0,6	0,5	0,9	0,6	0,5	0,9
20.	0,1	0,1	0,1	0,1	0,1	0,1
21.	1,8	1,2	2,6	1,8	1,2	2,6
22.	0,2	0,2	0,2	0,2	0,2	0,2
23.	0,1	0,1	0,1	0,1	0,1	0,1
24.	0,2	0,2	0,2	0,2	0,2	0,2
25.	1,1	0,7	1,6	1,1	0,7	1,6
26.	0,1	0,1	0,1	0,1	0,1	0,1
27.	0,3	0,3	0,3	0,3	0,3	0,3
28.	0,0	0,0	0,0	0,0	0,0	0,0
29.	0,0	0,0	0,0	0,0	0,0	0,0
30.	0,2	0,2	0,2	0,2	0,2	0,2

Szczegóły odnośnie przeprowadzonych badań oraz wyniki pomiarów zawarte są w Sprawozdaniu z badań nr 0110101018/KRA01 – **Załącznik 1.**

### 5.32 Kraków, Wąska

Stwierdza się, że w otoczeniu stacji:

- ID: BT\_24086
- a) zmierzone, w trakcie pomiarów szerokopasmowych, wartości natężenia pola elektrycznego we wszystkich 30 z 30 punktów pomiarowych, nie przekraczają wartości granicznej 7 V/m;
- b) obliczone, na podstawie wyników pomiarów szerokopasmowych, wartości średniokwadratowe natężenia pola elektrycznego z uwzględnieniem oszacowanej

rozszerzonej niepewności pomiaru (przedział ufności 95%), we wszystkich 30 z 30 punktów pomiarowych, nie przekraczają wartości granicznej 7 V/m;

- c) obliczone, na podstawie wyników pomiarów selektywnych, wartości średniokwadratowe natężenia pola elektrycznego we wszystkich 30 z 30 punktów pomiarowych, nie przekraczają wartości granicznej 7 V/m;
- d) obliczone, na podstawie wyników pomiarów selektywnych, wartości średniokwadratowe natężenia pola elektrycznego z uwzględnieniem oszacowanej rozszerzonej niepewności pomiaru (przedział ufności 95%), we wszystkich 30 z 30 punktów pomiarowych, nie przekraczają wartości granicznej 7 V/m.

Tabl. 85 Wyniki pomiarów szerokopasmowych  
– Kraków, Wąska

<b>1</b>	<b>2</b>	<b>3</b>	<b>4</b>
<b>Lok.</b>	<b><math>E_{zm}</math></b>	<b><math>E_{zm}-U\%</math></b>	<b><math>E_{zm}+U\%</math></b>
<b>-</b>	<b>V/m</b>	<b>V/m</b>	<b>V/m</b>
1.	0,9	0,6	1,2
2.	0,9	0,6	1,3
3.	0,5	0,4	0,6
4.	1,2	0,8	1,7
5.	1,0	0,7	1,4
6.	1,5	1,0	2,0
7.	0,7	0,5	1,0
8.	0,5	0,4	0,6
9.	1,1	0,8	1,6
10.	0,7	0,5	0,8
11.	0,5	0,4	0,7
12.	0,8	0,6	1,1
13.	0,8	0,6	1,0
14.	1,5	1,0	2,0
15.	0,9	0,6	1,2
16.	1,1	0,8	1,5
17.	1,3	0,9	1,8
18.	1,4	0,9	2,0
19.	1,2	0,8	1,6
20.	1,0	0,7	1,4
21.	0,7	0,5	0,9
22.	0,4	0,4	0,4
23.	0,6	0,5	0,8
24.	0,4	0,4	0,4
25.	2,2	1,5	3,1
26.	0,6	0,5	0,8
27.	0,5	0,4	0,5
28.	0,0	0,0	0,0
29.	0,7	0,6	0,9
30.	0,9	0,7	1,2

Tabl. 86 Wyniki pomiarów selektywnych  
– Kraków, Wąska

1	2	3	4	5	6	7
Lok.	E	E-U%	E+U%	E <sub>BS</sub>	E <sub>BS</sub> -U%	E <sub>BS</sub> +U%
-	V/m	V/m	V/m	V/m	V/m	V/m
1.	0,8	0,6	1,1	0,8	0,6	1,1
2.	1,1	0,7	1,5	1,1	0,7	1,4
3.	0,5	0,3	0,8	0,5	0,3	0,8
4.	1,3	0,8	1,8	1,3	0,8	1,8
5.	1,1	0,7	1,5	1,1	0,7	1,5
6.	1,8	1,2	2,5	1,8	1,2	2,5
7.	1,0	0,7	1,3	1,0	0,7	1,3
8.	0,4	0,4	0,5	0,4	0,4	0,5
9.	1,0	0,7	1,4	1,0	0,7	1,4
10.	0,7	0,5	0,9	0,7	0,5	0,9
11.	0,5	0,3	0,7	0,5	0,3	0,7
12.	0,9	0,6	1,3	0,9	0,6	1,2
13.	0,8	0,5	1,0	0,8	0,5	1,0
14.	1,1	0,8	1,6	1,1	0,8	1,6
15.	0,7	0,4	0,9	0,7	0,4	0,9
16.	1,5	1,0	2,2	1,5	1,0	2,2
17.	1,9	1,3	2,7	1,9	1,3	2,7
18.	2,0	1,3	2,8	2,0	1,2	2,8
19.	1,6	1,1	2,4	1,6	1,1	2,4
20.	1,2	0,8	1,7	1,2	0,8	1,6
21.	0,8	0,6	1,1	0,8	0,6	1,1
22.	0,3	0,3	0,3	0,3	0,3	0,3
23.	0,6	0,4	0,9	0,6	0,4	0,9
24.	0,3	0,3	0,3	0,3	0,3	0,3
25.	3,2	2,1	4,5	3,2	2,1	4,5
26.	0,7	0,5	0,9	0,7	0,5	0,9
27.	0,4	0,4	0,5	0,4	0,4	0,5
28.	0,1	0,1	0,1	0,1	0,1	0,1
29.	0,7	0,5	0,9	0,7	0,4	0,9
30.	0,9	0,6	1,2	0,9	0,6	1,2

Szczegóły odnośnie przeprowadzonych badań oraz wyniki pomiarów zawarte są w Sprawozdaniu z badań nr 0110101018/KRA02 – **Załącznik 1.**

### 5.33 Kraków, Krzemionki

Stwierdza się, że w otoczeniu stacji:

- ID: KRA9005\_A,
- ID: MW29276,
- ID: 28404N!

a) zmierzone, w trakcie pomiarów szerokopasmowych, wartości natężenia pola elektrycznego we wszystkich 30 z 30 punktów pomiarowych, nie przekraczają wartości granicznej 7 V/m;

- b) obliczone, na podstawie wyników pomiarów szerokopasmowych, wartości średniokwadratowe natężenia pola elektrycznego z uwzględnieniem oszacowanej rozszerzonej niepewności pomiaru (przedział ufności 95%), we wszystkich 30 z 30 punktów pomiarowych, nie przekraczają wartości granicznej 7 V/m;
- c) obliczone, na podstawie wyników pomiarów selektywnych, wartości średniokwadratowe natężenia pola elektrycznego we wszystkich 30 z 30 punktów pomiarowych, nie przekraczają wartości granicznej 7 V/m;
- d) obliczone, na podstawie wyników pomiarów selektywnych, wartości średniokwadratowe natężenia pola elektrycznego z uwzględnieniem oszacowanej rozszerzonej niepewności pomiaru (przedział ufności 95%), we wszystkich 30 z 30 punktów pomiarowych, nie przekraczają wartości granicznej 7 V/m.

Tabl. 87 Wyniki pomiarów szerokopasmowych  
– Kraków, Krzemionki

<b>1</b>	<b>2</b>	<b>3</b>	<b>4</b>
<b>Lok.</b>	<b><math>E_{zm}</math></b>	<b><math>E_{zm}-U\%</math></b>	<b><math>E_{zm}+U\%</math></b>
-	<b>V/m</b>	<b>V/m</b>	<b>V/m</b>
1.	1,7	1,2	2,3
2.	2,0	1,3	2,7
3.	0,9	0,7	1,3
4.	1,4	0,9	2,0
5.	1,8	1,1	2,4
6.	2,4	1,6	3,4
7.	2,3	1,5	3,3
8.	1,3	0,9	1,8
9.	0,7	0,5	0,9
10.	0,3	0,3	0,3
11.	0,5	0,4	0,5
12.	0,9	0,6	1,3
13.	0,8	0,6	1,1
14.	0,8	0,6	1,1
15.	0,8	0,6	1,0
16.	2,7	1,8	3,7
17.	2,2	1,4	3,1
18.	1,0	0,7	1,3
19.	0,5	0,4	0,7
20.	0,6	0,5	0,8
21.	1,3	0,9	1,7
22.	1,6	1,1	2,2
23.	1,5	1,0	2,0
24.	0,8	0,6	1,1
25.	1,0	0,7	1,3
26.	0,6	0,5	0,8
27.	0,7	0,5	0,9
28.	1,2	0,8	1,8
29.	0,8	0,6	1,0
30.	0,4	0,4	0,5



Tabl. 88 Wyniki pomiarów selektywnych  
– Kraków, Krzemionki

1	2	3	4	5	6	7
Lok.	E	E-U%	E+U%	E <sub>BS</sub>	E <sub>BS</sub> -U%	E <sub>BS</sub> +U%
-	V/m	V/m	V/m	V/m	V/m	V/m
1.	1,7	1,2	2,4	0,7	0,5	1,0
2.	1,9	1,2	2,6	1,3	0,8	1,8
3.	1,1	0,7	1,5	0,9	0,6	1,3
4.	1,4	1,0	2,0	1,0	0,7	1,5
5.	1,8	1,1	2,4	0,6	0,4	0,7
6.	2,5	1,6	3,4	0,7	0,5	1,0
7.	2,3	1,5	3,2	0,3	0,2	0,4
8.	1,3	0,9	1,8	0,4	0,2	0,5
9.	0,6	0,5	0,9	0,5	0,4	0,6
10.	0,3	0,3	0,3	0,3	0,3	0,3
11.	0,5	0,4	0,6	0,4	0,3	0,4
12.	1,1	0,7	1,5	1,0	0,7	1,5
13.	0,9	0,6	1,3	0,8	0,6	1,1
14.	1,3	0,8	1,8	1,2	0,7	1,7
15.	0,9	0,6	1,2	0,6	0,4	0,8
16.	2,7	1,8	3,7	0,6	0,4	0,7
17.	2,1	1,4	3,0	0,9	0,6	1,2
18.	1,0	0,7	1,3	0,3	0,3	0,3
19.	0,6	0,5	0,7	0,4	0,3	0,4
20.	0,6	0,4	0,8	0,5	0,4	0,6
21.	1,2	0,8	1,7	0,5	0,4	0,5
22.	1,6	1,1	2,2	0,5	0,4	0,7
23.	1,5	1,0	2,0	0,7	0,5	0,9
24.	0,9	0,6	1,2	0,5	0,4	0,7
25.	1,0	0,7	1,3	0,5	0,3	0,6
26.	0,5	0,4	0,7	0,4	0,3	0,5
27.	0,8	0,6	1,1	0,7	0,5	1,0
28.	1,3	0,8	1,8	0,5	0,4	0,7
29.	1,4	1,0	2,0	1,4	0,9	1,9
30.	0,5	0,4	0,7	0,4	0,4	0,5

Szczegóły odnośnie przeprowadzonych badań oraz wyniki pomiarów zawarte są w Sprawozdaniu z badań nr 0110101018/KRA03 – **Załącznik 1.**

### 5.34 Kraków, Dobrzycka

Stwierdza się, że w otoczeniu stacji:

- ID: KRA0163\_B,
- ID: 28370,

a) zmierzone, w trakcie pomiarów szerokopasmowych, wartości natężenia pola elektrycznego we wszystkich 30 z 30 punktów pomiarowych, nie przekraczają wartości granicznej 7 V/m;

- b) obliczone, na podstawie wyników pomiarów szerokopasmowych, wartości średniokwadratowe natężenia pola elektrycznego z uwzględnieniem oszacowanej rozszerzonej niepewności pomiaru (przedział ufności 95%), we wszystkich 30 z 30 punktów pomiarowych, nie przekraczają wartości granicznej 7 V/m;
- c) obliczone, na podstawie wyników pomiarów selektywnych, wartości średniokwadratowe natężenia pola elektrycznego we wszystkich 30 z 30 punktów pomiarowych, nie przekraczają wartości granicznej 7 V/m;
- d) obliczone, na podstawie wyników pomiarów selektywnych, wartości średniokwadratowe natężenia pola elektrycznego z uwzględnieniem oszacowanej rozszerzonej niepewności pomiaru (przedział ufności 95%), we wszystkich 30 z 30 punktów pomiarowych, nie przekraczają wartości granicznej 7 V/m.

Tabl. 89 Wyniki pomiarów szerokopasmowych  
– Kraków, Dobrzycka

<b>1</b>	<b>2</b>	<b>3</b>	<b>4</b>
<b>Lok.</b>	<b><math>E_{zm}</math></b>	<b><math>E_{zm}-U\%</math></b>	<b><math>E_{zm}+U\%</math></b>
-	<b>V/m</b>	<b>V/m</b>	<b>V/m</b>
1.	1,9	1,3	2,6
2.	2,3	1,6	3,3
3.	2,4	1,6	3,3
4.	2,2	1,4	3,1
5.	1,8	1,2	2,6
6.	2,9	1,9	4,1
7.	2,4	1,6	3,3
8.	1,7	1,1	2,4
9.	1,6	1,0	2,2
10.	1,5	1,0	2,0
11.	1,1	0,7	1,5
12.	1,2	0,8	1,7
13.	1,0	0,7	1,4
14.	1,6	1,1	2,3
15.	1,1	0,8	1,6
16.	1,8	1,2	2,4
17.	2,0	1,3	2,7
18.	1,1	0,7	1,5
19.	1,1	0,7	1,5
20.	1,1	0,8	1,6
21.	2,4	1,6	3,4
22.	1,7	1,2	2,4
23.	1,8	1,2	2,5
24.	1,1	0,7	1,6
25.	1,1	0,7	1,6
26.	2,4	1,6	3,3
27.	1,0	0,6	1,5
28.	2,3	1,5	3,2
29.	1,7	1,1	2,4
30.	0,9	0,6	1,2

Tabl. 90 Wyniki pomiarów selektywnych  
– Kraków, Dobrzycka

1	2	3	4	5	6	7
Lok.	E	E-U%	E+U%	E <sub>BS</sub>	E <sub>BS</sub> -U%	E <sub>BS</sub> +U%
-	V/m	V/m	V/m	V/m	V/m	V/m
1.	2,9	1,9	4,0	2,9	1,9	4,0
2.	4,0	2,6	5,6	4,0	2,6	5,6
3.	2,9	1,9	4,0	2,9	1,9	4,0
4.	3,2	2,2	4,5	3,2	2,2	4,5
5.	2,3	1,6	3,3	2,3	1,6	3,3
6.	3,2	2,1	4,5	3,2	2,1	4,5
7.	2,7	1,8	3,8	2,7	1,8	3,8
8.	2,2	1,4	3,0	2,2	1,4	3,0
9.	2,1	1,4	3,0	2,1	1,4	3,0
10.	1,7	1,1	2,3	1,7	1,1	2,3
11.	1,4	0,9	2,0	1,4	0,9	2,0
12.	1,5	1,0	2,2	1,5	1,0	2,2
13.	1,1	0,8	1,6	1,1	0,7	1,6
14.	1,8	1,2	2,5	1,8	1,2	2,5
15.	1,6	1,1	2,3	1,6	1,1	2,3
16.	2,1	1,5	3,0	2,1	1,5	3,0
17.	3,1	2,0	4,3	3,1	2,0	4,3
18.	1,4	0,9	1,9	1,4	0,9	1,9
19.	1,1	0,7	1,5	1,0	0,7	1,4
20.	1,9	1,3	2,7	1,9	1,3	2,7
21.	2,4	1,6	3,4	2,4	1,6	3,4
22.	1,7	1,1	2,4	1,7	1,1	2,4
23.	1,9	1,2	2,7	1,9	1,2	2,7
24.	1,7	1,1	2,5	1,7	1,1	2,5
25.	1,1	0,7	1,6	1,1	0,7	1,6
26.	2,4	1,6	3,3	2,4	1,6	3,3
27.	1,4	0,9	2,0	1,4	0,9	2,0
28.	2,8	1,8	4,0	2,8	1,8	4,0
29.	2,5	1,6	3,5	2,5	1,6	3,5
30.	1,3	0,9	1,9	1,3	0,9	1,9

Szczegóły odnośnie przeprowadzonych badań oraz wyniki pomiarów zawarte są w Sprawozdaniu z badań nr 0110101018/KRA04 – **Załącznik 1.**

### 5.35 Kraków, Waszyngtona

Stwierdza się, że w otoczeniu stacji:

- ID: 28354N!
- a) zmierzone, w trakcie pomiarów szerokopasmowych, wartości natężenia pola elektrycznego we wszystkich 30 z 30 punktów pomiarowych, nie przekraczają wartości granicznej 7 V/m;
- b) obliczone, na podstawie wyników pomiarów szerokopasmowych, wartości średniokwadratowe natężenia pola elektrycznego z uwzględnieniem oszacowanej

rozszerzonej niepewności pomiaru (przedział ufności 95%), we wszystkich 30 z 30 punktów pomiarowych, nie przekraczają wartości granicznej 7 V/m;

- c) obliczone, na podstawie wyników pomiarów selektywnych, wartości średniokwadratowe natężenia pola elektrycznego we wszystkich 30 z 30 punktów pomiarowych, nie przekraczają wartości granicznej 7 V/m;
- d) obliczone, na podstawie wyników pomiarów selektywnych, wartości średniokwadratowe natężenia pola elektrycznego z uwzględnieniem oszacowanej rozszerzonej niepewności pomiaru (przedział ufności 95%), we wszystkich 30 z 30 punktów pomiarowych, nie przekraczają wartości granicznej 7 V/m.

Tabl. 91 Wyniki pomiarów szerokopasmowych  
– Kraków, Waszyngtona

<b>1</b>	<b>2</b>	<b>3</b>	<b>4</b>
<b>Lok.</b>	<b><math>E_{zm}</math></b>	<b><math>E_{zm}-U\%</math></b>	<b><math>E_{zm}+U\%</math></b>
<b>-</b>	<b>V/m</b>	<b>V/m</b>	<b>V/m</b>
1.	2,5	1,6	3,5
2.	1,2	0,8	1,7
3.	0,7	0,5	1,0
4.	0,5	0,4	0,7
5.	1,5	1,0	2,0
6.	1,3	0,8	1,8
7.	0,9	0,5	1,2
8.	1,1	0,7	1,5
9.	0,3	0,2	0,4
10.	2,5	1,6	3,6
11.	3,8	2,4	5,3
12.	1,2	0,7	1,6
13.	2,3	1,5	3,2
14.	2,7	1,8	3,7
15.	1,1	0,7	1,5
16.	1,0	0,6	1,4
17.	1,3	0,8	1,8
18.	1,0	0,7	1,4
19.	1,4	0,9	1,9
20.	1,2	0,8	1,6
21.	1,8	1,2	2,5
22.	0,5	0,4	0,6
23.	0,6	0,4	0,9
24.	1,3	0,9	1,8
25.	0,7	0,5	1,0
26.	0,7	0,4	0,9
27.	1,3	0,8	1,8
28.	2,1	1,3	2,9
29.	1,2	0,8	1,7
30.	0,8	0,5	1,1

Tabl. 92 Wyniki pomiarów selektywnych  
– Kraków, Waszyngtona

1	2	3	4	5	6	7
Lok.	E	E-U%	E+U%	E <sub>BS</sub>	E <sub>BS</sub> -U%	E <sub>BS</sub> +U%
-	V/m	V/m	V/m	V/m	V/m	V/m
1.	2,5	1,6	3,5	0,5	0,4	0,7
2.	1,2	0,7	1,7	0,4	0,2	0,5
3.	0,7	0,5	1,1	0,6	0,4	0,9
4.	0,4	0,3	0,6	0,3	0,2	0,4
5.	1,3	0,9	1,8	0,5	0,3	0,6
6.	1,2	0,7	1,6	0,8	0,5	1,1
7.	0,9	0,5	1,2	0,0	0,0	0,0
8.	1,1	0,7	1,5	0,1	0,1	0,1
9.	0,1	0,1	0,1	0,0	0,0	0,0
10.	2,6	1,6	3,6	1,4	0,9	2,0
11.	3,5	2,3	5,0	3,5	2,3	4,9
12.	1,2	0,7	1,6	1,0	0,6	1,3
13.	2,4	1,6	3,3	1,7	1,2	2,4
14.	2,0	1,3	2,7	1,4	0,9	2,0
15.	1,0	0,6	1,4	0,6	0,4	0,8
16.	1,0	0,6	1,4	0,6	0,4	0,8
17.	1,3	0,8	1,8	0,5	0,3	0,7
18.	1,1	0,7	1,5	0,4	0,3	0,6
19.	1,4	0,9	1,9	0,2	0,2	0,2
20.	1,2	0,8	1,7	0,6	0,4	0,8
21.	1,8	1,1	2,5	0,3	0,2	0,3
22.	0,4	0,3	0,6	0,3	0,2	0,4
23.	0,6	0,4	0,8	0,6	0,4	0,8
24.	1,3	0,9	1,8	1,2	0,8	1,7
25.	0,6	0,4	0,9	0,4	0,3	0,6
26.	0,7	0,4	1,0	0,4	0,2	0,6
27.	1,3	0,8	1,8	0,1	0,1	0,1
28.	2,0	1,3	2,9	0,5	0,3	0,7
29.	1,2	0,8	1,7	0,1	0,1	0,1
30.	0,7	0,5	1,0	0,0	0,0	0,0

Szczegóły odnośnie przeprowadzonych badań oraz wyniki pomiarów zawarte są w Sprawozdaniu z badań nr 0110101018/KRA05 – **Załącznik 1.**

### 5.36 Kraków, Przy Rondzie

Stwierdza się, że w otoczeniu stacji:

- ID: 51167,
- ID: 28167

a) zmierzone, w trakcie pomiarów szerokopasmowych, wartości natężenia pola elektrycznego we wszystkich 30 z 30 punktów pomiarowych, nie przekraczają wartości granicznej 7 V/m;

- b) obliczone, na podstawie wyników pomiarów szerokopasmowych, wartości średniokwadratowe natężenia pola elektrycznego z uwzględnieniem oszacowanej rozszerzonej niepewności pomiaru (przedział ufności 95%), we wszystkich 30 z 30 punktów pomiarowych, nie przekraczają wartości granicznej 7 V/m;
- c) obliczone, na podstawie wyników pomiarów selektywnych, wartości średniokwadratowe natężenia pola elektrycznego we wszystkich 30 z 30 punktów pomiarowych, nie przekraczają wartości granicznej 7 V/m;
- d) obliczone, na podstawie wyników pomiarów selektywnych, wartości średniokwadratowe natężenia pola elektrycznego z uwzględnieniem oszacowanej rozszerzonej niepewności pomiaru (przedział ufności 95%), we wszystkich 30 z 30 punktów pomiarowych, nie przekraczają wartości granicznej 7 V/m.

Tabl. 93 Wyniki pomiarów szerokopasmowych  
– Kraków, Przy Rondzie

<b>1</b>	<b>2</b>	<b>3</b>	<b>4</b>
<b>Lok.</b>	<b><math>E_{zm}</math></b>	<b><math>E_{zm}-U\%</math></b>	<b><math>E_{zm}+U\%</math></b>
-	<b>V/m</b>	<b>V/m</b>	<b>V/m</b>
1.	0,2	0,2	0,2
2.	0,3	0,3	0,3
3.	1,7	1,1	2,3
4.	2,1	1,4	3,0
5.	1,9	1,2	2,6
6.	1,4	1,0	2,0
7.	1,8	1,2	2,6
8.	2,0	1,3	2,8
9.	1,5	1,0	2,1
10.	1,2	0,9	1,7
11.	3,2	2,1	4,4
12.	2,9	1,9	4,1
13.	3,7	2,5	5,2
14.	2,0	1,3	2,8
15.	2,2	1,5	3,1
16.	2,0	1,3	2,8
17.	2,7	1,8	3,7
18.	1,9	1,2	2,7
19.	2,6	1,7	3,6
20.	2,4	1,5	3,3
21.	2,0	1,4	2,8
22.	1,6	1,1	2,2
23.	1,1	0,8	1,6
24.	1,6	1,1	2,2
25.	0,9	0,6	1,2
26.	1,9	1,3	2,6
27.	2,8	1,8	3,9
28.	2,4	1,6	3,4
29.	2,0	1,3	2,8
30.	1,0	0,7	1,3

Tabl. 94 Wyniki pomiarów selektywnych  
– Kraków, Przy Rondzie

1	2	3	4	5	6	7
Lok.	E	E-U%	E+U%	E <sub>BS</sub>	E <sub>BS</sub> -U%	E <sub>BS</sub> +U%
-	V/m	V/m	V/m	V/m	V/m	V/m
1.	0,3	0,3	0,3	0,3	0,3	0,3
2.	0,3	0,3	0,3	0,3	0,3	0,3
3.	1,5	1,0	2,1	1,5	1,0	2,1
4.	1,9	1,3	2,6	1,9	1,3	2,6
5.	1,9	1,3	2,7	1,9	1,3	2,7
6.	1,1	0,8	1,6	1,1	0,8	1,6
7.	1,8	1,2	2,6	1,8	1,2	2,6
8.	2,1	1,4	2,9	2,1	1,4	2,9
9.	1,4	0,9	1,9	1,4	0,9	1,9
10.	1,3	0,9	1,8	1,3	0,9	1,8
11.	3,7	2,4	5,2	3,7	2,4	5,2
12.	3,6	2,4	5,0	3,6	2,4	5,0
13.	4,0	2,6	5,6	4,0	2,6	5,6
14.	2,9	1,8	4,0	2,9	1,8	4,0
15.	2,7	1,7	3,8	2,7	1,7	3,8
16.	2,4	1,6	3,3	2,4	1,6	3,3
17.	3,0	2,0	4,1	3,0	2,0	4,1
18.	2,1	1,4	2,9	2,1	1,4	2,9
19.	2,8	1,8	3,9	2,8	1,8	3,9
20.	2,8	1,8	3,9	2,7	1,8	3,8
21.	2,6	1,7	3,7	2,6	1,7	3,7
22.	1,5	1,0	2,0	1,5	1,0	2,0
23.	1,2	0,8	1,7	1,2	0,8	1,7
24.	1,6	1,1	2,3	1,6	1,1	2,3
25.	1,1	0,7	1,5	1,1	0,7	1,5
26.	2,0	1,3	2,7	1,9	1,3	2,7
27.	2,7	1,8	3,8	2,7	1,8	3,8
28.	2,9	1,9	4,1	2,9	1,9	4,1
29.	2,0	1,3	2,8	2,0	1,3	2,8
30.	1,0	0,7	1,4	1,0	0,7	1,4

Szczegóły odnośnie przeprowadzonych badań oraz wyniki pomiarów zawarte są w Sprawozdaniu z badań nr 0110101018/KRA06 – **Załącznik 1.**

### 5.37 Lublin, Koncertowa

Stwierdza się, że w otoczeniu stacji:

- ID: LUB1039C,
- ID: 27028 (86022N!)

a) zmierzone, w trakcie pomiarów szerokopasmowych, wartości natężenia pola elektrycznego we wszystkich 30 z 30 punktów pomiarowych, nie przekraczają wartości granicznej 7 V/m;

- b) obliczone, na podstawie wyników pomiarów szerokopasmowych, wartości średniokwadratowe natężenia pola elektrycznego z uwzględnieniem oszacowanej rozszerzonej niepewności pomiaru (przedział ufności 95%), we wszystkich 30 z 30 punktów pomiarowych, nie przekraczają wartości granicznej 7 V/m;
- c) obliczone, na podstawie wyników pomiarów selektywnych, wartości średniokwadratowe natężenia pola elektrycznego we wszystkich 30 z 30 punktów pomiarowych, nie przekraczają wartości granicznej 7 V/m;
- d) obliczone, na podstawie wyników pomiarów selektywnych, wartości średniokwadratowe natężenia pola elektrycznego z uwzględnieniem oszacowanej rozszerzonej niepewności pomiaru (przedział ufności 95%), we wszystkich 30 z 30 punktów pomiarowych, nie przekraczają wartości granicznej 7 V/m.

Tabl. 95 Wyniki pomiarów szerokopasmowych  
– Lublin, Koncertowa

<b>1</b>	<b>2</b>	<b>3</b>	<b>4</b>
<b>Lok.</b>	<b><math>E_{zm}</math></b>	<b><math>E_{zm}-U\%</math></b>	<b><math>E_{zm}+U\%</math></b>
-	<b>V/m</b>	<b>V/m</b>	<b>V/m</b>
1.	1,7	1,1	2,5
2.	2,2	1,5	3,0
3.	2,0	1,3	2,7
4.	3,1	2,0	4,3
5.	3,2	2,2	4,5
6.	2,1	1,4	2,9
7.	2,5	1,6	3,5
8.	1,3	0,9	1,8
9.	2,1	1,4	3,0
10.	2,0	1,3	2,8
11.	2,6	1,7	3,7
12.	2,4	1,6	3,4
13.	1,6	1,1	2,3
14.	2,5	1,7	3,6
15.	3,0	2,0	4,2
16.	2,6	1,7	3,6
17.	1,5	1,0	2,2
18.	2,0	1,3	2,8
19.	0,7	0,5	1,0
20.	1,0	0,6	1,4
21.	1,1	0,8	1,5
22.	0,7	0,5	1,0
23.	1,3	0,9	1,8
24.	1,7	1,2	2,4
25.	2,5	1,6	3,4
26.	1,8	1,2	2,5
27.	2,5	1,7	3,5
28.	2,9	1,9	4,0
29.	2,0	1,3	2,8
30.	1,4	0,9	1,9



Tabl. 96 Wyniki pomiarów selektywnych  
– Lublin, Koncertowa

1	2	3	4	5	6	7
Lok.	E	E-U%	E+U%	E <sub>BS</sub>	E <sub>BS</sub> -U%	E <sub>BS</sub> +U%
-	V/m	V/m	V/m	V/m	V/m	V/m
1.	2,1	1,4	3,0	2,0	1,3	2,9
2.	2,4	1,6	3,4	2,4	1,6	3,4
3.	2,9	1,9	4,0	2,9	1,9	4,0
4.	4,2	2,8	5,9	4,2	2,8	5,9
5.	3,4	2,3	4,8	3,4	2,3	4,8
6.	2,7	1,8	3,7	2,7	1,8	3,7
7.	3,0	1,9	4,2	3,0	1,9	4,2
8.	1,5	1,0	2,1	1,5	1,0	2,1
9.	2,9	1,9	4,0	2,9	1,9	4,0
10.	2,7	1,8	3,8	2,7	1,8	3,8
11.	3,5	2,3	5,0	3,5	2,3	5,0
12.	3,6	2,4	5,0	3,6	2,4	5,0
13.	2,1	1,4	2,9	2,1	1,4	2,9
14.	3,6	2,3	5,1	3,6	2,3	5,1
15.	4,0	2,6	5,6	4,0	2,6	5,6
16.	3,2	2,1	4,5	3,2	2,1	4,5
17.	2,1	1,4	3,0	2,1	1,4	3,0
18.	2,8	1,8	3,9	2,8	1,8	3,9
19.	1,0	0,7	1,4	1,0	0,7	1,4
20.	1,2	0,8	1,6	1,0	0,8	1,5
21.	1,2	0,8	1,7	1,2	0,8	1,7
22.	1,1	0,8	1,5	1,1	0,8	1,5
23.	1,7	1,1	2,3	1,7	1,1	2,3
24.	2,2	1,5	3,1	2,2	1,5	3,1
25.	3,4	2,2	4,7	3,3	2,2	4,7
26.	1,8	1,2	2,6	1,8	1,2	2,6
27.	2,6	1,7	3,6	2,6	1,7	3,6
28.	3,3	2,1	4,5	3,3	2,1	4,5
29.	2,6	1,7	3,6	2,6	1,7	3,6
30.	1,9	1,3	2,7	1,9	1,2	2,7

Szczegóły odnośnie przeprowadzonych badań oraz wyniki pomiarów zawarte są w Sprawozdaniu z badań nr 0110101018/LUB01 – **Załącznik 1.**

### 5.38 Lublin, Dragonów

Stwierdza się, że w otoczeniu stacji:

- ID: LUB1031A,
- ID: 884 (86925N!)

a) zmierzone, w trakcie pomiarów szerokopasmowych, wartości natężenia pola elektrycznego we wszystkich 30 z 30 punktów pomiarowych, nie przekraczają wartości granicznej 7 V/m;

- b) obliczone, na podstawie wyników pomiarów szerokopasmowych, wartości średniokwadratowe natężenia pola elektrycznego z uwzględnieniem oszacowanej rozszerzonej niepewności pomiaru (przedział ufności 95%), we wszystkich 30 z 30 punktów pomiarowych, nie przekraczają wartości granicznej 7 V/m;
- c) obliczone, na podstawie wyników pomiarów selektywnych, wartości średniokwadratowe natężenia pola elektrycznego we wszystkich 30 z 30 punktów pomiarowych, nie przekraczają wartości granicznej 7 V/m;
- d) obliczone, na podstawie wyników pomiarów selektywnych, wartości średniokwadratowe natężenia pola elektrycznego z uwzględnieniem oszacowanej rozszerzonej niepewności pomiaru (przedział ufności 95%), we wszystkich 30 z 30 punktów pomiarowych, nie przekraczają wartości granicznej 7 V/m.

Tabl. 97 Wyniki pomiarów szerokopasmowych  
– Lublin, Dragonów

<b>1</b>	<b>2</b>	<b>3</b>	<b>4</b>
<b>Lok.</b>	<b><math>E_{zm}</math></b>	<b><math>E_{zm}-U\%</math></b>	<b><math>E_{zm}+U\%</math></b>
-	<b>V/m</b>	<b>V/m</b>	<b>V/m</b>
1.	0,9	0,6	1,2
2.	1,0	0,7	1,4
3.	0,8	0,5	1,1
4.	1,6	1,1	2,2
5.	1,7	1,2	2,3
6.	1,7	1,1	2,4
7.	1,0	0,7	1,4
8.	1,3	0,9	1,7
9.	2,0	1,3	2,7
10.	1,1	0,7	1,6
11.	2,1	1,4	2,9
12.	1,6	1,1	2,3
13.	2,1	1,4	3,0
14.	3,2	2,2	4,5
15.	1,1	0,7	1,5
16.	1,5	1,0	2,1
17.	1,6	1,1	2,2
18.	0,7	0,5	0,9
19.	0,9	0,6	1,2
20.	1,2	0,8	1,6
21.	1,1	0,8	1,6
22.	1,0	0,7	1,4
23.	1,1	0,8	1,6
24.	1,4	1,0	2,0
25.	1,4	0,9	2,0
26.	1,6	1,1	2,2
27.	0,5	0,5	0,5
28.	0,6	0,4	0,8
29.	0,5	0,5	0,6
30.	0,6	0,5	0,8

Tabl. 98 Wyniki pomiarów selektywnych  
– Lublin, Dragonów

1	2	3	4	5	6	7
Lok.	E	E-U%	E+U%	E <sub>BS</sub>	E <sub>BS</sub> -U%	E <sub>BS</sub> +U%
-	V/m	V/m	V/m	V/m	V/m	V/m
1.	1,1	0,7	1,5	1,1	0,7	1,5
2.	1,6	1,1	2,2	1,6	1,1	2,2
3.	1,3	0,9	1,9	1,3	0,9	1,9
4.	2,3	1,5	3,2	2,3	1,5	3,2
5.	3,0	2,0	4,2	3,0	2,0	4,2
6.	2,2	1,5	3,0	2,1	1,5	3,0
7.	1,6	1,1	2,3	1,6	1,1	2,3
8.	1,9	1,3	2,7	1,9	1,3	2,7
9.	3,1	2,0	4,3	3,1	2,0	4,3
10.	1,5	1,0	2,1	1,5	1,0	2,1
11.	3,1	2,1	4,4	3,1	2,1	4,4
12.	2,0	1,4	2,8	2,0	1,4	2,8
13.	2,8	1,9	4,0	2,8	1,9	4,0
14.	4,1	2,7	5,7	4,1	2,7	5,7
15.	1,2	0,8	1,7	1,2	0,8	1,7
16.	2,4	1,6	3,4	2,4	1,6	3,4
17.	2,1	1,4	2,9	2,1	1,4	2,9
18.	0,8	0,6	1,0	0,7	0,6	1,0
19.	1,2	0,8	1,7	1,2	0,8	1,7
20.	1,2	0,8	1,7	1,2	0,7	1,7
21.	1,5	1,0	2,1	1,5	1,0	2,1
22.	1,2	0,8	1,7	1,2	0,8	1,7
23.	1,8	1,1	2,5	1,8	1,1	2,5
24.	1,9	1,3	2,7	1,9	1,2	2,7
25.	2,0	1,3	2,8	2,0	1,3	2,8
26.	1,9	1,2	2,7	1,9	1,2	2,7
27.	0,4	0,4	0,4	0,4	0,4	0,4
28.	0,8	0,5	1,1	0,8	0,5	1,1
29.	0,8	0,5	1,1	0,8	0,5	1,1
30.	0,9	0,6	1,2	0,9	0,6	1,2

Szczegóły odnośnie przeprowadzonych badań oraz wyniki pomiarów zawarte są w Sprawozdaniu z badań nr 0110101018/LUB02 – **Załącznik 1.**

### 5.39 Lublin, Jaczewskiego

Stwierdza się, że w otoczeniu stacji:

- ID: LUB1011D,
- ID: BT12085,
- ID: 27043 (86030N!)

a) zmierzone, w trakcie pomiarów szerokopasmowych, wartości natężenia pola elektrycznego we wszystkich 30 z 30 punktów pomiarowych, nie przekraczają wartości granicznej 7 V/m;

- b) obliczone, na podstawie wyników pomiarów szerokopasmowych, wartości średniokwadratowe natężenia pola elektrycznego z uwzględnieniem oszacowanej rozszerzonej niepewności pomiaru (przedział ufności 95%), we wszystkich 30 z 30 punktów pomiarowych, nie przekraczają wartości granicznej 7 V/m;
- c) obliczone, na podstawie wyników pomiarów selektywnych, wartości średniokwadratowe natężenia pola elektrycznego we wszystkich 30 z 30 punktów pomiarowych, nie przekraczają wartości granicznej 7 V/m;
- d) obliczona, na podstawie wyników pomiarów selektywnych, wartość średniokwadratowa natężenia pola elektrycznego z uwzględnieniem oszacowanej rozszerzonej niepewności pomiaru (przedział ufności 95%), w 1 z 30 punktów pomiarowych, przekracza wartość graniczną 7 V/m.

Tabl. 99 Wyniki pomiarów szerokopasmowych  
– Lublin, Jaczewskiego

<b>1</b>	<b>2</b>	<b>3</b>	<b>4</b>
<b>Lok.</b>	<b><math>E_{zm}</math></b>	<b><math>E_{zm}-U\%</math></b>	<b><math>E_{zm}+U\%</math></b>
-	<b>V/m</b>	<b>V/m</b>	<b>V/m</b>
1.	1,7	1,2	2,4
2.	2,1	1,4	3,0
3.	1,8	1,2	2,5
4.	1,3	0,9	1,8
5.	1,0	0,7	1,3
6.	1,1	0,8	1,5
7.	0,9	0,7	1,2
8.	0,9	0,7	1,1
9.	3,5	2,3	4,9
10.	2,5	1,6	3,5
11.	3,6	2,4	5,1
12.	2,9	1,9	4,1
13.	3,3	2,2	4,6
14.	2,1	1,4	2,9
15.	1,9	1,3	2,7
16.	1,5	1,0	2,1
17.	1,5	1,0	2,1
18.	2,2	1,3	3,0
19.	0,8	0,6	1,0
20.	2,0	1,3	2,8
21.	1,3	0,9	1,8
22.	0,8	0,6	1,1
23.	2,4	1,5	3,4
24.	1,3	0,9	1,8
25.	1,2	0,8	1,7
26.	1,8	1,2	2,5
27.	0,8	0,6	1,0
28.	0,5	0,5	0,5
29.	1,2	0,8	1,7
30.	1,9	1,3	2,7

Tabl. 100 Wyniki pomiarów selektywnych  
– Lublin, Jaczewskiego

1	2	3	4	5	6	7
Lok.	E	E-U%	E+U%	E <sub>BS</sub>	E <sub>BS</sub> -U%	E <sub>BS</sub> +U%
-	V/m	V/m	V/m	V/m	V/m	V/m
1.	2,1	1,4	3,0	2,1	1,4	3,0
2.	2,6	1,7	3,6	2,6	1,7	3,5
3.	2,4	1,6	3,4	2,4	1,6	3,4
4.	1,5	1,0	2,1	1,4	1,0	2,0
5.	1,1	0,8	1,5	1,1	0,8	1,5
6.	1,2	0,8	1,7	1,2	0,8	1,7
7.	0,9	0,6	1,2	0,9	0,6	1,2
8.	1,0	0,7	1,3	1,0	0,7	1,3
9.	4,1	2,6	5,7	4,1	2,6	5,7
10.	4,1	2,6	5,9	4,1	2,6	5,9
11.	4,1	2,6	5,8	4,1	2,6	5,8
12.	3,9	2,5	5,5	3,9	2,5	5,4
13.	5,7	3,6	8,1	5,7	3,6	8,1
14.	2,6	1,7	3,7	2,6	1,7	3,7
15.	2,7	1,8	3,8	2,7	1,8	3,8
16.	1,7	1,1	2,4	1,7	1,1	2,4
17.	1,7	1,2	2,5	1,7	1,1	2,5
18.	2,4	1,5	3,4	2,4	1,5	3,4
19.	1,4	0,9	2,0	1,4	0,9	1,9
20.	2,1	1,4	3,0	2,1	1,4	2,9
21.	1,4	0,9	1,9	1,4	0,9	1,9
22.	0,8	0,6	1,0	0,7	0,5	1,0
23.	3,1	2,0	4,4	3,1	2,0	4,4
24.	1,7	1,1	2,5	1,7	1,1	2,5
25.	1,4	0,9	2,0	1,4	0,9	2,0
26.	1,9	1,2	2,6	1,9	1,2	2,6
27.	1,0	0,7	1,3	0,9	0,7	1,3
28.	0,5	0,5	0,6	0,5	0,4	0,5
29.	1,3	0,9	1,8	1,3	0,8	1,8
30.	2,6	1,6	3,6	2,6	1,6	3,6

Szczegóły odnośnie przeprowadzonych badań oraz wyniki pomiarów zawarte są w Sprawozdaniu z badań nr 0110101018/LUB03 – **Załącznik 1.**

#### 5.40 Lublin, Nałęczowska

Stwierdza się, że w otoczeniu stacji:

- ID: LUB1091A,
- ID: 23560 (86229N!),
- ID: BT14573

a) zmierzone, w trakcie pomiarów szerokopasmowych, wartości natężenia pola elektrycznego we wszystkich 30 z 30 punktów pomiarowych, nie przekraczają wartości granicznej 7 V/m;

- b) obliczone, na podstawie wyników pomiarów szerokopasmowych, wartości średniokwadratowe natężenia pola elektrycznego z uwzględnieniem oszacowanej rozszerzonej niepewności pomiaru (przedział ufności 95%), we wszystkich 30 z 30 punktów pomiarowych, nie przekraczają wartości granicznej 7 V/m;
- c) obliczone, na podstawie wyników pomiarów selektywnych, wartości średniokwadratowe natężenia pola elektrycznego we wszystkich 30 z 30 punktów pomiarowych, nie przekraczają wartości granicznej 7 V/m;
- d) obliczone, na podstawie wyników pomiarów selektywnych, wartości średniokwadratowe natężenia pola elektrycznego z uwzględnieniem oszacowanej rozszerzonej niepewności pomiaru (przedział ufności 95%), we wszystkich 30 z 30 punktów pomiarowych, nie przekraczają wartości granicznej 7 V/m.

Tabl. 101 Wyniki pomiarów szerokopasmowych  
– Lublin, Nałęczowska

<b>1</b>	<b>2</b>	<b>3</b>	<b>4</b>
<b>Lok.</b>	<b><math>E_{zm}</math></b>	<b><math>E_{zm}-U\%</math></b>	<b><math>E_{zm}+U\%</math></b>
-	<b>V/m</b>	<b>V/m</b>	<b>V/m</b>
1.	1,4	1,0	2,0
2.	1,7	1,2	2,4
3.	1,6	1,0	2,2
4.	1,5	1,0	2,0
5.	2,2	1,4	3,0
6.	1,3	0,8	1,8
7.	1,3	0,9	1,8
8.	0,9	0,7	1,2
9.	1,8	1,2	2,5
10.	1,7	1,1	2,3
11.	1,3	0,9	1,8
12.	2,3	1,5	3,2
13.	1,8	1,2	2,6
14.	1,9	1,2	2,6
15.	0,7	0,5	0,9
16.	2,3	1,5	3,3
17.	1,5	1,0	2,0
18.	1,0	0,7	1,4
19.	1,6	1,0	2,2
20.	2,4	1,6	3,4
21.	2,9	1,9	4,1
22.	2,5	1,6	3,5
23.	2,5	1,6	3,5
24.	1,5	1,0	2,1
25.	1,0	0,7	1,5
26.	0,5	0,4	0,7
27.	0,2	0,2	0,2
28.	1,8	1,2	2,6
29.	1,4	0,9	1,9
30.	1,4	0,9	1,9

Tabl. 102 Wyniki pomiarów selektywnych  
– Lublin, Nałęczowska

1	2	3	4	5	6	7
Lok.	E	E-U%	E+U%	E <sub>BS</sub>	E <sub>BS</sub> -U%	E <sub>BS</sub> +U%
-	V/m	V/m	V/m	V/m	V/m	V/m
1.	2,1	1,4	3,0	2,1	1,4	3,0
2.	2,0	1,3	2,8	2,0	1,3	2,8
3.	2,2	1,5	3,1	2,2	1,5	3,1
4.	2,1	1,4	3,0	2,1	1,4	3,0
5.	4,0	2,6	5,6	4,0	2,6	5,6
6.	2,1	1,4	3,0	2,1	1,4	3,0
7.	1,6	1,0	2,2	1,6	1,0	2,2
8.	1,3	0,8	1,8	1,3	0,8	1,8
9.	2,9	1,9	4,0	2,9	1,9	4,0
10.	3,2	2,1	4,4	3,1	2,1	4,4
11.	2,0	1,3	2,7	2,0	1,3	2,7
12.	3,2	2,1	4,5	3,2	2,1	4,5
13.	3,4	2,2	4,8	3,4	2,2	4,8
14.	2,8	1,9	4,0	2,8	1,9	4,0
15.	1,2	0,8	1,7	1,2	0,8	1,7
16.	3,4	2,2	4,8	3,4	2,2	4,8
17.	2,1	1,4	2,9	2,1	1,4	2,9
18.	1,4	1,0	2,0	1,4	0,9	2,0
19.	2,6	1,7	3,7	2,6	1,7	3,7
20.	4,3	2,8	6,1	4,3	2,8	6,1
21.	4,8	3,1	6,8	4,8	3,1	6,8
22.	2,7	1,8	3,8	2,7	1,8	3,8
23.	2,1	1,4	2,9	2,1	1,4	2,9
24.	1,5	1,0	2,1	1,5	1,0	2,1
25.	0,9	0,6	1,3	0,9	0,6	1,3
26.	0,6	0,4	0,8	0,6	0,4	0,8
27.	0,3	0,2	0,4	0,3	0,2	0,3
28.	2,6	1,7	3,6	2,6	1,7	3,6
29.	2,1	1,4	3,0	2,1	1,4	3,0
30.	1,6	1,1	2,3	1,6	1,1	2,3

Szczegóły odnośnie przeprowadzonych badań oraz wyniki pomiarów zawarte są w Sprawozdaniu z badań nr 0110101018/LUB04 – **Załącznik 1.**

#### 5.41 Lublin, Pogodna

Stwierdza się, że w otoczeniu stacji:

- ID: LUB1093A,
- ID: BT11122,
- ID: 710 (86977N!)

a) zmierzone, w trakcie pomiarów szerokopasmowych, wartości natężenia pola elektrycznego we wszystkich 30 z 30 punktów pomiarowych, nie przekraczają wartości granicznej 7 V/m;

- b) obliczone, na podstawie wyników pomiarów szerokopasmowych, wartości średniokwadratowe natężenia pola elektrycznego z uwzględnieniem oszacowanej rozszerzonej niepewności pomiaru (przedział ufności 95%), we wszystkich 30 z 30 punktów pomiarowych, nie przekraczają wartości granicznej 7 V/m;
- c) obliczone, na podstawie wyników pomiarów selektywnych, wartości średniokwadratowe natężenia pola elektrycznego we wszystkich 30 z 30 punktów pomiarowych, nie przekraczają wartości granicznej 7 V/m;
- d) obliczone, na podstawie wyników pomiarów selektywnych, wartości średniokwadratowe natężenia pola elektrycznego z uwzględnieniem oszacowanej rozszerzonej niepewności pomiaru (przedział ufności 95%), we wszystkich 30 z 30 punktów pomiarowych, nie przekraczają wartości granicznej 7 V/m.

Tabl. 103 Wyniki pomiarów szerokopasmowych  
– Lublin, Pogodna

1	2	3	4
Lok.	$E_{zm}$	$E_{zm}-U\%$	$E_{zm}+U\%$
-	V/m	V/m	V/m
1.	1,0	0,7	1,4
2.	2,2	1,4	3,1
3.	1,6	1,0	2,2
4.	1,1	0,8	1,6
5.	1,8	1,2	2,5
6.	1,5	1,0	2,1
7.	1,2	0,8	1,7
8.	0,8	0,5	1,1
9.	0,7	0,6	0,8
10.	1,4	0,9	1,9
11.	2,2	1,5	3,1
12.	1,7	1,1	2,4
13.	0,9	0,6	1,2
14.	1,3	0,9	1,9
15.	1,0	0,7	1,4
16.	1,2	0,8	1,7
17.	1,3	0,8	1,8
18.	1,4	0,9	1,9
19.	0,9	0,6	1,2
20.	1,0	0,6	1,4
21.	0,8	0,6	1,1
22.	0,7	0,5	0,9
23.	0,9	0,6	1,3
24.	1,6	1,0	2,2
25.	1,1	0,8	1,6
26.	1,1	0,7	1,6
27.	1,7	1,1	2,3
28.	0,7	0,5	1,0
29.	1,0	0,7	1,4
30.	0,5	0,4	0,7



Tabl. 104 Wyniki pomiarów selektywnych  
– Lublin, Pogodna

1	2	3	4	5	6	7
Lok.	E	E-U%	E+U%	E <sub>BS</sub>	E <sub>BS</sub> -U%	E <sub>BS</sub> +U%
-	V/m	V/m	V/m	V/m	V/m	V/m
1.	1,2	0,8	1,7	1,2	0,8	1,7
2.	2,8	1,8	4,0	2,8	1,8	4,0
3.	2,4	1,6	3,4	2,4	1,6	3,4
4.	1,5	1,0	2,1	1,5	1,0	2,1
5.	2,3	1,5	3,3	2,3	1,5	3,3
6.	2,4	1,6	3,3	2,3	1,6	3,3
7.	2,0	1,3	2,8	2,0	1,3	2,8
8.	1,1	0,7	1,6	1,1	0,7	1,6
9.	0,8	0,5	1,0	0,7	0,5	1,0
10.	1,4	0,9	2,0	1,4	0,9	2,0
11.	2,3	1,5	3,2	2,2	1,5	3,2
12.	2,1	1,3	2,9	2,0	1,3	2,9
13.	0,9	0,7	1,3	0,9	0,7	1,2
14.	1,6	1,1	2,3	1,6	1,1	2,3
15.	1,2	0,8	1,7	1,2	0,8	1,7
16.	1,7	1,1	2,4	1,7	1,1	2,4
17.	1,9	1,2	2,6	1,9	1,2	2,6
18.	1,9	1,2	2,6	1,9	1,2	2,6
19.	1,1	0,8	1,6	1,1	0,8	1,6
20.	1,3	0,9	1,8	1,3	0,8	1,8
21.	0,9	0,7	1,3	0,9	0,6	1,3
22.	0,7	0,5	0,9	0,7	0,5	0,9
23.	1,2	0,8	1,6	1,2	0,8	1,6
24.	1,8	1,2	2,6	1,8	1,2	2,6
25.	1,3	0,9	1,9	1,3	0,9	1,8
26.	1,4	1,0	2,0	1,4	1,0	2,0
27.	1,8	1,3	2,6	1,8	1,2	2,6
28.	1,0	0,6	1,4	1,0	0,6	1,4
29.	1,3	0,9	1,9	1,3	0,9	1,9
30.	0,7	0,6	1,0	0,7	0,6	1,0

Szczegóły odnośnie przeprowadzonych badań oraz wyniki pomiarów zawarte są w Sprawozdaniu z badań nr 0110101018/LUB05 – **Załącznik 1.**

#### 5.42 Lublin, Działkowa

Stwierdza się, że w otoczeniu stacji:

- ID: BT12754,
- ID: LUB1050A

a) zmierzone, w trakcie pomiarów szerokopasmowych, wartości natężenia pola elektrycznego we wszystkich 30 z 30 punktów pomiarowych, nie przekraczają wartości granicznej 7 V/m;

- b) obliczone, na podstawie wyników pomiarów szerokopasmowych, wartości średniokwadratowe natężenia pola elektrycznego z uwzględnieniem oszacowanej rozszerzonej niepewności pomiaru (przedział ufności 95%), we wszystkich 30 z 30 punktów pomiarowych, nie przekraczają wartości granicznej 7 V/m;
- c) obliczone, na podstawie wyników pomiarów selektywnych, wartości średniokwadratowe natężenia pola elektrycznego we wszystkich 30 z 30 punktów pomiarowych, nie przekraczają wartości granicznej 7 V/m;
- d) obliczone, na podstawie wyników pomiarów selektywnych, wartości średniokwadratowe natężenia pola elektrycznego z uwzględnieniem oszacowanej rozszerzonej niepewności pomiaru (przedział ufności 95%), w 2 z 30 punktów pomiarowych, przekraczają wartość graniczną 7 V/m.

Tabl. 105 Wyniki pomiarów szerokopasmowych  
– Lublin, Działkowa

<b>1</b>	<b>2</b>	<b>3</b>	<b>4</b>
<b>Lok.</b>	<b><math>E_{zm}</math></b>	<b><math>E_{zm}-U\%</math></b>	<b><math>E_{zm}+U\%</math></b>
-	<b>V/m</b>	<b>V/m</b>	<b>V/m</b>
1.	1,5	1,0	2,2
2.	1,6	1,0	2,2
3.	1,8	1,2	2,5
4.	2,5	1,7	3,5
5.	2,0	1,3	2,8
6.	2,2	1,5	3,1
7.	2,1	1,4	3,0
8.	1,4	0,9	2,0
9.	0,8	0,6	1,2
10.	1,9	1,2	2,7
11.	1,3	0,9	1,9
12.	1,3	0,9	1,8
13.	1,2	0,8	1,6
14.	0,5	0,4	0,7
15.	1,1	0,7	1,5
16.	1,3	0,8	1,8
17.	1,1	0,7	1,5
18.	1,2	0,9	1,7
19.	1,6	1,1	2,2
20.	2,4	1,6	3,4
21.	1,9	1,3	2,7
22.	2,3	1,5	3,2
23.	3,4	2,2	4,7
24.	3,8	2,5	5,2
25.	4,1	2,7	5,8
26.	1,9	1,3	2,6
27.	3,0	2,0	4,2
28.	2,9	2,0	4,1
29.	2,6	1,7	3,7
30.	2,9	2,0	4,1

Tabl. 106 Wyniki pomiarów selektywnych  
– Lublin, Działkowa

1	2	3	4	5	6	7
Lok.	E	E-U%	E+U%	E <sub>BS</sub>	E <sub>BS</sub> -U%	E <sub>BS</sub> +U%
-	V/m	V/m	V/m	V/m	V/m	V/m
1.	2,1	1,4	3,0	2,1	1,4	3,0
2.	2,2	1,4	3,1	2,2	1,4	3,1
3.	3,6	2,4	5,1	3,6	2,4	5,0
4.	2,9	1,9	4,0	2,9	1,9	4,0
5.	3,3	2,2	4,6	3,3	2,1	4,6
6.	3,1	2,0	4,3	3,1	2,0	4,3
7.	3,0	2,0	4,2	3,0	1,9	4,2
8.	2,2	1,4	3,1	2,2	1,4	3,1
9.	1,2	0,8	1,6	1,2	0,8	1,6
10.	3,0	1,9	4,2	3,0	1,9	4,2
11.	2,4	1,6	3,4	2,4	1,6	3,4
12.	1,3	0,8	1,8	1,3	0,8	1,8
13.	1,3	0,9	1,8	1,3	0,9	1,8
14.	0,9	0,6	1,2	0,9	0,6	1,2
15.	1,7	1,2	2,4	1,7	1,2	2,4
16.	2,1	1,4	3,0	2,1	1,4	3,0
17.	1,5	1,0	2,0	1,5	1,0	2,0
18.	2,2	1,4	3,1	2,1	1,4	3,1
19.	2,2	1,5	3,1	2,2	1,5	3,1
20.	3,4	2,2	4,7	3,4	2,2	4,7
21.	2,8	1,8	3,9	2,8	1,8	3,9
22.	3,5	2,3	5,0	3,5	2,3	5,0
23.	4,9	3,2	6,9	4,9	3,2	6,9
24.	6,9	4,5	9,7	6,9	4,5	9,7
25.	7,0	4,5	9,9	7,0	4,5	9,9
26.	3,8	2,5	5,4	3,8	2,5	5,4
27.	3,0	2,0	4,2	3,0	1,9	4,1
28.	4,0	2,7	5,7	4,0	2,7	5,7
29.	4,1	2,6	5,7	4,0	2,6	5,7
30.	4,2	2,7	5,9	4,2	2,7	5,9

Szczegóły odnośnie przeprowadzonych badań oraz wyniki pomiarów zawarte są w Sprawozdaniu z badań nr 0110101018/LUB06 – **Załącznik 1.**

#### 5.43 Łódź, Wólczańska

Stwierdza się, że w otoczeniu stacji:

– ID: LOD1086A

- zmierzone, w trakcie pomiarów szerokopasmowych, wartości natężenia pola elektrycznego we wszystkich 30 z 30 punktów pomiarowych, nie przekraczają wartości granicznej 7 V/m;
- obliczone, na podstawie wyników pomiarów szerokopasmowych, wartości średniokwadratowe natężenia pola elektrycznego z uwzględnieniem oszacowanej

rozszerzonej niepewności pomiaru (przedział ufności 95%), we wszystkich 30 z 30 punktów pomiarowych, nie przekraczają wartości granicznej 7 V/m;

- c) obliczone, na podstawie wyników pomiarów selektywnych, wartości średniokwadratowe natężenia pola elektrycznego we wszystkich 30 z 30 punktów pomiarowych, nie przekraczają wartości granicznej 7 V/m;
- d) obliczone, na podstawie wyników pomiarów selektywnych, wartości średniokwadratowe natężenia pola elektrycznego z uwzględnieniem oszacowanej rozszerzonej niepewności pomiaru (przedział ufności 95%), we wszystkich 30 z 30 punktów pomiarowych, nie przekraczają wartości granicznej 7 V/m.

Tabl. 107 Wyniki pomiarów szerokopasmowych  
– Łódź, Wólczańska

<b>1</b>	<b>2</b>	<b>3</b>	<b>4</b>
<b>Lok.</b>	$E_{zm}$	$E_{zm}-U\%$	$E_{zm}+U\%$
-	V/m	V/m	V/m
1.	1,0	0,7	1,3
2.	0,9	0,7	1,2
3.	0,8	0,6	1,1
4.	0,5	0,4	0,7
5.	0,7	0,5	0,9
6.	0,8	0,6	1,1
7.	0,7	0,4	1,0
8.	0,9	0,6	1,3
9.	1,1	0,7	1,5
10.	0,3	0,3	0,3
11.	0,7	0,5	1,0
12.	0,8	0,6	1,1
13.	0,9	0,7	1,2
14.	2,3	1,6	3,2
15.	1,6	1,1	2,2
16.	0,8	0,6	1,1
17.	1,4	0,9	1,9
18.	0,6	0,5	0,7
19.	0,3	0,3	0,3
20.	1,3	0,8	1,7
21.	1,3	0,9	1,8
22.	0,7	0,5	0,9
23.	0,8	0,6	1,1
24.	0,6	0,5	0,8
25.	0,7	0,5	1,0
26.	0,4	0,4	0,4
27.	0,1	0,1	0,1
28.	0,3	0,3	0,3
29.	1,0	0,7	1,4
30.	0,5	0,4	0,6

Tabl. 108 Wyniki pomiarów selektywnych  
– Łódź, Wólczańska

1	2	3	4	5	6	7
Lok.	E	E-U%	E+U%	E <sub>BS</sub>	E <sub>BS</sub> -U%	E <sub>BS</sub> +U%
-	V/m	V/m	V/m	V/m	V/m	V/m
1.	1,3	0,9	1,8	1,3	0,9	1,8
2.	1,3	0,9	1,8	1,3	0,8	1,8
3.	1,2	0,8	1,7	1,2	0,8	1,7
4.	0,7	0,5	1,0	0,7	0,5	1,0
5.	1,0	0,7	1,4	1,0	0,7	1,4
6.	1,1	0,8	1,5	1,1	0,8	1,5
7.	1,4	0,9	2,0	1,4	0,9	2,0
8.	2,0	1,3	2,8	2,0	1,3	2,8
9.	2,3	1,5	3,3	2,3	1,5	3,2
10.	0,4	0,3	0,5	0,4	0,3	0,5
11.	0,9	0,6	1,3	0,9	0,6	1,2
12.	1,0	0,7	1,4	1,0	0,7	1,4
13.	2,1	1,4	2,9	2,1	1,4	2,9
14.	3,5	2,3	4,8	3,5	2,3	4,8
15.	2,3	1,5	3,2	2,3	1,5	3,2
16.	1,1	0,8	1,5	1,1	0,8	1,5
17.	1,2	0,8	1,7	1,2	0,8	1,7
18.	0,9	0,6	1,1	0,9	0,6	1,1
19.	0,5	0,4	0,6	0,4	0,4	0,5
20.	1,9	1,3	2,7	1,9	1,3	2,7
21.	1,5	1,0	2,2	1,5	1,0	2,2
22.	0,8	0,5	1,1	0,8	0,5	1,0
23.	1,3	0,8	1,8	1,3	0,8	1,8
24.	0,9	0,6	1,3	0,9	0,6	1,3
25.	0,9	0,6	1,3	0,9	0,6	1,2
26.	0,6	0,5	0,8	0,6	0,5	0,8
27.	0,1	0,1	0,1	0,0	0,0	0,0
28.	0,3	0,3	0,3	0,3	0,3	0,3
29.	1,4	1,0	2,0	1,4	0,9	2,0
30.	0,7	0,5	1,0	0,7	0,5	1,0

Szczegóły odnośnie przeprowadzonych badań oraz wyniki pomiarów zawarte są w Sprawozdaniu z badań nr 0110101018/LOD01 – **Załącznik 1.**

#### 5.44 Łódź, Matejki

Stwierdza się, że w otoczeniu stacji:

- ID: LOD1221A
- a) zmierzone, w trakcie pomiarów szerokopasmowych, wartości natężenia pola elektrycznego we wszystkich 30 z 30 punktów pomiarowych, nie przekraczają wartości granicznej 7 V/m;
- b) obliczone, na podstawie wyników pomiarów szerokopasmowych, wartości średniokwadratowe natężenia pola elektrycznego z uwzględnieniem oszacowanej

rozszerzonej niepewności pomiaru (przedział ufności 95%), we wszystkich 30 z 30 punktów pomiarowych, nie przekraczają wartości granicznej 7 V/m;

- c) obliczone, na podstawie wyników pomiarów selektywnych, wartości średniokwadratowe natężenia pola elektrycznego we wszystkich 30 z 30 punktów pomiarowych, nie przekraczają wartości granicznej 7 V/m;
- d) obliczone, na podstawie wyników pomiarów selektywnych, wartości średniokwadratowe natężenia pola elektrycznego z uwzględnieniem oszacowanej rozszerzonej niepewności pomiaru (przedział ufności 95%), we wszystkich 30 z 30 punktów pomiarowych, nie przekraczają wartości granicznej 7 V/m.

Tabl. 109 Wyniki pomiarów szerokopasmowych  
– Łódź, Matejki

<b>1</b>	<b>2</b>	<b>3</b>	<b>4</b>
<b>Lok.</b>	<b><math>E_{zm}</math></b>	<b><math>E_{zm}-U\%</math></b>	<b><math>E_{zm}+U\%</math></b>
<b>-</b>	<b>V/m</b>	<b>V/m</b>	<b>V/m</b>
1.	0,8	0,6	1,2
2.	0,8	0,6	1,1
3.	0,5	0,4	0,6
4.	0,6	0,4	0,7
5.	0,7	0,5	1,0
6.	1,0	0,7	1,5
7.	0,5	0,4	0,6
8.	0,3	0,3	0,3
9.	0,3	0,3	0,3
10.	0,4	0,4	0,5
11.	0,3	0,3	0,3
12.	0,4	0,4	0,5
13.	0,4	0,4	0,5
14.	0,8	0,6	1,1
15.	1,2	0,8	1,7
16.	0,8	0,5	1,1
17.	0,8	0,6	1,1
18.	2,4	1,6	3,4
19.	1,6	1,1	2,3
20.	1,0	0,7	1,4
21.	0,8	0,6	1,1
22.	0,7	0,6	1,0
23.	0,8	0,6	1,1
24.	1,1	0,7	1,5
25.	0,7	0,5	1,0
26.	0,6	0,5	0,8
27.	2,0	1,4	2,8
28.	1,1	0,8	1,5
29.	0,6	0,5	0,7
30.	0,6	0,4	0,7

Tabl. 110 Wyniki pomiarów selektywnych  
– Łódź, Matejki

1	2	3	4	5	6	7
Lok.	E	E-U%	E+U%	E <sub>BS</sub>	E <sub>BS</sub> -U%	E <sub>BS</sub> +U%
-	V/m	V/m	V/m	V/m	V/m	V/m
1.	1,3	0,8	1,7	1,2	0,8	1,7
2.	2,0	1,4	2,9	2,0	1,3	2,9
3.	0,8	0,6	1,1	0,8	0,6	1,1
4.	0,9	0,7	1,3	0,9	0,7	1,3
5.	0,8	0,6	1,1	0,8	0,6	1,1
6.	1,6	1,1	2,4	1,6	1,1	2,3
7.	0,7	0,5	0,9	0,7	0,5	0,9
8.	0,4	0,3	0,5	0,4	0,3	0,5
9.	0,4	0,3	0,5	0,4	0,3	0,5
10.	0,5	0,4	0,6	0,5	0,4	0,6
11.	0,4	0,3	0,6	0,4	0,3	0,6
12.	0,5	0,3	0,6	0,5	0,3	0,6
13.	0,6	0,5	0,9	0,6	0,5	0,9
14.	1,4	0,9	1,9	1,3	0,9	1,9
15.	1,5	1,1	2,1	1,5	1,1	2,1
16.	0,9	0,7	1,3	0,9	0,7	1,3
17.	1,1	0,7	1,5	1,1	0,7	1,5
18.	2,3	1,5	3,2	2,3	1,5	3,2
19.	1,8	1,2	2,5	1,8	1,2	2,5
20.	1,4	0,9	1,9	1,3	0,9	1,9
21.	1,1	0,7	1,6	1,1	0,7	1,6
22.	1,3	0,9	1,8	1,3	0,9	1,8
23.	1,1	0,8	1,6	1,1	0,8	1,6
24.	1,3	0,8	1,7	1,3	0,8	1,7
25.	0,9	0,6	1,3	0,9	0,6	1,2
26.	0,9	0,7	1,3	0,9	0,6	1,3
27.	4,0	2,7	5,6	4,0	2,7	5,6
28.	1,5	1,0	2,1	1,5	1,0	2,1
29.	0,9	0,6	1,2	0,9	0,6	1,2
30.	0,6	0,5	0,8	0,6	0,4	0,8

Szczegóły odnośnie przeprowadzonych badań oraz wyniki pomiarów zawarte są w Sprawozdaniu z badań nr 0110101018/LOD02 – **Załącznik 1.**

#### 5.45 Łódź, Chóralna

Stwierdza się, że w otoczeniu stacji:

- ID: BT33905
- a) zmierzone, w trakcie pomiarów szerokopasmowych, wartości natężenia pola elektrycznego we wszystkich 30 z 30 punktów pomiarowych, nie przekraczają wartości granicznej 7 V/m;
- b) obliczone, na podstawie wyników pomiarów szerokopasmowych, wartości średniokwadratowe natężenia pola elektrycznego z uwzględnieniem oszacowanej

rozszerzonej niepewności pomiaru (przedział ufności 95%), we wszystkich 30 z 30 punktów pomiarowych, nie przekraczają wartości granicznej 7 V/m;

- c) obliczone, na podstawie wyników pomiarów selektywnych, wartości średniokwadratowe natężenia pola elektrycznego we wszystkich 30 z 30 punktów pomiarowych, nie przekraczają wartości granicznej 7 V/m;
- d) obliczone, na podstawie wyników pomiarów selektywnych, wartości średniokwadratowe natężenia pola elektrycznego z uwzględnieniem oszacowanej rozszerzonej niepewności pomiaru (przedział ufności 95%), we wszystkich 30 z 30 punktów pomiarowych, nie przekraczają wartości granicznej 7 V/m.

Tabl. 111 Wyniki pomiarów szerokopasmowych  
– Łódź, Chóralna

<b>1</b>	<b>2</b>	<b>3</b>	<b>4</b>
<b>Lok.</b>	<b><math>E_{zm}</math></b>	<b><math>E_{zm}-U\%</math></b>	<b><math>E_{zm}+U\%</math></b>
-	<b>V/m</b>	<b>V/m</b>	<b>V/m</b>
1.	0,9	0,6	1,2
2.	1,3	0,9	1,9
3.	1,5	1,0	2,1
4.	0,6	0,4	0,9
5.	0,6	0,4	0,8
6.	0,6	0,4	0,8
7.	0,9	0,7	1,3
8.	0,5	0,5	0,7
9.	2,0	1,3	2,8
10.	1,1	0,8	1,5
11.	0,8	0,6	1,1
12.	1,2	0,8	1,6
13.	2,3	1,6	3,2
14.	1,4	0,9	1,9
15.	2,1	1,3	2,9
16.	1,7	1,2	2,5
17.	1,5	1,0	2,1
18.	1,9	1,2	2,6
19.	0,6	0,5	0,7
20.	1,5	1,0	2,1
21.	2,3	1,5	3,2
22.	0,8	0,5	1,1
23.	0,8	0,7	1,0
24.	0,7	0,5	1,0
25.	1,9	1,3	2,7
26.	0,5	0,4	0,5
27.	0,7	0,5	0,9
28.	0,8	0,6	1,1
29.	0,4	0,3	0,6
30.	0,4	0,4	0,5



Tabl. 112 Wyniki pomiarów selektywnych  
– Łódź, Chóralna

1	2	3	4	5	6	7
Lok.	E	E-U%	E+U%	E <sub>BS</sub>	E <sub>BS</sub> -U%	E <sub>BS</sub> +U%
-	V/m	V/m	V/m	V/m	V/m	V/m
1.	1,0	0,7	1,4	0,9	0,6	1,2
2.	1,8	1,2	2,5	1,8	1,2	2,5
3.	2,0	1,3	2,8	2,0	1,3	2,8
4.	1,2	0,8	1,7	1,1	0,7	1,7
5.	0,7	0,5	0,9	0,7	0,5	0,9
6.	0,9	0,6	1,3	0,9	0,6	1,3
7.	1,3	0,9	1,7	1,2	0,8	1,6
8.	0,8	0,6	1,1	0,8	0,5	1,1
9.	2,9	1,9	4,0	2,9	1,9	4,0
10.	1,3	0,9	1,9	1,2	0,8	1,7
11.	1,0	0,7	1,3	0,9	0,6	1,2
12.	1,4	0,9	2,0	1,4	0,9	1,9
13.	2,2	1,4	3,1	2,2	1,4	3,1
14.	1,7	1,1	2,3	1,7	1,1	2,3
15.	2,2	1,4	3,1	2,2	1,4	3,1
16.	2,7	1,8	3,8	2,7	1,8	3,8
17.	1,9	1,2	2,6	1,9	1,2	2,6
18.	2,2	1,4	3,1	2,2	1,4	3,1
19.	0,8	0,6	1,0	0,8	0,6	1,0
20.	2,5	1,7	3,4	2,5	1,7	3,4
21.	2,8	1,8	3,9	2,8	1,8	3,9
22.	1,0	0,6	1,4	1,0	0,6	1,4
23.	1,0	0,7	1,3	1,0	0,7	1,3
24.	0,9	0,6	1,2	0,9	0,6	1,2
25.	2,5	1,6	3,5	2,5	1,6	3,5
26.	0,6	0,5	0,7	0,6	0,5	0,7
27.	0,9	0,6	1,3	0,9	0,6	1,3
28.	1,2	0,8	1,6	1,1	0,8	1,5
29.	0,6	0,5	0,8	0,6	0,4	0,7
30.	0,6	0,5	0,7	0,6	0,5	0,7

Szczegóły odnośnie przeprowadzonych badań oraz wyniki pomiarów zawarte są w Sprawozdaniu z badań nr 0110101018/LOD03 – **Załącznik 1.**

#### 5.46 Łódź, Sandomierska

Stwierdza się, że w otoczeniu stacji:

- ID: LOD1029F
- a) zmierzone, w trakcie pomiarów szerokopasmowych, wartości natężenia pola elektrycznego we wszystkich 30 z 30 punktów pomiarowych, nie przekraczają wartości granicznej 7 V/m;
- b) obliczone, na podstawie wyników pomiarów szerokopasmowych, wartości średniokwadratowe natężenia pola elektrycznego z uwzględnieniem oszacowanej

rozszerzonej niepewności pomiaru (przedział ufności 95%), we wszystkich 30 z 30 punktów pomiarowych, nie przekraczają wartości granicznej 7 V/m;

- c) obliczone, na podstawie wyników pomiarów selektywnych, wartości średniokwadratowe natężenia pola elektrycznego we wszystkich 30 z 30 punktów pomiarowych, nie przekraczają wartości granicznej 7 V/m;
- d) obliczone, na podstawie wyników pomiarów selektywnych, wartości średniokwadratowe natężenia pola elektrycznego z uwzględnieniem oszacowanej rozszerzonej niepewności pomiaru (przedział ufności 95%), we wszystkich 30 z 30 punktów pomiarowych, nie przekraczają wartości granicznej 7 V/m.

Tabl. 113 Wyniki pomiarów szerokopasmowych  
– Łódź, Sandomierska

<b>1</b>	<b>2</b>	<b>3</b>	<b>4</b>
<b>Lok.</b>	<b><math>E_{zm}</math></b>	<b><math>E_{zm}-U\%</math></b>	<b><math>E_{zm}+U\%</math></b>
<b>-</b>	<b>V/m</b>	<b>V/m</b>	<b>V/m</b>
1.	1,0	0,7	1,4
2.	1,0	0,6	1,4
3.	1,1	0,8	1,6
4.	0,7	0,5	0,9
5.	0,8	0,5	1,1
6.	0,9	0,5	1,2
7.	0,6	0,4	0,8
8.	1,3	0,9	1,8
9.	1,4	0,9	1,9
10.	1,9	1,3	2,7
11.	1,5	1,0	2,2
12.	1,5	1,0	2,0
13.	1,0	0,7	1,4
14.	1,6	1,0	2,3
15.	1,6	1,0	2,2
16.	1,8	1,2	2,5
17.	1,9	1,3	2,7
18.	1,5	1,0	2,1
19.	1,2	0,8	1,7
20.	1,2	0,8	1,7
21.	1,9	1,3	2,7
22.	1,4	0,9	2,0
23.	1,8	1,2	2,5
24.	1,0	0,7	1,4
25.	0,8	0,6	1,1
26.	0,7	0,5	0,9
27.	0,9	0,6	1,2
28.	0,4	0,4	0,5
29.	0,6	0,5	0,8
30.	0,8	0,6	1,2

Tabl. 114 Wyniki pomiarów selektywnych  
– Łódź, Sandomierska

1	2	3	4	5	6	7
Lok.	E	E-U%	E+U%	E <sub>BS</sub>	E <sub>BS</sub> -U%	E <sub>BS</sub> +U%
-	V/m	V/m	V/m	V/m	V/m	V/m
1.	1,6	1,0	2,2	1,6	1,0	2,2
2.	1,0	0,7	1,4	1,0	0,7	1,4
3.	1,5	1,0	2,2	1,5	1,0	2,2
4.	1,1	0,7	1,5	1,1	0,7	1,5
5.	1,2	0,8	1,8	1,2	0,8	1,8
6.	2,1	1,4	3,1	2,1	1,4	3,1
7.	0,8	0,5	1,1	0,8	0,5	1,1
8.	1,9	1,3	2,8	1,9	1,3	2,7
9.	1,6	1,0	2,2	1,6	1,0	2,2
10.	2,4	1,5	3,3	2,4	1,5	3,3
11.	2,2	1,5	3,1	2,2	1,5	3,1
12.	1,3	0,9	1,9	1,3	0,9	1,9
13.	1,3	0,9	1,9	1,3	0,9	1,9
14.	2,0	1,3	2,9	2,0	1,3	2,9
15.	1,6	1,1	2,3	1,6	1,1	2,3
16.	2,2	1,4	3,1	2,2	1,4	3,1
17.	3,5	2,3	5,0	3,5	2,3	5,0
18.	2,4	1,5	3,3	2,4	1,5	3,3
19.	2,6	1,7	3,7	2,6	1,7	3,7
20.	2,4	1,5	3,4	2,4	1,5	3,4
21.	2,3	1,6	3,2	2,3	1,6	3,2
22.	1,5	1,0	2,2	1,5	1,0	2,2
23.	2,4	1,6	3,4	2,4	1,6	3,4
24.	2,1	1,4	3,0	2,1	1,4	3,0
25.	1,1	0,8	1,5	1,1	0,8	1,5
26.	0,9	0,6	1,2	0,9	0,6	1,2
27.	1,7	1,1	2,5	1,7	1,1	2,5
28.	0,5	0,4	0,7	0,5	0,4	0,7
29.	0,9	0,6	1,3	0,9	0,6	1,3
30.	1,7	1,1	2,4	1,7	1,1	2,4

Szczegóły odnośnie przeprowadzonych badań oraz wyniki pomiarów zawarte są w Sprawozdaniu z badań nr 0110101018/LOD04 – **Załącznik 1.**

#### 5.47 Łódź, Limanowskiego

Stwierdza się, że w otoczeniu stacji:

- ID: BT31063
- a) zmierzone, w trakcie pomiarów szerokopasmowych, wartości natężenia pola elektrycznego we wszystkich 30 z 30 punktów pomiarowych, nie przekraczają wartości granicznej 7 V/m;
- b) obliczone, na podstawie wyników pomiarów szerokopasmowych, wartości średniokwadratowe natężenia pola elektrycznego z uwzględnieniem oszacowanej

rozszerzonej niepewności pomiaru (przedział ufności 95%), we wszystkich 30 z 30 punktów pomiarowych, nie przekraczają wartości granicznej 7 V/m;

- c) obliczone, na podstawie wyników pomiarów selektywnych, wartości średniokwadratowe natężenia pola elektrycznego we wszystkich 30 z 30 punktów pomiarowych, nie przekraczają wartości granicznej 7 V/m;
- d) obliczone, na podstawie wyników pomiarów selektywnych, wartości średniokwadratowe natężenia pola elektrycznego z uwzględnieniem oszacowanej rozszerzonej niepewności pomiaru (przedział ufności 95%), we wszystkich 30 z 30 punktów pomiarowych, nie przekraczają wartości granicznej 7 V/m.

Tabl. 115 Wyniki pomiarów szerokopasmowych  
– Łódź, Limanowskiego

<b>1</b>	<b>2</b>	<b>3</b>	<b>4</b>
<b>Lok.</b>	<b><math>E_{zm}</math></b>	<b><math>E_{zm}-U\%</math></b>	<b><math>E_{zm}+U\%</math></b>
<b>-</b>	<b>V/m</b>	<b>V/m</b>	<b>V/m</b>
1.	0,6	0,5	0,7
2.	0,7	0,6	1,0
3.	0,9	0,7	1,3
4.	0,9	0,6	1,2
5.	0,5	0,4	0,7
6.	0,6	0,4	0,7
7.	0,4	0,3	0,6
8.	0,6	0,5	0,9
9.	0,5	0,4	0,7
10.	0,9	0,6	1,3
11.	0,9	0,7	1,3
12.	2,9	2,0	4,1
13.	3,0	2,0	4,2
14.	1,2	0,9	1,7
15.	2,6	1,8	3,6
16.	1,6	1,1	2,2
17.	1,2	0,7	1,7
18.	1,1	0,7	1,5
19.	0,8	0,6	1,1
20.	0,8	0,6	1,1
21.	1,0	0,7	1,4
22.	0,9	0,7	1,2
23.	1,9	1,3	2,7
24.	1,5	1,0	2,1
25.	0,8	0,6	1,1
26.	1,9	1,3	2,7
27.	0,9	0,7	1,3
28.	0,6	0,5	0,8
29.	1,0	0,7	1,4
30.	0,3	0,3	0,3

Tabl. 116 Wyniki pomiarów selektywnych  
– Łódź, Limanowskiego

1	2	3	4	5	6	7
Lok.	E	E-U%	E+U%	E <sub>BS</sub>	E <sub>BS</sub> -U%	E <sub>BS</sub> +U%
-	V/m	V/m	V/m	V/m	V/m	V/m
1.	0,6	0,5	0,7	0,6	0,5	0,7
2.	1,0	0,7	1,4	1,0	0,7	1,4
3.	1,0	0,7	1,4	1,0	0,7	1,4
4.	0,9	0,7	1,2	0,9	0,7	1,2
5.	0,5	0,4	0,7	0,5	0,4	0,7
6.	0,7	0,5	0,9	0,7	0,5	0,9
7.	0,6	0,4	0,8	0,6	0,4	0,8
8.	0,8	0,5	1,1	0,8	0,5	1,1
9.	0,7	0,5	0,9	0,7	0,5	0,9
10.	1,3	0,8	1,8	1,3	0,8	1,8
11.	1,6	1,1	2,3	1,6	1,1	2,3
12.	4,1	2,7	5,7	4,1	2,7	5,7
13.	3,5	2,3	4,9	3,5	2,3	4,9
14.	1,6	1,1	2,2	1,6	1,1	2,2
15.	3,7	2,5	5,1	3,7	2,5	5,1
16.	1,7	1,2	2,4	1,7	1,2	2,4
17.	1,3	0,8	1,8	1,3	0,8	1,8
18.	1,5	1,0	2,1	1,5	1,0	2,1
19.	1,1	0,7	1,5	1,0	0,7	1,5
20.	1,2	0,8	1,6	1,2	0,8	1,6
21.	1,6	1,1	2,2	1,6	1,1	2,2
22.	1,2	0,8	1,7	1,2	0,8	1,7
23.	2,2	1,5	3,0	2,2	1,5	3,0
24.	1,5	1,0	2,1	1,5	1,0	2,1
25.	1,0	0,7	1,3	1,0	0,7	1,3
26.	3,5	2,3	4,9	3,5	2,3	4,9
27.	2,0	1,4	2,8	2,0	1,4	2,8
28.	0,9	0,6	1,1	0,8	0,6	1,1
29.	1,3	0,9	1,9	1,3	0,9	1,9
30.	0,4	0,4	0,5	0,4	0,4	0,5

Szczegóły odnośnie przeprowadzonych badań oraz wyniki pomiarów zawarte są w Sprawozdaniu z badań nr 0110101018/LOD05 – **Załącznik 1.**

#### 5.48 Łódź, 6 Sierpnia

Stwierdza się, że w otoczeniu stacji:

- ID: LOD1212A
- a) zmierzone, w trakcie pomiarów szerokopasmowych, wartości natężenia pola elektrycznego we wszystkich 30 z 30 punktów pomiarowych, nie przekraczają wartości granicznej 7 V/m;
- b) obliczone, na podstawie wyników pomiarów szerokopasmowych, wartości średniokwadratowe natężenia pola elektrycznego z uwzględnieniem oszacowanej

rozszerzonej niepewności pomiaru (przedział ufności 95%), we wszystkich 30 z 30 punktów pomiarowych, nie przekraczają wartości granicznej 7 V/m;

- c) obliczone, na podstawie wyników pomiarów selektywnych, wartości średniokwadratowe natężenia pola elektrycznego we wszystkich 30 z 30 punktów pomiarowych, nie przekraczają wartości granicznej 7 V/m;
- d) obliczone, na podstawie wyników pomiarów selektywnych, wartości średniokwadratowe natężenia pola elektrycznego z uwzględnieniem oszacowanej rozszerzonej niepewności pomiaru (przedział ufności 95%), we wszystkich 30 z 30 punktów pomiarowych, nie przekraczają wartości granicznej 7 V/m.

Tabl. 117 Wyniki pomiarów szerokopasmowych  
– Łódź, 6 Sierpnia

<b>1</b>	<b>2</b>	<b>3</b>	<b>4</b>
<b>Lok.</b>	$E_{zm}$	$E_{zm}-U\%$	$E_{zm}+U\%$
-	V/m	V/m	V/m
1.	1,1	0,8	1,6
2.	0,8	0,6	1,2
3.	0,7	0,5	0,9
4.	0,6	0,4	0,8
5.	0,9	0,6	1,2
6.	0,7	0,5	0,9
7.	0,6	0,4	0,8
8.	0,6	0,4	0,9
9.	1,1	0,8	1,6
10.	0,9	0,6	1,3
11.	0,7	0,5	0,8
12.	0,5	0,5	0,6
13.	0,9	0,7	1,2
14.	0,7	0,5	0,9
15.	0,6	0,5	0,7
16.	0,7	0,5	1,0
17.	0,8	0,5	1,1
18.	0,9	0,6	1,3
19.	0,9	0,7	1,3
20.	0,7	0,5	0,9
21.	0,8	0,6	1,2
22.	0,4	0,3	0,5
23.	0,5	0,3	0,7
24.	0,7	0,4	0,9
25.	0,3	0,3	0,4
26.	0,3	0,2	0,4
27.	0,3	0,3	0,4
28.	0,3	0,2	0,5
29.	0,5	0,3	0,6
30.	0,6	0,4	0,8

Tabl. 118 Wyniki pomiarów selektywnych  
– Łódź, 6 Sierpnia

1	2	3	4	5	6	7
Lok.	E	E-U%	E+U%	E <sub>BS</sub>	E <sub>BS</sub> -U%	E <sub>BS</sub> +U%
-	V/m	V/m	V/m	V/m	V/m	V/m
1.	1,5	1,1	2,2	1,5	1,1	2,2
2.	1,3	0,9	1,8	1,3	0,9	1,8
3.	1,1	0,7	1,6	1,1	0,7	1,6
4.	0,9	0,6	1,2	0,9	0,6	1,2
5.	1,3	0,8	1,8	1,3	0,8	1,8
6.	1,1	0,7	1,5	1,1	0,7	1,4
7.	1,1	0,8	1,6	1,1	0,8	1,5
8.	1,0	0,7	1,4	1,0	0,7	1,4
9.	1,7	1,1	2,4	1,6	1,1	2,3
10.	1,4	1,0	2,0	1,4	1,0	2,0
11.	0,7	0,5	0,9	0,7	0,4	0,9
12.	0,8	0,5	1,1	0,8	0,5	1,1
13.	1,7	1,1	2,4	1,7	1,1	2,4
14.	1,6	1,1	2,2	1,6	1,1	2,2
15.	0,8	0,6	1,2	0,8	0,6	1,2
16.	1,6	1,1	2,3	1,6	1,1	2,3
17.	1,5	1,0	2,1	1,5	1,0	2,1
18.	1,4	1,0	2,0	1,4	0,9	2,0
19.	1,5	1,0	2,1	1,5	1,0	2,1
20.	1,2	0,8	1,7	1,2	0,8	1,7
21.	1,3	0,8	1,7	1,3	0,8	1,7
22.	0,5	0,4	0,7	0,5	0,4	0,7
23.	0,7	0,5	1,0	0,7	0,5	1,0
24.	1,1	0,7	1,5	1,1	0,6	1,5
25.	0,5	0,4	0,7	0,5	0,3	0,7
26.	0,5	0,3	0,7	0,5	0,3	0,7
27.	0,4	0,3	0,5	0,3	0,2	0,5
28.	0,4	0,2	0,5	0,4	0,2	0,5
29.	0,9	0,5	1,2	0,9	0,5	1,2
30.	1,0	0,7	1,4	1,0	0,7	1,4

Szczegóły odnośnie przeprowadzonych badań oraz wyniki pomiarów zawarte są w Sprawozdaniu z badań nr 0110101018/LOD06 – **Załącznik 1.**

#### 5.49 Olsztyn, Dybowskiiego

Stwierdza się, że w otoczeniu stacji:

- ID: 44017N!
- a) zmierzone, w trakcie pomiarów szerokopasmowych, wartości natężenia pola elektrycznego we wszystkich 30 z 30 punktów pomiarowych, nie przekraczają wartości granicznej 7 V/m;
- b) obliczone, na podstawie wyników pomiarów szerokopasmowych, wartości średniokwadratowe natężenia pola elektrycznego z uwzględnieniem oszacowanej

rozszerzonej niepewności pomiaru (przedział ufności 95%), we wszystkich 30 z 30 punktów pomiarowych, nie przekraczają wartości granicznej 7 V/m;

- c) obliczone, na podstawie wyników pomiarów selektywnych, wartości średniokwadratowe natężenia pola elektrycznego we wszystkich 30 z 30 punktów pomiarowych, nie przekraczają wartości granicznej 7 V/m;
- d) obliczone, na podstawie wyników pomiarów selektywnych, wartości średniokwadratowe natężenia pola elektrycznego z uwzględnieniem oszacowanej rozszerzonej niepewności pomiaru (przedział ufności 95%), we wszystkich 30 z 30 punktów pomiarowych, nie przekraczają wartości granicznej 7 V/m.

Tabl. 119 Wyniki pomiarów szerokopasmowych  
– Olsztyn, Dybowskiego

<b>1</b>	<b>2</b>	<b>3</b>	<b>4</b>
<b>Lok.</b>	<b><math>E_{zm}</math></b>	<b><math>E_{zm}-U\%</math></b>	<b><math>E_{zm}+U\%</math></b>
<b>-</b>	<b>V/m</b>	<b>V/m</b>	<b>V/m</b>
1.	1,2	0,9	1,7
2.	0,8	0,6	1,1
3.	0,9	0,6	1,3
4.	0,7	0,5	0,9
5.	0,8	0,6	1,1
6.	0,6	0,5	0,6
7.	0,4	0,3	0,4
8.	0,3	0,3	0,3
9.	0,5	0,4	0,7
10.	0,5	0,5	0,6
11.	0,6	0,4	0,7
12.	0,8	0,5	1,0
13.	0,9	0,6	1,1
14.	0,9	0,6	1,2
15.	0,7	0,5	1,0
16.	0,9	0,7	1,2
17.	0,8	0,5	1,1
18.	0,9	0,6	1,3
19.	0,4	0,4	0,4
20.	0,6	0,5	0,8
21.	0,5	0,5	0,7
22.	0,8	0,5	1,1
23.	0,9	0,6	1,2
24.	0,5	0,4	0,6
25.	0,8	0,6	1,1
26.	0,6	0,4	0,8
27.	0,8	0,5	1,1
28.	0,6	0,5	0,7
29.	0,7	0,5	1,0
30.	1,3	1,0	1,8



Tabl. 120 Wyniki pomiarów selektywnych  
– Olsztyn, Dybowskiego

1	2	3	4	5	6	7
Lok.	E	E-U%	E+U%	E <sub>BS</sub>	E <sub>BS</sub> -U%	E <sub>BS</sub> +U%
-	V/m	V/m	V/m	V/m	V/m	V/m
1.	1,3	0,9	1,8	1,3	0,9	1,8
2.	0,9	0,6	1,3	0,9	0,6	1,2
3.	1,4	0,9	1,9	1,4	0,9	1,9
4.	1,2	0,8	1,7	1,2	0,8	1,7
5.	1,1	0,7	1,5	1,0	0,7	1,5
6.	0,8	0,5	1,1	0,8	0,5	1,0
7.	0,4	0,4	0,5	0,4	0,4	0,5
8.	0,4	0,4	0,5	0,4	0,3	0,5
9.	0,8	0,6	1,1	0,8	0,5	1,1
10.	0,6	0,5	0,8	0,6	0,5	0,8
11.	0,7	0,5	1,0	0,7	0,5	1,0
12.	0,8	0,6	1,0	0,7	0,5	0,9
13.	0,9	0,6	1,2	0,8	0,5	1,1
14.	0,9	0,6	1,3	0,8	0,6	1,2
15.	1,0	0,7	1,4	0,9	0,7	1,3
16.	1,0	0,7	1,4	1,0	0,6	1,3
17.	1,0	0,7	1,3	0,8	0,6	1,1
18.	1,0	0,7	1,5	1,0	0,7	1,5
19.	0,5	0,4	0,6	0,5	0,4	0,6
20.	0,9	0,6	1,3	0,9	0,6	1,3
21.	0,7	0,5	0,9	0,6	0,4	0,9
22.	0,9	0,6	1,3	0,8	0,5	1,1
23.	1,0	0,7	1,5	1,0	0,6	1,4
24.	0,7	0,4	0,9	0,6	0,4	0,8
25.	0,9	0,6	1,2	0,8	0,5	1,1
26.	0,9	0,7	1,3	0,9	0,6	1,3
27.	0,9	0,6	1,2	0,8	0,6	1,2
28.	0,8	0,6	1,0	0,7	0,5	1,0
29.	1,1	0,7	1,5	1,0	0,7	1,5
30.	1,4	1,0	2,0	1,4	1,0	2,0

Szczegóły odnośnie przeprowadzonych badań oraz wyniki pomiarów zawarte są w Sprawozdaniu z badań nr 0110101018/OLS01 – **Załącznik 1.**

#### 5.50 Olsztyn, Bajkowa

Stwierdza się, że w otoczeniu stacji:

- ID: 34057(44057N!),
- ID: OLS1031A

a) zmierzone, w trakcie pomiarów szerokopasmowych, wartości natężenia pola elektrycznego we wszystkich 30 z 30 punktów pomiarowych, nie przekraczają wartości granicznej 7 V/m;

- b) obliczone, na podstawie wyników pomiarów szerokopasmowych, wartości średniokwadratowe natężenia pola elektrycznego z uwzględnieniem oszacowanej rozszerzonej niepewności pomiaru (przedział ufności 95%), we wszystkich 30 z 30 punktów pomiarowych, nie przekraczają wartości granicznej 7 V/m;
- c) obliczone, na podstawie wyników pomiarów selektywnych, wartości średniokwadratowe natężenia pola elektrycznego we wszystkich 30 z 30 punktów pomiarowych, nie przekraczają wartości granicznej 7 V/m;
- d) obliczone, na podstawie wyników pomiarów selektywnych, wartości średniokwadratowe natężenia pola elektrycznego z uwzględnieniem oszacowanej rozszerzonej niepewności pomiaru (przedział ufności 95%), we wszystkich 30 z 30 punktów pomiarowych, nie przekraczają wartości granicznej 7 V/m.

Tabl. 121 Wyniki pomiarów szerokopasmowych  
– Olsztyn, Bajkowa

<b>1</b>	<b>2</b>	<b>3</b>	<b>4</b>
<b>Lok.</b>	<b><math>E_{zm}</math></b>	<b><math>E_{zm}-U\%</math></b>	<b><math>E_{zm}+U\%</math></b>
-	<b>V/m</b>	<b>V/m</b>	<b>V/m</b>
1.	1,6	1,1	2,2
2.	1,9	1,2	2,6
3.	2,4	1,6	3,3
4.	2,3	1,6	3,3
5.	1,8	1,2	2,5
6.	1,3	0,9	1,8
7.	1,5	1,0	2,1
8.	1,9	1,2	2,6
9.	1,6	1,1	2,3
10.	0,6	0,5	0,8
11.	0,3	0,3	0,3
12.	0,6	0,5	0,8
13.	0,6	0,5	0,6
14.	2,3	1,5	3,2
15.	1,5	1,0	2,1
16.	2,9	1,9	4,1
17.	2,9	2,0	4,1
18.	3,0	2,0	4,1
19.	2,7	1,7	3,9
20.	2,9	1,9	4,1
21.	3,0	2,0	4,1
22.	2,4	1,6	3,4
23.	1,6	1,1	2,3
24.	1,7	1,1	2,4
25.	1,9	1,3	2,6
26.	1,8	1,2	2,5
27.	2,0	1,3	2,7
28.	1,4	0,9	1,9
29.	1,3	0,8	1,8
30.	1,1	0,7	1,6

Tabl. 122 Wyniki pomiarów selektywnych  
– Olsztyn, Bajkowa

1	2	3	4	5	6	7
Lok.	E	E-U%	E+U%	E <sub>BS</sub>	E <sub>BS</sub> -U%	E <sub>BS</sub> +U%
-	V/m	V/m	V/m	V/m	V/m	V/m
1.	2,2	1,5	3,0	2,1	1,4	3,0
2.	3,0	1,9	4,2	2,9	1,9	4,1
3.	3,7	2,5	5,1	3,7	2,5	5,1
4.	2,8	1,9	3,9	2,8	1,9	3,9
5.	2,2	1,5	3,1	2,2	1,4	3,1
6.	1,8	1,1	2,5	1,8	1,1	2,4
7.	2,2	1,4	3,1	2,2	1,4	3,1
8.	3,0	2,0	4,2	3,0	2,0	4,2
9.	2,9	1,9	4,0	2,8	1,8	4,0
10.	1,0	0,7	1,5	1,0	0,7	1,4
11.	0,3	0,3	0,3	0,3	0,3	0,3
12.	1,0	0,7	1,4	1,0	0,7	1,4
13.	0,6	0,5	0,7	0,5	0,5	0,7
14.	3,0	2,0	4,3	3,0	2,0	4,3
15.	2,5	1,6	3,5	2,5	1,6	3,5
16.	3,8	2,4	5,2	3,7	2,4	5,2
17.	4,4	2,9	6,2	4,4	2,9	6,2
18.	3,6	2,4	5,0	3,6	2,4	5,0
19.	4,3	2,8	6,1	4,3	2,8	6,1
20.	4,4	2,8	6,3	4,4	2,8	6,3
21.	4,0	2,7	5,6	4,0	2,6	5,6
22.	3,4	2,2	4,7	3,4	2,2	4,7
23.	3,5	2,3	4,9	3,5	2,3	4,9
24.	2,6	1,7	3,6	2,6	1,6	3,6
25.	2,6	1,8	3,7	2,6	1,7	3,6
26.	3,2	2,1	4,5	3,2	2,1	4,5
27.	2,5	1,6	3,5	2,5	1,6	3,5
28.	2,1	1,4	3,0	2,1	1,4	3,0
29.	1,9	1,2	2,6	1,9	1,2	2,6
30.	1,8	1,1	2,5	1,7	1,1	2,5

Szczegóły odnośnie przeprowadzonych badań oraz wyniki pomiarów zawarte są w Sprawozdaniu z badań nr 0110101018/OLS02 – **Załącznik 1.**

### 5.51 Olsztyn, Głowackiego

Stwierdza się, że w otoczeniu stacji:

– ID: 4778/5702(6446)/44019

- zmierzone, w trakcie pomiarów szerokopasmowych, wartości natężenia pola elektrycznego we wszystkich 30 z 30 punktów pomiarowych, nie przekraczają wartości granicznej 7 V/m;
- obliczone, na podstawie wyników pomiarów szerokopasmowych, wartości średniokwadratowe natężenia pola elektrycznego z uwzględnieniem oszacowanej

rozszerzonej niepewności pomiaru (przedział ufności 95%), we wszystkich 30 z 30 punktów pomiarowych, nie przekraczają wartości granicznej 7 V/m;

- c) obliczone, na podstawie wyników pomiarów selektywnych, wartości średniokwadratowe natężenia pola elektrycznego we wszystkich 30 z 30 punktów pomiarowych, nie przekraczają wartości granicznej 7 V/m;
- d) obliczone, na podstawie wyników pomiarów selektywnych, wartości średniokwadratowe natężenia pola elektrycznego z uwzględnieniem oszacowanej rozszerzonej niepewności pomiaru (przedział ufności 95%), we wszystkich 30 z 30 punktów pomiarowych, nie przekraczają wartości granicznej 7 V/m.

Tabl. 123 Wyniki pomiarów szerokopasmowych  
– Olsztyn, Głowackiego

<b>1</b>	<b>2</b>	<b>3</b>	<b>4</b>
<b>Lok.</b>	<b><math>E_{zm}</math></b>	<b><math>E_{zm}-U\%</math></b>	<b><math>E_{zm}+U\%</math></b>
-	<b>V/m</b>	<b>V/m</b>	<b>V/m</b>
1.	0,4	0,4	0,4
2.	0,8	0,6	1,1
3.	0,5	0,5	0,5
4.	0,9	0,6	1,3
5.	1,3	0,9	1,8
6.	1,3	0,8	1,8
7.	0,8	0,6	1,1
8.	0,5	0,5	0,7
9.	1,5	1,0	2,0
10.	1,4	1,0	2,0
11.	1,5	1,0	2,0
12.	0,9	0,6	1,3
13.	1,5	1,1	2,2
14.	1,2	0,9	1,6
15.	3,0	2,0	4,2
16.	1,7	1,2	2,3
17.	1,1	0,8	1,5
18.	0,9	0,6	1,2
19.	0,6	0,5	0,8
20.	1,4	1,0	1,9
21.	1,2	0,8	1,7
22.	1,3	0,9	1,8
23.	1,5	1,0	2,1
24.	1,2	0,8	1,6
25.	1,3	0,9	1,9
26.	1,3	0,9	1,8
27.	1,9	1,3	2,5
28.	2,2	1,5	3,0
29.	1,1	0,7	1,6
30.	0,9	0,6	1,2

Tabl. 124 Wyniki pomiarów selektywnych  
– Olsztyn, Głowackiego

1	2	3	4	5	6	7
Lok.	E	E-U%	E+U%	E <sub>BS</sub>	E <sub>BS</sub> -U%	E <sub>BS</sub> +U%
-	V/m	V/m	V/m	V/m	V/m	V/m
1.	0,4	0,4	0,5	0,4	0,3	0,4
2.	0,8	0,5	1,0	0,8	0,5	1,0
3.	0,4	0,4	0,5	0,4	0,3	0,5
4.	0,9	0,7	1,3	0,9	0,7	1,3
5.	1,4	1,0	2,0	1,4	1,0	2,0
6.	1,4	1,0	2,0	1,4	1,0	2,0
7.	0,8	0,6	1,2	0,8	0,5	1,2
8.	0,7	0,5	0,9	0,6	0,4	0,9
9.	2,4	1,6	3,3	2,4	1,6	3,3
10.	1,7	1,2	2,4	1,7	1,2	2,4
11.	1,9	1,3	2,6	1,8	1,2	2,6
12.	1,0	0,6	1,4	1,0	0,6	1,4
13.	2,0	1,4	2,8	2,0	1,4	2,8
14.	1,2	0,8	1,7	1,2	0,8	1,7
15.	3,9	2,5	5,4	3,9	2,5	5,4
16.	1,7	1,2	2,3	1,7	1,1	2,3
17.	1,1	0,8	1,5	1,1	0,8	1,5
18.	1,0	0,6	1,3	1,0	0,6	1,3
19.	0,7	0,5	1,0	0,7	0,4	0,9
20.	1,6	1,1	2,1	1,6	1,1	2,1
21.	0,6	0,4	0,8	0,5	0,4	0,8
22.	1,6	1,0	2,2	1,5	1,0	2,1
23.	1,6	1,1	2,3	1,6	1,1	2,3
24.	1,4	0,9	2,0	1,4	0,9	1,9
25.	1,5	1,0	2,2	1,5	1,0	2,1
26.	1,5	1,0	2,1	1,5	1,0	2,1
27.	2,3	1,5	3,2	2,3	1,5	3,2
28.	2,4	1,6	3,3	2,4	1,6	3,3
29.	1,4	0,9	2,0	1,3	0,9	1,9
30.	1,0	0,6	1,4	1,0	0,6	1,4

Szczegóły odnośnie przeprowadzonych badań oraz wyniki pomiarów zawarte są w Sprawozdaniu z badań nr 0110101018/OLS03 – **Załącznik 1.**

### 5.52 Olsztyn, Pl. Łódzki

Stwierdza się, że w otoczeniu stacji:

- ID: BT43916,
- ID: OLS1021B

a) zmierzone, w trakcie pomiarów szerokopasmowych, wartości natężenia pola elektrycznego we wszystkich 30 z 30 punktów pomiarowych, nie przekraczają wartości granicznej 7 V/m;

- b) obliczone, na podstawie wyników pomiarów szerokopasmowych, wartości średniokwadratowe natężenia pola elektrycznego z uwzględnieniem oszacowanej rozszerzonej niepewności pomiaru (przedział ufności 95%), we wszystkich 30 z 30 punktów pomiarowych, nie przekraczają wartości granicznej 7 V/m;
- c) obliczone, na podstawie wyników pomiarów selektywnych, wartości średniokwadratowe natężenia pola elektrycznego we wszystkich 30 z 30 punktów pomiarowych, nie przekraczają wartości granicznej 7 V/m;
- d) obliczone, na podstawie wyników pomiarów selektywnych, wartości średniokwadratowe natężenia pola elektrycznego z uwzględnieniem oszacowanej rozszerzonej niepewności pomiaru (przedział ufności 95%), we wszystkich 30 z 30 punktów pomiarowych, nie przekraczają wartości granicznej 7 V/m.

Tabl. 125 Wyniki pomiarów szerokopasmowych  
– Olsztyn, Pl. Łódzki

1	2	3	4
Lok.	$E_{zm}$	$E_{zm}-U\%$	$E_{zm}+U\%$
-	V/m	V/m	V/m
1.	1,4	0,9	1,9
2.	2,2	1,5	3,1
3.	1,6	1,1	2,3
4.	1,2	0,9	1,7
5.	1,4	0,9	1,9
6.	1,1	0,8	1,6
7.	0,4	0,4	0,4
8.	0,4	0,4	0,4
9.	0,7	0,6	0,9
10.	0,7	0,5	0,9
11.	1,8	1,2	2,5
12.	0,9	0,6	1,3
13.	1,4	0,9	1,9
14.	1,5	1,0	2,1
15.	1,7	1,1	2,3
16.	0,9	0,7	1,3
17.	1,0	0,7	1,4
18.	0,8	0,6	1,2
19.	1,1	0,7	1,5
20.	0,7	0,5	1,0
21.	0,7	0,5	0,9
22.	0,6	0,5	0,6
23.	1,7	1,2	2,4
24.	2,4	1,6	3,3
25.	0,9	0,7	1,3
26.	0,7	0,5	0,9
27.	1,1	0,8	1,5
28.	0,5	0,4	0,6
29.	2,1	1,3	2,9
30.	1,6	1,1	2,2

Tabl. 126 Wyniki pomiarów selektywnych  
– Olsztyn, Pl. Łódzki

1	2	3	4	5	6	7
Lok.	E	E-U%	E+U%	E <sub>BS</sub>	E <sub>BS</sub> -U%	E <sub>BS</sub> +U%
-	V/m	V/m	V/m	V/m	V/m	V/m
1.	1,6	1,0	2,2	1,6	1,0	2,2
2.	3,3	2,2	4,6	3,3	2,2	4,6
3.	2,5	1,7	3,4	2,4	1,6	3,4
4.	1,8	1,1	2,4	1,8	1,1	2,4
5.	2,7	1,8	3,8	2,7	1,8	3,8
6.	1,5	1,0	2,1	1,5	1,0	2,1
7.	0,4	0,4	0,4	0,4	0,4	0,4
8.	0,4	0,4	0,5	0,4	0,3	0,4
9.	0,8	0,6	1,0	0,8	0,5	1,0
10.	0,8	0,6	1,1	0,7	0,5	1,0
11.	2,3	1,5	3,3	2,3	1,5	3,3
12.	1,3	0,9	1,7	1,3	0,8	1,7
13.	2,1	1,4	3,0	2,1	1,4	3,0
14.	1,6	1,0	2,1	1,5	1,0	2,1
15.	1,9	1,2	2,6	1,9	1,2	2,6
16.	1,2	0,9	1,6	1,2	0,9	1,6
17.	1,2	0,9	1,7	1,2	0,8	1,7
18.	1,5	1,0	2,0	1,5	1,0	2,0
19.	1,4	0,9	1,9	1,4	0,9	1,9
20.	1,1	0,8	1,6	1,1	0,8	1,6
21.	0,9	0,6	1,2	0,9	0,6	1,2
22.	0,8	0,6	1,2	0,8	0,6	1,2
23.	2,0	1,4	2,8	2,0	1,4	2,8
24.	2,5	1,6	3,4	2,5	1,6	3,4
25.	1,0	0,7	1,4	1,0	0,7	1,4
26.	0,7	0,6	1,0	0,7	0,6	1,0
27.	1,0	0,7	1,4	1,0	0,7	1,4
28.	0,5	0,4	0,6	0,5	0,4	0,6
29.	2,5	1,7	3,4	2,5	1,7	3,4
30.	2,2	1,5	3,1	2,2	1,4	3,1

Szczegóły odnośnie przeprowadzonych badań oraz wyniki pomiarów zawarte są w Sprawozdaniu z badań nr 0110101018/OLS04 – **Załącznik 1.**

### 5.53 Olsztyn, Pstrowskiego

Stwierdza się, że w otoczeniu stacji:

- ID: OLS1011F
- a) zmierzone, w trakcie pomiarów szerokopasmowych, wartości natężenia pola elektrycznego we wszystkich 31 z 31 punktów pomiarowych, nie przekraczają wartości granicznej 7 V/m;
- b) obliczone, na podstawie wyników pomiarów szerokopasmowych, wartości średniokwadratowe natężenia pola elektrycznego z uwzględnieniem oszacowanej

rozszerzonej niepewności pomiaru (przedział ufności 95%), we wszystkich 31 z 31 punktów pomiarowych, nie przekraczają wartości granicznej 7 V/m;

- c) obliczone, na podstawie wyników pomiarów selektywnych, wartości średniokwadratowe natężenia pola elektrycznego we wszystkich 31 z 31 punktów pomiarowych, nie przekraczają wartości granicznej 7 V/m;
- d) obliczone, na podstawie wyników pomiarów selektywnych, wartości średniokwadratowe natężenia pola elektrycznego z uwzględnieniem oszacowanej rozszerzonej niepewności pomiaru (przedział ufności 95%), we wszystkich 31 z 31 punktów pomiarowych, nie przekraczają wartości granicznej 7 V/m.

Tabl. 127 Wyniki pomiarów szerokopasmowych  
– Olsztyn, Pstrowskiego

<b>1</b>	<b>2</b>	<b>3</b>	<b>4</b>
<b>Lok.</b>	<b><math>E_{zm}</math></b>	<b><math>E_{zm}-U\%</math></b>	<b><math>E_{zm}+U\%</math></b>
<b>-</b>	<b>V/m</b>	<b>V/m</b>	<b>V/m</b>
1.	2,3	1,6	3,3
2.	1,4	0,9	1,8
3.	1,2	0,7	1,6
4.	1,8	1,2	2,5
5.	1,7	1,1	2,3
6.	1,2	0,9	1,6
7.	0,9	0,6	1,2
8.	0,8	0,6	1,0
9.	1,2	0,8	1,6
10.	1,4	0,9	1,9
11.	1,1	0,7	1,4
12.	0,8	0,6	1,1
13.	1,1	0,8	1,5
14.	0,7	0,5	0,8
15.	1,2	0,8	1,6
16.	1,7	1,2	2,4
17.	0,7	0,6	0,9
18.	1,5	1,0	2,0
19.	0,9	0,7	1,3
20.	1,4	1,0	2,0
21.	0,9	0,7	1,3
22.	0,8	0,6	1,1
23.	1,2	0,8	1,6
24.	1,8	1,2	2,5
25.	2,6	1,8	3,7
26.	2,7	1,8	3,8
27.	0,7	0,6	0,9
28.	0,7	0,5	0,9
29.	0,6	0,5	0,8
30.	0,8	0,6	1,0
31.	0,6	0,5	0,8



Tabl. 128 Wyniki pomiarów selektywnych  
– Olsztyn, Pstrowskiego

1	2	3	4	5	6	7
Lok.	E	E-U%	E+U%	E <sub>BS</sub>	E <sub>BS</sub> -U%	E <sub>BS</sub> +U%
-	V/m	V/m	V/m	V/m	V/m	V/m
1.	2,4	1,6	3,3	2,4	1,6	3,3
2.	1,3	0,9	1,8	1,3	0,9	1,8
3.	1,1	0,7	1,5	1,1	0,7	1,5
4.	1,9	1,2	2,6	1,8	1,2	2,6
5.	2,2	1,4	3,0	2,1	1,4	2,8
6.	1,5	1,0	2,1	1,5	1,0	2,0
7.	1,1	0,8	1,6	1,1	0,7	1,5
8.	1,0	0,6	1,3	0,9	0,6	1,3
9.	1,5	1,0	2,1	1,5	1,0	2,1
10.	1,4	1,0	2,0	1,4	0,9	2,0
11.	1,2	0,8	1,6	1,2	0,8	1,6
12.	1,1	0,8	1,6	1,1	0,8	1,6
13.	1,5	1,0	2,1	1,5	1,0	2,1
14.	1,1	0,8	1,5	1,1	0,8	1,4
15.	1,4	1,0	2,0	1,4	1,0	2,0
16.	2,0	1,3	2,8	2,0	1,3	2,8
17.	0,9	0,7	1,2	0,9	0,7	1,2
18.	1,6	1,0	2,2	1,6	1,0	2,2
19.	1,2	0,8	1,6	1,2	0,8	1,6
20.	1,6	1,1	2,3	1,6	1,1	2,3
21.	1,2	0,9	1,6	1,2	0,9	1,6
22.	1,0	0,7	1,4	1,0	0,7	1,3
23.	1,7	1,2	2,4	1,7	1,2	2,4
24.	2,5	1,7	3,5	2,4	1,7	3,4
25.	3,1	2,0	4,3	3,1	2,0	4,3
26.	3,2	2,2	4,5	3,2	2,2	4,5
27.	0,7	0,5	0,9	0,7	0,5	0,9
28.	0,8	0,6	1,2	0,8	0,5	1,1
29.	0,7	0,6	0,8	0,6	0,6	0,8
30.	1,0	0,7	1,4	1,0	0,7	1,3
31.	0,9	0,6	1,1	0,8	0,6	1,1

Szczegóły odnośnie przeprowadzonych badań oraz wyniki pomiarów zawarte są w Sprawozdaniu z badań nr 0110101018/OLS05 – **Załącznik 1.**

#### 5.54 Olsztyn, Grunwaldzka

Stwierdza się, że w otoczeniu stacji:

- ID: BT42379,
- ID: 34020(44020N!)

a) zmierzone, w trakcie pomiarów szerokopasmowych, wartości natężenia pola elektrycznego we wszystkich 31 z 31 punktów pomiarowych, nie przekraczają wartości granicznej 7 V/m;

- b) obliczone, na podstawie wyników pomiarów szerokopasmowych, wartości średniokwadratowe natężenia pola elektrycznego z uwzględnieniem oszacowanej rozszerzonej niepewności pomiaru (przedział ufności 95%), we wszystkich 31 z 31 punktów pomiarowych, nie przekraczają wartości granicznej 7 V/m;
- c) obliczone, na podstawie wyników pomiarów selektywnych, wartości średniokwadratowe natężenia pola elektrycznego we wszystkich 31 z 31 punktów pomiarowych, nie przekraczają wartości granicznej 7 V/m;
- d) obliczone, na podstawie wyników pomiarów selektywnych, wartości średniokwadratowe natężenia pola elektrycznego z uwzględnieniem oszacowanej rozszerzonej niepewności pomiaru (przedział ufności 95%), we wszystkich 31 z 31 punktów pomiarowych, nie przekraczają wartości granicznej 7 V/m.

Tabl. 129 Wyniki pomiarów szerokopasmowych  
– Olsztyn, Grunwaldzka

1	2	3	4
Lok.	$E_{zm}$	$E_{zm}-U\%$	$E_{zm}+U\%$
-	V/m	V/m	V/m
1.	2,3	1,6	3,3
2.	1,4	0,9	1,8
3.	1,2	0,7	1,6
4.	1,8	1,2	2,5
5.	1,7	1,1	2,3
6.	1,2	0,9	1,6
7.	0,9	0,6	1,2
8.	0,8	0,6	1,0
9.	1,2	0,8	1,6
10.	1,4	0,9	1,9
11.	1,1	0,7	1,4
12.	0,8	0,6	1,1
13.	1,1	0,8	1,5
14.	0,7	0,5	0,8
15.	1,2	0,8	1,6
16.	1,7	1,2	2,4
17.	0,7	0,6	0,9
18.	1,5	1,0	2,0
19.	0,9	0,7	1,3
20.	1,4	1,0	2,0
21.	0,9	0,7	1,3
22.	0,8	0,6	1,1
23.	1,2	0,8	1,6
24.	1,8	1,2	2,5
25.	2,6	1,8	3,7
26.	2,7	1,8	3,8
27.	0,7	0,6	0,9
28.	0,7	0,5	0,9
29.	0,6	0,5	0,8
30.	0,8	0,6	1,0

1	2	3	4
Lok.	$E_{zm}$	$E_{zm}-U\%$	$E_{zm}+U\%$
-	V/m	V/m	V/m
31.	0,6	0,5	0,8

Tabl. 130 Wyniki pomiarów selektywnych  
– Olsztyn, Grunwaldzka

1	2	3	4	5	6	7
Lok.	E	E-U%	E+U%	$E_{BS}$	$E_{BS}-U\%$	$E_{BS}+U\%$
-	V/m	V/m	V/m	V/m	V/m	V/m
1.	0,7	0,5	1,0	0,7	0,5	0,9
2.	1,8	1,2	2,5	1,8	1,2	2,5
3.	1,3	0,9	1,8	1,3	0,9	1,8
4.	1,4	0,9	1,9	1,3	0,9	1,9
5.	0,5	0,4	0,5	0,5	0,4	0,5
6.	0,4	0,4	0,4	0,4	0,4	0,4
7.	1,3	0,9	1,8	1,3	0,9	1,8
8.	1,4	1,0	2,0	1,4	1,0	2,0
9.	0,3	0,3	0,3	0,3	0,3	0,3
10.	1,5	1,0	2,1	1,5	1,0	2,1
11.	1,6	1,1	2,3	1,6	1,0	2,2
12.	1,3	0,9	1,9	1,3	0,9	1,9
13.	0,4	0,4	0,4	0,4	0,4	0,4
14.	1,3	0,9	1,9	1,3	0,9	1,9
15.	1,1	0,7	1,5	1,1	0,7	1,5
16.	1,7	1,2	2,5	1,7	1,2	2,5
17.	2,4	1,6	3,3	2,4	1,6	3,3
18.	2,0	1,3	2,7	2,0	1,3	2,7
19.	2,4	1,6	3,4	2,4	1,6	3,4
20.	3,6	2,4	5,1	3,6	2,4	5,1
21.	1,9	1,3	2,7	1,9	1,3	2,7
22.	1,8	1,2	2,5	1,8	1,2	2,5
23.	1,3	0,9	1,8	1,3	0,9	1,8
24.	0,6	0,5	0,8	0,6	0,4	0,8
25.	1,2	0,8	1,6	1,2	0,8	1,6
26.	0,6	0,5	0,7	0,5	0,4	0,7
27.	0,4	0,4	0,4	0,4	0,4	0,4
28.	1,1	0,7	1,6	1,1	0,7	1,5
29.	1,0	0,7	1,4	1,0	0,7	1,4
30.	0,7	0,5	0,9	0,7	0,5	0,9
31.	0,7	0,5	1,0	0,7	0,5	0,9

Szczegóły odnośnie przeprowadzonych badań oraz wyniki pomiarów zawarte są w Sprawozdaniu z badań nr 0110101018/OLS06 – **Załącznik 1.**

### 5.55 Opole, Nowowiejskiego

Stwierdza się, że w otoczeniu stacji:

– ID: OPO1027\_D

- zmierzone, w trakcie pomiarów szerokopasmowych, wartości natężenia pola elektrycznego we wszystkich 30 z 30 punktów pomiarowych, nie przekraczają wartości granicznej 7 V/m;
- obliczone, na podstawie wyników pomiarów szerokopasmowych, wartości średniokwadratowe natężenia pola elektrycznego z uwzględnieniem oszacowanej rozszerzonej niepewności pomiaru (przedział ufności 95%), we wszystkich 30 z 30 punktów pomiarowych, nie przekraczają wartości granicznej 7 V/m;
- obliczone, na podstawie wyników pomiarów selektywnych, wartości średniokwadratowe natężenia pola elektrycznego we wszystkich 30 z 30 punktów pomiarowych, nie przekraczają wartości granicznej 7 V/m;
- obliczone, na podstawie wyników pomiarów selektywnych, wartości średniokwadratowe natężenia pola elektrycznego z uwzględnieniem oszacowanej rozszerzonej niepewności pomiaru (przedział ufności 95%), we wszystkich 30 z 30 punktów pomiarowych, nie przekraczają wartości granicznej 7 V/m.

Tabl. 131 Wyniki pomiarów szerokopasmowych  
– Opole, Nowowiejskiego

1	2	3	4
Lok.	$E_{zm}$	$E_{zm-U\%}$	$E_{zm+U\%}$
-	V/m	V/m	V/m
1.	0,2	0,1	0,3
2.	0,5	0,4	0,6
3.	0,5	0,3	0,7
4.	0,4	0,3	0,5
5.	0,5	0,4	0,7
6.	0,5	0,3	0,6
7.	0,7	0,5	1,0
8.	0,2	0,2	0,2
9.	0,8	0,6	1,1
10.	2,3	1,5	3,3
11.	1,1	0,8	1,5
12.	0,9	0,6	1,3
13.	0,6	0,4	0,8
14.	0,6	0,5	0,7
15.	0,3	0,2	0,4
16.	0,8	0,5	1,1
17.	0,8	0,6	1,2
18.	1,3	0,9	1,8
19.	0,7	0,6	1,0
20.	0,5	0,4	0,6
21.	0,3	0,3	0,3
22.	0,7	0,5	1,0

1	2	3	4
Lok.	E <sub>zm</sub>	E <sub>zm</sub> -U%	E <sub>zm</sub> +U%
-	V/m	V/m	V/m
23.	0,3	0,3	0,3
24.	0,2	0,2	0,2
25.	0,2	0,2	0,2
26.	0,2	0,2	0,2
27.	0,4	0,4	0,5
28.	0,5	0,4	0,7
29.	0,7	0,5	0,9
30.	0,4	0,3	0,4

Tabl. 132 Wyniki pomiarów selektywnych  
– Opole, Nowowiejskiego

1	2	3	4	5	6	7
Lok.	E	E-U%	E+U%	E <sub>BS</sub>	E <sub>BS</sub> -U%	E <sub>BS</sub> +U%
-	V/m	V/m	V/m	V/m	V/m	V/m
1.	0,3	0,2	0,4	0,2	0,2	0,2
2.	1,3	0,9	1,9	1,3	0,9	1,9
3.	0,9	0,7	1,4	0,9	0,6	1,4
4.	0,8	0,5	1,1	0,8	0,5	1,0
5.	0,7	0,5	1,0	0,7	0,5	1,0
6.	0,7	0,5	1,1	0,7	0,5	1,1
7.	1,2	0,8	1,7	1,2	0,8	1,7
8.	0,5	0,3	0,6	0,4	0,3	0,6
9.	1,5	1,0	2,1	1,5	1,0	2,1
10.	2,0	1,3	2,8	2,0	1,3	2,8
11.	2,2	1,4	3,1	2,2	1,4	3,1
12.	1,5	0,9	2,1	1,5	0,9	2,1
13.	0,9	0,6	1,2	0,9	0,6	1,2
14.	0,9	0,5	1,2	0,9	0,5	1,2
15.	0,5	0,3	0,6	0,5	0,3	0,6
16.	1,7	1,1	2,4	1,7	1,1	2,4
17.	1,7	1,1	2,4	1,7	1,0	2,3
18.	2,0	1,2	2,8	2,0	1,2	2,8
19.	1,9	1,2	2,7	1,9	1,2	2,7
20.	0,8	0,6	1,2	0,8	0,6	1,1
21.	0,4	0,3	0,5	0,4	0,3	0,5
22.	0,9	0,6	1,2	0,8	0,6	1,1
23.	0,4	0,3	0,4	0,3	0,3	0,4
24.	0,3	0,3	0,3	0,3	0,3	0,3
25.	0,3	0,3	0,4	0,3	0,3	0,4
26.	0,3	0,3	0,3	0,2	0,2	0,2
27.	0,3	0,3	0,3	0,3	0,3	0,3
28.	0,8	0,6	1,1	0,8	0,6	1,1
29.	0,9	0,6	1,3	0,9	0,6	1,3
30.	0,4	0,4	0,5	0,4	0,4	0,5

Szczegóły odnośnie przeprowadzonych badań oraz wyniki pomiarów zawarte są w Sprawozdaniu z badań nr 0110101018/OPO01 – **Załącznik 1.**

### 5.56 Opole, Sosnowskiego

Stwierdza się, że w otoczeniu stacji:

- ID: OPO1017\_A
- a) zmierzone, w trakcie pomiarów szerokopasmowych, wartości natężenia pola elektrycznego we wszystkich 30 z 30 punktów pomiarowych, nie przekraczają wartości granicznej 7 V/m;
- b) obliczone, na podstawie wyników pomiarów szerokopasmowych, wartości średniokwadratowe natężenia pola elektrycznego z uwzględnieniem oszacowanej rozszerzonej niepewności pomiaru (przedział ufności 95%), we wszystkich 30 z 30 punktów pomiarowych, nie przekraczają wartości granicznej 7 V/m;
- c) obliczone, na podstawie wyników pomiarów selektywnych, wartości średniokwadratowe natężenia pola elektrycznego we wszystkich 30 z 30 punktów pomiarowych, nie przekraczają wartości granicznej 7 V/m;
- d) obliczone, na podstawie wyników pomiarów selektywnych, wartości średniokwadratowe natężenia pola elektrycznego z uwzględnieniem oszacowanej rozszerzonej niepewności pomiaru (przedział ufności 95%), w 3 z 30 punktów pomiarowych, przekraczają wartość graniczną 7 V/m;

Tabl. 133 Wyniki pomiarów szerokopasmowych  
– Opole, Sosnowskiego

1	2	3	4
Lok.	$E_{zm}$	$E_{zm}-U\%$	$E_{zm}+U\%$
-	V/m	V/m	V/m
1.	3,3	2,2	4,6
2.	4,1	2,7	5,7
3.	1,0	0,7	1,4
4.	0,8	0,6	1,0
5.	0,6	0,5	0,7
6.	0,5	0,4	0,6
7.	0,5	0,3	0,7
8.	0,5	0,4	0,7
9.	0,9	0,7	1,3
10.	2,3	1,5	3,3
11.	1,7	1,1	2,3
12.	1,2	0,9	1,7
13.	1,2	0,8	1,7
14.	1,8	1,2	2,5
15.	2,1	1,4	3,0
16.	3,4	2,3	4,8
17.	2,1	1,4	2,9
18.	1,1	0,9	1,6
19.	1,1	0,8	1,5

1	2	3	4
Lok.	E <sub>zm</sub>	E <sub>zm</sub> -U%	E <sub>zm</sub> +U%
-	V/m	V/m	V/m
20.	1,8	1,2	2,5
21.	1,6	1,0	2,3
22.	1,2	0,8	1,7
23.	2,6	1,8	3,6
24.	0,4	0,4	0,4
25.	0,6	0,5	0,9
26.	0,5	0,4	0,6
27.	0,6	0,5	0,7
28.	0,5	0,4	0,7
29.	1,9	1,3	2,6
30.	1,4	1,0	2,0

Tabl. 134 Wyniki pomiarów selektywnych  
– Opole, Sosnowskiego

1	2	3	4	5	6	7
Lok.	E	E-U%	E+U%	E <sub>BS</sub>	E <sub>BS</sub> -U%	E <sub>BS</sub> +U%
-	V/m	V/m	V/m	V/m	V/m	V/m
1.	5,9	3,9	8,3	5,9	3,9	8,3
2.	5,4	3,5	7,5	5,3	3,5	7,5
3.	1,2	0,8	1,6	1,1	0,8	1,6
4.	0,8	0,5	1,1	0,8	0,5	1,1
5.	0,6	0,4	0,8	0,6	0,4	0,8
6.	0,8	0,6	1,1	0,8	0,6	1,1
7.	0,9	0,6	1,4	0,9	0,6	1,4
8.	1,3	0,9	1,8	1,3	0,9	1,8
9.	2,0	1,4	2,8	2,0	1,4	2,8
10.	4,2	2,7	6,0	4,2	2,7	6,0
11.	2,2	1,5	3,1	2,2	1,5	3,1
12.	1,3	0,9	1,8	1,3	0,9	1,8
13.	1,6	1,1	2,3	1,6	1,1	2,3
14.	2,9	1,9	4,0	2,8	1,9	3,9
15.	3,1	2,1	4,3	3,1	2,0	4,3
16.	5,6	3,7	7,8	5,6	3,6	7,8
17.	3,1	2,1	4,3	3,0	2,0	4,1
18.	2,1	1,4	3,0	2,1	1,4	3,0
19.	1,5	0,9	2,0	1,5	0,9	2,0
20.	2,4	1,5	3,4	2,4	1,5	3,4
21.	2,4	1,5	3,3	2,4	1,5	3,3
22.	1,2	0,8	1,7	1,2	0,8	1,7
23.	4,8	3,1	6,7	4,8	3,1	6,7
24.	0,6	0,5	0,8	0,6	0,5	0,8
25.	1,1	0,7	1,6	1,1	0,7	1,6
26.	0,9	0,6	1,3	0,9	0,6	1,3
27.	0,5	0,5	0,6	0,5	0,4	0,6
28.	0,7	0,5	1,0	0,7	0,5	1,0

1	2	3	4	5	6	7
Lok.	E	E-U%	E+U%	E <sub>BS</sub>	E <sub>BS</sub> -U%	E <sub>BS</sub> +U%
-	V/m	V/m	V/m	V/m	V/m	V/m
29.	3,8	2,4	5,5	3,8	2,4	5,5
30.	2,1	1,4	2,9	2,1	1,4	2,9

Szczegóły odnośnie przeprowadzonych badań oraz wyniki pomiarów zawarte są w Sprawozdaniu z badań nr 0110101018/OPO02 – **Załącznik 1.**

### 5.57 Opole, Jerzego i Ryszarda Kowalczyków

Stwierdza się, że w otoczeniu stacji:

- ID: OPO1024\_A
- a) zmierzone, w trakcie pomiarów szerokopasmowych, wartości natężenia pola elektrycznego we wszystkich 30 z 30 punktów pomiarowych, nie przekraczają wartości granicznej 7 V/m;
- b) obliczone, na podstawie wyników pomiarów szerokopasmowych, wartości średniokwadratowe natężenia pola elektrycznego z uwzględnieniem oszacowanej rozszerzonej niepewności pomiaru (przedział ufności 95%), we wszystkich 30 z 30 punktów pomiarowych, nie przekraczają wartości granicznej 7 V/m;
- c) obliczone, na podstawie wyników pomiarów selektywnych, wartości średniokwadratowe natężenia pola elektrycznego we wszystkich 30 z 30 punktów pomiarowych, nie przekraczają wartości granicznej 7 V/m;
- d) obliczone, na podstawie wyników pomiarów selektywnych, wartości średniokwadratowe natężenia pola elektrycznego z uwzględnieniem oszacowanej rozszerzonej niepewności pomiaru (przedział ufności 95%), we wszystkich 30 z 30 punktów pomiarowych, nie przekraczają wartości granicznej 7 V/m.

Tabl. 135 Wyniki pomiarów szerokopasmowych  
– Opole, Jerzego i Ryszarda Kowalczyków

1	2	3	4
Lok.	E <sub>zm</sub>	E <sub>zm</sub> -U%	E <sub>zm</sub> +U%
-	V/m	V/m	V/m
1.	0,9	0,6	1,3
2.	0,5	0,3	0,7
3.	0,6	0,4	0,8
4.	0,2	0,2	0,2
5.	0,3	0,2	0,4
6.	1,0	0,7	1,5
7.	1,5	0,9	2,2
8.	0,3	0,3	0,3
9.	0,3	0,3	0,3
10.	0,3	0,3	0,3
11.	1,2	0,8	1,7
12.	0,7	0,5	1,0
13.	1,2	0,8	1,8



1	2	3	4
Lok.	E <sub>zm</sub>	E <sub>zm</sub> -U%	E <sub>zm</sub> +U%
-	V/m	V/m	V/m
14.	0,5	0,3	0,7
15.	0,4	0,3	0,5
16.	0,4	0,3	0,6
17.	0,4	0,3	0,6
18.	0,3	0,3	0,4
19.	0,4	0,3	0,6
20.	0,3	0,3	0,3
21.	1,0	0,7	1,4
22.	1,0	0,7	1,4
23.	1,0	0,7	1,5
24.	0,3	0,3	0,4
25.	0,8	0,5	1,1
26.	2,3	1,6	3,2
27.	2,6	1,6	3,6
28.	0,6	0,4	0,8
29.	0,7	0,5	0,9
30.	0,6	0,4	0,9

Tabl. 136 Wyniki pomiarów selektywnych  
– Opole, Jerzego i Ryszarda Kowalczyków

1	2	3	4	5	6	7
Lok.	E	E-U%	E+U%	E <sub>BS</sub>	E <sub>BS</sub> -U%	E <sub>BS</sub> +U%
-	V/m	V/m	V/m	V/m	V/m	V/m
1.	1,7	1,2	2,4	1,7	1,2	2,4
2.	0,9	0,6	1,3	0,9	0,6	1,3
3.	1,3	0,8	1,8	1,3	0,8	1,8
4.	0,4	0,3	0,5	0,4	0,3	0,5
5.	0,5	0,3	0,7	0,5	0,3	0,7
6.	1,4	1,0	2,0	1,4	1,0	2,0
7.	2,8	1,8	3,9	2,8	1,8	3,9
8.	0,3	0,3	0,4	0,3	0,3	0,4
9.	0,4	0,3	0,6	0,4	0,3	0,6
10.	0,6	0,5	0,9	0,6	0,5	0,9
11.	2,6	1,6	3,7	2,6	1,6	3,7
12.	1,6	1,1	2,2	1,6	1,0	2,2
13.	3,2	2,1	4,5	3,2	2,1	4,5
14.	1,2	0,8	1,7	1,2	0,7	1,7
15.	0,7	0,4	1,0	0,7	0,4	1,0
16.	1,2	0,8	1,7	1,2	0,8	1,7
17.	0,5	0,4	0,7	0,5	0,3	0,7
18.	0,6	0,4	0,9	0,6	0,4	0,9
19.	0,7	0,5	1,1	0,7	0,5	1,1
20.	0,3	0,3	0,4	0,3	0,3	0,4
21.	2,1	1,4	2,9	2,1	1,4	2,9
22.	2,2	1,5	3,1	2,2	1,5	3,1

1	2	3	4	5	6	7
Lok.	E	E-U%	E+U%	E <sub>BS</sub>	E <sub>BS</sub> -U%	E <sub>BS</sub> +U%
-	V/m	V/m	V/m	V/m	V/m	V/m
23.	1,5	1,0	2,0	1,5	1,0	2,0
24.	0,7	0,4	0,9	0,7	0,4	0,9
25.	2,4	1,5	3,4	2,4	1,5	3,4
26.	3,9	2,6	5,4	3,9	2,6	5,4
27.	4,2	2,8	5,8	4,2	2,8	5,8
28.	0,8	0,6	1,1	0,8	0,6	1,1
29.	1,3	0,9	1,8	1,3	0,9	1,8
30.	0,9	0,6	1,3	0,9	0,6	1,3

Szczegóły odnośnie przeprowadzonych badań oraz wyniki pomiarów zawarte są w Sprawozdaniu z badań nr 0110101018/OPO03 – **Załącznik 1.**

### 5.58 Opole, Wschodnia

Stwierdza się, że w otoczeniu stacji:

- ID: 37214N!,
- ID: OPO1022\_E,
- ID: OPO22610

- a) zmierzone, w trakcie pomiarów szerokopasmowych, wartości natężenia pola elektrycznego we wszystkich 30 z 30 punktów pomiarowych, nie przekraczają wartości granicznej 7 V/m;
- b) obliczone, na podstawie wyników pomiarów szerokopasmowych, wartości średniokwadratowe natężenia pola elektrycznego z uwzględnieniem oszacowanej rozszerzonej niepewności pomiaru (przedział ufności 95%), we wszystkich 30 z 30 punktów pomiarowych, nie przekraczają wartości granicznej 7 V/m;
- c) obliczone, na podstawie wyników pomiarów selektywnych, wartości średniokwadratowe natężenia pola elektrycznego we wszystkich 30 z 30 punktów pomiarowych, nie przekraczają wartości granicznej 7 V/m;
- d) obliczone, na podstawie wyników pomiarów selektywnych, wartości średniokwadratowe natężenia pola elektrycznego z uwzględnieniem oszacowanej rozszerzonej niepewności pomiaru (przedział ufności 95%), we wszystkich 30 z 30 punktów pomiarowych, nie przekraczają wartości granicznej 7 V/m.

Tabl. 137 Wyniki pomiarów szerokopasmowych  
– Opole, Wschodnia

1	2	3	4
Lok.	E <sub>zm</sub>	E <sub>zm</sub> -U%	E <sub>zm</sub> +U%
-	V/m	V/m	V/m
1.	1,6	1,1	2,2
2.	1,2	0,8	1,7
3.	1,9	1,3	2,6
4.	0,7	0,6	1,0
5.	1,1	0,7	1,5

1	2	3	4
Lok.	E <sub>zm</sub>	E <sub>zm</sub> -U%	E <sub>zm</sub> +U%
-	V/m	V/m	V/m
6.	0,5	0,4	0,6
7.	0,3	0,3	0,3
8.	1,1	0,8	1,5
9.	1,5	1,0	2,1
10.	1,4	0,9	1,9
11.	1,7	1,2	2,4
12.	1,7	1,1	2,3
13.	2,5	1,7	3,5
14.	1,9	1,2	2,7
15.	0,5	0,4	0,6
16.	0,8	0,6	1,0
17.	1,5	1,0	2,1
18.	0,8	0,7	1,1
19.	3,8	2,5	5,3
20.	1,5	1,0	2,2
21.	1,2	0,8	1,7
22.	0,9	0,6	1,2
23.	0,6	0,5	0,7
24.	1,0	0,7	1,4
25.	0,7	0,6	0,9
26.	0,4	0,3	0,5
27.	1,1	0,7	1,5
28.	1,3	0,8	1,8
29.	1,5	1,0	2,1
30.	0,8	0,6	1,0

Tabl. 138 Wyniki pomiarów selektywnych  
– Opole, Wschodnia

1	2	3	4	5	6	7
Lok.	E	E-U%	E+U%	E <sub>BS</sub>	E <sub>BS</sub> -U%	E <sub>BS</sub> +U%
-	V/m	V/m	V/m	V/m	V/m	V/m
1.	2,0	1,3	2,9	1,6	1,1	2,3
2.	1,7	1,1	2,4	1,5	1,1	2,2
3.	2,2	1,5	3,1	2,1	1,4	2,9
4.	0,7	0,6	1,1	0,5	0,4	0,6
5.	0,7	0,5	0,9	0,6	0,4	0,8
6.	0,6	0,4	0,9	0,6	0,4	0,8
7.	0,4	0,4	0,4	0,4	0,4	0,4
8.	1,2	0,7	1,6	1,0	0,6	1,4
9.	1,5	1,0	2,1	1,2	0,8	1,7
10.	1,5	1,0	2,1	1,0	0,6	1,4
11.	2,0	1,3	2,7	1,6	1,0	2,2
12.	2,0	1,4	2,8	1,8	1,2	2,5
13.	3,7	2,4	5,1	3,6	2,4	5,0
14.	2,7	1,8	3,7	2,5	1,7	3,5

1	2	3	4	5	6	7
Lok.	E	E-U%	E+U%	E <sub>BS</sub>	E <sub>BS</sub> -U%	E <sub>BS</sub> +U%
-	V/m	V/m	V/m	V/m	V/m	V/m
15.	0,7	0,5	1,0	0,7	0,5	0,9
16.	0,7	0,5	0,9	0,7	0,5	0,9
17.	1,9	1,3	2,7	1,9	1,2	2,7
18.	0,8	0,6	1,1	0,5	0,4	0,6
19.	4,1	2,7	5,6	3,8	2,5	5,3
20.	1,5	1,0	2,1	1,1	0,7	1,6
21.	1,4	0,9	1,9	1,1	0,8	1,6
22.	0,8	0,5	1,1	0,7	0,4	1,1
23.	0,6	0,4	0,9	0,6	0,4	0,8
24.	1,3	0,9	1,9	1,2	0,9	1,8
25.	0,9	0,6	1,2	0,8	0,5	1,2
26.	0,2	0,2	0,2	0,2	0,2	0,2
27.	1,4	0,9	1,9	1,2	0,8	1,7
28.	1,9	1,2	2,5	1,7	1,1	2,4
29.	1,8	1,1	2,4	1,5	1,0	2,1
30.	0,8	0,6	1,0	0,5	0,4	0,5

Szczegóły odnośnie przeprowadzonych badań oraz wyniki pomiarów zawarte są w Sprawozdaniu z badań nr 0110101018/OPO04 – **Załącznik 1.**

### 5.59 Opole, Korfantego

Stwierdza się, że w otoczeniu stacji:

- ID: 2467,
- ID: 53113,
- ID: BT20665,
- ID: OPO1001

- a) zmierzone, w trakcie pomiarów szerokopasmowych, wartości natężenia pola elektrycznego we wszystkich 30 z 30 punktów pomiarowych, nie przekraczają wartości granicznej 7 V/m;
- b) obliczone, na podstawie wyników pomiarów szerokopasmowych, wartości średniokwadratowe natężenia pola elektrycznego z uwzględnieniem oszacowanej rozszerzonej niepewności pomiaru (przedział ufności 95%), we wszystkich 30 z 30 punktów pomiarowych, nie przekraczają wartości granicznej 7 V/m;
- c) obliczone, na podstawie wyników pomiarów selektywnych, wartości średniokwadratowe natężenia pola elektrycznego we wszystkich 30 z 30 punktów pomiarowych, nie przekraczają wartości granicznej 7 V/m;
- d) obliczone, na podstawie wyników pomiarów selektywnych, wartości średniokwadratowe natężenia pola elektrycznego z uwzględnieniem oszacowanej rozszerzonej niepewności pomiaru (przedział ufności 95%), we wszystkich 30 z 30 punktów pomiarowych, nie przekraczają wartości granicznej 7 V/m.

Tabl. 139 Wyniki pomiarów szerokopasmowych  
– Opole, Korfantego

1	2	3	4
Lok.	$E_{zm}$	$E_{zm-U\%}$	$E_{zm+U\%}$
-	V/m	V/m	V/m
1.	0,9	0,7	1,3
2.	1,3	0,9	1,8
3.	0,9	0,6	1,2
4.	1,1	0,7	1,5
5.	1,0	0,7	1,3
6.	1,6	1,0	2,2
7.	0,4	0,3	0,5
8.	0,8	0,6	1,0
9.	1,2	0,9	1,7
10.	1,3	0,9	1,8
11.	1,1	0,8	1,5
12.	1,0	0,7	1,4
13.	1,6	1,0	2,2
14.	1,8	1,2	2,5
15.	1,0	0,7	1,3
16.	1,6	1,0	2,2
17.	0,5	0,4	0,7
18.	0,9	0,6	1,2
19.	1,8	1,2	2,6
20.	1,6	1,1	2,3
21.	0,3	0,3	0,3
22.	0,7	0,5	0,9
23.	0,4	0,4	0,5
24.	0,2	0,2	0,2
25.	0,6	0,5	0,8
26.	1,2	0,8	1,6
27.	2,3	1,5	3,2
28.	0,8	0,5	1,2
29.	1,0	0,7	1,3
30.	0,7	0,6	1,0

Tabl. 140 Wyniki pomiarów selektywnych  
– Opole, Korfantego

1	2	3	4	5	6	7
Lok.	E	E-U%	E+U%	$E_{BS}$	$E_{BS-U\%}$	$E_{BS+U\%}$
-	V/m	V/m	V/m	V/m	V/m	V/m
1.	1,3	0,9	1,9	1,2	0,9	1,8
2.	1,5	1,0	2,1	1,4	1,0	2,0
3.	1,1	0,7	1,5	1,0	0,7	1,4
4.	1,6	1,1	2,1	1,5	1,0	2,0
5.	1,1	0,7	1,5	0,9	0,6	1,2
6.	1,6	1,1	2,2	1,5	1,0	2,1

1	2	3	4	5	6	7
Lok.	E	E-U%	E+U%	E <sub>BS</sub>	E <sub>BS</sub> -U%	E <sub>BS</sub> +U%
-	V/m	V/m	V/m	V/m	V/m	V/m
7.	0,6	0,4	0,8	0,5	0,4	0,7
8.	0,8	0,5	1,1	0,6	0,4	0,9
9.	1,1	0,8	1,6	0,7	0,5	1,0
10.	1,3	0,8	1,8	1,1	0,7	1,6
11.	1,2	0,8	1,7	0,9	0,6	1,3
12.	1,1	0,8	1,5	0,6	0,4	0,7
13.	2,0	1,3	2,9	1,9	1,2	2,7
14.	2,1	1,4	2,9	2,0	1,3	2,7
15.	1,2	0,8	1,7	1,0	0,7	1,4
16.	1,9	1,2	2,7	1,8	1,1	2,4
17.	0,6	0,5	0,8	0,5	0,4	0,6
18.	1,0	0,7	1,4	1,0	0,7	1,4
19.	2,0	1,3	2,9	1,7	1,2	2,5
20.	1,6	1,0	2,3	1,3	0,8	1,9
21.	0,3	0,3	0,3	0,3	0,3	0,3
22.	0,7	0,5	0,9	0,5	0,4	0,7
23.	0,4	0,4	0,5	0,3	0,3	0,3
24.	0,4	0,3	0,5	0,4	0,3	0,5
25.	0,7	0,5	0,9	0,5	0,4	0,7
26.	1,4	0,9	2,0	1,2	0,8	1,6
27.	2,9	1,9	4,1	2,8	1,8	3,9
28.	1,0	0,7	1,4	1,0	0,7	1,4
29.	1,0	0,6	1,3	0,9	0,6	1,3
30.	1,0	0,7	1,4	1,0	0,6	1,4

Szczegóły odnośnie przeprowadzonych badań oraz wyniki pomiarów zawarte są w Sprawozdaniu z badań nr 0110101018/OPO05 – **Załącznik 1.**

### 5.60 Opole, Wrocławska

Stwierdza się, że w otoczeniu stacji:

– ID: OPO1030\_B

- zmierzone, w trakcie pomiarów szerokopasmowych, wartości natężenia pola elektrycznego we wszystkich 30 z 30 punktów pomiarowych, nie przekraczają wartości granicznej 7 V/m;
- obliczone, na podstawie wyników pomiarów szerokopasmowych, wartości średniokwadratowe natężenia pola elektrycznego z uwzględnieniem oszacowanej rozszerzonej niepewności pomiaru (przedział ufności 95%), we wszystkich 30 z 30 punktów pomiarowych, nie przekraczają wartości granicznej 7 V/m;
- obliczone, na podstawie wyników pomiarów selektywnych, wartości średniokwadratowe natężenia pola elektrycznego we wszystkich 30 z 30 punktów pomiarowych, nie przekraczają wartości granicznej 7 V/m;
- obliczone, na podstawie wyników pomiarów selektywnych, wartości średniokwadratowe natężenia pola elektrycznego z uwzględnieniem oszacowanej

rozszerzonej niepewności pomiaru (przedział ufności 95%), we wszystkich 30 z 30 punktów pomiarowych, nie przekraczają wartości granicznej 7 V/m.

Tabl. 141 Wyniki pomiarów szerokopasmowych  
– Opole, Wrocławska

1	2	3	4
Lok.	$E_{zm}$	$E_{zm}-U\%$	$E_{zm}+U\%$
-	V/m	V/m	V/m
1.	2,1	1,3	2,9
2.	1,8	1,2	2,6
3.	2,2	1,5	3,1
4.	1,4	0,9	2,0
5.	2,1	1,4	3,1
6.	0,7	0,5	0,9
7.	0,3	0,3	0,3
8.	1,3	0,8	1,8
9.	2,4	1,5	3,3
10.	2,0	1,3	2,8
11.	1,7	1,1	2,4
12.	1,7	1,1	2,4
13.	1,3	0,9	1,8
14.	1,6	1,1	2,3
15.	0,6	0,5	0,8
16.	0,8	0,5	1,1
17.	0,5	0,4	0,6
18.	0,9	0,7	1,3
19.	1,4	0,9	2,0
20.	1,5	1,0	2,1
21.	1,1	0,8	1,6
22.	1,4	0,9	2,0
23.	1,1	0,8	1,5
24.	1,1	0,7	1,6
25.	0,7	0,5	0,9
26.	1,4	0,9	1,9
27.	1,0	0,7	1,5
28.	1,2	0,8	1,7
29.	0,6	0,4	0,8
30.	0,6	0,5	0,7

Tabl. 142 Wyniki pomiarów selektywnych  
– Opole, Wrocławska

1	2	3	4	5	6	7
Lok.	E	E-U%	E+U%	$E_{BS}$	$E_{BS}-U\%$	$E_{BS}+U\%$
-	V/m	V/m	V/m	V/m	V/m	V/m
1.	2,9	1,9	4,1	2,9	1,9	4,1
2.	3,0	1,9	4,2	3,0	1,9	4,2
3.	2,8	1,9	3,9	2,8	1,9	3,9

1	2	3	4	5	6	7
Lok.	E	E-U%	E+U%	E <sub>BS</sub>	E <sub>BS</sub> -U%	E <sub>BS</sub> +U%
-	V/m	V/m	V/m	V/m	V/m	V/m
4.	2,0	1,3	2,8	2,0	1,3	2,8
5.	3,0	2,0	4,3	3,0	2,0	4,3
6.	1,0	0,6	1,4	1,0	0,6	1,4
7.	0,3	0,3	0,3	0,3	0,3	0,3
8.	2,0	1,3	2,8	2,0	1,3	2,8
9.	2,8	1,8	3,9	2,8	1,8	3,9
10.	4,4	2,7	6,3	4,4	2,7	6,2
11.	3,3	2,1	4,7	3,3	2,1	4,7
12.	2,8	1,8	3,9	2,8	1,8	3,9
13.	2,7	1,7	3,8	2,7	1,7	3,8
14.	3,1	2,0	4,4	3,1	2,0	4,4
15.	1,1	0,7	1,5	1,1	0,7	1,5
16.	1,4	0,9	2,0	1,4	0,9	2,0
17.	0,8	0,6	1,2	0,8	0,6	1,2
18.	1,7	1,1	2,5	1,7	1,1	2,5
19.	1,9	1,3	2,7	1,9	1,2	2,7
20.	2,5	1,6	3,5	2,5	1,6	3,5
21.	1,7	1,1	2,4	1,7	1,1	2,4
22.	2,7	1,7	3,8	2,7	1,7	3,8
23.	1,6	1,1	2,3	1,6	1,1	2,3
24.	1,2	0,8	1,7	1,2	0,8	1,7
25.	2,1	1,4	2,9	2,1	1,4	2,9
26.	2,1	1,3	2,9	2,1	1,3	2,9
27.	1,7	1,1	2,4	1,7	1,1	2,4
28.	1,3	0,9	1,8	1,3	0,9	1,8
29.	0,7	0,4	1,0	0,7	0,4	1,0
30.	0,8	0,5	1,1	0,8	0,5	1,1

Szczegóły odnośnie przeprowadzonych badań oraz wyniki pomiarów zawarte są w Sprawozdaniu z badań nr 0110101018/OPO06 – **Załącznik 1**.

### 5.61 Poznań, Dąbrowskiego

Stwierdza się, że w otoczeniu stacji:

- ID: BT33364,
- ID: 40381

- a) zmierzone, w trakcie pomiarów szerokopasmowych, wartości natężenia pola elektrycznego we wszystkich 30 z 30 punktów pomiarowych, nie przekraczają wartości granicznej 7 V/m;
- b) obliczone, na podstawie wyników pomiarów szerokopasmowych, wartości średniokwadratowe natężenia pola elektrycznego z uwzględnieniem oszacowanej rozszerzonej niepewności pomiaru (przedział ufności 95%), we wszystkich 30 z 30 punktów pomiarowych, nie przekraczają wartości granicznej 7 V/m;



- c) obliczone, na podstawie wyników pomiarów selektywnych, wartości średniokwadratowe natężenia pola elektrycznego we wszystkich 30 z 30 punktów pomiarowych, nie przekraczają wartości granicznej 7 V/m;
- d) obliczone, na podstawie wyników pomiarów selektywnych, wartości średniokwadratowe natężenia pola elektrycznego z uwzględnieniem oszacowanej rozszerzonej niepewności pomiaru (przedział ufności 95%), we wszystkich 30 z 30 punktów pomiarowych, nie przekraczają wartości granicznej 7 V/m.

Tabl. 143 Wyniki pomiarów szerokopasmowych  
–Poznań, Dąbrowskiego

<b>1</b>	<b>2</b>	<b>3</b>	<b>4</b>
<b>Lok.</b>	<b><math>E_{zm}</math></b>	<b><math>E_{zm}-U\%</math></b>	<b><math>E_{zm}+U\%</math></b>
<b>-</b>	<b>V/m</b>	<b>V/m</b>	<b>V/m</b>
1.	2,4	1,6	3,4
2.	1,6	1,1	2,3
3.	3,6	2,3	5,0
4.	2,5	1,6	3,5
5.	1,5	1,1	2,1
6.	1,7	1,1	2,4
7.	1,7	1,1	2,3
8.	0,7	0,6	1,0
9.	1,3	0,9	1,7
10.	1,6	1,1	2,3
11.	1,8	1,2	2,5
12.	1,5	1,1	2,1
13.	1,7	1,2	2,5
14.	2,1	1,3	2,9
15.	0,8	0,5	1,0
16.	2,4	1,5	3,4
17.	1,2	0,8	1,6
18.	0,9	0,6	1,3
19.	1,0	0,7	1,4
20.	0,7	0,6	0,9
21.	0,8	0,6	1,0
22.	0,7	0,6	0,9
23.	0,8	0,6	1,0
24.	2,0	1,3	2,8
25.	2,7	1,7	3,7
26.	2,5	1,7	3,6
27.	2,6	1,7	3,7
28.	2,7	1,8	3,8
29.	3,3	2,2	4,6
30.	0,8	0,6	1,1

Tabl. 144 Wyniki pomiarów selektywnych  
– Poznań, Dąbrowskiego

1	2	3	4	5	6	7
Lok.	E	E-U%	E+U%	E <sub>BS</sub>	E <sub>BS</sub> -U%	E <sub>BS</sub> +U%
-	V/m	V/m	V/m	V/m	V/m	V/m
1.	2,1	1,4	3,0	2,1	1,4	3,0
2.	1,7	1,1	2,4	1,7	1,1	2,4
3.	4,1	2,7	5,8	4,1	2,7	5,8
4.	3,4	2,2	4,8	3,4	2,2	4,8
5.	1,5	1,0	2,1	1,5	1,0	2,1
6.	2,0	1,3	2,8	2,0	1,3	2,8
7.	2,1	1,4	2,9	2,1	1,4	2,9
8.	0,8	0,6	1,2	0,8	0,6	1,2
9.	2,3	1,5	3,3	2,3	1,5	3,3
10.	2,5	1,6	3,5	2,5	1,6	3,5
11.	2,1	1,4	2,9	2,1	1,4	2,9
12.	1,8	1,2	2,6	1,8	1,2	2,6
13.	2,3	1,6	3,2	2,3	1,6	3,2
14.	2,3	1,5	3,2	2,3	1,5	3,2
15.	0,9	0,6	1,3	0,9	0,6	1,3
16.	2,5	1,6	3,5	2,5	1,6	3,5
17.	1,1	0,7	1,6	1,1	0,7	1,6
18.	0,9	0,5	1,2	0,9	0,5	1,2
19.	1,3	0,9	1,9	1,3	0,9	1,9
20.	0,8	0,5	1,1	0,8	0,5	1,1
21.	0,8	0,6	1,1	0,8	0,6	1,1
22.	1,0	0,7	1,4	1,0	0,7	1,4
23.	0,7	0,5	1,0	0,7	0,5	1,0
24.	2,1	1,3	2,9	2,1	1,3	2,9
25.	2,6	1,7	3,6	2,6	1,7	3,6
26.	2,8	1,9	3,9	2,8	1,9	3,9
27.	2,8	1,9	4,0	2,8	1,9	4,0
28.	3,0	2,0	4,3	3,0	2,0	4,3
29.	4,4	2,8	6,1	4,4	2,8	6,1
30.	0,9	0,6	1,2	0,9	0,6	1,2

Szczegóły odnośnie przeprowadzonych badań oraz wyniki pomiarów zawarte są w Sprawozdaniu z badań nr 0110101018/POZ01 – **Załącznik 1.**

### 5.62 Poznań, Unii Lubelskiej

Stwierdza się, że w otoczeniu stacji:

- ID: POZ0200,
- ID: 70344

a) zmierzone, w trakcie pomiarów szerokopasmowych, wartości natężenia pola elektrycznego we wszystkich 30 z 30 punktów pomiarowych, nie przekraczają wartości granicznej 7 V/m;

- b) obliczone, na podstawie wyników pomiarów szerokopasmowych, wartości średniokwadratowe natężenia pola elektrycznego z uwzględnieniem oszacowanej rozszerzonej niepewności pomiaru (przedział ufności 95%), we wszystkich 30 z 30 punktów pomiarowych, nie przekraczają wartości granicznej 7 V/m;
- c) obliczone, na podstawie wyników pomiarów selektywnych, wartości średniokwadratowe natężenia pola elektrycznego we wszystkich 30 z 30 punktów pomiarowych, nie przekraczają wartości granicznej 7 V/m;
- d) obliczone, na podstawie wyników pomiarów selektywnych, wartości średniokwadratowe natężenia pola elektrycznego z uwzględnieniem oszacowanej rozszerzonej niepewności pomiaru (przedział ufności 95%), we wszystkich 30 z 30 punktów pomiarowych, nie przekraczają wartości granicznej 7 V/m.

Tabl. 145 Wyniki pomiarów szerokopasmowych  
–Poznań, Unii Lubelskiej

<b>1</b>	<b>2</b>	<b>3</b>	<b>4</b>
<b>Lok.</b>	<b><math>E_{zm}</math></b>	<b><math>E_{zm}-U\%</math></b>	<b><math>E_{zm}+U\%</math></b>
-	<b>V/m</b>	<b>V/m</b>	<b>V/m</b>
1.	1,7	1,2	2,4
2.	1,3	0,9	1,8
3.	1,4	1,0	2,0
4.	1,4	1,0	2,0
5.	1,6	1,1	2,2
6.	1,7	1,1	2,4
7.	1,3	0,8	1,8
8.	0,9	0,7	1,2
9.	1,7	1,2	2,4
10.	1,4	1,0	1,9
11.	0,9	0,6	1,3
12.	2,1	1,4	3,0
13.	1,3	0,8	1,8
14.	0,9	0,7	1,3
15.	1,2	0,8	1,6
16.	2,0	1,3	2,7
17.	1,4	1,0	2,0
18.	1,1	0,8	1,4
19.	0,4	0,4	0,5
20.	0,2	0,2	0,2
21.	0,6	0,5	0,8
22.	0,9	0,7	1,3
23.	1,1	0,8	1,5
24.	1,2	0,8	1,7
25.	1,4	0,9	2,0
26.	0,9	0,7	1,2
27.	0,9	0,7	1,3
28.	2,0	1,3	2,8
29.	1,9	1,3	2,6
30.	1,8	1,2	2,5

Tabl. 146 Wyniki pomiarów selektywnych  
– Poznań, Unii Lubelskiej

1	2	3	4	5	6	7
Lok.	E	E-U%	E+U%	E <sub>BS</sub>	E <sub>BS</sub> -U%	E <sub>BS</sub> +U%
-	V/m	V/m	V/m	V/m	V/m	V/m
1.	3,1	2,0	4,3	3,1	2,0	4,3
2.	2,2	1,5	3,1	2,2	1,5	3,1
3.	2,3	1,5	3,2	2,3	1,5	3,2
4.	2,0	1,3	2,8	2,0	1,3	2,8
5.	1,9	1,2	2,6	1,9	1,2	2,6
6.	1,9	1,3	2,6	1,9	1,3	2,6
7.	1,6	1,0	2,2	1,6	1,0	2,2
8.	1,2	0,8	1,7	1,2	0,8	1,7
9.	2,1	1,4	2,9	2,1	1,4	2,9
10.	1,7	1,1	2,4	1,7	1,1	2,4
11.	1,7	1,2	2,4	1,7	1,2	2,4
12.	3,1	2,0	4,4	3,1	2,0	4,4
13.	2,2	1,4	3,1	2,2	1,4	3,1
14.	1,6	1,0	2,1	1,6	1,0	2,1
15.	1,8	1,1	2,5	1,8	1,1	2,5
16.	3,0	2,0	4,2	3,0	2,0	4,2
17.	2,1	1,3	2,9	2,1	1,3	2,9
18.	1,3	0,9	1,8	1,3	0,9	1,8
19.	0,5	0,4	0,6	0,5	0,4	0,6
20.	0,3	0,3	0,3	0,3	0,3	0,3
21.	0,6	0,4	0,7	0,6	0,4	0,7
22.	1,8	1,2	2,5	1,8	1,2	2,5
23.	2,9	1,8	4,0	2,9	1,8	4,0
24.	2,6	1,7	3,6	2,6	1,7	3,6
25.	2,5	1,6	3,5	2,5	1,6	3,5
26.	1,9	1,3	2,7	1,9	1,3	2,7
27.	1,4	0,9	2,0	1,4	0,9	2,0
28.	2,5	1,7	3,5	2,5	1,7	3,5
29.	2,3	1,5	3,2	2,3	1,5	3,2
30.	2,3	1,5	3,2	2,3	1,5	3,2

Szczegóły odnośnie przeprowadzonych badań oraz wyniki pomiarów zawarte są w Sprawozdaniu z badań nr 0110101018/POZ02 – **Załącznik 1**

### 5.63 Poznań, Warszawska

Stwierdza się, że w otoczeniu stacji:

- ID: POZ0114
- a) zmierzone, w trakcie pomiarów szerokopasmowych, wartości natężenia pola elektrycznego we wszystkich 30 z 30 punktów pomiarowych, nie przekraczają wartości granicznej 7 V/m;
- b) obliczone, na podstawie wyników pomiarów szerokopasmowych, wartości średniokwadratowe natężenia pola elektrycznego z uwzględnieniem oszacowanej

rozszerzonej niepewności pomiaru (przedział ufności 95%), we wszystkich 30 z 30 punktów pomiarowych, nie przekraczają wartości granicznej 7 V/m;

- c) obliczone, na podstawie wyników pomiarów selektywnych, wartości średniokwadratowe natężenia pola elektrycznego we wszystkich 30 z 30 punktów pomiarowych, nie przekraczają wartości granicznej 7 V/m;
- d) obliczone, na podstawie wyników pomiarów selektywnych, wartości średniokwadratowe natężenia pola elektrycznego z uwzględnieniem oszacowanej rozszerzonej niepewności pomiaru (przedział ufności 95%), we wszystkich 30 z 30 punktów pomiarowych, nie przekraczają wartości granicznej 7 V/m.

Tabl. 147 Wyniki pomiarów szerokopasmowych  
– Poznań, Warszawska

<b>1</b>	<b>2</b>	<b>3</b>	<b>4</b>
<b>Lok.</b>	$E_{zm}$	$E_{zm}-U\%$	$E_{zm}+U\%$
-	V/m	V/m	V/m
1.	2,9	1,9	4,1
2.	2,4	1,6	3,4
3.	3,1	2,1	4,4
4.	3,6	2,4	5,0
5.	3,1	2,0	4,3
6.	2,8	1,8	3,9
7.	2,3	1,5	3,3
8.	2,6	1,7	3,6
9.	2,5	1,6	3,5
10.	1,6	1,1	2,2
11.	2,2	1,5	3,1
12.	2,1	1,5	2,9
13.	2,0	1,3	2,7
14.	2,4	1,6	3,4
15.	2,5	1,7	3,6
16.	2,1	1,4	2,9
17.	2,5	1,7	3,5
18.	1,6	1,0	2,1
19.	2,1	1,4	3,0
20.	2,2	1,4	3,1
21.	1,8	1,2	2,4
22.	2,2	1,5	3,1
23.	1,9	1,3	2,6
24.	2,5	1,6	3,5
25.	2,4	1,6	3,3
26.	2,1	1,4	3,0
27.	3,1	2,1	4,4
28.	2,1	1,4	2,9
29.	3,1	2,1	4,4
30.	1,9	1,3	2,6

Tabl. 148 Wyniki pomiarów selektywnych  
– Poznań, Warszawska

1	2	3	4	5	6	7
Lok.	E	E-U%	E+U%	E <sub>BS</sub>	E <sub>BS</sub> -U%	E <sub>BS</sub> +U%
-	V/m	V/m	V/m	V/m	V/m	V/m
1.	3,5	2,3	4,9	3,5	2,3	4,9
2.	3,4	2,3	4,8	3,4	2,3	4,8
3.	3,9	2,6	5,5	3,9	2,6	5,5
4.	4,3	2,8	6,0	4,3	2,8	6,0
5.	3,3	2,2	4,7	3,3	2,2	4,7
6.	3,7	2,4	5,2	3,7	2,4	5,2
7.	2,9	1,9	4,1	2,9	1,9	4,1
8.	3,1	2,0	4,3	3,1	2,0	4,3
9.	3,0	2,0	4,2	3,0	2,0	4,2
10.	2,5	1,6	3,5	2,5	1,6	3,5
11.	2,7	1,8	3,8	2,7	1,8	3,8
12.	3,4	2,2	4,7	3,3	2,2	4,7
13.	4,1	2,7	5,7	4,1	2,7	5,7
14.	4,0	2,6	5,6	4,0	2,6	5,6
15.	4,0	2,6	5,6	4,0	2,6	5,6
16.	3,5	2,3	4,9	3,5	2,3	4,9
17.	3,5	2,3	4,9	3,5	2,3	4,9
18.	4,1	2,6	5,7	4,1	2,6	5,7
19.	4,3	2,8	6,0	4,3	2,8	6,0
20.	3,6	2,3	5,0	3,6	2,3	5,0
21.	3,3	2,1	4,6	3,3	2,1	4,6
22.	2,6	1,7	3,7	2,6	1,7	3,7
23.	3,0	2,0	4,2	3,0	2,0	4,2
24.	3,7	2,4	5,1	3,7	2,4	5,1
25.	2,8	1,8	3,9	2,8	1,8	3,9
26.	2,8	1,9	3,9	2,8	1,9	3,9
27.	3,9	2,5	5,5	3,9	2,5	5,5
28.	3,2	2,1	4,5	3,2	2,1	4,5
29.	3,5	2,2	4,8	3,5	2,2	4,8
30.	2,5	1,6	3,5	2,5	1,6	3,5

Szczegóły odnośnie przeprowadzonych badań oraz wyniki pomiarów zawarte są w Sprawozdaniu z badań nr 0110101018/POZ03 – **Załącznik 1**

#### 5.64 Poznań, Przełajowa

Stwierdza się, że w otoczeniu stacji:

- ID: 70414N!
- a) zmierzone, w trakcie pomiarów szerokopasmowych, wartości natężenia pola elektrycznego we wszystkich 30 z 30 punktów pomiarowych, nie przekraczają wartości granicznej 7 V/m;
- b) obliczone, na podstawie wyników pomiarów szerokopasmowych, wartości średniokwadratowe natężenia pola elektrycznego z uwzględnieniem oszacowanej

rozszerzonej niepewności pomiaru (przedział ufności 95%), we wszystkich 30 z 30 punktów pomiarowych, nie przekraczają wartości granicznej 7 V/m;

- c) obliczone, na podstawie wyników pomiarów selektywnych, wartości średniokwadratowe natężenia pola elektrycznego we wszystkich 30 z 30 punktów pomiarowych, nie przekraczają wartości granicznej 7 V/m;
- d) obliczone, na podstawie wyników pomiarów selektywnych, wartości średniokwadratowe natężenia pola elektrycznego z uwzględnieniem oszacowanej rozszerzonej niepewności pomiaru (przedział ufności 95%), we wszystkich 30 z 30 punktów pomiarowych, nie przekraczają wartości granicznej 7 V/m.

Tabl. 149 Wyniki pomiarów szerokopasmowych  
– Poznań, Przełajowa

<b>1</b>	<b>2</b>	<b>3</b>	<b>4</b>
<b>Lok.</b>	<b><math>E_{zm}</math></b>	<b><math>E_{zm}-U\%</math></b>	<b><math>E_{zm}+U\%</math></b>
<b>-</b>	<b>V/m</b>	<b>V/m</b>	<b>V/m</b>
1.	1,8	1,1	2,4
2.	1,5	1,0	2,1
3.	1,2	0,8	1,7
4.	1,9	1,3	2,8
5.	1,6	1,1	2,2
6.	1,8	1,2	2,6
7.	2,1	1,3	2,9
8.	2,2	1,5	3,1
9.	2,2	1,5	3,1
10.	1,2	0,9	1,7
11.	0,8	0,6	1,0
12.	0,5	0,4	0,5
13.	0,5	0,4	0,5
14.	0,7	0,6	1,0
15.	0,9	0,7	1,2
16.	0,8	0,6	1,0
17.	1,0	0,7	1,4
18.	2,0	1,3	2,8
19.	1,3	0,9	1,8
20.	1,2	0,9	1,7
21.	0,5	0,4	0,6
22.	0,4	0,4	0,4
23.	0,5	0,5	0,6
24.	0,5	0,4	0,6
25.	1,1	0,8	1,4
26.	0,6	0,4	0,7
27.	0,7	0,5	0,8
28.	0,4	0,4	0,4
29.	1,0	0,7	1,5
30.	0,4	0,4	0,5

Tabl. 150 Wyniki pomiarów selektywnych  
– Poznań, Przełajowa

1	2	3	4	5	6	7
Lok.	E	E-U%	E+U%	E <sub>BS</sub>	E <sub>BS</sub> -U%	E <sub>BS</sub> +U%
-	V/m	V/m	V/m	V/m	V/m	V/m
1.	2,8	1,8	3,9	2,8	1,8	3,9
2.	2,0	1,3	2,8	2,0	1,3	2,8
3.	1,9	1,2	2,7	1,9	1,2	2,7
4.	2,4	1,6	3,4	2,4	1,6	3,4
5.	2,4	1,6	3,4	2,4	1,6	3,4
6.	2,0	1,3	2,8	2,0	1,3	2,8
7.	2,4	1,6	3,3	2,4	1,6	3,3
8.	2,5	1,6	3,5	2,5	1,6	3,5
9.	2,4	1,6	3,4	2,4	1,6	3,4
10.	1,4	1,0	2,0	1,4	1,0	2,0
11.	0,9	0,6	1,2	0,9	0,6	1,2
12.	0,5	0,4	0,7	0,5	0,4	0,7
13.	0,7	0,5	0,9	0,7	0,5	0,9
14.	1,2	0,8	1,8	1,2	0,8	1,8
15.	1,0	0,7	1,4	1,0	0,7	1,4
16.	0,8	0,6	1,2	0,8	0,6	1,2
17.	1,2	0,7	1,7	1,2	0,7	1,7
18.	2,8	1,8	4,0	2,8	1,8	4,0
19.	1,4	1,0	2,0	1,4	1,0	2,0
20.	1,2	0,8	1,7	1,2	0,8	1,7
21.	0,5	0,4	0,6	0,5	0,4	0,6
22.	0,4	0,3	0,4	0,3	0,3	0,4
23.	0,6	0,5	0,8	0,6	0,4	0,8
24.	0,5	0,4	0,7	0,5	0,4	0,7
25.	1,1	0,8	1,6	1,1	0,7	1,6
26.	0,6	0,4	0,8	0,6	0,3	0,8
27.	0,7	0,4	1,0	0,7	0,4	1,0
28.	0,5	0,4	0,6	0,5	0,4	0,6
29.	0,9	0,6	1,3	0,9	0,6	1,3
30.	0,7	0,5	0,9	0,7	0,5	0,9

Szczegóły odnośnie przeprowadzonych badań oraz wyniki pomiarów zawarte są w Sprawozdaniu z badań nr 0110101018/POZ04 – **Załącznik 1.**

### 5.65 Poznań, Szymanowskiego

Stwierdza się, że w otoczeniu stacji:

- ID: BT33154
- a) zmierzone, w trakcie pomiarów szerokopasmowych, wartości natężenia pola elektrycznego we wszystkich 30 z 30 punktów pomiarowych, nie przekraczają wartości granicznej 7 V/m;
- b) obliczone, na podstawie wyników pomiarów szerokopasmowych, wartości średniokwadratowe natężenia pola elektrycznego z uwzględnieniem oszacowanej



rozszerzonej niepewności pomiaru (przedział ufności 95%), we wszystkich 30 z 30 punktów pomiarowych, nie przekraczają wartości granicznej 7 V/m;

- c) obliczone, na podstawie wyników pomiarów selektywnych, wartości średniokwadratowe natężenia pola elektrycznego we wszystkich 30 z 30 punktów pomiarowych, nie przekraczają wartości granicznej 7 V/m;
- d) obliczone, na podstawie wyników pomiarów selektywnych, wartości średniokwadratowe natężenia pola elektrycznego z uwzględnieniem oszacowanej rozszerzonej niepewności pomiaru (przedział ufności 95%), we wszystkich 30 z 30 punktów pomiarowych, nie przekraczają wartości granicznej 7 V/m.

Tabl. 151 Wyniki pomiarów szerokopasmowych  
– Poznań, Szymanowskiego

<b>1</b>	<b>2</b>	<b>3</b>	<b>4</b>
<b>Lok.</b>	<b><math>E_{zm}</math></b>	<b><math>E_{zm}-U\%</math></b>	<b><math>E_{zm}+U\%</math></b>
<b>-</b>	<b>V/m</b>	<b>V/m</b>	<b>V/m</b>
1.	1,3	0,9	1,8
2.	1,3	0,9	1,8
3.	1,2	0,8	1,6
4.	1,2	0,8	1,6
5.	1,4	1,0	2,1
6.	1,6	1,0	2,1
7.	1,2	0,8	1,6
8.	0,9	0,7	1,2
9.	1,4	1,0	2,0
10.	1,6	1,0	2,3
11.	2,2	1,4	3,1
12.	1,4	0,9	2,0
13.	2,1	1,3	3,0
14.	1,4	1,0	2,0
15.	1,5	1,0	2,1
16.	0,5	0,4	0,6
17.	1,7	1,1	2,4
18.	1,5	1,0	2,0
19.	1,0	0,7	1,3
20.	2,3	1,5	3,2
21.	0,7	0,6	1,0
22.	0,7	0,5	0,9
23.	0,8	0,6	1,2
24.	1,1	0,8	1,6
25.	1,7	1,2	2,4
26.	1,2	0,8	1,7
27.	0,8	0,5	1,1
28.	1,3	0,9	1,9
29.	1,1	0,7	1,5
30.	1,3	0,8	1,8

Tabl. 152 Wyniki pomiarów selektywnych  
– Poznań, Szymanowskiego

1	2	3	4	5	6	7
Lok.	E	E-U%	E+U%	E <sub>BS</sub>	E <sub>BS</sub> -U%	E <sub>BS</sub> +U%
-	V/m	V/m	V/m	V/m	V/m	V/m
1.	1,4	1,0	2,0	1,3	0,9	1,8
2.	1,5	1,1	2,1	1,4	1,0	2,0
3.	1,4	0,9	1,9	1,2	0,8	1,7
4.	1,3	0,9	1,8	1,0	0,7	1,5
5.	1,6	1,0	2,2	1,3	0,9	1,8
6.	1,7	1,1	2,3	0,9	0,6	1,3
7.	1,4	0,9	2,0	1,1	0,7	1,5
8.	1,0	0,7	1,4	0,9	0,6	1,2
9.	1,4	0,9	2,0	1,2	0,8	1,6
10.	1,7	1,1	2,4	1,5	1,0	2,1
11.	2,1	1,4	3,0	1,4	0,9	2,0
12.	1,3	0,8	1,8	1,0	0,7	1,4
13.	2,1	1,3	3,0	1,4	0,9	1,9
14.	1,5	1,0	2,1	0,8	0,5	1,2
15.	1,6	1,1	2,3	1,5	1,0	2,1
16.	0,5	0,4	0,6	0,3	0,3	0,3
17.	1,9	1,3	2,7	1,7	1,2	2,4
18.	1,6	1,0	2,3	1,3	0,8	1,8
19.	1,1	0,7	1,6	0,9	0,6	1,2
20.	2,0	1,3	2,8	1,9	1,3	2,7
21.	0,7	0,6	0,9	0,4	0,4	0,5
22.	0,8	0,5	1,0	0,4	0,3	0,4
23.	0,9	0,6	1,2	0,5	0,4	0,6
24.	1,2	0,7	1,7	0,9	0,5	1,2
25.	1,9	1,3	2,7	1,5	1,0	2,2
26.	1,4	0,9	2,0	1,3	0,9	1,9
27.	1,5	1,0	2,1	1,5	1,0	2,1
28.	1,8	1,2	2,5	1,8	1,1	2,5
29.	1,7	1,1	2,3	1,6	1,0	2,3
30.	1,9	1,2	2,7	1,9	1,2	2,7

Szczegóły odnośnie przeprowadzonych badań oraz wyniki pomiarów zawarte są w Sprawozdaniu z badań nr 0110101018/POZ05 – **Załącznik 1.**

### 5.66 Poznań, Bałtycka

Stwierdza się, że w otoczeniu stacji:

- ID: 70340N!
- a) zmierzone, w trakcie pomiarów szerokopasmowych, wartości natężenia pola elektrycznego we wszystkich 30 z 30 punktów pomiarowych, nie przekraczają wartości granicznej 7 V/m;
- b) obliczone, na podstawie wyników pomiarów szerokopasmowych, wartości średniokwadratowe natężenia pola elektrycznego z uwzględnieniem oszacowanej

rozszerzonej niepewności pomiaru (przedział ufności 95%), we wszystkich 30 z 30 punktów pomiarowych, nie przekraczają wartości granicznej 7 V/m;

- c) obliczone, na podstawie wyników pomiarów selektywnych, wartości średniokwadratowe natężenia pola elektrycznego we wszystkich 30 z 30 punktów pomiarowych, nie przekraczają wartości granicznej 7 V/m;
- d) obliczone, na podstawie wyników pomiarów selektywnych, wartości średniokwadratowe natężenia pola elektrycznego z uwzględnieniem oszacowanej rozszerzonej niepewności pomiaru (przedział ufności 95%), we wszystkich 30 z 30 punktów pomiarowych, nie przekraczają wartości granicznej 7 V/m.

Tabl. 153 Wyniki pomiarów szerokopasmowych  
– Poznań, Bałtycka

<b>1</b>	<b>2</b>	<b>3</b>	<b>4</b>
<b>Lok.</b>	<b><math>E_{zm}</math></b>	<b><math>E_{zm}-U\%</math></b>	<b><math>E_{zm}+U\%</math></b>
<b>-</b>	<b>V/m</b>	<b>V/m</b>	<b>V/m</b>
1.	1,0	0,7	1,4
2.	1,2	0,8	1,6
3.	1,0	0,7	1,4
4.	1,2	0,8	1,6
5.	1,3	0,8	1,8
6.	1,0	0,7	1,3
7.	1,3	0,8	1,8
8.	0,8	0,6	1,0
9.	0,2	0,1	0,3
10.	0,3	0,2	0,3
11.	0,2	0,2	0,3
12.	0,2	0,2	0,2
13.	0,1	0,1	0,1
14.	0,2	0,2	0,2
15.	0,5	0,3	0,7
16.	0,7	0,5	0,8
17.	0,5	0,4	0,7
18.	1,0	0,6	1,4
19.	0,8	0,5	1,1
20.	0,8	0,5	1,0
21.	0,4	0,3	0,6
22.	0,2	0,1	0,3
23.	0,2	0,1	0,3
24.	0,1	0,1	0,1
25.	0,1	0,1	0,1
26.	0,1	0,1	0,1
27.	0,1	0,1	0,1
28.	0,1	0,1	0,1
29.	0,2	0,1	0,3
30.	0,1	0,1	0,1

Tabl. 154 Wyniki pomiarów selektywnych  
– Poznań, Bałtycka

1	2	3	4	5	6	7
Lok.	E	E-U%	E+U%	E <sub>BS</sub>	E <sub>BS</sub> -U%	E <sub>BS</sub> +U%
-	V/m	V/m	V/m	V/m	V/m	V/m
1.	1,3	0,8	1,9	1,2	0,7	1,7
2.	1,2	0,8	1,7	1,0	0,7	1,4
3.	1,4	1,0	1,9	1,2	0,9	1,8
4.	1,6	1,1	2,2	1,4	1,0	2,0
5.	1,6	1,0	2,3	1,4	0,8	1,9
6.	1,1	0,7	1,5	0,7	0,5	1,0
7.	1,6	1,0	2,2	1,2	0,8	1,7
8.	0,8	0,5	1,0	0,4	0,3	0,6
9.	0,2	0,1	0,3	0,0	0,0	0,0
10.	0,2	0,2	0,3	0,1	0,1	0,1
11.	0,2	0,2	0,3	0,1	0,1	0,1
12.	0,1	0,1	0,1	0,0	0,0	0,0
13.	0,1	0,1	0,1	0,1	0,1	0,1
14.	0,2	0,2	0,2	0,1	0,1	0,1
15.	0,5	0,3	0,7	0,0	0,0	0,0
16.	0,9	0,6	1,3	0,9	0,6	1,3
17.	0,9	0,6	1,3	0,9	0,5	1,3
18.	1,2	0,8	1,6	1,1	0,8	1,6
19.	1,1	0,7	1,5	1,0	0,6	1,4
20.	1,1	0,7	1,5	0,9	0,6	1,3
21.	0,4	0,3	0,6	0,0	0,0	0,0
22.	0,2	0,1	0,3	0,0	0,0	0,0
23.	0,2	0,1	0,3	0,0	0,0	0,0
24.	0,1	0,1	0,1	0,0	0,0	0,0
25.	0,1	0,1	0,1	0,0	0,0	0,0
26.	0,1	0,1	0,1	0,0	0,0	0,0
27.	0,1	0,1	0,1	0,0	0,0	0,0
28.	0,1	0,1	0,1	0,0	0,0	0,0
29.	0,2	0,1	0,3	0,0	0,0	0,0
30.	0,1	0,1	0,1	0,1	0,1	0,1

Szczegóły odnośnie przeprowadzonych badań oraz wyniki pomiarów zawarte są w Sprawozdaniu z badań nr 0110101018/POZ06 – **Załącznik 1.**

### 5.67 Rzeszów, Ćwiklińskiej

Stwierdza się, że w otoczeniu stacji:

- ID: 58284 (20284N!)
- a) zmierzone, w trakcie pomiarów szerokopasmowych, wartości natężenia pola elektrycznego we wszystkich 30 z 30 punktów pomiarowych, nie przekraczają wartości granicznej 7 V/m;
- b) obliczone, na podstawie wyników pomiarów szerokopasmowych, wartości średniokwadratowe natężenia pola elektrycznego z uwzględnieniem oszacowanej

rozszerzonej niepewności pomiaru (przedział ufności 95%), we wszystkich 30 z 30 punktów pomiarowych, nie przekraczają wartości granicznej 7 V/m;

- c) obliczone, na podstawie wyników pomiarów selektywnych, wartości średniokwadratowe natężenia pola elektrycznego we wszystkich 30 z 30 punktów pomiarowych, nie przekraczają wartości granicznej 7 V/m;
- d) obliczone, na podstawie wyników pomiarów selektywnych, wartości średniokwadratowe natężenia pola elektrycznego z uwzględnieniem oszacowanej rozszerzonej niepewności pomiaru (przedział ufności 95%), we wszystkich 30 z 30 punktów pomiarowych, nie przekraczają wartości granicznej 7 V/m.

Tabl. 155 Wyniki pomiarów szerokopasmowych  
– Rzeszów, Ćwiklińskiej

<b>1</b>	<b>2</b>	<b>3</b>	<b>4</b>
<b>Lok.</b>	<b><math>E_{zm}</math></b>	<b><math>E_{zm}-U\%</math></b>	<b><math>E_{zm}+U\%</math></b>
<b>-</b>	<b>V/m</b>	<b>V/m</b>	<b>V/m</b>
1.	1,3	0,9	1,8
2.	1,9	1,3	2,7
3.	2,0	1,3	2,7
4.	1,9	1,3	2,7
5.	1,5	1,0	2,1
6.	1,7	1,1	2,3
7.	2,2	1,4	3,1
8.	2,7	1,8	3,8
9.	2,3	1,6	3,2
10.	1,4	1,0	2,0
11.	1,2	0,8	1,6
12.	1,7	1,1	2,4
13.	1,6	1,1	2,3
14.	2,0	1,3	2,9
15.	2,0	1,3	2,9
16.	1,3	0,9	1,8
17.	2,1	1,3	2,9
18.	2,1	1,4	2,9
19.	1,7	1,1	2,3
20.	2,6	1,8	3,6
21.	1,5	1,0	2,0
22.	1,7	1,1	2,3
23.	1,7	1,2	2,5
24.	1,2	0,8	1,6
25.	1,1	0,8	1,5
26.	1,2	0,8	1,7
27.	0,5	0,5	0,7
28.	0,3	0,3	0,3
29.	0,7	0,5	0,9
30.	1,7	1,1	2,4

Tabl. 156 Wyniki pomiarów selektywnych  
– Rzeszów, Ćwiklińskiej

1	2	3	4	5	6	7
Lok.	E	E-U%	E+U%	E <sub>BS</sub>	E <sub>BS</sub> -U%	E <sub>BS</sub> +U%
-	V/m	V/m	V/m	V/m	V/m	V/m
1.	1,3	0,9	1,7	1,3	0,8	1,7
2.	1,9	1,2	2,6	1,9	1,2	2,6
3.	1,8	1,2	2,5	1,8	1,2	2,5
4.	1,9	1,2	2,6	1,9	1,2	2,6
5.	1,7	1,1	2,3	1,7	1,1	2,3
6.	1,5	1,0	2,1	1,5	1,0	2,1
7.	2,9	1,9	4,0	2,9	1,9	4,0
8.	3,6	2,4	5,0	3,6	2,4	5,0
9.	2,3	1,5	3,2	2,3	1,5	3,2
10.	1,7	1,2	2,5	1,7	1,2	2,5
11.	1,2	0,9	1,7	1,2	0,9	1,7
12.	0,7	0,5	1,0	0,7	0,5	1,0
13.	2,0	1,4	2,8	2,0	1,4	2,8
14.	2,2	1,4	3,1	2,2	1,4	3,1
15.	2,1	1,4	2,9	2,1	1,4	2,9
16.	1,5	1,0	2,1	1,5	1,0	2,1
17.	2,3	1,5	3,2	2,3	1,5	3,2
18.	2,0	1,4	2,8	2,0	1,4	2,8
19.	2,0	1,3	2,8	2,0	1,3	2,8
20.	3,2	2,2	4,4	3,2	2,2	4,4
21.	1,2	0,8	1,6	1,2	0,8	1,6
22.	1,4	1,0	1,9	1,4	0,9	1,9
23.	2,0	1,4	2,9	2,0	1,4	2,9
24.	1,1	0,8	1,6	1,1	0,8	1,6
25.	1,0	0,7	1,5	1,0	0,7	1,5
26.	1,0	0,7	1,4	1,0	0,6	1,4
27.	0,5	0,5	0,7	0,5	0,5	0,7
28.	0,4	0,4	0,5	0,4	0,4	0,5
29.	1,2	0,7	1,6	1,1	0,7	1,6
30.	1,8	1,2	2,5	1,8	1,2	2,5

Szczegóły odnośnie przeprowadzonych badań oraz wyniki pomiarów zawarte są w Sprawozdaniu z badań nr 0110101018/RZE01 – **Załącznik 1.**

#### 5.68 Rzeszów, Powstańców W-wy

Stwierdza się, że w otoczeniu stacji:

- ID: RZE1012D
- a) zmierzone, w trakcie pomiarów szerokopasmowych, wartości natężenia pola elektrycznego we wszystkich 30 z 30 punktów pomiarowych, nie przekraczają wartości granicznej 7 V/m;
- b) obliczone, na podstawie wyników pomiarów szerokopasmowych, wartości średniokwadratowe natężenia pola elektrycznego z uwzględnieniem oszacowanej

rozszerzonej niepewności pomiaru (przedział ufności 95%), we wszystkich 30 z 30 punktów pomiarowych, nie przekraczają wartości granicznej 7 V/m;

- c) obliczone, na podstawie wyników pomiarów selektywnych, wartości średniokwadratowe natężenia pola elektrycznego we wszystkich 30 z 30 punktów pomiarowych, nie przekraczają wartości granicznej 7 V/m;
- d) obliczone, na podstawie wyników pomiarów selektywnych, wartości średniokwadratowe natężenia pola elektrycznego z uwzględnieniem oszacowanej rozszerzonej niepewności pomiaru (przedział ufności 95%), we wszystkich 30 z 30 punktów pomiarowych, nie przekraczają wartości granicznej 7 V/m.

Tabl. 157 Wyniki pomiarów szerokopasmowych  
– Rzeszów, Powstańców W-wy

<b>1</b>	<b>2</b>	<b>3</b>	<b>4</b>
<b>Lok.</b>	<b><math>E_{zm}</math></b>	<b><math>E_{zm}-U\%</math></b>	<b><math>E_{zm}+U\%</math></b>
<b>-</b>	<b>V/m</b>	<b>V/m</b>	<b>V/m</b>
1.	1,2	0,8	1,7
2.	0,6	0,5	0,8
3.	0,7	0,5	0,9
4.	0,8	0,6	1,1
5.	1,0	0,6	1,3
6.	0,7	0,5	0,9
7.	0,7	0,5	1,0
8.	1,1	0,8	1,5
9.	1,0	0,7	1,4
10.	1,5	1,1	2,1
11.	1,8	1,2	2,5
12.	2,4	1,6	3,3
13.	1,4	1,0	1,9
14.	1,3	0,9	1,9
15.	1,7	1,2	2,3
16.	0,9	0,7	1,3
17.	1,2	0,9	1,6
18.	1,1	0,8	1,6
19.	1,2	0,8	1,7
20.	1,2	0,8	1,6
21.	1,6	1,0	2,2
22.	1,8	1,3	2,5
23.	1,3	0,8	1,7
24.	1,8	1,2	2,5
25.	1,2	0,8	1,7
26.	1,3	0,9	1,8
27.	0,6	0,4	0,8
28.	1,4	0,9	1,9
29.	1,1	0,7	1,5
30.	1,6	1,1	2,3

Tabl. 158 Wyniki pomiarów selektywnych  
– Rzeszów, Powstańców W-wy

1	2	3	4	5	6	7
Lok.	E	E-U%	E+U%	E <sub>BS</sub>	E <sub>BS</sub> -U%	E <sub>BS</sub> +U%
-	V/m	V/m	V/m	V/m	V/m	V/m
1.	2,1	1,3	2,9	2,1	1,3	2,9
2.	0,7	0,5	1,0	0,7	0,5	1,0
3.	1,0	0,7	1,5	1,0	0,7	1,4
4.	0,9	0,6	1,3	0,9	0,6	1,3
5.	1,0	0,6	1,4	1,0	0,6	1,4
6.	0,7	0,5	1,0	0,7	0,5	1,0
7.	0,8	0,5	1,1	0,8	0,5	1,1
8.	1,6	1,1	2,2	1,6	1,1	2,2
9.	1,1	0,8	1,5	1,1	0,8	1,5
10.	2,3	1,5	3,1	2,3	1,5	3,1
11.	2,9	2,0	4,1	2,9	2,0	4,1
12.	3,6	2,4	4,9	3,6	2,4	4,9
13.	2,4	1,6	3,3	2,4	1,6	3,3
14.	1,9	1,2	2,7	1,9	1,2	2,7
15.	3,0	2,0	4,2	3,0	2,0	4,2
16.	1,4	1,0	1,8	1,4	1,0	1,8
17.	1,5	1,1	2,1	1,5	1,1	2,1
18.	1,7	1,1	2,4	1,7	1,1	2,4
19.	1,3	0,9	1,7	1,3	0,9	1,7
20.	1,3	0,9	1,8	1,3	0,8	1,8
21.	2,6	1,7	3,6	2,6	1,7	3,6
22.	2,7	1,9	3,7	2,7	1,9	3,7
23.	1,7	1,1	2,3	1,7	1,1	2,3
24.	2,6	1,7	3,6	2,6	1,7	3,6
25.	2,1	1,4	2,9	2,1	1,4	2,9
26.	2,0	1,3	2,8	2,0	1,3	2,8
27.	0,7	0,5	1,0	0,7	0,4	0,9
28.	1,7	1,1	2,4	1,7	1,1	2,4
29.	1,4	1,0	2,0	1,4	1,0	2,0
30.	2,4	1,6	3,3	2,4	1,6	3,3

Szczegóły odnośnie przeprowadzonych badań oraz wyniki pomiarów zawarte są w Sprawozdaniu z badań nr 0110101018/RZE02 – **Załącznik 1.**

#### 5.69 Rzeszów, Boja-Żeleńskiego

Stwierdza się, że w otoczeniu stacji:

- ID: RZE1028D
- a) zmierzone, w trakcie pomiarów szerokopasmowych, wartości natężenia pola elektrycznego we wszystkich 30 z 30 punktów pomiarowych, nie przekraczają wartości granicznej 7 V/m;
- b) obliczone, na podstawie wyników pomiarów szerokopasmowych, wartości średniokwadratowe natężenia pola elektrycznego z uwzględnieniem oszacowanej



rozszerzonej niepewności pomiaru (przedział ufności 95%), we wszystkich 30 z 30 punktów pomiarowych, nie przekraczają wartości granicznej 7 V/m;

- c) obliczone, na podstawie wyników pomiarów selektywnych, wartości średniokwadratowe natężenia pola elektrycznego we wszystkich 30 z 30 punktów pomiarowych, nie przekraczają wartości granicznej 7 V/m;
- d) obliczone, na podstawie wyników pomiarów selektywnych, wartości średniokwadratowe natężenia pola elektrycznego z uwzględnieniem oszacowanej rozszerzonej niepewności pomiaru (przedział ufności 95%), we wszystkich 30 z 30 punktów pomiarowych, nie przekraczają wartości granicznej 7 V/m.

Tabl. 159 Wyniki pomiarów szerokopasmowych  
– Rzeszów, Boya-Żeleńskiego

<b>1</b>	<b>2</b>	<b>3</b>	<b>4</b>
<b>Lok.</b>	<b><math>E_{zm}</math></b>	<b><math>E_{zm}-U\%</math></b>	<b><math>E_{zm}+U\%</math></b>
<b>-</b>	<b>V/m</b>	<b>V/m</b>	<b>V/m</b>
1.	1,8	1,1	2,5
2.	2,6	1,7	3,7
3.	1,1	0,8	1,6
4.	1,1	0,8	1,6
5.	1,0	0,8	1,4
6.	0,9	0,6	1,2
7.	0,6	0,4	0,7
8.	0,6	0,5	0,8
9.	0,8	0,6	1,0
10.	0,9	0,6	1,2
11.	1,6	1,1	2,2
12.	1,5	1,0	2,1
13.	2,8	1,8	3,8
14.	1,8	1,2	2,5
15.	1,9	1,2	2,6
16.	1,8	1,2	2,5
17.	2,4	1,6	3,4
18.	2,3	1,5	3,3
19.	1,1	0,7	1,5
20.	1,0	0,7	1,4
21.	1,6	1,1	2,3
22.	2,4	1,6	3,3
23.	1,0	0,7	1,5
24.	1,6	1,1	2,3
25.	1,0	0,7	1,3
26.	1,1	0,8	1,5
27.	2,5	1,7	3,5
28.	2,3	1,5	3,2
29.	1,8	1,1	2,4
30.	1,5	1,0	2,0

Tabl. 160 Wyniki pomiarów selektywnych  
– Rzeszów, Boya-Żeleńskiego

1	2	3	4	5	6	7
Lok.	E	E-U%	E+U%	E <sub>BS</sub>	E <sub>BS</sub> -U%	E <sub>BS</sub> +U%
-	V/m	V/m	V/m	V/m	V/m	V/m
1.	2,6	1,7	3,6	2,6	1,7	3,6
2.	3,3	2,1	4,6	3,3	2,1	4,6
3.	2,4	1,6	3,3	2,4	1,6	3,3
4.	1,7	1,1	2,4	1,7	1,1	2,4
5.	1,3	0,9	1,9	1,3	0,9	1,9
6.	1,7	1,2	2,3	1,7	1,2	2,3
7.	0,6	0,4	0,7	0,5	0,4	0,7
8.	1,0	0,7	1,3	0,9	0,7	1,3
9.	0,9	0,6	1,2	0,9	0,6	1,2
10.	1,2	0,8	1,7	1,2	0,8	1,7
11.	4,2	2,7	5,9	4,2	2,7	5,9
12.	2,8	1,8	4,0	2,8	1,8	4,0
13.	3,7	2,4	5,3	3,7	2,4	5,3
14.	2,1	1,4	2,9	2,1	1,4	2,9
15.	3,8	2,4	5,4	3,8	2,4	5,4
16.	2,6	1,7	3,7	2,6	1,7	3,7
17.	3,3	2,2	4,7	3,3	2,1	4,7
18.	2,8	1,8	3,9	2,8	1,8	3,9
19.	1,8	1,2	2,6	1,8	1,2	2,6
20.	1,4	0,9	2,0	1,4	0,9	2,0
21.	2,4	1,6	3,4	2,4	1,6	3,4
22.	2,6	1,8	3,7	2,6	1,8	3,7
23.	1,4	1,0	1,9	1,4	0,9	1,9
24.	1,9	1,3	2,7	1,9	1,3	2,7
25.	1,5	1,0	2,0	1,5	1,0	2,0
26.	1,9	1,2	2,6	1,9	1,2	2,6
27.	3,6	2,3	4,9	3,6	2,3	4,9
28.	3,9	2,5	5,4	3,9	2,5	5,4
29.	1,3	0,9	1,8	1,3	0,9	1,8
30.	3,1	2,0	4,4	3,1	2,0	4,4

Szczegóły odnośnie przeprowadzonych badań oraz wyniki pomiarów zawarte są w Sprawozdaniu z badań nr 0110101018/RZE03 – **Załącznik 1.**

### 5.70 Rzeszów, Lwowska

Stwierdza się, że w otoczeniu stacji:

- ID: RZE1033A
- a) zmierzone, w trakcie pomiarów szerokopasmowych, wartości natężenia pola elektrycznego we wszystkich 29 z 29 punktów pomiarowych, nie przekraczają wartości granicznej 7 V/m;
- b) obliczone, na podstawie wyników pomiarów szerokopasmowych, wartości średniokwadratowe natężenia pola elektrycznego z uwzględnieniem oszacowanej

rozszerzonej niepewności pomiaru (przedział ufności 95%), we wszystkich 29 z 29 punktów pomiarowych, nie przekraczają wartości granicznej 7 V/m;

- c) obliczone, na podstawie wyników pomiarów selektywnych, wartości średniokwadratowe natężenia pola elektrycznego we wszystkich 29 z 29 punktów pomiarowych, nie przekraczają wartości granicznej 7 V/m;
- d) obliczone, na podstawie wyników pomiarów selektywnych, wartości średniokwadratowe natężenia pola elektrycznego z uwzględnieniem oszacowanej rozszerzonej niepewności pomiaru (przedział ufności 95%), we wszystkich 29 z 29 punktów pomiarowych, nie przekraczają wartości granicznej 7 V/m.

Tabl. 161 Wyniki pomiarów szerokopasmowych  
– Rzeszów, Lwowska

<b>1</b>	<b>2</b>	<b>3</b>	<b>4</b>
<b>Lok.</b>	<b><math>E_{zm}</math></b>	<b><math>E_{zm}-U\%</math></b>	<b><math>E_{zm}+U\%</math></b>
<b>-</b>	<b>V/m</b>	<b>V/m</b>	<b>V/m</b>
1.	0,5	0,4	0,6
2.	0,9	0,6	1,3
3.	0,3	0,3	0,3
4.	1,1	0,8	1,5
5.	0,4	0,4	0,4
6.	3,1	2,1	4,3
7.	3,0	2,0	4,2
8.	1,2	0,9	1,8
9.	1,0	0,8	1,5
10.	1,2	0,8	1,6
11.	0,6	0,4	0,8
12.	0,6	0,4	0,8
13.	0,4	0,4	0,5
14.	1,6	1,1	2,3
15.	0,7	0,5	1,0
16.	1,4	0,8	1,9
17.	2,3	1,4	3,2
18.	1,3	0,9	1,8
19.	0,4	0,3	0,6
20.	0,3	0,3	0,3
21.	0,3	0,3	0,3
22.	0,7	0,5	0,9
23.	0,9	0,6	1,3
24.	0,4	0,3	0,5
25.	0,4	0,3	0,6
26.	1,3	0,9	1,8
27.	0,6	0,4	0,9
28.	0,3	0,3	0,3
29.	0,4	0,3	0,6

Tabl. 162 Wyniki pomiarów selektywnych  
– Rzeszów, Lwowska

1	2	3	4	5	6	7
Lok.	E	E-U%	E+U%	E <sub>BS</sub>	E <sub>BS</sub> -U%	E <sub>BS</sub> +U%
-	V/m	V/m	V/m	V/m	V/m	V/m
1.	0,7	0,5	1,0	0,7	0,5	1,0
2.	1,4	0,9	1,9	1,4	0,9	1,9
3.	0,5	0,3	0,6	0,5	0,3	0,6
4.	2,0	1,2	2,7	1,9	1,2	2,7
5.	0,4	0,4	0,5	0,4	0,4	0,5
6.	5,0	3,3	7,0	5,0	3,3	7,0
7.	3,9	2,5	5,5	3,9	2,5	5,5
8.	1,6	1,1	2,3	1,6	1,0	2,2
9.	1,3	0,9	1,9	1,3	0,9	1,9
10.	1,6	1,0	2,2	1,6	1,0	2,2
11.	0,6	0,4	0,9	0,6	0,4	0,9
12.	0,9	0,5	1,2	0,9	0,5	1,2
13.	0,5	0,4	0,7	0,5	0,4	0,7
14.	2,2	1,4	3,1	2,2	1,4	3,1
15.	0,9	0,5	1,2	0,8	0,5	1,2
16.	2,1	1,3	2,9	2,1	1,3	2,9
17.	2,7	1,7	3,8	2,7	1,7	3,8
18.	2,0	1,3	2,8	2,0	1,3	2,8
19.	0,4	0,3	0,6	0,4	0,3	0,6
20.	0,2	0,2	0,2	0,2	0,2	0,2
21.	0,4	0,3	0,4	0,3	0,3	0,4
22.	1,1	0,7	1,6	1,1	0,7	1,6
23.	1,2	0,8	1,7	1,2	0,8	1,7
24.	0,5	0,3	0,6	0,5	0,3	0,6
25.	0,7	0,4	1,0	0,7	0,4	1,0
26.	2,1	1,4	2,9	2,1	1,4	2,9
27.	0,7	0,5	1,0	0,7	0,5	1,0
28.	0,2	0,2	0,2	0,2	0,2	0,2
29.	0,7	0,5	0,9	0,6	0,5	0,9

Szczegóły odnośnie przeprowadzonych badań oraz wyniki pomiarów zawarte są w Sprawozdaniu z badań nr 0110101018/RZE04 – **Załącznik 1.**

### 5.71 Rzeszów, Krakowska

Stwierdza się, że w otoczeniu stacji:

- ID: RZE1022A,
- ID: 58103 (20103)

- a) zmierzone, w trakcie pomiarów szerokopasmowych, wartości natężenia pola elektrycznego we wszystkich 30 z 30 punktów pomiarowych, nie przekraczają wartości granicznej 7 V/m;
- b) obliczone, na podstawie wyników pomiarów szerokopasmowych, wartości średniokwadratowe natężenia pola elektrycznego z uwzględnieniem oszacowanej

rozszerzonej niepewności pomiaru (przedział ufności 95%), we wszystkich 30 z 30 punktów pomiarowych, nie przekraczają wartości granicznej 7 V/m;

- c) obliczone, na podstawie wyników pomiarów selektywnych, wartości średniokwadratowe natężenia pola elektrycznego we wszystkich 30 z 30 punktów pomiarowych, nie przekraczają wartości granicznej 7 V/m;
- d) obliczone, na podstawie wyników pomiarów selektywnych, wartości średniokwadratowe natężenia pola elektrycznego z uwzględnieniem oszacowanej rozszerzonej niepewności pomiaru (przedział ufności 95%), we wszystkich 30 z 30 punktów pomiarowych, nie przekraczają wartości granicznej 7 V/m.

Tabl. 163 Wyniki pomiarów szerokopasmowych  
– Rzeszów, Krakowska

<b>1</b>	<b>2</b>	<b>3</b>	<b>4</b>
<b>Lok.</b>	<b><math>E_{zm}</math></b>	<b><math>E_{zm}-U\%</math></b>	<b><math>E_{zm}+U\%</math></b>
<b>-</b>	<b>V/m</b>	<b>V/m</b>	<b>V/m</b>
1.	1,3	0,8	1,8
2.	1,6	1,1	2,3
3.	1,3	0,9	1,9
4.	1,4	1,0	2,0
5.	1,5	1,0	2,1
6.	1,1	0,8	1,5
7.	2,0	1,3	2,7
8.	1,3	0,9	1,8
9.	1,8	1,2	2,6
10.	0,8	0,6	1,1
11.	1,6	1,0	2,2
12.	1,2	0,9	1,7
13.	0,7	0,5	0,9
14.	0,7	0,6	1,0
15.	0,7	0,5	0,9
16.	0,8	0,6	1,1
17.	0,7	0,5	0,8
18.	1,3	0,9	1,7
19.	1,3	0,8	1,7
20.	1,0	0,7	1,4
21.	1,4	1,0	2,0
22.	1,2	0,9	1,7
23.	1,2	0,8	1,6
24.	1,4	0,9	1,9
25.	0,7	0,5	0,9
26.	0,5	0,5	0,6
27.	0,8	0,6	1,0
28.	0,6	0,5	0,8
29.	0,5	0,3	0,7
30.	0,5	0,4	0,6

Tabl. 164 Wyniki pomiarów selektywnych  
– Rzeszów, Krakowska

1	2	3	4	5	6	7
Lok.	E	E-U%	E+U%	E <sub>BS</sub>	E <sub>BS</sub> -U%	E <sub>BS</sub> +U%
-	V/m	V/m	V/m	V/m	V/m	V/m
1.	1,3	0,9	1,7	1,2	0,8	1,7
2.	1,8	1,3	2,6	1,8	1,2	2,5
3.	1,5	1,0	2,1	1,5	1,0	2,1
4.	1,9	1,3	2,6	1,8	1,2	2,6
5.	1,7	1,1	2,4	1,7	1,1	2,4
6.	1,6	1,0	2,2	1,5	1,0	2,1
7.	2,4	1,5	3,2	2,3	1,5	3,2
8.	1,7	1,1	2,3	1,6	1,1	2,3
9.	1,9	1,2	2,6	1,9	1,2	2,6
10.	0,8	0,6	1,2	0,8	0,5	1,1
11.	2,0	1,3	2,7	1,9	1,3	2,7
12.	1,4	0,9	1,9	1,4	0,9	1,9
13.	0,6	0,5	0,8	0,6	0,5	0,8
14.	0,7	0,6	1,0	0,7	0,5	1,0
15.	0,8	0,6	1,1	0,8	0,5	1,0
16.	0,8	0,6	1,1	0,8	0,6	1,1
17.	0,6	0,4	0,8	0,6	0,4	0,8
18.	1,2	0,9	1,7	1,1	0,8	1,6
19.	1,3	0,9	1,9	1,3	0,9	1,9
20.	1,0	0,7	1,4	1,0	0,7	1,4
21.	1,7	1,2	2,4	1,7	1,1	2,3
22.	1,5	1,0	2,1	1,4	1,0	2,0
23.	1,4	1,0	2,0	1,4	1,0	2,0
24.	1,5	1,0	2,1	1,5	1,0	2,0
25.	0,7	0,5	1,0	0,7	0,4	0,9
26.	0,5	0,4	0,6	0,5	0,4	0,6
27.	0,8	0,6	1,0	0,5	0,5	0,6
28.	0,6	0,5	0,8	0,4	0,3	0,5
29.	0,7	0,5	1,0	0,7	0,5	1,0
30.	0,6	0,5	0,8	0,5	0,4	0,7

Szczegóły odnośnie przeprowadzonych badań oraz wyniki pomiarów zawarte są w Sprawozdaniu z badań nr 0110101018/RZE05 – **Załącznik 1.**

### 5.72 Rzeszów, Reja

Stwierdza się, że w otoczeniu stacji:

- ID: RZE1016A,
- ID: BT20167

a) zmierzone, w trakcie pomiarów szerokopasmowych, wartości natężenia pola elektrycznego we wszystkich 30 z 30 punktów pomiarowych, nie przekraczają wartości granicznej 7 V/m;

- b) obliczone, na podstawie wyników pomiarów szerokopasmowych, wartości średniokwadratowe natężenia pola elektrycznego z uwzględnieniem oszacowanej rozszerzonej niepewności pomiaru (przedział ufności 95%), we wszystkich 30 z 30 punktów pomiarowych, nie przekraczają wartości granicznej 7 V/m;
- c) obliczone, na podstawie wyników pomiarów selektywnych, wartości średniokwadratowe natężenia pola elektrycznego we wszystkich 30 z 30 punktów pomiarowych, nie przekraczają wartości granicznej 7 V/m;
- d) obliczone, na podstawie wyników pomiarów selektywnych, wartości średniokwadratowe natężenia pola elektrycznego z uwzględnieniem oszacowanej rozszerzonej niepewności pomiaru (przedział ufności 95%), w 2 z 30 punktów pomiarowych, przekraczają wartość graniczną 7 V/m.

Tabl. 165 Wyniki pomiarów szerokopasmowych  
– Rzeszów, Reja

<b>1</b>	<b>2</b>	<b>3</b>	<b>4</b>
<b>Lok.</b>	<b><math>E_{zm}</math></b>	<b><math>E_{zm}-U\%</math></b>	<b><math>E_{zm}+U\%</math></b>
-	<b>V/m</b>	<b>V/m</b>	<b>V/m</b>
1.	2,2	1,5	3,1
2.	2,2	1,5	3,1
3.	1,3	0,8	1,7
4.	1,9	1,3	2,6
5.	1,9	1,3	2,7
6.	1,4	0,9	1,9
7.	1,7	1,2	2,4
8.	2,5	1,6	3,5
9.	1,5	1,0	2,1
10.	1,1	0,8	1,6
11.	1,3	0,8	1,8
12.	2,9	2,0	4,1
13.	2,0	1,4	2,8
14.	1,3	0,9	1,8
15.	1,1	0,8	1,6
16.	1,9	1,3	2,7
17.	2,0	1,3	2,8
18.	1,4	1,0	2,0
19.	2,1	1,4	3,0
20.	2,5	1,7	3,6
21.	2,7	1,8	3,7
22.	2,0	1,4	2,8
23.	1,3	1,0	1,9
24.	2,3	1,5	3,1
25.	2,0	1,3	2,7
26.	0,8	0,6	1,1
27.	4,0	2,7	5,6
28.	2,0	1,4	2,8
29.	2,5	1,7	3,5
30.	1,3	0,8	1,8

Tabl. 166 Wyniki pomiarów selektywnych  
– Rzeszów, Reja

1	2	3	4	5	6	7
Lok.	E	E-U%	E+U%	E <sub>BS</sub>	E <sub>BS</sub> -U%	E <sub>BS</sub> +U%
-	V/m	V/m	V/m	V/m	V/m	V/m
1.	4,1	2,6	5,9	4,1	2,6	5,9
2.	3,3	2,1	4,6	3,3	2,1	4,6
3.	1,7	1,1	2,4	1,7	1,1	2,4
4.	2,2	1,5	3,0	2,2	1,5	3,0
5.	2,1	1,4	2,9	2,0	1,3	2,9
6.	2,7	1,8	3,8	2,7	1,8	3,8
7.	2,7	1,8	3,7	2,7	1,8	3,7
8.	2,3	1,5	3,1	2,2	1,5	3,1
9.	2,0	1,3	2,7	1,9	1,3	2,7
10.	1,3	0,9	1,8	1,3	0,9	1,7
11.	1,4	0,9	1,9	1,4	0,9	1,9
12.	5,1	3,4	7,2	5,1	3,4	7,2
13.	3,2	2,1	4,5	3,2	2,1	4,5
14.	2,1	1,3	2,9	2,1	1,3	2,8
15.	1,6	1,1	2,2	1,6	1,1	2,2
16.	2,8	1,8	3,8	2,7	1,8	3,8
17.	3,1	2,1	4,4	3,1	2,1	4,4
18.	2,7	1,7	3,8	2,6	1,7	3,8
19.	2,6	1,7	3,6	2,6	1,7	3,6
20.	2,8	1,9	4,0	2,8	1,9	4,0
21.	3,6	2,4	5,1	3,6	2,4	5,1
22.	3,2	2,1	4,5	3,2	2,1	4,5
23.	1,9	1,3	2,6	1,8	1,2	2,5
24.	3,1	2,0	4,4	3,0	2,0	4,3
25.	2,9	1,9	4,0	2,8	1,9	4,0
26.	1,1	0,7	1,6	1,0	0,7	1,5
27.	5,3	3,4	7,4	5,2	3,4	7,3
28.	3,2	2,0	4,5	3,2	2,0	4,4
29.	4,3	2,7	6,0	4,3	2,7	6,0
30.	1,6	1,0	2,3	1,4	0,9	2,0

Szczegóły odnośnie przeprowadzonych badań oraz wyniki pomiarów zawarte są w Sprawozdaniu z badań nr 0110101018/RZE06 – **Załącznik 1.**

### 5.73 Szczecin, Dmowskiego

Stwierdza się, że w otoczeniu stacji:

- ID: 12528
- a) zmierzone, w trakcie pomiarów szerokopasmowych, wartości natężenia pola elektrycznego we wszystkich 30 z 30 punktów pomiarowych, nie przekraczają wartości granicznej 7 V/m;
- b) obliczone, na podstawie wyników pomiarów szerokopasmowych, wartości średniokwadratowe natężenia pola elektrycznego z uwzględnieniem oszacowanej



rozszerzonej niepewności pomiaru (przedział ufności 95%), we wszystkich 30 z 30 punktów pomiarowych, nie przekraczają wartości granicznej 7 V/m;

- c) obliczone, na podstawie wyników pomiarów selektywnych, wartości średniokwadratowe natężenia pola elektrycznego we wszystkich 30 z 30 punktów pomiarowych, nie przekraczają wartości granicznej 7 V/m;
- d) obliczone, na podstawie wyników pomiarów selektywnych, wartości średniokwadratowe natężenia pola elektrycznego z uwzględnieniem oszacowanej rozszerzonej niepewności pomiaru (przedział ufności 95%), we wszystkich 30 z 30 punktów pomiarowych, nie przekraczają wartości granicznej 7 V/m.

Tabl. 167 Wyniki pomiarów szerokopasmowych  
–Szczecin, Dmowskiego

<b>1</b>	<b>2</b>	<b>3</b>	<b>4</b>
<b>Lok.</b>	<b><math>E_{zm}</math></b>	<b><math>E_{zm}-U\%</math></b>	<b><math>E_{zm}+U\%</math></b>
<b>-</b>	<b>V/m</b>	<b>V/m</b>	<b>V/m</b>
1.	0,7	0,4	0,9
2.	0,4	0,4	0,5
3.	0,4	0,3	0,4
4.	0,9	0,6	1,3
5.	0,6	0,5	0,8
6.	0,7	0,5	0,9
7.	1,2	0,8	1,6
8.	1,2	0,8	1,7
9.	0,4	0,4	0,5
10.	1,1	0,7	1,5
11.	0,5	0,4	0,7
12.	1,1	0,7	1,5
13.	0,7	0,5	0,9
14.	0,7	0,4	0,9
15.	0,6	0,4	0,8
16.	0,6	0,4	0,7
17.	0,7	0,5	1,0
18.	0,7	0,5	0,9
19.	0,5	0,4	0,7
20.	0,6	0,4	0,8
21.	0,4	0,3	0,6
22.	0,6	0,4	0,9
23.	0,6	0,4	0,8
24.	0,6	0,5	0,7
25.	0,5	0,4	0,6
26.	0,7	0,5	0,9
27.	0,5	0,4	0,7
28.	0,5	0,4	0,7
29.	0,6	0,5	0,8
30.	0,7	0,5	1,0

Tabl. 168 Wyniki pomiarów selektywnych  
– Szczecin, Dmowskiego

1	2	3	4	5	6	7
Lok.	E	E-U%	E+U%	E <sub>BS</sub>	E <sub>BS</sub> -U%	E <sub>BS</sub> +U%
-	V/m	V/m	V/m	V/m	V/m	V/m
1.	0,9	0,7	1,3	0,9	0,7	1,3
2.	0,5	0,3	0,8	0,5	0,3	0,8
3.	0,4	0,3	0,4	0,4	0,3	0,4
4.	0,8	0,5	1,1	0,8	0,5	1,1
5.	0,8	0,5	1,0	0,7	0,5	0,9
6.	0,9	0,5	1,3	0,9	0,5	1,3
7.	1,7	1,1	2,3	1,7	1,1	2,3
8.	1,4	0,9	2,0	1,4	0,9	1,9
9.	0,5	0,3	0,6	0,4	0,3	0,5
10.	1,7	1,2	2,4	1,7	1,2	2,4
11.	0,7	0,4	1,0	0,7	0,4	0,9
12.	1,5	1,0	2,1	1,4	1,0	2,0
13.	0,7	0,5	0,9	0,6	0,5	0,8
14.	1,0	0,7	1,5	1,0	0,7	1,4
15.	0,8	0,6	1,2	0,8	0,6	1,2
16.	0,8	0,6	1,1	0,8	0,6	1,1
17.	0,8	0,6	1,1	0,8	0,6	1,1
18.	0,8	0,5	1,1	0,8	0,5	1,1
19.	0,6	0,4	0,9	0,6	0,4	0,8
20.	0,6	0,3	0,8	0,5	0,3	0,7
21.	0,5	0,3	0,8	0,5	0,3	0,7
22.	1,1	0,7	1,5	1,0	0,7	1,4
23.	1,3	0,8	1,8	1,3	0,8	1,8
24.	0,6	0,4	0,7	0,5	0,4	0,6
25.	0,6	0,4	0,8	0,5	0,4	0,7
26.	0,7	0,5	1,1	0,7	0,5	1,0
27.	0,7	0,5	1,0	0,7	0,5	1,0
28.	0,7	0,4	0,9	0,6	0,4	0,8
29.	0,7	0,5	1,0	0,7	0,4	0,9
30.	1,0	0,6	1,4	1,0	0,6	1,4

Szczegóły odnośnie przeprowadzonych badań oraz wyniki pomiarów zawarte są w Sprawozdaniu z badań nr 0110101018/SZC01 – **Załącznik 1.**

**5.74 Szczecin, Poznańska**

Stwierdza się, że w otoczeniu stacji:

- ID: SCZ33600,
- ID: SZC1188\_A,
- ID: BT44612,
- ID: 74011N!

- a) zmierzone, w trakcie pomiarów szerokopasmowych, wartości natężenia pola elektrycznego we wszystkich 30 z 30 punktów pomiarowych, nie przekraczają wartości granicznej 7 V/m;
- b) obliczone, na podstawie wyników pomiarów szerokopasmowych, wartości średniokwadratowe natężenia pola elektrycznego z uwzględnieniem oszacowanej rozszerzonej niepewności pomiaru (przedział ufności 95%), we wszystkich 30 z 30 punktów pomiarowych, nie przekraczają wartości granicznej 7 V/m;
- c) obliczone, na podstawie wyników pomiarów selektywnych, wartości średniokwadratowe natężenia pola elektrycznego we wszystkich 30 z 30 punktów pomiarowych, nie przekraczają wartości granicznej 7 V/m;
- d) obliczone, na podstawie wyników pomiarów selektywnych, wartości średniokwadratowe natężenia pola elektrycznego z uwzględnieniem oszacowanej rozszerzonej niepewności pomiaru (przedział ufności 95%), we wszystkich 30 z 30 punktów pomiarowych, nie przekraczają wartości granicznej 7 V/m.

Tabl. 169 Wyniki pomiarów szerokopasmowych  
– Szczecin, Poznańska

<b>1</b>	<b>2</b>	<b>3</b>	<b>4</b>
<b>Lok.</b>	<b>E<sub>zm</sub></b>	<b>E<sub>zm</sub>-U%</b>	<b>E<sub>zm</sub>+U%</b>
-	<b>V/m</b>	<b>V/m</b>	<b>V/m</b>
1.	3,0	2,0	4,2
2.	1,6	1,0	2,2
3.	2,1	1,4	3,0
4.	2,4	1,6	3,3
5.	1,3	0,8	1,8
6.	1,3	0,9	1,8
7.	1,3	0,9	1,8
8.	2,2	1,4	3,1
9.	2,3	1,4	3,2
10.	2,5	1,6	3,5
11.	3,0	1,9	4,1
12.	2,9	1,8	4,0
13.	1,8	1,1	2,4
14.	3,4	2,2	4,8
15.	1,6	1,1	2,2
16.	2,4	1,6	3,4
17.	3,0	2,0	4,3
18.	2,7	1,7	3,7

1	2	3	4
Lok.	E <sub>zm</sub>	E <sub>zm</sub> -U%	E <sub>zm</sub> +U%
-	V/m	V/m	V/m
19.	4,0	2,6	5,6
20.	2,8	1,8	3,9
21.	1,5	1,0	2,0
22.	1,2	0,9	1,8
23.	1,0	0,6	1,4
24.	1,1	0,7	1,5
25.	0,8	0,5	1,1
26.	0,9	0,6	1,1
27.	0,8	0,6	1,1
28.	1,5	1,0	2,1
29.	1,6	1,1	2,2
30.	1,0	0,7	1,4

Tabl. 170 Wyniki pomiarów selektywnych  
– Szczecin, Poznańska

1	2	3	4	5	6	7
Lok.	E	E-U%	E+U%	E <sub>BS</sub>	E <sub>BS</sub> -U%	E <sub>BS</sub> +U%
-	V/m	V/m	V/m	V/m	V/m	V/m
1.	4,0	2,6	5,6	3,4	2,3	4,8
2.	1,9	1,3	2,7	1,5	1,0	2,2
3.	2,4	1,5	3,4	1,7	1,1	2,4
4.	2,9	1,9	4,1	2,4	1,6	3,4
5.	1,5	1,1	2,2	1,2	0,8	1,7
6.	1,3	0,9	1,8	0,6	0,4	0,8
7.	1,3	0,9	1,9	0,5	0,4	0,7
8.	2,2	1,4	3,2	1,2	0,8	1,6
9.	2,3	1,4	3,2	0,9	0,6	1,2
10.	2,8	1,8	3,9	1,8	1,2	2,6
11.	3,1	2,0	4,4	1,8	1,1	2,6
12.	2,9	1,8	4,0	1,9	1,2	2,7
13.	1,8	1,1	2,5	0,8	0,5	1,2
14.	3,8	2,5	5,3	3,5	2,4	5,0
15.	1,8	1,1	2,5	1,2	0,8	1,7
16.	2,6	1,7	3,7	2,0	1,2	2,8
17.	3,2	2,1	4,4	2,8	1,8	3,9
18.	2,9	1,9	4,0	2,3	1,5	3,2
19.	4,1	2,7	5,8	3,9	2,5	5,4
20.	2,9	1,9	4,0	2,7	1,8	3,8
21.	1,7	1,1	2,4	1,4	0,9	2,0
22.	1,6	1,1	2,2	1,3	0,9	1,8
23.	1,0	0,7	1,4	0,5	0,3	0,6
24.	1,0	0,7	1,5	0,5	0,4	0,6
25.	0,8	0,5	1,1	0,3	0,3	0,4
26.	0,9	0,7	1,2	0,7	0,5	0,9
27.	0,9	0,6	1,3	0,6	0,4	0,7

1	2	3	4	5	6	7
Lok.	E	E-U%	E+U%	E <sub>BS</sub>	E <sub>BS</sub> -U%	E <sub>BS</sub> +U%
-	V/m	V/m	V/m	V/m	V/m	V/m
28.	1,6	1,0	2,2	1,2	0,8	1,7
29.	2,3	1,5	3,2	2,1	1,4	3,0
30.	1,3	0,8	1,7	1,0	0,6	1,3

Szczegóły odnośnie przeprowadzonych badań oraz wyniki pomiarów zawarte są w Sprawozdaniu z badań nr 0110101018/SZC02 – **Załącznik 1.**

### 5.75 Szczecin, Santocka

Stwierdza się, że w otoczeniu stacji:

- ID: 33192,
- ID: SZC1078\_A,

- a) zmierzone, w trakcie pomiarów szerokopasmowych, wartości natężenia pola elektrycznego we wszystkich 30 z 30 punktów pomiarowych, nie przekraczają wartości granicznej 7 V/m;
- b) obliczone, na podstawie wyników pomiarów szerokopasmowych, wartości średniokwadratowe natężenia pola elektrycznego z uwzględnieniem oszacowanej rozszerzonej niepewności pomiaru (przedział ufności 95%), we wszystkich 30 z 30 punktów pomiarowych, nie przekraczają wartości granicznej 7 V/m;
- c) obliczone, na podstawie wyników pomiarów selektywnych, wartości średniokwadratowe natężenia pola elektrycznego we wszystkich 30 z 30 punktów pomiarowych, nie przekraczają wartości granicznej 7 V/m;
- d) obliczone, na podstawie wyników pomiarów selektywnych, wartości średniokwadratowe natężenia pola elektrycznego z uwzględnieniem oszacowanej rozszerzonej niepewności pomiaru (przedział ufności 95%), we wszystkich 30 z 30 punktów pomiarowych, nie przekraczają wartości granicznej 7 V/m.

Tabl. 171 Wyniki pomiarów szerokopasmowych  
– Szczecin, Santocka

1	2	3	4
Lok.	E <sub>zm</sub>	E <sub>zm</sub> -U%	E <sub>zm</sub> +U%
-	V/m	V/m	V/m
1.	1,9	1,2	2,7
2.	1,8	1,2	2,5
3.	1,3	0,9	1,9
4.	1,1	0,7	1,6
5.	2,0	1,3	2,8
6.	1,9	1,3	2,6
7.	2,2	1,5	3,1
8.	1,6	1,1	2,1
9.	0,5	0,4	0,6
10.	0,5	0,4	0,6
11.	1,6	1,1	2,3

1	2	3	4
Lok.	$E_{zm}$	$E_{zm}-U\%$	$E_{zm}+U\%$
-	V/m	V/m	V/m
12.	1,8	1,2	2,6
13.	1,8	1,2	2,5
14.	1,7	1,1	2,4
15.	3,4	2,3	4,7
16.	3,3	2,2	4,6
17.	2,4	1,6	3,4
18.	0,7	0,5	1,0
19.	0,8	0,5	1,0
20.	0,7	0,6	0,9
21.	1,0	0,7	1,4
22.	1,1	0,8	1,5
23.	1,2	0,9	1,7
24.	1,8	1,2	2,5
25.	1,6	1,0	2,3
26.	2,1	1,4	3,0
27.	2,8	1,8	3,9
28.	1,1	0,8	1,5
29.	1,1	0,8	1,6
30.	2,8	1,8	3,9

Tabl. 172 Wyniki pomiarów selektywnych  
– Szczecin, Santocka

1	2	3	4	5	6	7
Lok.	E	E-U%	E+U%	$E_{BS}$	$E_{BS}-U\%$	$E_{BS}+U\%$
-	V/m	V/m	V/m	V/m	V/m	V/m
1.	2,4	1,6	3,4	2,4	1,6	3,4
2.	2,4	1,6	3,4	2,4	1,6	3,4
3.	2,6	1,7	3,7	2,6	1,7	3,7
4.	1,8	1,2	2,5	1,8	1,2	2,5
5.	2,8	1,8	3,8	2,8	1,8	3,8
6.	3,3	2,2	4,5	3,3	2,2	4,5
7.	3,6	2,4	5,0	3,6	2,4	5,0
8.	2,2	1,5	3,1	2,2	1,5	3,1
9.	0,6	0,4	0,7	0,6	0,4	0,7
10.	0,6	0,4	0,9	0,6	0,4	0,9
11.	2,2	1,5	3,0	2,2	1,4	3,0
12.	2,4	1,6	3,4	2,4	1,5	3,3
13.	3,0	2,0	4,2	3,0	2,0	4,2
14.	2,5	1,6	3,6	2,5	1,6	3,5
15.	4,1	2,6	5,6	4,1	2,6	5,6
16.	4,8	3,2	6,8	4,8	3,2	6,8
17.	3,8	2,5	5,4	3,8	2,5	5,4
18.	0,8	0,6	1,2	0,8	0,6	1,2
19.	1,0	0,7	1,4	0,9	0,7	1,3
20.	1,6	1,1	2,2	1,6	1,1	2,2

1	2	3	4	5	6	7
Lok.	E	E-U%	E+U%	E <sub>BS</sub>	E <sub>BS</sub> -U%	E <sub>BS</sub> +U%
-	V/m	V/m	V/m	V/m	V/m	V/m
21.	1,7	1,1	2,3	1,7	1,1	2,3
22.	1,7	1,1	2,3	1,7	1,1	2,3
23.	2,4	1,5	3,4	2,4	1,5	3,4
24.	2,4	1,6	3,4	2,4	1,6	3,4
25.	2,1	1,4	2,9	2,0	1,3	2,9
26.	2,2	1,4	3,0	2,2	1,4	3,0
27.	3,0	2,0	4,2	3,0	2,0	4,2
28.	1,4	0,9	1,9	1,4	0,9	1,9
29.	1,5	1,0	2,2	1,5	1,0	2,2
30.	2,5	1,7	3,6	2,5	1,7	3,6

Szczegóły odnośnie przeprowadzonych badań oraz wyniki pomiarów zawarte są w Sprawozdaniu z badań nr 0110101018/SZC03 – **Załącznik 1.**

### 5.76 Szczecin, Jagiełły

Stwierdza się, że w otoczeniu stacji:

– ID: BT43629

- zmierzone, w trakcie pomiarów szerokopasmowych, wartości natężenia pola elektrycznego we wszystkich 30 z 30 punktów pomiarowych, nie przekraczają wartości granicznej 7 V/m;
- obliczone, na podstawie wyników pomiarów szerokopasmowych, wartości średniokwadratowe natężenia pola elektrycznego z uwzględnieniem oszacowanej rozszerzonej niepewności pomiaru (przedział ufności 95%), we wszystkich 30 z 30 punktów pomiarowych, nie przekraczają wartości granicznej 7 V/m;
- obliczone, na podstawie wyników pomiarów selektywnych, wartości średniokwadratowe natężenia pola elektrycznego we wszystkich 30 z 30 punktów pomiarowych, nie przekraczają wartości granicznej 7 V/m;
- obliczone, na podstawie wyników pomiarów selektywnych, wartości średniokwadratowe natężenia pola elektrycznego z uwzględnieniem oszacowanej rozszerzonej niepewności pomiaru (przedział ufności 95%), we wszystkich 30 z 30 punktów pomiarowych, nie przekraczają wartości granicznej 7 V/m.

Tabl. 173 Wyniki pomiarów szerokopasmowych  
– Szczecin, Jagiełły

1	2	3	4
Lok.	E <sub>zm</sub>	E <sub>zm</sub> -U%	E <sub>zm</sub> +U%
-	V/m	V/m	V/m
1.	1,3	0,9	1,8
2.	0,8	0,6	1,1
3.	0,6	0,5	0,8
4.	0,4	0,4	0,4
5.	0,3	0,3	0,3

1	2	3	4
Lok.	$E_{zm}$	$E_{zm}-U\%$	$E_{zm}+U\%$
-	V/m	V/m	V/m
6.	0,9	0,7	1,4
7.	0,5	0,4	0,8
8.	0,6	0,5	0,9
9.	0,6	0,4	0,8
10.	0,8	0,6	1,1
11.	0,7	0,5	1,0
12.	1,2	0,9	1,7
13.	1,0	0,7	1,4
14.	0,6	0,5	0,7
15.	0,4	0,4	0,4
16.	0,8	0,5	1,0
17.	0,4	0,4	0,4
18.	0,5	0,4	0,5
19.	0,9	0,7	1,2
20.	0,7	0,6	1,0
21.	1,5	1,0	2,1
22.	1,2	0,8	1,7
23.	0,6	0,5	0,7
24.	1,4	1,0	2,0
25.	1,0	0,7	1,3
26.	1,0	0,7	1,3
27.	1,5	1,0	2,2
28.	0,5	0,4	0,7
29.	0,6	0,5	0,7
30.	1,2	0,8	1,5

Tabl. 174 Wyniki pomiarów selektywnych  
– Szczecin, Jagiełły

1	2	3	4	5	6	7
Lok.	E	E-U%	E+U%	$E_{BS}$	$E_{BS}-U\%$	$E_{BS}+U\%$
-	V/m	V/m	V/m	V/m	V/m	V/m
1.	1,3	0,9	1,8	1,3	0,9	1,8
2.	1,3	0,9	1,8	1,3	0,9	1,8
3.	0,9	0,6	1,2	0,9	0,6	1,2
4.	0,4	0,4	0,5	0,4	0,4	0,5
5.	0,3	0,3	0,3	0,3	0,3	0,3
6.	1,1	0,8	1,6	1,1	0,8	1,6
7.	0,6	0,4	0,8	0,6	0,4	0,8
8.	0,7	0,5	1,0	0,7	0,5	1,0
9.	1,1	0,8	1,5	1,1	0,8	1,5
10.	1,2	0,8	1,6	1,2	0,8	1,6
11.	1,0	0,7	1,4	1,0	0,7	1,4
12.	1,2	0,9	1,7	1,2	0,9	1,7
13.	1,4	1,0	2,0	1,4	1,0	1,9
14.	0,9	0,6	1,2	0,9	0,6	1,2



1	2	3	4	5	6	7
Lok.	E	E-U%	E+U%	E <sub>BS</sub>	E <sub>BS</sub> -U%	E <sub>BS</sub> +U%
-	V/m	V/m	V/m	V/m	V/m	V/m
15.	0,4	0,3	0,5	0,4	0,3	0,5
16.	0,8	0,6	1,1	0,8	0,5	1,1
17.	0,6	0,4	0,8	0,6	0,4	0,8
18.	0,4	0,4	0,5	0,4	0,4	0,5
19.	1,3	0,9	1,8	1,3	0,9	1,8
20.	0,8	0,6	1,1	0,8	0,6	1,1
21.	1,8	1,2	2,5	1,8	1,2	2,5
22.	1,3	0,9	1,9	1,3	0,9	1,9
23.	0,8	0,6	1,1	0,8	0,6	1,1
24.	1,5	1,0	2,1	1,5	1,0	2,1
25.	1,3	0,8	1,7	1,3	0,8	1,7
26.	1,2	0,8	1,6	1,2	0,8	1,6
27.	1,9	1,2	2,6	1,9	1,2	2,6
28.	0,7	0,5	0,9	0,7	0,5	0,9
29.	0,7	0,5	0,9	0,7	0,5	0,9
30.	1,4	0,9	1,9	1,4	0,9	1,9

Szczegóły odnośnie przeprowadzonych badań oraz wyniki pomiarów zawarte są w Sprawozdaniu z badań nr 0110101018/SZC04 – **Załącznik 1.**

#### 5.77 Szczecin, Komuny Paryskiej

Stwierdza się, że w otoczeniu stacji:

– ID: BT\_43097

- a) zmierzone, w trakcie pomiarów szerokopasmowych, wartości natężenia pola elektrycznego we wszystkich 30 z 30 punktów pomiarowych, nie przekraczają wartości granicznej 7 V/m;
- b) obliczone, na podstawie wyników pomiarów szerokopasmowych, wartości średniokwadratowe natężenia pola elektrycznego z uwzględnieniem oszacowanej rozszerzonej niepewności pomiaru (przedział ufności 95%), we wszystkich 30 z 30 punktów pomiarowych, nie przekraczają wartości granicznej 7 V/m;
- c) obliczone, na podstawie wyników pomiarów selektywnych, wartości średniokwadratowe natężenia pola elektrycznego we wszystkich 30 z 30 punktów pomiarowych, nie przekraczają wartości granicznej 7 V/m;
- d) obliczone, na podstawie wyników pomiarów selektywnych, wartości średniokwadratowe natężenia pola elektrycznego z uwzględnieniem oszacowanej rozszerzonej niepewności pomiaru (przedział ufności 95%), we wszystkich 30 z 30 punktów pomiarowych, nie przekraczają wartości granicznej 7 V/m.

Tabl. 175 Wyniki pomiarów szerokopasmowych  
– Szczecin, Komuny Paryskiej

1	2	3	4
Lok.	$E_{zm}$	$E_{zm}-U\%$	$E_{zm}+U\%$
-	V/m	V/m	V/m
1.	0,9	0,6	1,2
2.	0,5	0,4	0,6
3.	0,8	0,5	1,1
4.	0,7	0,5	0,9
5.	0,4	0,4	0,5
6.	1,0	0,7	1,3
7.	1,0	0,7	1,4
8.	0,9	0,6	1,2
9.	1,2	0,8	1,6
10.	1,5	1,0	2,1
11.	1,8	1,3	2,6
12.	1,4	0,8	1,9
13.	1,2	0,9	1,7
14.	1,3	0,9	1,8
15.	0,5	0,4	0,7
16.	0,7	0,5	1,0
17.	1,2	0,7	1,7
18.	1,1	0,7	1,5
19.	0,7	0,5	0,9
20.	0,7	0,5	0,9
21.	0,6	0,5	0,8
22.	0,7	0,5	0,9
23.	1,1	0,8	1,5
24.	0,5	0,4	0,6
25.	0,5	0,4	0,5
26.	0,8	0,6	1,1
27.	0,9	0,6	1,3
28.	0,6	0,5	0,8
29.	1,1	0,8	1,5
30.	1,2	0,8	1,6

Tabl. 176 Wyniki pomiarów selektywnych  
– Szczecin, Komuny Paryskiej

1	2	3	4	5	6	7
Lok.	E	E-U%	E+U%	$E_{BS}$	$E_{BS}-U\%$	$E_{BS}+U\%$
-	V/m	V/m	V/m	V/m	V/m	V/m
1.	1,0	0,6	1,3	0,9	0,6	1,3
2.	0,7	0,4	0,9	0,6	0,4	0,9
3.	0,9	0,7	1,3	0,9	0,7	1,3
4.	0,9	0,7	1,2	0,9	0,6	1,2
5.	0,8	0,5	1,1	0,8	0,5	1,1
6.	1,0	0,7	1,4	1,0	0,7	1,4

1	2	3	4	5	6	7
Lok.	E	E-U%	E+U%	E <sub>BS</sub>	E <sub>BS</sub> -U%	E <sub>BS</sub> +U%
-	V/m	V/m	V/m	V/m	V/m	V/m
7.	1,0	0,7	1,4	1,0	0,7	1,4
8.	1,0	0,7	1,3	1,0	0,7	1,3
9.	1,2	0,8	1,6	1,1	0,8	1,6
10.	1,9	1,2	2,7	1,9	1,2	2,7
11.	1,9	1,3	2,7	1,9	1,3	2,7
12.	1,7	1,1	2,5	1,7	1,1	2,5
13.	1,6	1,1	2,3	1,6	1,1	2,3
14.	1,7	1,2	2,5	1,7	1,2	2,5
15.	0,6	0,4	0,9	0,6	0,4	0,9
16.	1,2	0,8	1,7	1,2	0,8	1,7
17.	1,6	1,1	2,2	1,6	1,1	2,2
18.	1,7	1,1	2,3	1,7	1,1	2,3
19.	0,8	0,6	1,1	0,8	0,6	1,1
20.	0,8	0,6	1,2	0,8	0,6	1,2
21.	0,8	0,6	1,1	0,8	0,6	1,1
22.	0,7	0,5	1,0	0,7	0,5	1,0
23.	1,3	0,9	1,8	1,3	0,9	1,8
24.	0,6	0,4	0,8	0,6	0,4	0,8
25.	0,5	0,4	0,6	0,5	0,4	0,6
26.	0,8	0,6	1,2	0,8	0,6	1,2
27.	1,0	0,7	1,4	1,0	0,7	1,4
28.	0,6	0,4	0,7	0,6	0,4	0,7
29.	1,6	1,0	2,2	1,6	1,0	2,2
30.	1,8	1,1	2,5	1,8	1,1	2,5

Szczegóły odnośnie przeprowadzonych badań oraz wyniki pomiarów zawarte są w Sprawozdaniu z badań nr 0110101018/SZC05– **Załącznik 1.**

### 5.78 Szczecin, Niemierzyńska

Stwierdza się, że w otoczeniu stacji:

- ID: BT\_42831,
  - ID: SZC1029\_F
- a) zmierzone, w trakcie pomiarów szerokopasmowych, wartości natężenia pola elektrycznego we wszystkich 30 z 30 punktów pomiarowych, nie przekraczają wartości granicznej 7 V/m;
  - b) obliczone, na podstawie wyników pomiarów szerokopasmowych, wartości średniokwadratowe natężenia pola elektrycznego z uwzględnieniem oszacowanej rozszerzonej niepewności pomiaru (przedział ufności 95%), we wszystkich 30 z 30 punktów pomiarowych, nie przekraczają wartości granicznej 7 V/m;
  - c) obliczone, na podstawie wyników pomiarów selektywnych, wartości średniokwadratowe natężenia pola elektrycznego we wszystkich 30 z 30 punktów pomiarowych, nie przekraczają wartości granicznej 7 V/m;

- d) obliczone, na podstawie wyników pomiarów selektywnych, wartości średniokwadratowe natężenia pola elektrycznego z uwzględnieniem oszacowanej rozszerzonej niepewności pomiaru (przedział ufności 95%), we wszystkich 30 z 30 punktów pomiarowych, nie przekraczają wartości granicznej 7 V/m.

Tabl. 177 Wyniki pomiarów szerokopasmowych  
– Szczecin, Niemierzyńska

<b>1</b>	<b>2</b>	<b>3</b>	<b>4</b>
<b>Lok.</b>	<b>E<sub>zm</sub></b>	<b>E<sub>zm</sub>-U%</b>	<b>E<sub>zm</sub>+U%</b>
<b>-</b>	<b>V/m</b>	<b>V/m</b>	<b>V/m</b>
1.	1,3	0,8	1,8
2.	1,7	1,1	2,3
3.	1,5	0,9	2,1
4.	1,2	0,8	1,7
5.	1,6	1,1	2,2
6.	1,3	0,9	1,8
7.	1,1	0,7	1,5
8.	1,2	0,8	1,8
9.	1,1	0,7	1,6
10.	1,2	0,8	1,6
11.	0,9	0,6	1,2
12.	0,7	0,5	1,0
13.	0,2	0,2	0,2
14.	0,5	0,4	0,5
15.	0,6	0,5	0,8
16.	0,6	0,5	0,7
17.	0,6	0,5	0,8
18.	0,9	0,6	1,3
19.	0,7	0,5	1,0
20.	0,8	0,5	1,2
21.	1,0	0,7	1,4
22.	1,1	0,7	1,5
23.	0,8	0,6	1,0
24.	1,0	0,7	1,3
25.	0,5	0,4	0,6
26.	0,9	0,6	1,2
27.	0,9	0,6	1,3
28.	0,7	0,5	1,0
29.	0,9	0,6	1,3
30.	0,9	0,6	1,3

Tabl. 178 Wyniki pomiarów selektywnych  
– Szczecin, Niemierzyńska

1	2	3	4	5	6	7
Lok.	E	E-U%	E+U%	E <sub>BS</sub>	E <sub>BS</sub> -U%	E <sub>BS</sub> +U%
-	V/m	V/m	V/m	V/m	V/m	V/m
1.	1,8	1,2	2,5	1,8	1,2	2,5
2.	2,5	1,6	3,5	2,5	1,6	3,5
3.	2,0	1,3	2,8	2,0	1,3	2,8
4.	2,2	1,4	3,0	2,2	1,4	3,0
5.	2,3	1,5	3,2	2,3	1,5	3,2
6.	1,9	1,2	2,8	1,9	1,2	2,8
7.	1,8	1,2	2,5	1,8	1,2	2,5
8.	1,7	1,0	2,3	1,7	1,0	2,3
9.	1,4	0,9	2,0	1,4	0,9	2,0
10.	1,6	1,1	2,3	1,6	1,1	2,3
11.	1,3	0,8	1,8	1,3	0,8	1,8
12.	1,4	0,9	2,0	1,4	0,9	2,0
13.	0,4	0,3	0,5	0,4	0,3	0,5
14.	0,5	0,4	0,6	0,5	0,4	0,6
15.	1,0	0,7	1,4	1,0	0,7	1,4
16.	0,7	0,5	0,9	0,7	0,5	0,9
17.	0,9	0,7	1,3	0,9	0,7	1,3
18.	1,4	0,9	2,0	1,4	0,9	2,0
19.	0,9	0,6	1,3	0,9	0,6	1,3
20.	1,1	0,7	1,5	1,1	0,7	1,5
21.	1,4	0,9	1,9	1,4	0,9	1,9
22.	1,2	0,8	1,7	1,2	0,8	1,7
23.	0,9	0,6	1,2	0,9	0,6	1,2
24.	0,9	0,6	1,2	0,9	0,6	1,2
25.	0,5	0,4	0,7	0,5	0,4	0,7
26.	1,2	0,8	1,7	1,2	0,8	1,7
27.	1,1	0,8	1,5	1,1	0,8	1,5
28.	1,2	0,8	1,6	1,2	0,8	1,6
29.	1,2	0,8	1,6	1,2	0,8	1,6
30.	1,4	1,0	2,0	1,4	1,0	2,0

Szczegóły odnośnie przeprowadzonych badań oraz wyniki pomiarów zawarte są w Sprawozdaniu z badań nr 0110101018/SZC06 – **Załącznik 1.**

#### 5.79 Warszawa, Karowa

Stwierdza się, że w otoczeniu stacji:

- ID: BT16002,
- ID: WAR1232C

a) zmierzone, w trakcie pomiarów szerokopasmowych, wartości natężenia pola elektrycznego we wszystkich 30 z 30 punktów pomiarowych, nie przekraczają wartości granicznej 7 V/m;

- b) obliczone, na podstawie wyników pomiarów szerokopasmowych, wartości średniokwadratowe natężenia pola elektrycznego z uwzględnieniem oszacowanej rozszerzonej niepewności pomiaru (przedział ufności 95%), we wszystkich 30 z 30 punktów pomiarowych, nie przekraczają wartości granicznej 7 V/m;
- c) obliczone, na podstawie wyników pomiarów selektywnych, wartości średniokwadratowe natężenia pola elektrycznego we wszystkich 30 z 30 punktów pomiarowych, nie przekraczają wartości granicznej 7 V/m;
- d) obliczone, na podstawie wyników pomiarów selektywnych, wartości średniokwadratowe natężenia pola elektrycznego z uwzględnieniem oszacowanej rozszerzonej niepewności pomiaru (przedział ufności 95%), we wszystkich 30 z 30 punktów pomiarowych, nie przekraczają wartości granicznej 7 V/m.

Tabl. 179 Wyniki pomiarów szerokopasmowych  
– Warszawa, Karowa

<b>1</b>	<b>2</b>	<b>3</b>	<b>4</b>
<b>Lok.</b>	<b><math>E_{zm}</math></b>	<b><math>E_{zm}-U\%</math></b>	<b><math>E_{zm}+U\%</math></b>
-	<b>V/m</b>	<b>V/m</b>	<b>V/m</b>
1.	1,1	0,8	1,6
2.	0,8	0,6	1,1
3.	0,5	0,5	0,6
4.	0,4	0,4	0,5
5.	0,6	0,5	0,8
6.	1,3	0,9	1,9
7.	1,2	0,8	1,7
8.	1,0	0,8	1,4
9.	0,7	0,5	0,9
10.	0,7	0,6	0,9
11.	0,8	0,6	1,0
12.	1,1	0,8	1,6
13.	1,8	1,3	2,6
14.	1,8	1,2	2,6
15.	0,9	0,6	1,2
16.	0,9	0,6	1,3
17.	1,5	1,0	2,0
18.	0,6	0,5	0,8
19.	0,8	0,6	1,1
20.	1,7	1,1	2,4
21.	0,6	0,5	0,8
22.	1,1	0,8	1,6
23.	0,6	0,5	0,9
24.	0,8	0,6	1,0
25.	0,5	0,4	0,6
26.	0,6	0,5	0,8
27.	0,6	0,5	0,8
28.	0,6	0,5	0,8
29.	0,7	0,6	0,8
30.	0,6	0,5	0,7

Tabl. 180 Wyniki pomiarów selektywnych  
– Warszawa, Karowa

1	2	3	4	5	6	7
Lok.	E	E-U%	E+U%	E <sub>BS</sub>	E <sub>BS</sub> -U%	E <sub>BS</sub> +U%
-	V/m	V/m	V/m	V/m	V/m	V/m
1.	1,1	0,8	1,6	1,1	0,7	1,5
2.	1,0	0,7	1,4	1,0	0,7	1,4
3.	0,5	0,4	0,7	0,5	0,4	0,6
4.	0,6	0,5	0,7	0,6	0,5	0,7
5.	0,7	0,5	1,0	0,7	0,5	0,9
6.	1,9	1,3	2,7	1,9	1,3	2,7
7.	1,9	1,2	2,6	1,9	1,2	2,6
8.	1,1	0,8	1,5	1,1	0,7	1,5
9.	0,9	0,7	1,3	0,9	0,6	1,2
10.	1,0	0,7	1,3	0,9	0,7	1,3
11.	0,9	0,7	1,2	0,8	0,6	1,2
12.	1,3	0,9	1,9	1,3	0,9	1,8
13.	2,1	1,4	2,9	2,0	1,4	2,8
14.	2,5	1,6	3,5	2,4	1,6	3,4
15.	1,1	0,8	1,6	1,0	0,7	1,5
16.	1,1	0,7	1,5	1,0	0,7	1,5
17.	1,9	1,2	2,6	1,8	1,2	2,6
18.	0,8	0,6	1,2	0,8	0,5	1,2
19.	1,0	0,7	1,5	0,9	0,6	1,3
20.	2,0	1,3	2,8	1,5	1,0	2,2
21.	0,8	0,4	1,2	0,8	0,4	1,1
22.	1,3	0,9	1,8	1,1	0,7	1,4
23.	0,9	0,7	1,3	0,9	0,7	1,3
24.	0,9	0,6	1,2	0,9	0,6	1,1
25.	0,3	0,2	0,5	0,3	0,2	0,4
26.	0,8	0,6	1,0	0,7	0,6	1,0
27.	0,5	0,4	0,8	0,5	0,3	0,7
28.	1,1	0,7	1,5	1,1	0,7	1,5
29.	0,9	0,7	1,3	0,9	0,7	1,2
30.	0,8	0,6	1,0	0,7	0,5	1,0

Szczegóły odnośnie przeprowadzonych badań oraz wyniki pomiarów zawarte są w Sprawozdaniu z badań nr 0110101018/WAR01 – **Załącznik 1.**

### 5.80 Warszawa, Wspólna

Stwierdza się, że w otoczeniu stacji:

– ID: BT10759

- a) zmierzone, w trakcie pomiarów szerokopasmowych, wartości natężenia pola elektrycznego we wszystkich 31 z 31 punktów pomiarowych, nie przekraczają wartości granicznej 7 V/m;

- b) obliczone, na podstawie wyników pomiarów szerokopasmowych, wartości średniokwadratowe natężenia pola elektrycznego z uwzględnieniem oszacowanej rozszerzonej niepewności pomiaru (przedział ufności 95%), we wszystkich 31 z 31 punktów pomiarowych, nie przekraczają wartości granicznej 7 V/m;
- c) obliczone, na podstawie wyników pomiarów selektywnych, wartości średniokwadratowe natężenia pola elektrycznego we wszystkich 31 z 31 punktów pomiarowych, nie przekraczają wartości granicznej 7 V/m;
- d) obliczone, na podstawie wyników pomiarów selektywnych, wartości średniokwadratowe natężenia pola elektrycznego z uwzględnieniem oszacowanej rozszerzonej niepewności pomiaru (przedział ufności 95%), we wszystkich 31 z 31 punktów pomiarowych, nie przekraczają wartości granicznej 7 V/m.

Tabl. 181 Wyniki pomiarów szerokopasmowych  
– Warszawa, Wspólna

1	2	3	4
Lok.	$E_{zm}$	$E_{zm}-U\%$	$E_{zm}+U\%$
-	V/m	V/m	V/m
1.	1,3	0,9	1,8
2.	1,2	0,9	1,6
3.	1,3	0,9	1,8
4.	1,1	0,8	1,4
5.	0,7	0,6	0,9
6.	1,5	1,0	2,2
7.	1,5	0,9	2,0
8.	0,9	0,6	1,2
9.	1,4	0,9	1,9
10.	0,7	0,5	0,9
11.	0,6	0,5	0,7
12.	1,6	1,0	2,2
13.	1,1	0,8	1,5
14.	1,5	1,0	2,1
15.	1,7	1,1	2,3
16.	0,6	0,5	0,7
17.	1,0	0,7	1,4
18.	1,1	0,7	1,5
19.	1,0	0,7	1,3
20.	1,7	1,2	2,4
21.	3,4	2,3	4,8
22.	1,8	1,3	2,6
23.	1,1	0,8	1,5
24.	1,4	0,9	1,9
25.	0,9	0,7	1,2
26.	1,9	1,2	2,6
27.	1,0	0,7	1,4
28.	1,5	1,0	2,1
29.	1,3	0,9	1,8
30.	1,5	1,0	2,1



1	2	3	4
Lok.	$E_{zm}$	$E_{zm}-U\%$	$E_{zm}+U\%$
-	V/m	V/m	V/m
31.	0,9	0,6	1,1

Tabl. 182 Wyniki pomiarów selektywnych  
– Warszawa, Wspólna

1	2	3	4	5	6	7
Lok.	E	E-U%	E+U%	$E_{BS}$	$E_{BS}-U\%$	$E_{BS}+U\%$
-	V/m	V/m	V/m	V/m	V/m	V/m
1.	1,4	1,0	2,0	1,3	0,9	1,8
2.	1,4	0,9	1,9	1,1	0,8	1,5
3.	1,4	0,9	2,0	1,2	0,8	1,7
4.	1,1	0,7	1,4	0,8	0,6	1,1
5.	0,7	0,6	1,0	0,6	0,5	0,8
6.	1,7	1,2	2,3	1,6	1,1	2,3
7.	1,5	1,0	2,1	1,1	0,7	1,5
8.	1,0	0,7	1,5	1,0	0,6	1,4
9.	1,7	1,1	2,3	1,6	1,1	2,3
10.	0,7	0,5	1,0	0,6	0,4	0,9
11.	0,5	0,4	0,6	0,4	0,4	0,5
12.	1,7	1,1	2,4	1,6	1,0	2,2
13.	1,4	1,0	2,0	1,4	0,9	1,9
14.	1,9	1,2	2,7	1,7	1,1	2,5
15.	1,8	1,1	2,5	1,4	0,9	2,0
16.	0,5	0,5	0,7	0,3	0,3	0,3
17.	0,9	0,7	1,3	0,9	0,6	1,2
18.	1,2	0,9	1,7	1,2	0,8	1,6
19.	1,0	0,7	1,4	0,9	0,7	1,3
20.	1,7	1,2	2,3	1,6	1,1	2,2
21.	2,6	1,7	3,6	2,4	1,5	3,2
22.	2,0	1,3	2,8	1,9	1,3	2,7
23.	1,2	0,8	1,6	1,0	0,7	1,5
24.	1,5	1,1	2,2	1,5	1,0	2,1
25.	0,9	0,6	1,3	0,8	0,5	1,2
26.	1,7	1,1	2,3	1,4	0,9	2,0
27.	1,4	1,0	1,9	1,3	0,9	1,9
28.	1,6	1,1	2,2	1,4	1,0	1,9
29.	1,5	1,0	2,1	1,5	1,0	2,0
30.	1,4	0,9	2,0	1,0	0,7	1,3
31.	0,6	0,4	0,9	0,3	0,2	0,4

Szczegóły odnośnie przeprowadzonych badań oraz wyniki pomiarów zawarte są w Sprawozdaniu z badań nr 0110101018/WAR02 – **Załącznik 1.**

**5.81 Warszawa, Jana Pawła II 18**

Stwierdza się, że w otoczeniu stacji:

– ID: BT11100

- a) zmierzone, w trakcie pomiarów szerokopasmowych, wartości natężenia pola elektrycznego we wszystkich 30 z 30 punktów pomiarowych, nie przekraczają wartości granicznej 7 V/m;
- b) obliczone, na podstawie wyników pomiarów szerokopasmowych, wartości średniokwadratowe natężenia pola elektrycznego z uwzględnieniem oszacowanej rozszerzonej niepewności pomiaru (przedział ufności 95%), we wszystkich 30 z 30 punktów pomiarowych, nie przekraczają wartości granicznej 7 V/m;
- c) obliczone, na podstawie wyników pomiarów selektywnych, wartości średniokwadratowe natężenia pola elektrycznego we wszystkich 30 z 30 punktów pomiarowych, nie przekraczają wartości granicznej 7 V/m;
- d) obliczone, na podstawie wyników pomiarów selektywnych, wartości średniokwadratowe natężenia pola elektrycznego z uwzględnieniem oszacowanej rozszerzonej niepewności pomiaru (przedział ufności 95%), we wszystkich 30 z 30 punktów pomiarowych, nie przekraczają wartości granicznej 7 V/m.

Tabl. 183 Wyniki pomiarów szerokopasmowych  
– Warszawa, Jana Pawła II 18

<b>1</b>	<b>2</b>	<b>3</b>	<b>4</b>
<b>Lok.</b>	<b><math>E_{zm}</math></b>	<b><math>E_{zm}-U\%</math></b>	<b><math>E_{zm}+U\%</math></b>
<b>-</b>	<b>V/m</b>	<b>V/m</b>	<b>V/m</b>
1.	2,8	1,9	3,9
2.	2,6	1,8	3,7
3.	3,0	2,0	4,2
4.	3,5	2,3	4,9
5.	2,3	1,6	3,2
6.	3,3	2,2	4,6
7.	2,7	1,8	3,8
8.	2,2	1,5	3,1
9.	1,8	1,2	2,4
10.	1,5	1,0	2,2
11.	2,5	1,7	3,4
12.	2,2	1,5	3,1
13.	2,0	1,3	2,8
14.	2,0	1,3	2,7
15.	1,9	1,3	2,6
16.	1,9	1,2	2,6
17.	2,0	1,3	2,7
18.	2,7	1,8	3,7
19.	1,6	1,1	2,2
20.	1,5	1,0	2,0
21.	2,7	1,8	3,7
22.	2,5	1,7	3,5

1	2	3	4
Lok.	$E_{zm}$	$E_{zm}-U\%$	$E_{zm}+U\%$
-	V/m	V/m	V/m
23.	2,2	1,5	3,1
24.	2,8	1,9	3,9
25.	2,4	1,6	3,3
26.	1,5	1,0	2,0
27.	2,7	1,8	3,7
28.	2,4	1,6	3,4
29.	2,6	1,8	3,6
30.	2,9	2,0	4,1

Tabl. 184 Wyniki pomiarów selektywnych  
– Warszawa, Jana Pawła II 18

1	2	3	4	5	6	7
Lok.	E	E-U%	E+U%	$E_{BS}$	$E_{BS}-U\%$	$E_{BS}+U\%$
-	V/m	V/m	V/m	V/m	V/m	V/m
1.	3,4	2,3	4,8	3,2	2,1	4,5
2.	2,9	1,9	4,0	2,8	1,8	3,9
3.	3,3	2,1	4,6	2,9	1,9	4,1
4.	3,8	2,5	5,2	3,4	2,2	4,7
5.	2,6	1,7	3,7	2,4	1,6	3,4
6.	3,4	2,2	4,7	2,9	1,9	4,1
7.	2,8	1,8	3,9	2,6	1,7	3,6
8.	2,2	1,5	3,2	2,1	1,4	2,9
9.	1,8	1,2	2,4	1,6	1,1	2,2
10.	1,6	1,1	2,2	1,3	0,9	1,9
11.	2,5	1,7	3,6	2,5	1,7	3,5
12.	2,3	1,6	3,2	2,1	1,4	2,9
13.	2,1	1,4	3,0	2,0	1,3	2,7
14.	2,1	1,4	2,9	1,9	1,3	2,6
15.	1,8	1,2	2,5	1,3	0,9	1,9
16.	1,9	1,2	2,6	1,5	1,0	2,1
17.	1,9	1,3	2,6	1,5	1,0	2,0
18.	2,6	1,7	3,6	2,4	1,6	3,3
19.	1,7	1,1	2,3	1,4	0,9	1,8
20.	1,5	1,0	2,1	1,4	0,9	1,9
21.	2,6	1,7	3,6	2,5	1,6	3,5
22.	2,9	1,9	4,0	2,8	1,8	3,9
23.	2,6	1,7	3,6	2,5	1,6	3,4
24.	2,7	1,7	3,7	2,5	1,6	3,4
25.	2,5	1,7	3,6	2,2	1,5	3,1
26.	1,2	0,8	1,7	0,9	0,6	1,2
27.	2,7	1,8	3,8	2,3	1,5	3,2
28.	2,8	1,8	3,9	2,6	1,7	3,7
29.	2,9	1,9	4,1	2,7	1,8	3,7
30.	2,9	1,9	4,0	2,6	1,8	3,7

Szczegóły odnośnie przeprowadzonych badań oraz wyniki pomiarów zawarte są w Sprawozdaniu z badań nr 0110101018/WAR03 – **Załącznik 1.**

### 5.82 Warszawa, Kopernika

Stwierdza się, że w otoczeniu stacji:

- ID: WAR1038E
- a) zmierzone, w trakcie pomiarów szerokopasmowych, wartości natężenia pola elektrycznego we wszystkich 31 z 31 punktów pomiarowych, nie przekraczają wartości granicznej 7 V/m;
- b) obliczone, na podstawie wyników pomiarów szerokopasmowych, wartości średniokwadratowe natężenia pola elektrycznego z uwzględnieniem oszacowanej rozszerzonej niepewności pomiaru (przedział ufności 95%), we wszystkich 31 z 31 punktów pomiarowych, nie przekraczają wartości granicznej 7 V/m;
- c) obliczone, na podstawie wyników pomiarów selektywnych, wartości średniokwadratowe natężenia pola elektrycznego we wszystkich 31 z 31 punktów pomiarowych, nie przekraczają wartości granicznej 7 V/m;
- d) obliczone, na podstawie wyników pomiarów selektywnych, wartości średniokwadratowe natężenia pola elektrycznego z uwzględnieniem oszacowanej rozszerzonej niepewności pomiaru (przedział ufności 95%), we wszystkich 31 z 31 punktów pomiarowych, nie przekraczają wartości granicznej 7 V/m.

Tabl. 185 Wyniki pomiarów szerokopasmowych  
– Warszawa, Kopernika

1	2	3	4
Lok.	$E_{zm}$	$E_{zm}-U\%$	$E_{zm}+U\%$
-	V/m	V/m	V/m
1.	1,7	1,2	2,3
2.	1,2	0,9	1,7
3.	1,4	1,0	2,0
4.	1,6	1,1	2,2
5.	1,2	0,9	1,7
6.	1,5	1,0	2,0
7.	1,1	0,8	1,6
8.	1,4	1,0	2,0
9.	1,9	1,3	2,6
10.	1,6	1,1	2,2
11.	1,7	1,2	2,4
12.	1,5	1,0	2,2
13.	1,1	0,8	1,4
14.	0,7	0,6	0,9
15.	0,8	0,6	1,0
16.	0,8	0,6	1,0
17.	0,8	0,6	1,0
18.	0,7	0,6	0,9
19.	0,7	0,5	0,9

1	2	3	4
Lok.	E <sub>zm</sub>	E <sub>zm</sub> -U%	E <sub>zm</sub> +U%
-	V/m	V/m	V/m
20.	0,8	0,6	1,0
21.	0,9	0,6	1,2
22.	0,6	0,5	0,8
23.	0,7	0,6	0,9
24.	0,7	0,6	0,9
25.	0,8	0,6	1,0
26.	0,8	0,7	0,9
27.	1,1	0,8	1,5
28.	0,8	0,6	0,9
29.	0,9	0,7	1,1
30.	0,7	0,6	0,9
31.	0,8	0,6	1,0

Tabl. 186 Wyniki pomiarów selektywnych  
– Warszawa, Kopernika

1	2	3	4	5	6	7
Lok.	E	E-U%	E+U%	E <sub>BS</sub>	E <sub>BS</sub> -U%	E <sub>BS</sub> +U%
-	V/m	V/m	V/m	V/m	V/m	V/m
1.	1,9	1,3	2,7	1,6	1,1	2,3
2.	1,6	1,1	2,2	1,5	1,0	2,1
3.	2,0	1,3	2,9	1,9	1,2	2,7
4.	2,3	1,5	3,2	2,2	1,4	3,1
5.	1,5	1,0	2,1	1,4	0,9	2,0
6.	1,8	1,2	2,5	1,7	1,1	2,4
7.	1,4	1,0	2,0	1,4	0,9	2,0
8.	1,5	1,0	2,1	1,4	0,9	2,0
9.	2,2	1,5	3,1	2,1	1,4	3,0
10.	2,2	1,4	3,0	2,1	1,4	2,9
11.	1,9	1,2	2,6	1,8	1,2	2,5
12.	2,2	1,4	3,1	2,1	1,3	3,0
13.	1,0	0,8	1,4	0,5	0,4	0,6
14.	0,6	0,5	0,8	0,4	0,3	0,4
15.	0,8	0,5	1,1	0,6	0,4	0,8
16.	0,8	0,6	1,1	0,7	0,5	0,9
17.	0,7	0,5	0,9	0,5	0,4	0,6
18.	0,6	0,5	0,9	0,5	0,3	0,6
19.	0,7	0,5	0,9	0,5	0,4	0,7
20.	0,8	0,6	1,1	0,5	0,4	0,7
21.	0,8	0,5	1,1	0,1	0,1	0,1
22.	0,4	0,3	0,6	0,1	0,1	0,1
23.	0,6	0,4	0,8	0,4	0,3	0,5
24.	0,6	0,4	0,7	0,3	0,3	0,3
25.	0,8	0,6	1,1	0,7	0,5	0,9
26.	0,7	0,5	0,8	0,5	0,4	0,5
27.	1,3	0,9	1,8	1,2	0,8	1,7

1	2	3	4	5	6	7
Lok.	E	E-U%	E+U%	E <sub>BS</sub>	E <sub>BS</sub> -U%	E <sub>BS</sub> +U%
-	V/m	V/m	V/m	V/m	V/m	V/m
28.	0,7	0,5	0,9	0,5	0,4	0,6
29.	1,0	0,6	1,3	0,8	0,5	1,2
30.	0,7	0,5	0,9	0,5	0,3	0,6
31.	0,7	0,5	1,0	0,5	0,4	0,7

Szczegóły odnośnie przeprowadzonych badań oraz wyniki pomiarów zawarte są w Sprawozdaniu z badań nr 0110101018/WAR04 – **Załącznik 1.**

### 5.83 Warszawa, Jana Pawła II 34

Stwierdza się, że w otoczeniu stacji:

- ID: WAR1030F
- a) zmierzone, w trakcie pomiarów szerokopasmowych, wartości natężenia pola elektrycznego we wszystkich 30 z 30 punktów pomiarowych, nie przekraczają wartości granicznej 7 V/m;
- b) obliczona, na podstawie wyników pomiarów szerokopasmowych, wartość średniokwadratowa natężenia pola elektrycznego z uwzględnieniem oszacowanej rozszerzonej niepewności pomiaru (przedział ufności 95%), w 1 z 30 punktów pomiarowych, przekracza wartość graniczną 7 V/m;
- c) obliczone, na podstawie wyników pomiarów selektywnych, wartości średniokwadratowe natężenia pola elektrycznego we wszystkich 30 z 30 punktów pomiarowych, nie przekraczają wartości granicznej 7 V/m;
- d) obliczone, na podstawie wyników pomiarów selektywnych, wartości średniokwadratowe natężenia pola elektrycznego z uwzględnieniem oszacowanej rozszerzonej niepewności pomiaru (przedział ufności 95%), w 2 z 30 punktów pomiarowych, przekraczają wartość graniczną 7 V/m.

Tabl. 187 Wyniki pomiarów szerokopasmowych  
– Warszawa, Jana Pawła II 34

1	2	3	4
Lok.	E <sub>zm</sub>	E <sub>zm</sub> -U%	E <sub>zm</sub> +U%
-	V/m	V/m	V/m
1.	3,0	2,0	4,3
2.	2,0	1,3	2,8
3.	1,5	1,0	2,1
4.	1,0	0,7	1,4
5.	0,7	0,5	1,0
6.	1,3	0,9	1,8
7.	1,1	0,8	1,6
8.	1,0	0,7	1,4
9.	0,7	0,5	1,0
10.	0,6	0,5	0,8
11.	0,7	0,5	0,9

1	2	3	4
Lok.	$E_{zm}$	$E_{zm}-U\%$	$E_{zm}+U\%$
-	V/m	V/m	V/m
12.	0,6	0,5	0,8
13.	0,3	0,3	0,3
14.	1,1	0,8	1,6
15.	1,0	0,7	1,3
16.	1,1	0,7	1,4
17.	0,7	0,6	1,0
18.	0,8	0,5	1,0
19.	2,6	1,7	3,7
20.	0,7	0,6	0,9
21.	3,8	2,5	5,2
22.	2,8	1,8	3,9
23.	1,3	0,8	1,8
24.	0,9	0,7	1,2
25.	2,0	1,3	2,8
26.	3,1	2,1	4,4
27.	5,9	3,9	8,3
28.	4,3	2,8	6,1
29.	4,8	3,1	6,7
30.	2,1	1,4	3,0

Tabl. 188 Wyniki pomiarów selektywnych  
– Warszawa, Jana Pawła II 34

1	2	3	4	5	6	7
Lok.	E	E-U%	E+U%	$E_{BS}$	$E_{BS}-U\%$	$E_{BS}+U\%$
-	V/m	V/m	V/m	V/m	V/m	V/m
1.	3,0	2,0	4,2	3,0	1,9	4,2
2.	2,5	1,6	3,5	2,5	1,6	3,5
3.	1,9	1,2	2,7	1,9	1,2	2,7
4.	1,0	0,6	1,5	1,0	0,6	1,4
5.	0,8	0,6	1,1	0,8	0,6	1,0
6.	1,6	1,1	2,3	1,5	1,0	2,1
7.	1,5	1,0	2,1	1,5	1,0	2,1
8.	1,7	1,1	2,4	1,6	1,1	2,3
9.	1,0	0,8	1,4	0,9	0,7	1,2
10.	1,1	0,8	1,5	1,1	0,7	1,5
11.	1,0	0,8	1,5	1,0	0,7	1,4
12.	0,7	0,5	0,9	0,6	0,5	0,8
13.	0,4	0,4	0,4	0,3	0,3	0,3
14.	1,3	0,9	1,8	1,3	0,9	1,8
15.	1,2	0,9	1,6	1,1	0,8	1,6
16.	1,2	0,9	1,7	1,1	0,8	1,6
17.	1,0	0,7	1,3	0,8	0,6	1,1
18.	1,0	0,7	1,4	0,9	0,7	1,3
19.	2,8	1,9	4,0	2,8	1,9	4,0
20.	0,9	0,7	1,2	0,9	0,6	1,2

1	2	3	4	5	6	7
Lok.	E	E-U%	E+U%	E <sub>BS</sub>	E <sub>BS</sub> -U%	E <sub>BS</sub> +U%
-	V/m	V/m	V/m	V/m	V/m	V/m
21.	4,1	2,7	5,7	4,0	2,7	5,6
22.	3,7	2,4	5,2	3,5	2,3	5,0
23.	1,6	1,0	2,2	1,6	1,0	2,2
24.	1,1	0,7	1,5	1,1	0,7	1,5
25.	1,9	1,2	2,6	1,4	0,9	2,0
26.	3,2	2,2	4,5	2,8	1,9	3,9
27.	6,0	4,0	8,5	5,9	3,9	8,2
28.	4,8	3,2	6,7	4,7	3,1	6,6
29.	5,3	3,4	7,4	5,3	3,4	7,4
30.	2,1	1,4	3,0	2,1	1,4	3,0

Szczegóły odnośnie przeprowadzonych badań oraz wyniki pomiarów zawarte są w Sprawozdaniu z badań nr 0110101018/WAR05 – **Załącznik 1.**

#### 5.84 Warszawa, Krucza

Stwierdza się, że w otoczeniu stacji:

– ID: WAR1092C

- zmierzone, w trakcie pomiarów szerokopasmowych, wartości natężenia pola elektrycznego we wszystkich 30 z 30 punktów pomiarowych, nie przekraczają wartości granicznej 7 V/m;
- obliczone, na podstawie wyników pomiarów szerokopasmowych, wartości średniokwadratowe natężenia pola elektrycznego z uwzględnieniem oszacowanej rozszerzonej niepewności pomiaru (przedział ufności 95%), we wszystkich 30 z 30 punktów pomiarowych, nie przekraczają wartości granicznej 7 V/m;
- obliczone, na podstawie wyników pomiarów selektywnych, wartości średniokwadratowe natężenia pola elektrycznego we wszystkich 30 z 30 punktów pomiarowych, nie przekraczają wartości granicznej 7 V/m;
- obliczone, na podstawie wyników pomiarów selektywnych, wartości średniokwadratowe natężenia pola elektrycznego z uwzględnieniem oszacowanej rozszerzonej niepewności pomiaru (przedział ufności 95%), we wszystkich 30 z 30 punktów pomiarowych, nie przekraczają wartości granicznej 7 V/m.

Tabl. 189 Wyniki pomiarów szerokopasmowych  
– Warszawa, Krucza

1	2	3	4
Lok.	E <sub>zm</sub>	E <sub>zm</sub> -U%	E <sub>zm</sub> +U%
-	V/m	V/m	V/m
1.	1,8	1,2	2,5
2.	1,5	1,0	2,1
3.	1,9	1,3	2,7
4.	1,6	1,1	2,2
5.	1,1	0,8	1,6



1	2	3	4
Lok.	$E_{zm}$	$E_{zm}-U\%$	$E_{zm}+U\%$
-	V/m	V/m	V/m
6.	0,9	0,6	1,2
7.	0,5	0,4	0,6
8.	1,0	0,7	1,4
9.	0,8	0,6	1,0
10.	2,2	1,4	3,0
11.	2,4	1,6	3,3
12.	2,5	1,7	3,5
13.	1,4	0,9	1,9
14.	1,2	0,9	1,7
15.	1,0	0,7	1,3
16.	1,2	0,9	1,7
17.	1,8	1,2	2,5
18.	1,1	0,8	1,6
19.	1,0	0,7	1,3
20.	1,5	1,0	2,1
21.	4,2	2,8	5,9
22.	3,5	2,3	4,9
23.	1,9	1,2	2,6
24.	3,5	2,3	4,9
25.	4,3	2,8	5,9
26.	2,7	1,7	3,8
27.	1,6	1,0	2,2
28.	1,6	1,1	2,2
29.	2,3	1,6	3,3
30.	2,3	1,6	3,3

Tabl. 190 Wyniki pomiarów selektywnych  
– Warszawa, Krucza

1	2	3	4	5	6	7
Lok.	E	E-U%	E+U%	$E_{BS}$	$E_{BS}-U\%$	$E_{BS}+U\%$
-	V/m	V/m	V/m	V/m	V/m	V/m
1.	3,4	2,3	4,7	3,4	2,2	4,7
2.	2,2	1,6	3,2	2,2	1,5	3,2
3.	2,0	1,4	2,8	2,0	1,3	2,8
4.	2,1	1,4	2,9	2,0	1,3	2,9
5.	1,1	0,8	1,6	1,0	0,7	1,4
6.	1,0	0,7	1,5	0,7	0,5	1,1
7.	0,5	0,4	0,6	0,4	0,4	0,5
8.	1,1	0,8	1,6	1,0	0,7	1,4
9.	0,8	0,6	1,0	0,7	0,5	0,9
10.	2,8	1,9	3,9	2,8	1,8	3,9
11.	3,2	2,1	4,4	3,2	2,1	4,4
12.	2,8	1,8	3,9	2,7	1,8	3,9
13.	1,4	0,9	2,0	1,3	0,9	1,8
14.	1,4	0,9	1,9	1,2	0,8	1,8

1	2	3	4	5	6	7
Lok.	E	E-U%	E+U%	E <sub>BS</sub>	E <sub>BS</sub> -U%	E <sub>BS</sub> +U%
-	V/m	V/m	V/m	V/m	V/m	V/m
15.	1,5	1,0	2,1	1,5	1,0	2,0
16.	1,5	1,0	2,0	1,4	0,9	1,9
17.	2,0	1,4	2,8	1,9	1,3	2,7
18.	1,7	1,2	2,4	1,6	1,1	2,3
19.	1,2	0,9	1,7	1,0	0,7	1,5
20.	1,5	1,0	2,1	1,4	0,9	2,0
21.	4,9	3,3	6,8	4,8	3,2	6,7
22.	4,3	2,8	6,0	4,2	2,7	5,9
23.	1,9	1,3	2,7	1,8	1,2	2,4
24.	4,9	3,3	6,8	4,9	3,3	6,8
25.	5,0	3,3	6,9	4,8	3,2	6,7
26.	3,3	2,2	4,6	3,3	2,2	4,6
27.	1,9	1,2	2,6	1,7	1,1	2,4
28.	1,9	1,3	2,7	1,7	1,2	2,5
29.	2,7	1,8	3,7	2,6	1,8	3,7
30.	3,3	2,2	4,7	3,3	2,2	4,7

Szczegóły odnośnie przeprowadzonych badań oraz wyniki pomiarów zawarte są w Sprawozdaniu z badań nr 0110101018/WAR06 – **Załącznik 1.**

#### 5.85 Wrocław, Szczytnicka

Stwierdza się, że w otoczeniu stacji:

- ID: WRO1025,
- ID: 64155

- a) zmierzone, w trakcie pomiarów szerokopasmowych, wartości natężenia pola elektrycznego we wszystkich 30 z 30 punktów pomiarowych, nie przekraczają wartości granicznej 7 V/m;
- b) obliczone, na podstawie wyników pomiarów szerokopasmowych, wartości średniokwadratowe natężenia pola elektrycznego z uwzględnieniem oszacowanej rozszerzonej niepewności pomiaru (przedział ufności 95%), we wszystkich 30 z 30 punktów pomiarowych, nie przekraczają wartości granicznej 7 V/m;
- c) obliczone, na podstawie wyników pomiarów selektywnych, wartości średniokwadratowe natężenia pola elektrycznego we wszystkich 30 z 30 punktów pomiarowych, nie przekraczają wartości granicznej 7 V/m;
- d) obliczone, na podstawie wyników pomiarów selektywnych, wartości średniokwadratowe natężenia pola elektrycznego z uwzględnieniem oszacowanej rozszerzonej niepewności pomiaru (przedział ufności 95%), we wszystkich 30 z 30 punktów pomiarowych, nie przekraczają wartości granicznej 7 V/m.

Tabl. 191 Wyniki pomiarów szerokopasmowych  
– Wrocław, Szczytnicka

1	2	3	4
Lok.	$E_{zm}$	$E_{zm-U\%}$	$E_{zm+U\%}$
-	V/m	V/m	V/m
1.	2,6	1,7	3,6
2.	1,9	1,2	2,5
3.	1,0	0,7	1,5
4.	1,7	1,1	2,4
5.	2,8	1,9	4,0
6.	1,6	1,1	2,3
7.	0,9	0,5	1,3
8.	1,3	0,9	1,9
9.	1,1	0,7	1,5
10.	1,3	0,9	1,8
11.	1,5	1,0	2,1
12.	1,0	0,7	1,4
13.	0,7	0,5	0,9
14.	1,2	0,8	1,7
15.	0,9	0,6	1,2
16.	1,6	1,1	2,3
17.	2,2	1,5	3,2
18.	1,0	0,7	1,4
19.	1,1	0,7	1,5
20.	0,6	0,5	0,8
21.	0,8	0,6	1,1
22.	0,4	0,4	0,5
23.	0,2	0,2	0,2
24.	0,3	0,3	0,3
25.	0,9	0,6	1,2
26.	0,5	0,4	0,5
27.	0,3	0,3	0,3
28.	0,2	0,2	0,2
29.	3,9	2,6	5,4
30.	3,3	2,1	4,6

Tabl. 192 Wyniki pomiarów selektywnych  
– Wrocław, Szczytnicka

1	2	3	4	5	6	7
Lok.	E	E-U%	E+U%	$E_{BS}$	$E_{BS-U\%}$	$E_{BS+U\%}$
-	V/m	V/m	V/m	V/m	V/m	V/m
1.	3,8	2,5	5,4	3,8	2,5	5,4
2.	2,3	1,5	3,2	2,3	1,5	3,2
3.	1,4	0,9	2,0	1,4	0,9	2,0
4.	2,8	1,9	3,9	2,8	1,8	3,9
5.	3,3	2,2	4,7	3,3	2,2	4,7
6.	2,4	1,5	3,3	2,4	1,5	3,3

1	2	3	4	5	6	7
Lok.	E	E-U%	E+U%	E <sub>BS</sub>	E <sub>BS</sub> -U%	E <sub>BS</sub> +U%
-	V/m	V/m	V/m	V/m	V/m	V/m
7.	1,1	0,7	1,5	1,1	0,7	1,5
8.	1,5	1,0	2,1	1,5	1,0	2,1
9.	1,6	1,1	2,3	1,6	1,0	2,3
10.	1,8	1,2	2,5	1,7	1,1	2,5
11.	2,0	1,3	2,8	2,0	1,3	2,8
12.	1,4	0,9	1,9	1,4	0,9	1,9
13.	0,9	0,6	1,3	0,9	0,5	1,3
14.	1,6	1,1	2,3	1,6	1,1	2,3
15.	1,3	0,8	1,8	1,2	0,8	1,8
16.	2,8	1,8	3,9	2,8	1,8	3,9
17.	3,5	2,3	5,0	3,5	2,3	5,0
18.	1,6	1,1	2,3	1,6	1,1	2,3
19.	1,8	1,1	2,5	1,8	1,1	2,5
20.	0,9	0,6	1,2	0,8	0,6	1,2
21.	1,6	1,0	2,2	1,5	1,0	2,2
22.	0,8	0,5	1,1	0,8	0,5	1,1
23.	0,4	0,3	0,5	0,3	0,2	0,5
24.	0,3	0,3	0,3	0,2	0,2	0,2
25.	1,6	1,0	2,2	1,5	1,0	2,2
26.	0,8	0,5	1,2	0,8	0,5	1,1
27.	0,4	0,4	0,4	0,4	0,4	0,4
28.	0,2	0,2	0,2	0,2	0,2	0,2
29.	4,1	2,7	5,7	4,1	2,7	5,7
30.	4,1	2,7	5,7	4,1	2,7	5,7

Szczegóły odnośnie przeprowadzonych badań oraz wyniki pomiarów zawarte są w Sprawozdaniu z badań nr 0110101018/WRO01 – **Załącznik 1.**

#### 5.86 Wrocław, Pl. Grunwaldzki

Stwierdza się, że w otoczeniu stacji:

- ID: BT34132
- a) zmierzone, w trakcie pomiarów szerokopasmowych, wartości natężenia pola elektrycznego we wszystkich 30 z 30 punktów pomiarowych, nie przekraczają wartości granicznej 7 V/m;
- b) obliczone, na podstawie wyników pomiarów szerokopasmowych, wartości średniokwadratowe natężenia pola elektrycznego z uwzględnieniem oszacowanej rozszerzonej niepewności pomiaru (przedział ufności 95%), we wszystkich 30 z 30 punktów pomiarowych, nie przekraczają wartości granicznej 7 V/m;
- c) obliczone, na podstawie wyników pomiarów selektywnych, wartości średniokwadratowe natężenia pola elektrycznego we wszystkich 30 z 30 punktów pomiarowych, nie przekraczają wartości granicznej 7 V/m;
- d) obliczone, na podstawie wyników pomiarów selektywnych, wartości średniokwadratowe natężenia pola elektrycznego z uwzględnieniem oszacowanej

rozszerzonej niepewności pomiaru (przedział ufności 95%), we wszystkich 30 z 30 punktów pomiarowych, nie przekraczają wartości granicznej 7 V/m.

Tabl. 193 Wyniki pomiarów szerokopasmowych  
– Wrocław, Pl. Grunwaldzki

1	2	3	4
Lok.	$E_{zm}$	$E_{zm}-U\%$	$E_{zm}+U\%$
-	V/m	V/m	V/m
1.	2,1	1,4	2,9
2.	1,8	1,1	2,5
3.	1,7	1,1	2,4
4.	1,0	0,7	1,4
5.	0,3	0,2	0,5
6.	0,5	0,3	0,7
7.	0,3	0,2	0,4
8.	0,8	0,5	1,2
9.	0,4	0,3	0,5
10.	1,1	0,7	1,4
11.	1,4	0,9	1,9
12.	1,5	1,0	2,1
13.	2,0	1,3	2,8
14.	1,9	1,3	2,7
15.	2,3	1,5	3,2
16.	1,5	1,0	2,1
17.	0,5	0,3	0,7
18.	0,7	0,5	1,0
19.	0,9	0,6	1,3
20.	2,2	1,4	3,0
21.	1,2	0,8	1,5
22.	1,6	1,1	2,2
23.	0,3	0,2	0,5
24.	0,5	0,4	0,7
25.	0,6	0,4	0,8
26.	2,6	1,7	3,6
27.	1,0	0,7	1,3
28.	0,5	0,3	0,6
29.	1,1	0,8	1,5
30.	1,8	1,2	2,5

Tabl. 194 Wyniki pomiarów selektywnych  
– Wrocław, Pl. Grunwaldzki

1	2	3	4	5	6	7
Lok.	E	E-U%	E+U%	$E_{BS}$	$E_{BS}-U\%$	$E_{BS}+U\%$
-	V/m	V/m	V/m	V/m	V/m	V/m
1.	3,0	2,0	4,3	2,8	1,9	4,0
2.	2,1	1,4	3,0	1,6	1,1	2,2
3.	1,7	1,1	2,4	0,4	0,3	0,6

1	2	3	4	5	6	7
Lok.	E	E-U%	E+U%	E <sub>BS</sub>	E <sub>BS</sub> -U%	E <sub>BS</sub> +U%
-	V/m	V/m	V/m	V/m	V/m	V/m
4.	1,0	0,7	1,4	0,3	0,2	0,4
5.	0,3	0,1	0,4	0,0	0,0	0,0
6.	0,5	0,4	0,7	0,3	0,3	0,3
7.	0,3	0,2	0,4	0,0	0,0	0,0
8.	0,8	0,5	1,2	0,1	0,1	0,1
9.	0,4	0,4	0,5	0,3	0,3	0,3
10.	1,2	0,8	1,6	1,1	0,7	1,4
11.	1,5	0,9	2,0	0,6	0,5	0,9
12.	1,6	1,1	2,3	1,0	0,7	1,5
13.	2,0	1,3	2,8	0,5	0,4	0,7
14.	2,3	1,5	3,2	1,9	1,2	2,6
15.	2,6	1,7	3,6	2,5	1,7	3,5
16.	2,4	1,5	3,3	2,2	1,4	3,1
17.	0,5	0,3	0,7	0,1	0,1	0,1
18.	0,8	0,5	1,1	0,3	0,3	0,4
19.	1,2	0,8	1,7	0,9	0,6	1,2
20.	2,5	1,7	3,5	1,7	1,1	2,4
21.	1,8	1,2	2,5	1,7	1,1	2,4
22.	1,9	1,2	2,6	1,5	1,0	2,1
23.	0,4	0,2	0,5	0,3	0,2	0,3
24.	0,7	0,5	0,9	0,6	0,4	0,7
25.	0,6	0,4	0,8	0,2	0,2	0,2
26.	2,7	1,7	3,8	1,5	1,0	2,1
27.	1,1	0,8	1,6	0,8	0,6	1,1
28.	0,5	0,4	0,6	0,2	0,2	0,2
29.	1,3	0,9	1,7	1,1	0,7	1,5
30.	2,1	1,4	3,0	2,0	1,3	2,8

Szczegóły odnośnie przeprowadzonych badań oraz wyniki pomiarów zawarte są w Sprawozdaniu z badań nr 0110101018/WRO02 – **Załącznik 1.**

### 5.87 Wrocław, Trzebnicka

Stwierdza się, że w otoczeniu stacji:

- ID: WRO1020,
- ID: BT34022

- a) zmierzone, w trakcie pomiarów szerokopasmowych, wartości natężenia pola elektrycznego we wszystkich 30 z 30 punktów pomiarowych, nie przekraczają wartości granicznej 7 V/m;
- b) obliczone, na podstawie wyników pomiarów szerokopasmowych, wartości średniokwadratowe natężenia pola elektrycznego z uwzględnieniem oszacowanej rozszerzonej niepewności pomiaru (przedział ufności 95%), we wszystkich 30 z 30 punktów pomiarowych, nie przekraczają wartości granicznej 7 V/m;

- c) obliczone, na podstawie wyników pomiarów selektywnych, wartości średniokwadratowe natężenia pola elektrycznego we wszystkich 30 z 30 punktów pomiarowych, nie przekraczają wartości granicznej 7 V/m;
- d) obliczone, na podstawie wyników pomiarów selektywnych, wartości średniokwadratowe natężenia pola elektrycznego z uwzględnieniem oszacowanej rozszerzonej niepewności pomiaru (przedział ufności 95%), we wszystkich 30 z 30 punktów pomiarowych, nie przekraczają wartości granicznej 7 V/m.

Tabl. 195 Wyniki pomiarów szerokopasmowych  
– Wrocław, Trzebnicka

<b>1</b>	<b>2</b>	<b>3</b>	<b>4</b>
<b>Lok.</b>	<b>E<sub>zm</sub></b>	<b>E<sub>zm</sub>-U%</b>	<b>E<sub>zm</sub>+U%</b>
-	<b>V/m</b>	<b>V/m</b>	<b>V/m</b>
1.	1,6	1,1	2,2
2.	1,0	0,6	1,4
3.	1,5	1,0	2,1
4.	0,8	0,6	1,1
5.	1,8	1,2	2,5
6.	0,7	0,5	0,9
7.	1,0	0,6	1,4
8.	0,0	0,0	0,0
9.	0,2	0,2	0,2
10.	0,2	0,1	0,3
11.	0,0	0,0	0,0
12.	0,2	0,1	0,3
13.	0,0	0,0	0,0
14.	0,7	0,6	1,0
15.	1,3	0,8	1,7
16.	1,0	0,7	1,3
17.	1,5	1,0	2,1
18.	1,4	1,0	2,0
19.	1,1	0,7	1,6
20.	0,7	0,5	0,9
21.	1,7	1,1	2,4
22.	1,4	1,0	1,9
23.	2,1	1,4	3,0
24.	1,8	1,2	2,5
25.	0,7	0,5	1,0
26.	1,2	0,8	1,7
27.	2,4	1,6	3,3
28.	1,7	1,1	2,4
29.	1,1	0,8	1,5
30.	1,3	0,9	1,9

Tabl. 196 Wyniki pomiarów selektywnych  
– Wrocław, Trzebnicka

1	2	3	4	5	6	7
Lok.	E	E-U%	E+U%	E <sub>BS</sub>	E <sub>BS</sub> -U%	E <sub>BS</sub> +U%
-	V/m	V/m	V/m	V/m	V/m	V/m
1.	2,0	1,3	2,7	2,0	1,3	2,7
2.	1,0	0,7	1,5	1,0	0,7	1,5
3.	2,0	1,4	2,9	2,0	1,4	2,9
4.	1,1	0,8	1,5	1,1	0,8	1,5
5.	3,0	1,9	4,2	3,0	1,9	4,2
6.	1,0	0,7	1,5	1,0	0,7	1,5
7.	1,5	1,0	2,1	1,5	1,0	2,1
8.	0,0	0,0	0,0	0,0	0,0	0,0
9.	0,3	0,3	0,3	0,3	0,3	0,3
10.	0,2	0,1	0,3	0,0	0,0	0,0
11.	0,0	0,0	0,0	0,0	0,0	0,0
12.	0,1	0,1	0,1	0,1	0,1	0,1
13.	0,1	0,1	0,1	0,1	0,1	0,1
14.	0,9	0,6	1,2	0,9	0,6	1,2
15.	1,6	1,1	2,3	1,6	1,1	2,3
16.	1,3	0,9	1,9	1,3	0,9	1,9
17.	1,9	1,2	2,6	1,9	1,2	2,6
18.	1,8	1,2	2,6	1,8	1,2	2,6
19.	1,6	1,1	2,2	1,6	1,1	2,2
20.	1,0	0,7	1,4	1,0	0,6	1,4
21.	2,2	1,5	3,1	2,2	1,5	3,1
22.	2,0	1,3	2,8	2,0	1,3	2,8
23.	2,6	1,7	3,6	2,6	1,7	3,6
24.	2,2	1,4	3,0	2,2	1,4	3,0
25.	1,3	0,9	1,7	1,3	0,9	1,7
26.	1,8	1,2	2,5	1,8	1,2	2,5
27.	3,3	2,2	4,6	3,3	2,2	4,6
28.	2,8	1,9	3,9	2,8	1,9	3,9
29.	1,3	0,8	1,8	1,3	0,8	1,8
30.	1,9	1,2	2,6	1,9	1,2	2,6

Szczegóły odnośnie przeprowadzonych badań oraz wyniki pomiarów zawarte są w Sprawozdaniu z badań nr 0110101018/WRO03 – **Załącznik 1.**

### 5.88 Wrocław, Strzegomska

Stwierdza się, że w otoczeniu stacji:

- ID: WRO1072,
- ID: 46180

- a) zmierzone, w trakcie pomiarów szerokopasmowych, wartości natężenia pola elektrycznego we wszystkich 30 z 30 punktów pomiarowych, nie przekraczają wartości granicznej 7 V/m;



- b) obliczone, na podstawie wyników pomiarów szerokopasmowych, wartości średniokwadratowe natężenia pola elektrycznego z uwzględnieniem oszacowanej rozszerzonej niepewności pomiaru (przedział ufności 95%), we wszystkich 30 z 30 punktów pomiarowych, nie przekraczają wartości granicznej 7 V/m;
- c) obliczone, na podstawie wyników pomiarów selektywnych, wartości średniokwadratowe natężenia pola elektrycznego we wszystkich 30 z 30 punktów pomiarowych, nie przekraczają wartości granicznej 7 V/m;
- e) obliczone, na podstawie wyników pomiarów selektywnych, wartości średniokwadratowe natężenia pola elektrycznego z uwzględnieniem oszacowanej rozszerzonej niepewności pomiaru (przedział ufności 95%), w 2 z 30 punktów pomiarowych, przekraczają wartość graniczną 7 V/m;

Tabl. 197 Wyniki pomiarów szerokopasmowych  
– Wrocław, Strzegomska

1	2	3	4
Lok.	$E_{zm}$	$E_{zm}-U\%$	$E_{zm}+U\%$
-	V/m	V/m	V/m
1.	1,8	1,1	2,5
2.	2,5	1,6	3,5
3.	4,4	2,9	6,2
4.	0,2	0,1	0,3
5.	0,2	0,2	0,2
6.	1,0	0,6	1,4
7.	0,7	0,4	0,9
8.	0,4	0,3	0,6
9.	0,5	0,4	0,6
10.	0,7	0,5	0,9
11.	0,9	0,7	1,3
12.	4,1	2,7	5,7
13.	3,1	2,0	4,3
14.	2,9	1,9	4,0
15.	2,9	1,9	4,0
16.	3,7	2,5	5,1
17.	1,1	0,7	1,5
18.	1,0	0,7	1,4
19.	1,6	1,1	2,3
20.	0,9	0,6	1,3
21.	2,3	1,5	3,2
22.	2,3	1,5	3,3
23.	0,9	0,6	1,3
24.	0,8	0,5	1,0
25.	0,7	0,5	1,0
26.	0,5	0,5	0,7
27.	1,4	1,0	2,1
28.	2,2	1,4	3,0
29.	3,1	2,1	4,4
30.	2,4	1,5	3,3

Tabl. 198 Wyniki pomiarów selektywnych  
– Wrocław, Strzegomska

1	2	3	4	5	6	7
Lok.	E	E-U%	E+U%	E <sub>BS</sub>	E <sub>BS</sub> -U%	E <sub>BS</sub> +U%
-	V/m	V/m	V/m	V/m	V/m	V/m
1.	2,3	1,5	3,2	2,3	1,5	3,2
2.	3,2	2,1	4,5	3,2	2,1	4,5
3.	5,7	3,7	8,0	5,6	3,6	7,8
4.	0,2	0,2	0,3	0,1	0,1	0,1
5.	0,3	0,2	0,4	0,3	0,2	0,3
6.	1,1	0,7	1,5	1,0	0,7	1,4
7.	0,8	0,5	1,1	0,8	0,5	1,1
8.	0,4	0,4	0,5	0,4	0,4	0,4
9.	0,9	0,6	1,2	0,9	0,6	1,2
10.	1,3	0,8	1,8	1,3	0,8	1,8
11.	1,4	1,0	2,0	1,4	1,0	2,0
12.	5,3	3,5	7,4	5,3	3,5	7,4
13.	4,8	3,1	6,7	4,8	3,1	6,7
14.	3,7	2,4	5,1	3,6	2,4	5,1
15.	4,6	3,0	6,5	4,6	3,0	6,5
16.	4,1	2,7	5,7	4,0	2,6	5,6
17.	1,4	0,9	1,9	1,3	0,9	1,9
18.	1,2	0,7	1,7	1,0	0,6	1,3
19.	1,7	1,1	2,4	0,9	0,6	1,4
20.	0,7	0,5	0,9	0,7	0,5	0,9
21.	3,9	2,5	5,5	3,9	2,5	5,4
22.	3,9	2,4	5,5	3,8	2,4	5,4
23.	1,6	1,0	2,2	1,6	1,0	2,2
24.	1,2	0,8	1,7	1,2	0,8	1,7
25.	1,1	0,8	1,6	1,1	0,8	1,6
26.	0,7	0,5	1,0	0,7	0,5	1,0
27.	2,2	1,4	3,0	2,2	1,4	3,0
28.	4,5	2,9	6,3	4,5	2,9	6,3
29.	4,2	2,8	5,9	4,2	2,8	5,9
30.	3,0	2,0	4,2	3,0	2,0	4,2

Szczegóły odnośnie przeprowadzonych badań oraz wyniki pomiarów zawarte są w Sprawozdaniu z badań nr 0110101018/WRO04 – **Załącznik 1.**

### 5.89 Wrocław, Szczecińska

Stwierdza się, że w otoczeniu stacji:

- ID: 46306,
- ID: 12092/1050,
- ID: WRO1039

a) zmierzone, w trakcie pomiarów szerokopasmowych, wartości natężenia pola elektrycznego we wszystkich 29 z 29 punktów pomiarowych, nie przekraczają wartości granicznej 7 V/m;

- b) obliczone, na podstawie wyników pomiarów szerokopasmowych, wartości średniokwadratowe natężenia pola elektrycznego z uwzględnieniem oszacowanej rozszerzonej niepewności pomiaru (przedział ufności 95%), we wszystkich 29 z 29 punktów pomiarowych, nie przekraczają wartości granicznej 7 V/m;
- c) obliczone, na podstawie wyników pomiarów selektywnych, wartości średniokwadratowe natężenia pola elektrycznego we wszystkich 29 z 29 punktów pomiarowych, nie przekraczają wartości granicznej 7 V/m;
- d) obliczone, na podstawie wyników pomiarów selektywnych, wartości średniokwadratowe natężenia pola elektrycznego z uwzględnieniem oszacowanej rozszerzonej niepewności pomiaru (przedział ufności 95%), w 1 z 29 punktów pomiarowych, przekraczają wartość graniczną 7 V/m.

Tabl. 199 Wyniki pomiarów szerokopasmowych  
– Wrocław, Szczecińska

1	2	3	4
Lok.	$E_{zm}$	$E_{zm}-U\%$	$E_{zm}+U\%$
-	V/m	V/m	V/m
1.	1,4	0,9	1,9
2.	1,6	1,0	2,2
3.	1,0	0,7	1,4
4.	0,8	0,6	1,0
5.	0,4	0,4	0,4
6.	0,4	0,4	0,5
7.	0,6	0,5	0,8
8.	0,5	0,4	0,7
9.	1,7	1,1	2,3
10.	0,7	0,5	1,0
11.	2,6	1,8	3,8
12.	1,4	0,9	2,1
13.	1,9	1,2	2,7
14.	1,6	1,1	2,3
15.	0,4	0,4	0,5
16.	1,9	1,3	2,6
17.	1,9	1,2	2,7
18.	1,3	0,9	1,8
19.	1,9	1,2	2,6
20.	1,8	1,2	2,5
21.	0,8	0,5	1,0
22.	1,6	1,1	2,3
23.	1,3	0,8	1,7
24.	2,1	1,4	2,9
25.	4,4	2,8	6,1
26.	2,5	1,6	3,4
27.	1,4	0,9	1,9
28.	3,2	2,1	4,5
29.	0,4	0,4	0,5

Tabl. 200 Wyniki pomiarów selektywnych  
– Wrocław, Szczecińska

1	2	3	4	5	6	7
Lok.	E	E-U%	E+U%	E <sub>BS</sub>	E <sub>BS</sub> -U%	E <sub>BS</sub> +U%
-	V/m	V/m	V/m	V/m	V/m	V/m
1.	2,4	1,5	3,4	2,4	1,5	3,4
2.	2,5	1,6	3,6	2,5	1,6	3,6
3.	1,7	1,2	2,4	1,7	1,2	2,4
4.	1,5	1,0	2,1	1,5	1,0	2,1
5.	0,6	0,5	0,7	0,6	0,5	0,7
6.	0,5	0,4	0,6	0,5	0,4	0,6
7.	0,9	0,6	1,2	0,9	0,6	1,2
8.	0,8	0,6	1,0	0,8	0,6	1,0
9.	2,8	1,8	3,9	2,8	1,8	3,9
10.	1,1	0,6	1,5	1,1	0,6	1,5
11.	3,3	2,2	4,6	3,3	2,2	4,6
12.	2,9	1,9	4,2	2,9	1,9	4,2
13.	2,6	1,7	3,6	2,6	1,7	3,6
14.	2,3	1,5	3,3	2,3	1,5	3,3
15.	0,6	0,5	0,9	0,6	0,5	0,9
16.	2,9	1,9	4,2	2,9	1,9	4,2
17.	3,7	2,4	5,3	3,7	2,4	5,3
18.	2,5	1,6	3,5	2,5	1,6	3,5
19.	3,2	2,1	4,4	3,2	2,1	4,4
20.	2,7	1,8	3,9	2,7	1,8	3,9
21.	1,1	0,7	1,6	1,1	0,7	1,6
22.	2,3	1,5	3,2	2,3	1,5	3,2
23.	1,6	1,0	2,2	1,6	1,0	2,2
24.	2,2	1,5	3,0	2,2	1,5	3,0
25.	5,6	3,6	7,8	5,6	3,6	7,8
26.	4,9	3,2	7,0	4,9	3,2	7,0
27.	2,1	1,4	2,9	2,1	1,4	2,9
28.	5,0	3,2	6,9	5,0	3,2	6,9
29.	0,7	0,5	0,9	0,7	0,5	0,9

Szczegóły odnośnie przeprowadzonych badań oraz wyniki pomiarów zawarte są w Sprawozdaniu z badań nr 0110101018/WRO05 – **Załącznik 1.**

### 5.90 Wrocław, Kuźnicza

Stwierdza się, że w otoczeniu stacji:

- ID: BT33470
- a) zmierzone, w trakcie pomiarów szerokopasmowych, wartości natężenia pola elektrycznego we wszystkich 30 z 30 punktów pomiarowych, nie przekraczają wartości granicznej 7 V/m;
- b) obliczone, na podstawie wyników pomiarów szerokopasmowych, wartości średniokwadratowe natężenia pola elektrycznego z uwzględnieniem oszacowanej

rozszerzonej niepewności pomiaru (przedział ufności 95%), we wszystkich 30 z 30 punktów pomiarowych, nie przekraczają wartości granicznej 7 V/m;

- c) obliczone, na podstawie wyników pomiarów selektywnych, wartości średniokwadratowe natężenia pola elektrycznego we wszystkich 30 z 30 punktów pomiarowych, nie przekraczają wartości granicznej 7 V/m;
- d) obliczone, na podstawie wyników pomiarów selektywnych, wartości średniokwadratowe natężenia pola elektrycznego z uwzględnieniem oszacowanej rozszerzonej niepewności pomiaru (przedział ufności 95%), we wszystkich 30 z 30 punktów pomiarowych, nie przekraczają wartości granicznej 7 V/m.

Tabl. 201 Wyniki pomiarów szerokopasmowych  
– Wrocław, Kuźnicza

<b>1</b>	<b>2</b>	<b>3</b>	<b>4</b>
<b>Lok.</b>	<b><math>E_{zm}</math></b>	<b><math>E_{zm}-U\%</math></b>	<b><math>E_{zm}+U\%</math></b>
<b>-</b>	<b>V/m</b>	<b>V/m</b>	<b>V/m</b>
1.	1,1	0,8	1,6
2.	1,0	0,7	1,4
3.	0,7	0,5	0,9
4.	2,0	1,3	2,7
5.	1,1	0,7	1,5
6.	1,2	0,9	1,7
7.	1,3	0,9	1,8
8.	1,2	0,8	1,7
9.	1,4	0,9	1,9
10.	1,8	1,2	2,4
11.	2,2	1,5	3,1
12.	1,6	1,1	2,3
13.	2,1	1,4	2,8
14.	1,5	1,1	2,1
15.	2,4	1,6	3,3
16.	2,5	1,6	3,5
17.	1,2	0,8	1,7
18.	1,6	1,0	2,2
19.	1,2	0,8	1,6
20.	0,4	0,3	0,6
21.	0,5	0,4	0,6
22.	0,3	0,3	0,3
23.	0,6	0,4	0,7
24.	0,5	0,4	0,6
25.	0,4	0,3	0,6
26.	1,1	0,7	1,6
27.	1,1	0,7	1,5
28.	0,4	0,3	0,4
29.	0,4	0,3	0,5
30.	0,4	0,3	0,5

Tabl. 202 Wyniki pomiarów selektywnych  
– Wrocław, Kuźnicza

1	2	3	4	5	6	7
Lok.	E	E-U%	E+U%	E <sub>BS</sub>	E <sub>BS</sub> -U%	E <sub>BS</sub> +U%
-	V/m	V/m	V/m	V/m	V/m	V/m
1.	1,0	0,7	1,4	1,0	0,7	1,4
2.	1,1	0,8	1,5	1,1	0,7	1,5
3.	0,7	0,5	1,0	0,7	0,5	1,0
4.	1,6	1,1	2,2	1,6	1,1	2,2
5.	0,9	0,6	1,3	0,9	0,6	1,3
6.	1,2	0,8	1,6	1,2	0,8	1,6
7.	1,2	0,9	1,7	1,2	0,8	1,6
8.	1,4	0,9	1,9	1,4	0,9	1,9
9.	1,5	1,0	2,1	1,5	1,0	2,0
10.	1,7	1,2	2,4	1,7	1,2	2,4
11.	2,0	1,3	2,7	1,9	1,3	2,7
12.	1,6	1,1	2,3	1,6	1,1	2,2
13.	1,7	1,1	2,3	1,7	1,1	2,3
14.	1,6	1,1	2,2	1,6	1,1	2,2
15.	2,7	1,8	3,7	2,7	1,8	3,7
16.	2,4	1,6	3,4	2,4	1,5	3,4
17.	1,5	1,0	2,0	1,5	1,0	2,0
18.	1,4	1,0	2,0	1,4	0,9	2,0
19.	1,1	0,8	1,5	1,1	0,8	1,5
20.	0,4	0,3	0,6	0,0	0,0	0,0
21.	0,5	0,4	0,6	0,2	0,2	0,2
22.	0,2	0,2	0,2	0,2	0,2	0,2
23.	0,5	0,3	0,7	0,5	0,3	0,7
24.	0,5	0,3	0,6	0,4	0,3	0,6
25.	0,4	0,3	0,5	0,3	0,2	0,4
26.	1,1	0,7	1,5	1,1	0,7	1,5
27.	1,3	0,9	1,8	1,3	0,9	1,8
28.	0,4	0,3	0,5	0,3	0,3	0,3
29.	0,4	0,3	0,4	0,2	0,2	0,2
30.	0,4	0,4	0,5	0,3	0,3	0,3

Szczegóły odnośnie przeprowadzonych badań oraz wyniki pomiarów zawarte są w Sprawozdaniu z badań nr 0110101018/WRO06 – **Załącznik 1.**

#### 5.91 Zielona Góra, Wrocławska

Stwierdza się, że w otoczeniu stacji:

- ID: 4559,
- ID: BT\_30172

- a) zmierzone, w trakcie pomiarów szerokopasmowych, wartości natężenia pola elektrycznego we wszystkich 30 z 30 punktów pomiarowych, nie przekraczają wartości granicznej 7 V/m;

- b) obliczone, na podstawie wyników pomiarów szerokopasmowych, wartości średniokwadratowe natężenia pola elektrycznego z uwzględnieniem oszacowanej rozszerzonej niepewności pomiaru (przedział ufności 95%), we wszystkich 30 z 30 punktów pomiarowych, nie przekraczają wartości granicznej 7 V/m;
- c) obliczone, na podstawie wyników pomiarów selektywnych, wartości średniokwadratowe natężenia pola elektrycznego we wszystkich 30 z 30 punktów pomiarowych, nie przekraczają wartości granicznej 7 V/m;
- d) obliczone, na podstawie wyników pomiarów selektywnych, wartości średniokwadratowe natężenia pola elektrycznego z uwzględnieniem oszacowanej rozszerzonej niepewności pomiaru (przedział ufności 95%), we wszystkich 30 z 30 punktów pomiarowych, nie przekraczają wartości granicznej 7 V/m.

Tabl. 203 Wyniki pomiarów szerokopasmowych  
– Zielona Góra, Wrocławska

1	2	3	4
Lok.	$E_{zm}$	$E_{zm}-U\%$	$E_{zm}+U\%$
-	V/m	V/m	V/m
1.	1,4	0,9	2,0
2.	0,9	0,6	1,3
3.	1,2	0,8	1,7
4.	1,6	1,0	2,2
5.	1,3	0,9	1,9
6.	1,0	0,7	1,4
7.	0,8	0,6	1,1
8.	0,5	0,4	0,6
9.	0,8	0,5	1,0
10.	0,9	0,6	1,2
11.	0,6	0,5	0,8
12.	0,9	0,6	1,2
13.	1,5	1,0	2,1
14.	1,2	0,8	1,7
15.	0,6	0,5	0,9
16.	2,1	1,3	2,9
17.	2,2	1,5	3,1
18.	1,7	1,0	2,3
19.	1,0	0,7	1,4
20.	0,8	0,6	1,1
21.	1,2	0,8	1,6
22.	1,0	0,7	1,5
23.	1,4	0,9	1,9
24.	0,8	0,6	1,1
25.	1,3	0,9	1,9
26.	1,3	0,8	1,7
27.	2,6	1,7	3,6
28.	2,4	1,6	3,3
29.	2,4	1,6	3,5
30.	0,9	0,6	1,3

Tabl. 204 Wyniki pomiarów selektywnych  
– Zielona Góra, Wrocławska

1	2	3	4	5	6	7
Lok.	E	E-U%	E+U%	E <sub>BS</sub>	E <sub>BS</sub> -U%	E <sub>BS</sub> +U%
-	V/m	V/m	V/m	V/m	V/m	V/m
1.	1,8	1,2	2,5	1,8	1,2	2,5
2.	1,4	0,9	2,0	1,4	0,9	2,0
3.	2,3	1,5	3,2	2,3	1,5	3,2
4.	2,1	1,3	2,9	2,1	1,3	2,9
5.	2,0	1,3	2,8	2,0	1,3	2,8
6.	1,4	0,9	2,0	1,4	0,9	2,0
7.	1,1	0,7	1,5	1,1	0,7	1,5
8.	0,7	0,5	0,9	0,7	0,5	0,9
9.	1,2	0,8	1,7	1,2	0,8	1,7
10.	1,6	1,1	2,2	1,6	1,1	2,2
11.	0,8	0,5	1,1	0,8	0,5	1,1
12.	1,0	0,7	1,3	1,0	0,7	1,3
13.	1,8	1,1	2,4	1,8	1,1	2,4
14.	1,2	0,7	1,7	1,2	0,7	1,7
15.	0,7	0,5	0,9	0,7	0,5	0,9
16.	2,1	1,4	3,0	2,1	1,4	3,0
17.	2,5	1,6	3,4	2,5	1,6	3,4
18.	2,3	1,5	3,3	2,3	1,5	3,3
19.	1,6	1,1	2,3	1,6	1,1	2,3
20.	0,9	0,6	1,3	0,9	0,6	1,3
21.	1,2	0,9	1,8	1,2	0,9	1,8
22.	1,2	0,8	1,7	1,2	0,8	1,7
23.	1,4	1,0	1,9	1,4	0,9	1,9
24.	1,2	0,8	1,7	1,2	0,8	1,7
25.	1,7	1,1	2,4	1,7	1,1	2,4
26.	1,6	1,1	2,2	1,6	1,1	2,2
27.	2,6	1,7	3,6	2,6	1,7	3,6
28.	3,4	2,3	4,8	3,4	2,3	4,8
29.	2,9	1,9	4,1	2,9	1,9	4,1
30.	1,1	0,7	1,6	1,1	0,7	1,6

Szczegóły odnośnie przeprowadzonych badań oraz wyniki pomiarów zawarte są w Sprawozdaniu z badań nr 0110101018/ZIE01 – **Załącznik 1.**

### 5.92 Zielona Góra, Przylep-Solidarności

Stwierdza się, że w otoczeniu stacji:

- ID: ZGO1027
- a) zmierzone, w trakcie pomiarów szerokopasmowych, wartości natężenia pola elektrycznego we wszystkich 30 z 30 punktów pomiarowych, nie przekraczają wartości granicznej 7 V/m;
- b) obliczone, na podstawie wyników pomiarów szerokopasmowych, wartości średniokwadratowe natężenia pola elektrycznego z uwzględnieniem oszacowanej



rozszerzonej niepewności pomiaru (przedział ufności 95%), we wszystkich 30 z 30 punktów pomiarowych, nie przekraczają wartości granicznej 7 V/m;

- c) obliczone, na podstawie wyników pomiarów selektywnych, wartości średniokwadratowe natężenia pola elektrycznego we wszystkich 30 z 30 punktów pomiarowych, nie przekraczają wartości granicznej 7 V/m;
- d) obliczone, na podstawie wyników pomiarów selektywnych, wartości średniokwadratowe natężenia pola elektrycznego z uwzględnieniem oszacowanej rozszerzonej niepewności pomiaru (przedział ufności 95%), we wszystkich 30 z 30 punktów pomiarowych, nie przekraczają wartości granicznej 7 V/m.

Tabl. 205 Wyniki pomiarów szerokopasmowych  
– Zielona Góra, Przylep-Solidarności

<b>1</b>	<b>2</b>	<b>3</b>	<b>4</b>
<b>Lok.</b>	<b><math>E_{zm}</math></b>	<b><math>E_{zm}-U\%</math></b>	<b><math>E_{zm}+U\%</math></b>
<b>-</b>	<b>V/m</b>	<b>V/m</b>	<b>V/m</b>
1.	0,9	0,6	1,3
2.	0,8	0,5	1,1
3.	0,9	0,6	1,2
4.	1,1	0,7	1,5
5.	0,5	0,4	0,6
6.	0,9	0,6	1,3
7.	0,8	0,6	1,0
8.	1,6	1,1	2,3
9.	1,4	0,9	2,0
10.	1,5	1,1	2,2
11.	1,2	0,8	1,7
12.	1,3	0,9	1,8
13.	1,4	0,9	2,0
14.	1,1	0,8	1,6
15.	0,6	0,5	0,9
16.	0,8	0,5	1,0
17.	0,9	0,6	1,3
18.	1,2	0,8	1,7
19.	1,0	0,7	1,4
20.	0,3	0,3	0,3
21.	0,8	0,5	1,1
22.	0,9	0,6	1,3
23.	1,3	0,8	1,8
24.	1,1	0,7	1,6
25.	1,2	0,8	1,7
26.	1,3	0,9	1,8
27.	1,4	0,9	2,0
28.	1,3	0,8	1,8
29.	1,6	1,1	2,3
30.	1,2	0,8	1,6

Tabl. 206 Wyniki pomiarów selektywnych  
– Zielona Góra, Przylep-Solidarności

1	2	3	4	5	6	7
Lok.	E	E-U%	E+U%	E <sub>BS</sub>	E <sub>BS</sub> -U%	E <sub>BS</sub> +U%
-	V/m	V/m	V/m	V/m	V/m	V/m
1.	1,3	0,8	1,8	1,3	0,8	1,8
2.	0,8	0,4	1,1	0,8	0,4	1,1
3.	0,9	0,6	1,4	0,9	0,6	1,4
4.	1,1	0,8	1,6	1,1	0,8	1,6
5.	0,4	0,3	0,5	0,4	0,3	0,5
6.	0,9	0,5	1,2	0,9	0,5	1,2
7.	0,7	0,5	1,0	0,7	0,5	1,0
8.	1,8	1,2	2,5	1,8	1,2	2,5
9.	1,8	1,2	2,5	1,8	1,2	2,5
10.	1,7	1,1	2,4	1,7	1,1	2,4
11.	1,2	0,8	1,6	1,2	0,8	1,6
12.	1,2	0,8	1,7	1,2	0,8	1,7
13.	1,5	1,0	2,1	1,5	1,0	2,1
14.	1,4	1,0	2,0	1,4	1,0	2,0
15.	0,6	0,4	0,8	0,6	0,4	0,8
16.	0,7	0,5	1,0	0,7	0,5	1,0
17.	1,1	0,7	1,5	1,1	0,7	1,5
18.	0,8	0,5	1,1	0,8	0,5	1,1
19.	1,1	0,7	1,5	1,1	0,7	1,5
20.	0,5	0,4	0,6	0,5	0,4	0,6
21.	0,9	0,6	1,2	0,9	0,6	1,2
22.	1,0	0,7	1,4	1,0	0,7	1,4
23.	1,1	0,7	1,5	1,1	0,7	1,5
24.	1,2	0,8	1,7	1,2	0,8	1,7
25.	1,4	0,9	1,9	1,4	0,9	1,9
26.	1,4	1,0	2,1	1,4	1,0	2,1
27.	1,4	0,9	2,0	1,4	0,9	2,0
28.	1,3	0,9	1,8	1,3	0,9	1,8
29.	1,1	0,8	1,6	1,1	0,8	1,6
30.	1,1	0,7	1,6	1,1	0,7	1,5

Szczegóły odnośnie przeprowadzonych badań oraz wyniki pomiarów zawarte są w Sprawozdaniu z badań nr 0110101018/ZIE02 – **Załącznik 1.**

### 5.93 Zielona Góra, Zjednoczenia

Stwierdza się, że w otoczeniu stacji:

- ID: 5180 / 61558
- a) zmierzone, w trakcie pomiarów szerokopasmowych, wartości natężenia pola elektrycznego we wszystkich 30 z 30 punktów pomiarowych, nie przekraczają wartości granicznej 7 V/m;
- b) obliczone, na podstawie wyników pomiarów szerokopasmowych, wartości średniokwadratowe natężenia pola elektrycznego z uwzględnieniem oszacowanej

rozszerzonej niepewności pomiaru (przedział ufności 95%), we wszystkich 30 z 30 punktów pomiarowych, nie przekraczają wartości granicznej 7 V/m;

- c) obliczone, na podstawie wyników pomiarów selektywnych, wartości średniokwadratowe natężenia pola elektrycznego we wszystkich 30 z 30 punktów pomiarowych, nie przekraczają wartości granicznej 7 V/m;
- d) obliczone, na podstawie wyników pomiarów selektywnych, wartości średniokwadratowe natężenia pola elektrycznego z uwzględnieniem oszacowanej rozszerzonej niepewności pomiaru (przedział ufności 95%), we wszystkich 30 z 30 punktów pomiarowych, nie przekraczają wartości granicznej 7 V/m.

Tabl. 207 Wyniki pomiarów szerokopasmowych  
– Zielona Góra, Zjednoczenia

<b>1</b>	<b>2</b>	<b>3</b>	<b>4</b>
<b>Lok.</b>	<b><math>E_{zm}</math></b>	<b><math>E_{zm}-U\%</math></b>	<b><math>E_{zm}+U\%</math></b>
<b>-</b>	<b>V/m</b>	<b>V/m</b>	<b>V/m</b>
1.	1,9	1,3	2,7
2.	1,6	1,1	2,3
3.	1,6	1,1	2,3
4.	1,4	1,0	2,1
5.	1,4	0,9	1,9
6.	1,9	1,2	2,6
7.	1,4	0,9	1,9
8.	1,3	0,9	1,8
9.	1,3	0,9	1,9
10.	1,5	1,0	2,2
11.	1,4	0,9	1,9
12.	1,0	0,7	1,4
13.	1,1	0,7	1,5
14.	3,2	2,1	4,5
15.	4,8	3,2	6,7
16.	0,7	0,6	1,0
17.	2,2	1,5	3,2
18.	2,6	1,7	3,6
19.	2,5	1,6	3,5
20.	1,7	1,2	2,4
21.	0,6	0,5	0,8
22.	1,9	1,3	2,6
23.	2,1	1,4	2,9
24.	1,4	1,0	2,0
25.	2,2	1,5	3,1
26.	1,6	1,1	2,2
27.	2,0	1,3	2,7
28.	1,3	0,9	1,7
29.	2,1	1,4	2,9
30.	1,2	0,7	1,6

Tabl. 208 Wyniki pomiarów selektywnych  
– Zielona Góra, Zjednoczenia

1	2	3	4	5	6	7
Lok.	E	E-U%	E+U%	E <sub>BS</sub>	E <sub>BS</sub> -U%	E <sub>BS</sub> +U%
-	V/m	V/m	V/m	V/m	V/m	V/m
1.	2,2	1,5	3,0	2,2	1,5	3,0
2.	2,4	1,7	3,4	2,4	1,7	3,4
3.	1,7	1,2	2,4	1,7	1,2	2,4
4.	1,7	1,1	2,3	1,7	1,1	2,3
5.	2,5	1,6	3,4	2,5	1,6	3,4
6.	2,9	1,9	3,9	2,9	1,9	3,9
7.	2,8	1,8	3,9	2,7	1,8	3,9
8.	1,7	1,1	2,3	1,7	1,0	2,3
9.	1,6	1,1	2,3	1,6	1,1	2,3
10.	2,6	1,7	3,5	2,6	1,7	3,5
11.	1,5	1,0	2,2	1,5	1,0	2,2
12.	1,1	0,8	1,6	1,1	0,8	1,6
13.	1,4	0,9	1,9	1,4	0,9	1,9
14.	3,3	2,2	4,6	3,3	2,2	4,6
15.	5,0	3,3	7,0	5,0	3,3	7,0
16.	1,0	0,7	1,4	1,0	0,7	1,4
17.	2,8	1,8	3,9	2,8	1,8	3,9
18.	2,6	1,7	3,7	2,6	1,7	3,7
19.	2,7	1,8	3,9	2,7	1,8	3,9
20.	2,0	1,3	2,7	2,0	1,3	2,7
21.	0,6	0,4	0,8	0,6	0,4	0,8
22.	1,6	1,1	2,2	1,6	1,0	2,2
23.	2,8	1,9	3,8	2,8	1,9	3,8
24.	1,7	1,1	2,3	1,7	1,1	2,3
25.	2,6	1,7	3,6	2,6	1,7	3,6
26.	2,4	1,6	3,3	2,4	1,6	3,3
27.	2,4	1,6	3,4	2,3	1,5	3,2
28.	1,6	1,1	2,3	1,6	1,1	2,3
29.	2,9	1,9	4,1	2,9	1,9	4,1
30.	1,7	1,1	2,4	1,7	1,1	2,4

Szczegóły odnośnie przeprowadzonych badań oraz wyniki pomiarów zawarte są w Sprawozdaniu z badań nr 0110101018/ZIE03 – **Załącznik 1.**

#### 5.94 Zielona Góra, Strzelecka

Stwierdza się, że w otoczeniu stacji:

- ID: ZGO1021
- a) zmierzone, w trakcie pomiarów szerokopasmowych, wartości natężenia pola elektrycznego we wszystkich 30 z 30 punktów pomiarowych, nie przekraczają wartości granicznej 7 V/m;
- b) obliczone, na podstawie wyników pomiarów szerokopasmowych, wartości średniokwadratowe natężenia pola elektrycznego z uwzględnieniem oszacowanej

rozszerzonej niepewności pomiaru (przedział ufności 95%), we wszystkich 30 z 30 punktów pomiarowych, nie przekraczają wartości granicznej 7 V/m;

- c) obliczone, na podstawie wyników pomiarów selektywnych, wartości średniokwadratowe natężenia pola elektrycznego we wszystkich 30 z 30 punktów pomiarowych, nie przekraczają wartości granicznej 7 V/m;
- d) obliczone, na podstawie wyników pomiarów selektywnych, wartości średniokwadratowe natężenia pola elektrycznego z uwzględnieniem oszacowanej rozszerzonej niepewności pomiaru (przedział ufności 95%), we wszystkich 30 z 30 punktów pomiarowych, nie przekraczają wartości granicznej 7 V/m.

Tabl. 209 Wyniki pomiarów szerokopasmowych  
– Zielona Góra, Strzelecka

<b>1</b>	<b>2</b>	<b>3</b>	<b>4</b>
<b>Lok.</b>	<b><math>E_{zm}</math></b>	<b><math>E_{zm}-U\%</math></b>	<b><math>E_{zm}+U\%</math></b>
<b>-</b>	<b>V/m</b>	<b>V/m</b>	<b>V/m</b>
1.	1,8	1,2	2,5
2.	1,3	0,8	1,8
3.	1,3	0,9	1,8
4.	1,2	0,8	1,7
5.	2,6	1,8	3,6
6.	0,4	0,3	0,6
7.	0,7	0,5	0,9
8.	0,7	0,5	1,0
9.	0,7	0,5	1,0
10.	1,6	1,1	2,3
11.	1,3	0,9	1,9
12.	1,0	0,7	1,4
13.	1,4	0,9	2,0
14.	1,4	0,9	1,9
15.	1,0	0,8	1,3
16.	1,1	0,8	1,6
17.	0,9	0,6	1,3
18.	1,5	0,9	2,0
19.	1,4	1,0	2,0
20.	1,5	1,0	2,1
21.	1,5	1,0	2,1
22.	2,2	1,4	3,0
23.	1,6	1,1	2,3
24.	1,5	1,0	2,1
25.	1,2	0,8	1,8
26.	1,6	1,0	2,2
27.	1,8	1,2	2,4
28.	1,8	1,2	2,6
29.	1,6	1,1	2,2
30.	1,0	0,7	1,4

Tabl. 210 Wyniki pomiarów selektywnych  
– Zielona Góra, Strzelecka

1	2	3	4	5	6	7
Lok.	E	E-U%	E+U%	E <sub>BS</sub>	E <sub>BS</sub> -U%	E <sub>BS</sub> +U%
-	V/m	V/m	V/m	V/m	V/m	V/m
1.	2,9	1,9	4,1	2,9	1,9	4,1
2.	2,7	1,8	3,8	2,7	1,7	3,7
3.	2,4	1,5	3,3	2,3	1,5	3,2
4.	3,6	2,4	5,0	3,6	2,4	5,0
5.	4,0	2,7	5,5	4,0	2,7	5,5
6.	0,7	0,4	1,0	0,6	0,4	0,9
7.	1,0	0,6	1,3	0,9	0,6	1,2
8.	0,9	0,6	1,2	0,7	0,5	1,0
9.	0,9	0,6	1,3	0,8	0,5	1,1
10.	2,3	1,5	3,2	2,3	1,5	3,2
11.	2,0	1,3	2,8	1,9	1,2	2,7
12.	2,0	1,3	2,8	2,0	1,3	2,7
13.	2,0	1,3	2,7	1,9	1,2	2,7
14.	2,3	1,5	3,2	2,3	1,5	3,2
15.	1,4	0,9	1,9	1,4	0,9	1,9
16.	1,4	0,9	1,9	1,3	0,8	1,8
17.	1,0	0,7	1,4	0,9	0,6	1,2
18.	1,8	1,2	2,5	1,6	1,1	2,2
19.	1,5	1,0	2,1	1,3	0,9	1,9
20.	1,6	1,1	2,3	1,5	1,1	2,2
21.	2,2	1,5	3,0	2,1	1,4	3,0
22.	2,9	1,9	4,0	2,9	1,9	3,9
23.	2,5	1,6	3,4	2,4	1,5	3,3
24.	1,8	1,2	2,6	1,7	1,1	2,4
25.	1,7	1,1	2,4	1,7	1,1	2,3
26.	2,0	1,3	2,8	1,9	1,2	2,7
27.	2,8	1,9	3,9	2,8	1,8	3,9
28.	2,1	1,4	3,0	1,5	1,1	2,2
29.	1,3	0,9	1,9	1,3	0,9	1,8
30.	1,0	0,7	1,5	0,9	0,7	1,3

Szczegóły odnośnie przeprowadzonych badań oraz wyniki pomiarów zawarte są w Sprawozdaniu z badań nr 0110101018/ZIE04 – **Załącznik 1.**

#### 5.95 Zielona Góra, Ptasia

Stwierdza się, że w otoczeniu stacji:

- ID: 43963,
- ID: BT31752,
- ID: ZGO1013

a) zmierzone, w trakcie pomiarów szerokopasmowych, wartości natężenia pola elektrycznego we wszystkich 30 z 30 punktów pomiarowych, nie przekraczają wartości granicznej 7 V/m;

- b) obliczone, na podstawie wyników pomiarów szerokopasmowych, wartości średniokwadratowe natężenia pola elektrycznego z uwzględnieniem oszacowanej rozszerzonej niepewności pomiaru (przedział ufności 95%), we wszystkich 30 z 30 punktów pomiarowych, nie przekraczają wartości granicznej 7 V/m;
- c) obliczone, na podstawie wyników pomiarów selektywnych, wartości średniokwadratowe natężenia pola elektrycznego we wszystkich 30 z 30 punktów pomiarowych, nie przekraczają wartości granicznej 7 V/m;
- d) obliczone, na podstawie wyników pomiarów selektywnych, wartości średniokwadratowe natężenia pola elektrycznego z uwzględnieniem oszacowanej rozszerzonej niepewności pomiaru (przedział ufności 95%), w 1 z 30 punktów pomiarowych, przekraczają wartość graniczną 7 V/m.

Tabl. 211 Wyniki pomiarów szerokopasmowych  
– Zielona Góra, Ptasia

1	2	3	4
Lok.	$E_{zm}$	$E_{zm}-U\%$	$E_{zm}+U\%$
-	V/m	V/m	V/m
1.	2,0	1,3	2,7
2.	2,1	1,3	2,9
3.	2,9	1,9	4,1
4.	1,5	1,0	2,2
5.	2,7	1,8	3,8
6.	2,4	1,6	3,4
7.	1,8	1,2	2,6
8.	2,0	1,4	2,8
9.	1,4	0,9	2,0
10.	1,4	1,0	2,0
11.	0,7	0,5	0,9
12.	0,9	0,7	1,3
13.	1,1	0,7	1,5
14.	1,6	1,1	2,3
15.	2,4	1,6	3,3
16.	2,1	1,3	2,9
17.	2,0	1,3	2,8
18.	2,4	1,6	3,4
19.	2,7	1,8	3,8
20.	3,2	2,1	4,4
21.	2,0	1,3	2,8
22.	1,4	1,0	2,0
23.	1,7	1,2	2,4
24.	2,8	1,9	4,0
25.	1,2	0,8	1,7
26.	1,6	1,0	2,2
27.	1,3	0,9	1,9
28.	0,7	0,5	0,9
29.	3,4	2,2	4,7
30.	4,4	2,9	6,1

Tabl. 212 Wyniki pomiarów selektywnych  
– Zielona Góra, Ptasia

1	2	3	4	5	6	7
Lok.	E	E-U%	E+U%	E <sub>BS</sub>	E <sub>BS</sub> -U%	E <sub>BS</sub> +U%
-	V/m	V/m	V/m	V/m	V/m	V/m
1.	3,4	2,1	4,7	3,3	2,1	4,6
2.	3,8	2,4	5,4	3,8	2,4	5,4
3.	3,4	2,2	4,8	3,4	2,2	4,8
4.	1,9	1,3	2,7	1,9	1,3	2,7
5.	3,4	2,3	4,8	3,4	2,2	4,8
6.	3,6	2,3	5,0	3,6	2,3	5,0
7.	2,4	1,6	3,4	2,4	1,5	3,4
8.	2,3	1,5	3,2	2,3	1,5	3,2
9.	2,1	1,4	3,0	2,1	1,4	2,9
10.	2,0	1,3	2,8	2,0	1,3	2,8
11.	0,8	0,6	1,0	0,6	0,4	0,7
12.	1,2	0,8	1,6	1,2	0,8	1,6
13.	1,4	1,0	2,0	1,4	1,0	2,0
14.	2,0	1,3	2,9	2,0	1,3	2,9
15.	2,3	1,6	3,3	2,3	1,5	3,2
16.	2,2	1,5	3,1	2,2	1,4	3,0
17.	2,3	1,5	3,2	2,2	1,4	3,1
18.	2,9	1,9	4,0	2,8	1,8	3,8
19.	3,7	2,5	5,2	3,7	2,5	5,2
20.	4,3	2,8	6,1	4,3	2,8	6,0
21.	2,6	1,7	3,7	2,6	1,7	3,7
22.	1,3	0,9	1,9	1,2	0,8	1,8
23.	2,5	1,7	3,5	2,5	1,7	3,4
24.	3,1	2,0	4,4	3,1	2,0	4,3
25.	1,6	1,0	2,2	1,6	1,0	2,2
26.	1,8	1,2	2,6	1,8	1,2	2,6
27.	1,8	1,2	2,5	1,7	1,1	2,4
28.	0,9	0,6	1,3	0,8	0,6	1,1
29.	3,3	2,1	4,5	3,2	2,1	4,5
30.	5,8	3,8	8,2	5,8	3,8	8,1

Szczegóły odnośnie przeprowadzonych badań oraz wyniki pomiarów zawarte są w Sprawozdaniu z badań nr 0110101018/ZIE05 – **Załącznik 1.**

#### 5.96 Zielona Góra, Dąbrowskiego

Stwierdza się, że w otoczeniu stacji:

- ID: 41092,
- ID: ZGO1010

- a) zmierzone, w trakcie pomiarów szerokopasmowych, wartości natężenia pola elektrycznego we wszystkich 30 z 30 punktów pomiarowych, nie przekraczają wartości granicznej 7 V/m;



- b) obliczone, na podstawie wyników pomiarów szerokopasmowych, wartości średniokwadratowe natężenia pola elektrycznego z uwzględnieniem oszacowanej rozszerzonej niepewności pomiaru (przedział ufności 95%), we wszystkich 30 z 30 punktów pomiarowych, nie przekraczają wartości granicznej 7 V/m;
- c) obliczone, na podstawie wyników pomiarów selektywnych, wartości średniokwadratowe natężenia pola elektrycznego we wszystkich 30 z 30 punktów pomiarowych, nie przekraczają wartości granicznej 7 V/m;
- d) obliczone, na podstawie wyników pomiarów selektywnych, wartości średniokwadratowe natężenia pola elektrycznego z uwzględnieniem oszacowanej rozszerzonej niepewności pomiaru (przedział ufności 95%), we wszystkich 30 z 30 punktów pomiarowych, nie przekraczają wartości granicznej 7 V/m.

Tabl. 213 Wyniki pomiarów szerokopasmowych  
– Zielona Góra, Dąbrowskiego

1	2	3	4
Lok.	$E_{zm}$	$E_{zm}-U\%$	$E_{zm}+U\%$
-	V/m	V/m	V/m
1.	2,5	1,6	3,5
2.	1,5	1,0	2,1
3.	1,9	1,3	2,7
4.	1,9	1,2	2,5
5.	1,7	1,1	2,5
6.	1,2	0,8	1,6
7.	1,4	1,0	2,0
8.	1,5	1,0	2,2
9.	1,2	0,8	1,6
10.	1,4	0,9	2,0
11.	2,9	1,9	4,1
12.	2,2	1,4	3,0
13.	1,5	1,0	2,0
14.	2	1,3	2,7
15.	2,6	1,7	3,7
16.	1,0	0,7	1,3
17.	0,5	0,5	0,6
18.	0,8	0,5	1,1
19.	0,8	0,5	1,2
20.	1,0	0,6	1,4
21.	1,1	0,7	1,5
22.	1,7	1,1	2,4
23.	2,3	1,5	3,3
24.	0,9	0,6	1,2
25.	2,6	1,8	3,8
26.	1,5	1,0	2,1
27.	1,3	0,8	1,8
28.	1,8	1,1	2,4
29.	1,3	0,9	1,9
30.	0,8	0,5	1,0

Tabl. 214 Wyniki pomiarów selektywnych  
– Zielona Góra, Dąbrowskiego

1	2	3	4	5	6	7
Lok.	E	E-U%	E+U%	E <sub>BS</sub>	E <sub>BS</sub> -U%	E <sub>BS</sub> +U%
-	V/m	V/m	V/m	V/m	V/m	V/m
1.	2,5	1,6	3,5	2,5	1,6	3,5
2.	1,5	1,0	2,1	1,5	1	2,1
3.	1,9	1,3	2,7	1,9	1,3	2,7
4.	1,9	1,2	2,5	1,9	1,2	2,5
5.	1,7	1,1	2,5	1,7	1,1	2,5
6.	1,2	0,8	1,6	1,2	0,8	1,6
7.	1,4	1,0	2,0	1,4	1,0	2,0
8.	1,5	1,0	2,2	1,5	1,0	2,2
9.	1,2	0,8	1,6	1,2	0,8	1,6
10.	1,4	0,9	2,0	1,4	0,9	2
11.	2,9	1,9	4,1	2,9	1,9	4,1
12.	2,2	1,4	3,0	2,2	1,4	3,0
13.	1,5	1,0	2,0	1,5	1,0	2,0
14.	2,0	1,3	2,7	2,0	1,3	2,7
15.	2,6	1,7	3,7	2,6	1,7	3,7
16.	1,0	0,7	1,3	1,0	0,7	1,3
17.	0,5	0,5	0,6	0,5	0,5	0,6
18.	0,8	0,5	1,1	0,8	0,5	1,1
19.	0,8	0,5	1,2	0,8	0,5	1,2
20.	1,0	0,6	1,4	1,0	0,6	1,4
21.	1,1	0,7	1,5	1,1	0,7	1,5
22.	1,7	1,1	2,4	1,7	1,1	2,4
23.	2,3	1,5	3,3	2,3	1,5	3,3
24.	0,9	0,6	1,2	0,9	0,6	1,2
25.	2,6	1,8	3,8	2,6	1,8	3,8
26.	1,5	1,0	2,1	1,5	1,0	2,1
27.	1,3	0,8	1,8	1,3	0,8	1,8
28.	1,8	1,1	2,4	1,8	1,1	2,4
29.	1,3	0,9	1,9	1,3	0,9	1,9
30.	0,8	0,5	1,0	0,8	0,5	1,0

Szczegóły odnośnie przeprowadzonych badań oraz wyniki pomiarów zawarte są w Sprawozdaniu z badań nr 0110101018/ZIE06 – **Załącznik 1.**

## 6. PODSUMOWANIE I WNIOSKI Z POMIARÓW – SBTK

Pomiary PEM w otoczeniu stacji bazowych telefonii komórkowej, prowadzone głównie w miastach wojewódzkich na terenie całego kraju, pozwalają sformułować następujące wnioski:

- wyniki uzyskane podczas pomiarów selektywnych odnoszą się do teoretycznej sytuacji jednoczesnego wykorzystania wszystkich zasobów stacji (wszystkie dostępne systemy i wszystkie dostępne pasma częstotliwości) każdego operatora;
- w większości lokalizacji SBTK zasadniczym źródłem obliczonych wartości średniokwadratowych natężenia pól elektrycznych w otoczeniu badanych stacji bazowych są instalacje tych stacji bazowych, a udział innych źródeł emisji jest pomijalny;
- niektóre lokalizacje SBTK znajdują się w niewielkiej odległości od obiektów takich jak np. RTCN lub wręcz są to lokalizacje SBTK współdzielone z obiektami tego typu. Ponieważ RTCN emitują sygnały RF o poziomach przewyższających emisje z instalacji SBTK, więc udział wytwarzanej przez nie emisji w obliczonych wartościach średniokwadratowych natężenia pól elektrycznych staje się istotny, np. największa zmierzona wartość średniokwadratowa natężenia pól elektrycznych na częstotliwościach emisji sygnału UKF-FM oraz DVB-T nie przekraczała 1,8 V/m, przy czym wartość średniokwadratowa natężenia pól elektrycznych dla wszystkich składowych wynosiła 2,5 V/m;
- w przypadku **pomiarów szerokopasmowych**:
  - nie zarejestrowano wyników pomiarów szerokopasmowych, które bez uwzględnienia rozszerzonej niepewności pomiaru przekraczałyby wartość dopuszczalną ( $E_{zm} > 7 \text{ V/m}$ );
  - występują 2 punkty pomiarowe, w 2 lokalizacjach, w których maksymalna wartość natężenia pól elektrycznych, obliczona z uwzględnieniem rozszerzonej niepewności pomiaru, może przekraczać wartość dopuszczalną ( $E_{zm} + U\% > 7 \text{ V/m}$ );
- w przypadku **pomiarów selektywnych**:
  - występują 2 punkty pomiarowe, w 2 lokalizacjach (patrz Tabl. 215), w których wartość średniokwadratowa natężenia pól elektrycznych, obliczona bez uwzględnienia rozszerzonej niepewności pomiaru ( $E > 7 \text{ V/m}$ ), a także wartość średniokwadratowa natężenia pól elektrycznych, obliczona z uwzględnieniem rozszerzonej niepewności pomiaru, przekraczają wartość dopuszczalną ( $E + U\% > 7 \text{ V/m}$ );
  - 30 punktów pomiarowych, w 17 lokalizacjach (patrz Tabl. 216), w których estymowana wartość średniokwadratowa natężenia pól elektrycznych może przekraczać wartość dopuszczalną 7 V/m w miejscach dostępnych dla ludności, gdyż obliczona z uwzględnieniem oszacowanej rozszerzonej niepewności pomiaru przekracza wartość dopuszczalną ( $E + U\% > 7 \text{ V/m}$ );
- w części przypadków zasadniczym źródłem możliwego przekroczenia wartości dopuszczalnej 7 V/m są pola elektryczne wytwarzane przez instalację stacji bazowej jednego operatora – w tej sytuacji obowiązek zapewnienia zgodności natężenia pól elektrycznych wytwarzanych przez instalacje stacji bazowej z warto-

ścią dopuszczalną powinien w sposób oczywisty spoczywać na operatorze, którego instalacja powoduje przekroczenie wartości dopuszczalnej;

- w części przypadków źródłem możliwego przekroczenia wartości dopuszczalnej 7 V/m są pola elektryczne wytwarzane przez instalacje stacji bazowych więcej niż jednego operatora, przy czym należy zauważyć, że pola elektryczne wytwarzane przez instalacje stacji bazowych każdego operatora rozpatrywane osobno nie przekraczają wartości dopuszczalnej – w tej sytuacji nie ma formalnej metody, którą należy zastosować w celu uzyskania zgodności natężenia pól elektrycznych wytwarzanych przez instalacje stacji bazowych kilku operatorów z wartością dopuszczalną;
- proponowane są następujące możliwości uzyskania zgodności natężenia pól elektrycznych wytwarzanych przez instalacje stacji bazowych kilku operatorów z wartością dopuszczalną:
  - zmniejszenie poziomów natężenia pól elektrycznych wytwarzanych przez instalacje stacji bazowych każdego operatora w sposób proporcjonalny do stwierdzonego przekroczenia;
  - zmniejszenie poziomów natężenia pól elektrycznych wytwarzanych przez instalację stacji bazowej tego operatora, który dokonał istotnej zmiany w instalacji stacji bazowej, powodując w ten sposób przekroczenie wartości dopuszczalnej – metoda rekomendowana przez IŁ-PIB.

Tabl. 215 Piony pomiarowe z przekroczeniami (pomiar selektywny):  $E > 7 \text{ V/m}$

Lp.	Województwo	Lokalizacja	Nr pionu	E [V/m]	E-U% [V/m]	E+U% [V/m]
1.	Kujawsko-Pomorskie	Bydgoszcz, Grzymały-Siedleckiego	5	7,1	4,5	10,1
2.	Świętokrzyskie	Kielce, Kredowa	23	7,3	4,8	10,1

Tabl. 216 Piony pomiarowe z możliwymi przekroczeniami (pomiar selektywny):  
 $E < 7 \text{ V/m}$ ,  $E+U\% > 7 \text{ V/m}$

Lp.	Województwo	Lokalizacja	Nr pionu	E [V/m]	E-U% [V/m]	E+U% [V/m]
1.	Dolnośląskie	Wrocław, Strzegomska	3	5,7	3,7	8,0
2.	Dolnośląskie	Wrocław, Strzegomska	12	5,3	3,5	7,4
3.	Dolnośląskie	Wrocław, Szczecińska	25	5,6	3,6	7,8
4.	Kujawsko-Pomorskie	Bydgoszcz, Chodkiewicza	21	5,8	3,8	8,1
5.	Kujawsko-Pomorskie	Bydgoszcz, Jaskółcza	19	5,8	3,8	8,3
6.	Kujawsko-Pomorskie	Bydgoszcz, Poznańska	6	6,0	3,9	8,3
7.	Kujawsko-Pomorskie	Bydgoszcz, Poznańska	12	5,4	3,6	7,6
8.	Kujawsko-Pomorskie	Bydgoszcz, Żeglarska	18	5,1	3,2	7,2
9.	Kujawsko-Pomorskie	Bydgoszcz, Żeglarska	20	6,3	4,0	9,0
10.	Lubelskie	Lublin, Działkowa	24	6,9	4,5	9,7
11.	Lubelskie	Lublin, Działkowa	25	7,0	4,5	9,9
12.	Lubelskie	Lublin, Jaczewskiego	13	5,7	3,6	8,1
13.	Lubuskie	Zielona Góra, Ptasia	30	5,8	3,8	8,2

Lp.	Województwo	Lokalizacja	Nr pionu	E [V/m]	E-U% [V/m]	E+U% [V/m]
14.	Mazowieckie	Warszawa, Jana Pawła II 34	27	6,0	4,0	8,5
15.	Mazowieckie	Warszawa, Jana Pawła II 34	29	5,3	3,4	7,4
16.	Opolskie	Opole, Sosnowskiego	1	5,9	3,9	8,3
17.	Opolskie	Opole, Sosnowskiego	2	5,4	3,5	7,5
18.	Opolskie	Opole, Sosnowskiego	16	5,6	3,7	7,8
19.	Podkarpackie	Rzeszów, Reja	12	5,1	3,4	7,2
20.	Podkarpackie	Rzeszów, Reja	27	5,3	3,4	7,4
21.	Podlaskie	Białystok, NMP Królowej Rodzin	13	5,3	3,4	7,4
22.	Podlaskie	Białystok, Nowowarszawska	3	5,5	3,7	7,7
23.	Podlaskie	Białystok, Nowowarszawska	7	6,9	4,4	9,6
24.	Podlaskie	Białystok, Nowowarszawska	15	5,2	3,4	7,2
25.	Pomorskie	Gdańsk, Prezydenta Lecha Kaczyńskiego	5	5,3	3,4	7,3
26.	Świętokrzyskie	Kielce, Kredowa/ Massalskiego	12	5,4	3,4	7,7
27.	Świętokrzyskie	Kielce, Kredowa/ Massalskiego	21	6,8	4,4	9,5
28.	Świętokrzyskie	Kielce, Kredowa/ Massalskiego	25	5,7	3,7	8,0
29.	Świętokrzyskie	Kielce, Sikorskiego	19	5,1	3,3	7,1
30.	Świętokrzyskie	Kielce, Sikorskiego	28	6,7	4,3	9,3

W Tabl. 217 i Tabl. 218 przedstawione są łączne liczby przypadków możliwości występowania przekroczeń poziomu natężenia pola elektrycznego powyżej dopuszczalnej wartości 7 V/m, stwierdzonych w wyniku przeprowadzonych pomiarów szerokopasmowych i selektywnych oraz wykonanych obliczeń, dla 96 wytypowanych do pomiarów lokalizacji na terenie kraju.

Tabl. 217 i Tabl. 218 przedstawiają odpowiednio liczby tych przypadków:

- we wszystkich badanych lokalizacjach na terenie danego województwa;
- w poszczególnych badanych lokalizacjach.

#### Opisy pól w tabelach:

Kol. 3. łączna liczba pionów pomiarowych, odpowiednio: na terenie województwa, w lokalizacji.

Kol. 4-6. Dotyczy wyników pomiarów szerokopasmowych, gdzie:

$E_{zm}$  – zmierzona wartość natężenia pola elektrycznego w zakresie częstotliwości;

$E_{zm}-U\%$  – minimalna wartość natężenia pola elektrycznego  $E_{zm}$  z uwzględnieniem rozszerzonej niepewności pomiaru;

$E_{zm}+U\%$  – maksymalna wartość natężenia pola elektrycznego  $E_{zm}$  z uwzględnieniem rozszerzonej niepewności pomiaru;

Kol. 7-9. Dotyczy wyników pomiarów selektywnych, gdzie:

E – obliczona wartość natężenia pola elektrycznego w zakresie częstotliwości;

E-U% – minimalna wartość natężenia pola elektrycznego E z uwzględnieniem rozszerzonej niepewności pomiaru;

E+U% – maksymalna wartość natężenia pola elektrycznego E z uwzględnieniem rozszerzonej niepewności pomiaru.

Tabl. 217 Zestawienie liczby przypadków możliwych przekroczeń na terenie województw

Lp.	Województwo	Liczba pionów pom.	Pomiary szerokopasmowe			Pomiary selektywne		
			E <sub>zm</sub> powyżej 7 V/m	E <sub>zm</sub> -U% powyżej 7 V/m	E <sub>zm</sub> +U% powyżej 7 V/m	E powyżej 7 V/m	E-U% powyżej 7 V/m	E+U% powyżej 7 V/m
1	2	3	4	5	6	7	8	9
1.	Dolnośląskie	179	0	0	0	0	0	3
2.	Kujawsko-Pomorskie	180	0	0	0	1	0	7
3.	Lubelskie	180	0	0	0	0	0	3
4.	Lubuskie	180	0	0	0	0	0	1
5.	Łódzkie	180	0	0	0	0	0	0
6.	Małopolskie	180	0	0	0	0	0	0
7.	Mazowieckie	182	0	0	1	0	0	2
8.	Opolskie	180	0	0	0	0	0	3
9.	Podkarpackie	179	0	0	0	0	0	2
10.	Podlaskie	181	0	0	0	0	0	4
11.	Pomorskie	178	0	0	0	0	0	1
12.	Śląskie	180	0	0	0	0	0	0
13.	Świętokrzyskie	180	0	0	1	1	0	6
14.	Warmińsko-Mazurskie	181	0	0	0	0	0	0
15.	Wielkopolskie	180	0	0	0	0	0	0
16.	Zachodniopomorskie	180	0	0	0	0	0	0
	<b>Razem</b>	<b>2 880</b>	<b>0</b>	<b>0</b>	<b>2</b>	<b>2</b>	<b>0</b>	<b>32</b>

Tabl. 218 Zestawienie liczby przypadków możliwych przekroczeń w poszczególnych lokalizacjach

Lp.	Województwo	Lokalizacja	Liczba pomiarów pom.	Pomiary szerokopasmowe			Pomiary selektywne		
				E <sub>zm</sub> powyżej 7 V/m	E <sub>zm</sub> -U% powyżej 7 V/m	E <sub>zm</sub> powyżej 7 V/m	E <sub>zm</sub> -U% powyżej 7 V/m	E <sub>zm</sub> powyżej 7 V/m	E <sub>zm</sub> -U% powyżej 7 V/m
1.	Dolnośląskie	Wrocław, Strzegomska	30	0	0	0	0	0	2
2.	Dolnośląskie	Wrocław, Szczecińska	29	0	0	0	0	0	1
3.	Kujawsko-Pomorskie	Bydgoszcz, Chodkiewicza	30	0	0	0	0	0	1
4.	Kujawsko-Pomorskie	Bydgoszcz, Grzymały-Siedleckiego	30	0	0	0	1	0	1
5.	Kujawsko-Pomorskie	Bydgoszcz, Jaskótcza	30	0	0	0	0	0	1
6.	Kujawsko-Pomorskie	Bydgoszcz, Poznańska	30	0	0	0	0	0	2
7.	Kujawsko-Pomorskie	Bydgoszcz, Żeglarska	30	0	0	0	0	0	2
8.	Lubelskie	Lublin, Działkowa	30	0	0	0	0	0	2
9.	Lubelskie	Lublin, Jaczewskiego	30	0	0	0	0	0	1
10.	Lubuskie	Zielona Góra, Ptasia	30	0	0	0	0	0	1
11.	Mazowieckie	Warszawa, Jana Pawła II 34	30	0	0	1	0	0	2
12.	Opolskie	Opole, Sosnowskiego	30	0	0	0	0	0	3
13.	Podkarpackie	Rzeszów, Reja	30	0	0	0	0	0	2
14.	Podlaskie	Białystok, NMP Królowej Rodzin	30	0	0	0	0	0	1
15.	Podlaskie	Białystok, Nowowarszawska	30	0	0	0	0	0	3
16.	Pomorskie	Gdańsk, Prezydenta Lecha Kaczyńskiego	30	0	0	0	0	0	1
17.	Świętokrzyskie	Kielce, Kredowa/Massalskiego	30	0	0	1	1	0	4
18.	Świętokrzyskie	Kielce, Sikorskiego	30	0	0	0	0	0	2
<b>Razem</b>			<b>539</b>	<b>0</b>	<b>0</b>	<b>2</b>	<b>2</b>	<b>0</b>	<b>32</b>

W Tabl. 219 przedstawione są maksymalne wartości poziomu natężenia pola elektrycznego, uzyskane w wyniku przeprowadzonych pomiarów selektywnych oraz wykonanych obliczeń, w 96 wytypowanych do pomiarów lokalizacjach na terenie kraju.

Opis pól w tabeli:

E – obliczona wartość natężenia pola elektrycznego w zakresie częstotliwości;

E-U% – minimalna wartość natężenia pola elektrycznego E z uwzględnieniem rozszerzonej niepewności pomiaru;

E+U% – maksymalna wartość natężenia pola elektrycznego E z uwzględnieniem rozszerzonej niepewności pomiaru.

Zastosowano następujące graficzne oznaczenia lokalizacji:

- wyróżnienie kolorem zielonym gdy:

$$E < 7 \text{ V/m}, E-U\% < 7 \text{ V/m} \text{ oraz } E+U\% \leq 7 \text{ V/m}$$

- wyróżnienie kolorem żółtym gdy:

$$E \leq 7 \text{ V/m}, E-U\% < 7 \text{ V/m} \text{ oraz } E+U\% > 7 \text{ V/m}$$

- wyróżnienie kolorem czerwonym:

$$E > 7 \text{ V/m} \text{ oraz } E+U\% > 7 \text{ V/m}$$

Tabl. 219 Maksymalne wartości poziomu natężenia pola elektrycznego w lokalizacjach

Lp.	Województwo	Lokalizacja	E [V/m]	E-U% [V/m]	E+U% [V/m]
1.	Dolnośląskie	Wrocław, Kuźnicza	2,7	1,8	3,7
2.	Dolnośląskie	Wrocław, pl. Grunwaldzki	3,0	2,0	4,3
3.	Dolnośląskie	Wrocław, Strzegomska	5,7	3,7	8,0
4.	Dolnośląskie	Wrocław, Szczecińska	5,6	3,6	7,8
5.	Dolnośląskie	Wrocław, Szczytnicka	4,1	2,7	5,7
6.	Dolnośląskie	Wrocław, Trzebnicka	3,3	2,2	4,6
7.	Kujawsko-Pomorskie	Bydgoszcz, Chodkiewicza	5,8	3,8	8,1
8.	Kujawsko-Pomorskie	Bydgoszcz, Gdańska	2,9	2,0	4,0
9.	Kujawsko-Pomorskie	Bydgoszcz, Grzymały-Siedleckiego	7,1	4,5	10,1
10.	Kujawsko-Pomorskie	Bydgoszcz, Jaskótcza	5,8	3,8	8,3
11.	Kujawsko-Pomorskie	Bydgoszcz, Poznańska	6,0	3,9	8,3
12.	Kujawsko-Pomorskie	Bydgoszcz, Żeglarska	6,3	4,0	9,0
13.	Lubelskie	Lublin, Dragonów	4,1	2,7	5,7
14.	Lubelskie	Lublin, Działkowa	7,0	4,5	9,9
15.	Lubelskie	Lublin, Jaczewskiego	5,7	3,6	8,1
16.	Lubelskie	Lublin, Koncertowa	4,2	2,8	5,9
17.	Lubelskie	Lublin, Nałęczowska	4,8	3,1	6,8
18.	Lubelskie	Lublin, Pogodna	2,8	1,8	4,0
19.	Lubuskie	Zielona Góra, Przylep-Solidarności	1,8	1,2	2,5
20.	Lubuskie	Zielona Góra, Dąbrowskiego	4,5	3,0	6,4
21.	Lubuskie	Zielona Góra, Ptasia	5,8	3,8	8,2
22.	Lubuskie	Zielona Góra, Strzelecka	4,0	2,7	5,5
23.	Lubuskie	Zielona Góra, Wrocławska	3,4	2,3	4,8



Lp.	Województwo	Lokalizacja	E [V/m]	E-U% [V/m]	E+U% [V/m]
24.	Lubuskie	Zielona Góra, Zjednoczenia 118a	5,0	3,3	7,0
25.	Łódzkie	Łódź, 6-go sierpnia	1,7	1,1	2,4
26.	Łódzkie	Łódź, Chóralna	2,9	1,9	4,0
27.	Łódzkie	Łódź, Limanowskiego	4,1	2,7	5,7
28.	Łódzkie	Łódź, Matejki	4,0	2,7	5,6
29.	Łódzkie	Łódź, Sandomierska	3,5	2,3	5,0
30.	Łódzkie	Łódź, Wólczańska	3,5	2,3	4,8
31.	Małopolskie	Kraków, Dobrzycka	4,0	2,6	5,6
32.	Małopolskie	Kraków, Krzemionki	2,7	1,8	3,7
33.	Małopolskie	Kraków, Przy Rondzie	4,0	2,6	5,6
34.	Małopolskie	Kraków, Waszyngtona	3,5	2,3	5,0
35.	Małopolskie	Kraków, Wąska	3,2	2,1	4,5
36.	Małopolskie	Kraków, Zaborska	3,6	2,4	5,0
37.	Mazowieckie	Warszawa, Jana Pawła II 18	3,8	2,5	5,2
38.	Mazowieckie	Warszawa, Jana Pawła II 34	6,0	4,0	8,5
39.	Mazowieckie	Warszawa, Karowa	2,5	1,6	3,5
40.	Mazowieckie	Warszawa, Kopernika	2,3	1,5	3,2
41.	Mazowieckie	Warszawa, Krucza	5,0	3,3	6,9
42.	Mazowieckie	Warszawa, Wspólna	2,6	1,7	3,6
43.	Opolskie	Opole, Konfantego	2,9	1,9	4,1
44.	Opolskie	Opole, Nowowiejskiego	2,2	1,4	3,1
45.	Opolskie	Opole, Jerzego i Ryszarda Kowalczyków	4,2	2,8	5,8
46.	Opolskie	Opole, Sosnowskiego	5,9	3,9	8,3
47.	Opolskie	Opole, Wrocławska	4,4	2,7	6,3
48.	Opolskie	Opole, Wschodnia	4,1	2,7	5,6
49.	Podkarpackie	Rzeszów, Boya Żeleńskiego 2	4,2	2,7	5,9
50.	Podkarpackie	Rzeszów, Ćwiklińskiej	3,6	2,4	5,0
51.	Podkarpackie	Rzeszów, Krakowska	2,4	1,5	3,2
52.	Podkarpackie	Rzeszów, Lwowska	5,0	3,3	7,0
53.	Podkarpackie	Rzeszów, Powstańców W-wy	3,6	2,4	4,9
54.	Podkarpackie	Rzeszów, Reja	5,3	3,4	7,4
55.	Podlaskie	Białystok, Jałbrzykowskiego	3,9	2,5	5,6
56.	Podlaskie	Białystok, Jana Pawła II	2,7	1,8	3,8
57.	Podlaskie	Białystok, Mickiewicza	1,4	0,9	1,9
58.	Podlaskie	Białystok, NMP Królowej Rodzin	5,3	3,4	7,4
59.	Podlaskie	Białystok, Nowowarszawska	6,9	4,4	9,6
60.	Podlaskie	Białystok, Świętojańska	2,4	1,5	3,4
61.	Pomorskie	Gdańsk, Prezydenta Lecha Kaczyńskiego	5,3	3,4	7,3
62.	Pomorskie	Gdańsk, Grunwaldzka	3,9	2,5	5,5
63.	Pomorskie	Gdańsk, Jagiellońska	4,0	2,6	5,7
64.	Pomorskie	Gdańsk, Rozłogi	2,8	1,8	3,9
65.	Pomorskie	Gdańsk, Siennicka	2,6	1,7	3,7

Lp.	Województwo	Lokalizacja	E [V/m]	E-U% [V/m]	E+U% [V/m]
66.	Pomorskie	Gdańsk, Zielone Wzgórze	1,9	1,3	2,7
67.	Śląskie	Katowice, Bocheńskiego	4,3	2,9	6,0
68.	Śląskie	Katowice, Bytkowska	2,1	1,4	3,0
69.	Śląskie	Katowice, Gawronów	4,6	3,1	6,4
70.	Śląskie	Katowice, Graniczna	4,5	2,9	6,3
71.	Śląskie	Katowice, Grodowa	4,8	3,0	6,8
72.	Śląskie	Katowice, Siemianowicka	1,9	1,3	2,6
73.	Świętokrzyskie	Kielce, Kredowa/Massalskiego	7,3	4,8	10,1
74.	Świętokrzyskie	Kielce, Sienkiewicza	3,1	2,0	4,3
75.	Świętokrzyskie	Kielce, Sikorskiego	6,7	4,3	9,3
76.	Świętokrzyskie	Kielce, Solidarności	2,2	1,5	3,1
77.	Świętokrzyskie	Kielce, Szczecińska	3,6	2,3	5,0
78.	Świętokrzyskie	Kielce, Warszawska	4,6	3,0	6,5
79.	Warmińsko-Mazurskie	Olsztyn, Bajkowa	4,4	2,9	6,3
80.	Warmińsko-Mazurskie	Olsztyn, Dybowskiego 7	1,4	1,0	2,0
81.	Warmińsko-Mazurskie	Olsztyn, Głowackiego	3,9	2,5	5,4
82.	Warmińsko-Mazurskie	Olsztyn, Grunwaldzka	3,6	2,4	5,1
83.	Warmińsko-Mazurskie	Olsztyn, Pl. Łódzki	3,3	2,2	4,6
84.	Warmińsko-Mazurskie	Olsztyn, Pstrowskiego	3,2	2,2	4,5
85.	Wielkopolskie	Poznań, Bałtycka	1,6	1,1	2,3
86.	Wielkopolskie	Poznań, Dąbrowskiego	4,4	2,8	6,1
87.	Wielkopolskie	Poznań, Przetajowa	2,8	1,8	4,0
88.	Wielkopolskie	Poznań, Szymanowskiego	2,1	1,4	3,0
89.	Wielkopolskie	Poznań, Unii Lubelskiej	3,1	2,0	4,4
90.	Wielkopolskie	Poznań, Warszawska	4,3	2,8	6,0
91.	Zachodniopomorskie	Szczecin, Jagiełły	1,9	1,2	2,6
92.	Zachodniopomorskie	Szczecin, Komuny Paryskiej	1,9	1,3	2,7
93.	Zachodniopomorskie	Szczecin, Niemierzyńska	2,5	1,6	3,5
94.	Zachodniopomorskie	Szczecin, Poznańska	4,1	2,7	5,8
95.	Zachodniopomorskie	Szczecin, Dmowskiego	1,7	1,2	2,4
96.	Zachodniopomorskie	Szczecin, Santocka	4,8	3,2	6,8

W Tabl. 220 przedstawione są lokalizacje, w których wartości natężenia pola elektrycznego, uzyskane w wyniku przeprowadzonych pomiarów selektywnych oraz wykonanych obliczeń, przekroczyły dopuszczalny poziom 7 V/m – łącznie 2 piony pomiarowe w 2 lokalizacjach. Dodatkowo przedstawione są różnice pomiędzy wartościami natężenia pola elektrycznego (E) określonego w pełnym zakresie zaprogramowanych częstotliwości przyrządu pomiarowego, a wartościami natężenia pola elektrycznego wytwarzanego wyłącznie przez stacje bazowe GSM, UMTS, LTE ( $E_{BS}$ , pomiary selektywne), co umożliwi określenie udziału emisji wytwarzanych przez inne źródła niż stacje bazowe w całkowitej zmierzonej emisji.

W Tabl. 221 przedstawiony jest udział poszczególnych operatorów w uzyskanym wyniku.

Opis pól w tabeli (Tabl. 220):

E – obliczona wartość natężenia pola elektrycznego w pełnym zakresie częstotliwości;

E-U% – minimalna wartość natężenia pola elektrycznego E z uwzględnieniem rozszerzonej niepewności pomiaru;

E+U% – maksymalna wartość natężenia pola elektrycznego E z uwzględnieniem rozszerzonej niepewności pomiaru;

$E_{BS}$  – obliczona wartość natężenia pola elektrycznego wytwarzanego przez stacje bazowe GSM, UMTS, LTE;

$E_{BS}$ -U% – minimalna wartość natężenia pola elektrycznego  $E_{BS}$  z uwzględnieniem rozszerzonej niepewności pomiaru;

$E_{BS}$ +U% – maksymalna wartość natężenia pola elektrycznego  $E_{BS}$  z uwzględnieniem rozszerzonej niepewności pomiaru;

$\Delta (E - E_{BS})$  – różnica pomiędzy wartością natężenia pola elektrycznego w pełnym zakresie częstotliwości, a wartością natężenia pola elektrycznego wytwarzanego przez stacje bazowe GSM, UMTS, LTE, obliczona jako wynik  $\sqrt{E^2 - E_{BS}^2}$ .

Tabl. 220 Stwierdzone i możliwe przekroczenia dopuszczalnego poziomu 7 V/m. E i udział  $E_{BS}$

Województwo	Lokalizacja	Nr pionu	E [V/m]	E-U% [V/m]	E+U% [V/m]	$E_{BS}$ [V/m]	$E_{BS}$ -U% [V/m]	$E_{BS}$ +U% [V/m]	$\Delta (E-E_{BS})$ [V/m]
Dolnośląskie	Wrocław, Strzegomska	3	5,7	3,7	8,0	5,6	3,6	7,8	1,1
Dolnośląskie	Wrocław, Strzegomska	12	5,3	3,5	7,4	5,3	3,5	7,4	0,0
Dolnośląskie	Wrocław, Szczecińska	25	5,6	3,6	7,8	5,6	3,6	7,8	0,0
Kujawsko-Pomorskie	Bydgoszcz, Chodkiewicza	21	5,8	3,8	8,1	5,7	3,7	8,0	1,1
Kujawsko-Pomorskie	Bydgoszcz, Grzymały-Siedleckiego	5	7,1	4,5	10,1	7,1	4,5	10,1	0,0
Kujawsko-Pomorskie	Bydgoszcz, Jaskótcza	19	5,8	3,8	8,3	5,8	3,8	8,3	0,0
Kujawsko-Pomorskie	Bydgoszcz, Poznańska	6	6,0	3,9	8,3	6,0	3,9	8,3	0,0




Województwo	Lokalizacja	Nr pionu	E [V/m]	E-U% [V/m]	E+U% [V/m]	E <sub>BS</sub> [V/m]	E <sub>BS</sub> -U% [V/m]	E <sub>BS</sub> +U% [V/m]	Δ (E-E <sub>BS</sub> ) [V/m]
Kujawsko-Pomorskie	Bydgoszcz, Poznańska	12	5,4	3,6	7,6	5,4	3,6	7,6	0,0
Kujawsko-Pomorskie	Bydgoszcz, Żeglarska	18	5,1	3,2	7,2	5,1	3,2	7,2	0,0
Kujawsko-Pomorskie	Bydgoszcz, Żeglarska	20	6,3	4,0	9,0	6,3	4,0	9,0	0,0
Lubelskie	Lublin, Działkowa	24	6,9	4,5	9,7	6,9	4,5	9,7	0,0
Lubelskie	Lublin, Działkowa	25	7,0	4,5	9,9	7,0	4,5	9,9	0,0
Lubelskie	Lublin, Jaczewskiego	13	5,7	3,6	8,1	5,7	3,6	8,1	0,0
Lubuskie	Zielona Góra, Ptasia	30	5,8	3,8	8,2	5,8	3,8	8,1	0,0
Mazowieckie	Warszawa, Jana Pawła II 34	27	6,0	4,0	8,5	5,9	3,9	8,2	1,1
Mazowieckie	Warszawa, Jana Pawła II 34	29	5,3	3,4	7,4	5,3	3,4	7,4	0,0
Opolskie	Opole, Sosnowskiego	1	5,9	3,9	8,3	5,9	3,9	8,3	0,0
Opolskie	Opole, Sosnowskiego	2	5,4	3,5	7,5	5,3	3,5	7,5	1,0
Opolskie	Opole, Sosnowskiego	16	5,6	3,7	7,8	5,6	3,6	7,8	0,0
Podkarpackie	Rzeszów, Reja	12	5,1	3,4	7,2	5,1	3,4	7,2	0,0
Podkarpackie	Rzeszów, Reja	27	5,3	3,4	7,4	5,2	3,4	7,3	1,0
Podlaskie	Białystok, NMP Królowej Rodzin	13	5,3	3,4	7,4	5,3	3,4	7,4	0,0
Podlaskie	Białystok, Nowowarszawska	3	5,5	3,7	7,7	5,5	3,7	7,7	0,0
Podlaskie	Białystok, Nowowarszawska	7	6,9	4,4	9,6	6,9	4,4	9,6	0,0
Podlaskie	Białystok, Nowowarszawska	15	5,2	3,4	7,2	5,2	3,4	7,2	0,0
Pomorskie	Gdańsk, Prezydenta Lecha Kaczyń-	5	5,3	3,4	7,3	5,3	3,4	7,3	0,0
Świętokrzyskie	Kielce, Kredowa/Massalskiego	12	5,4	3,4	7,7	5,4	3,4	7,7	0,0
Świętokrzyskie	Kielce, Kredowa/Massalskiego	21	6,8	4,4	9,5	6,8	4,4	9,5	0,0
Świętokrzyskie	Kielce, Kredowa/Massalskiego	23	7,3	4,8	10,1	7,3	4,8	10,1	0,0
Świętokrzyskie	Kielce, Kredowa/Massalskiego	25	5,7	3,7	8,0	5,7	3,6	8,0	0,0
Świętokrzyskie	Kielce, Sikorskiego	19	5,1	3,3	7,1	5,1	3,3	7,1	0,0

Województwo	Lokalizacja	Nr pionu	E [V/m]	E-U% [V/m]	E+U% [V/m]	E <sub>BS</sub> [V/m]	E <sub>BS</sub> -U% [V/m]	E <sub>BS</sub> +U% [V/m]	Δ (E-E <sub>BS</sub> ) [V/m]
Świętokrzyskie	Kielce, Sikorskiego	28	6,7	4,3	9,3	6,7	4,3	9,3	0,0

Tabl. 221 Przekroczenia dopuszczalnego poziomu 7 V/m. E<sub>BS</sub> i udział operatorów (piony)

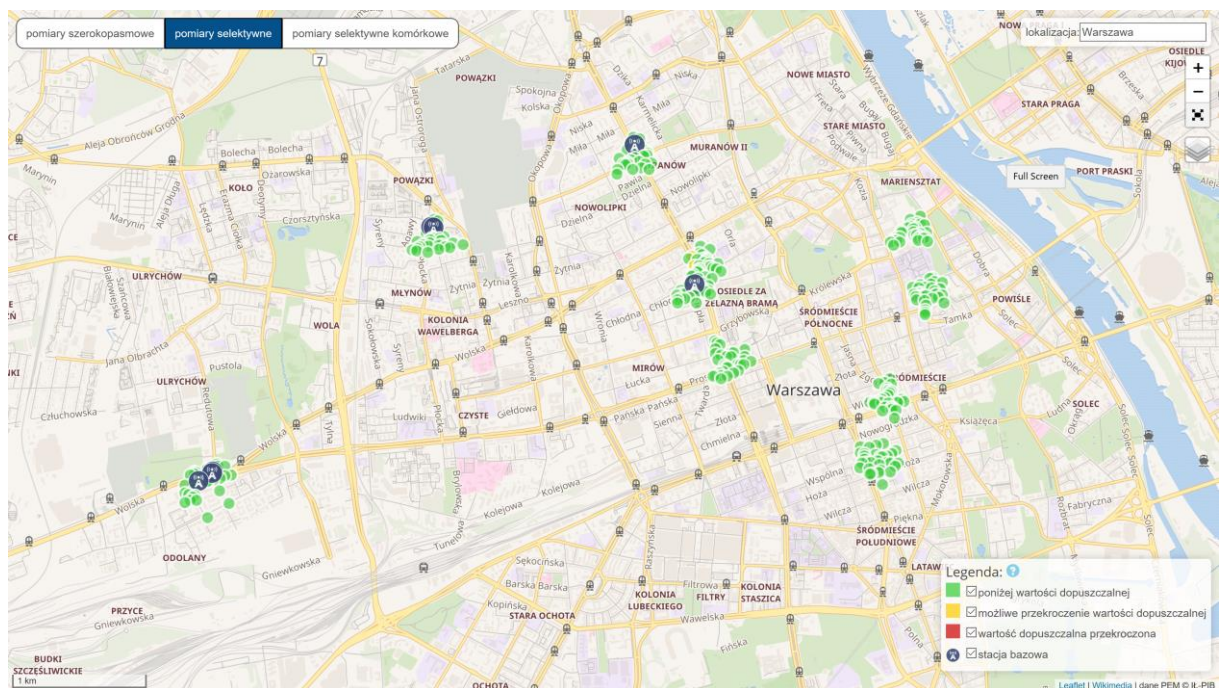
Województwo	Lokalizacja	Nr pionu	E <sub>BS</sub> [V/m]	Udział operatorów [V/m]						
				Aero2	Networks	Orange	P4	Polkomtel	Sferia	T-Mobile
Kujawsko-Pomorskie	Bydgoszcz, Grzymały Siedleckiego	5	7,1	1,7	0,2	0,3	6,8	0,9	0,1	0,3
Świętokrzyskie	Kielce, Kredowa/Massalskiego	23	7,3	0,3	1,8	2,7	5,2	0,4	0,0	3,8

Na Rys. 4 i Rys. 5 przedstawione zostały przykładowe mapy pokazujące wyniki pomiarów PEM w pionach pomiarowych lokalizacji wytypowanych do pomiarów, dla wybranego miasta i wybranej lokalizacji. Każdy punkt pomiarowy został wyróżniony graficznie (odpowiednim kolorem) w zależności od uzyskanych wyników poziomu PEM w poszczególnych pionach pomiarowych:

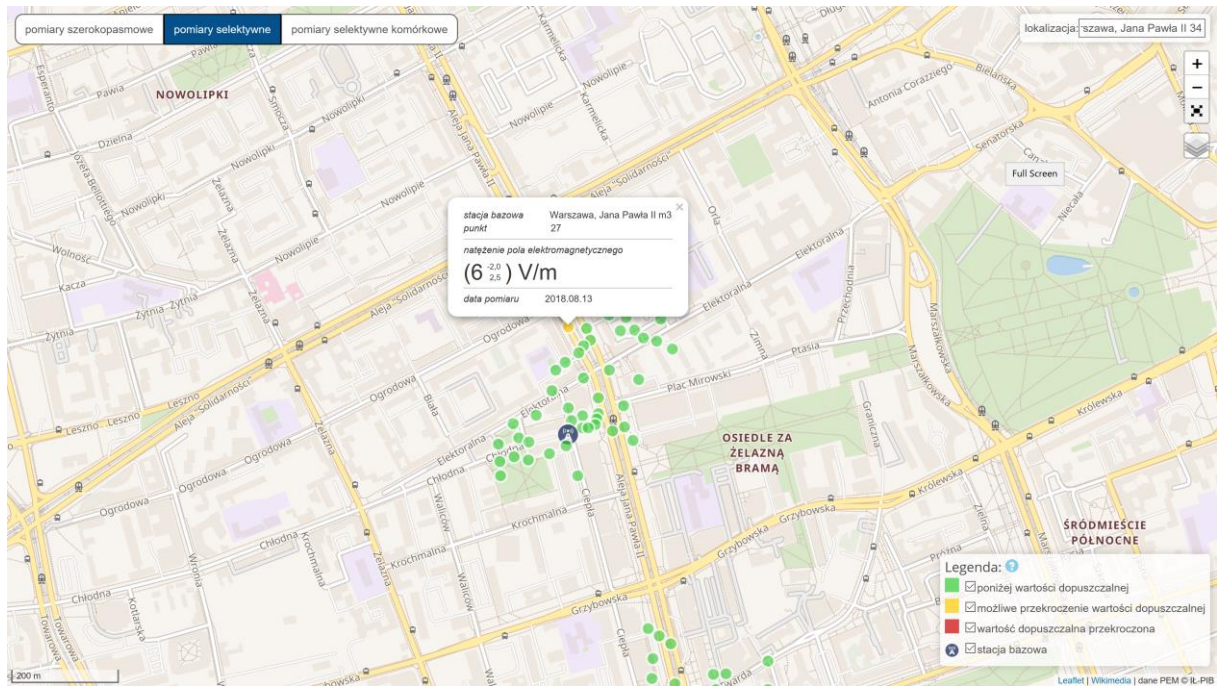
- brak przekroczeń – wyróżnienie kolorem zielonym   
kryterium:  $E < 7 \text{ V/m}$  oraz  $E+U\% \leq 7 \text{ V/m}$ ;
- możliwość wystąpienia przekroczeń – wyróżnienie kolorem żółtym   
kryterium:  $E \leq 7 \text{ V/m}$  oraz  $E+U\% > 7 \text{ V/m}$ ;
- wystąpienie przekroczeń – wyróżnienie kolorem czerwonym   
kryterium:  $E > 7 \text{ V/m}$  oraz  $E+U\% > 7 \text{ V/m}$ .

Wszystkie wyniki pomiarów wykonanych w roku 2018 (także wyniki z poprzednich kampanii pomiarowych z 2016 r. i 2017 r.) są prezentowane na mapie Polski w ogólnodostępnym serwisie [pem.itl.waw.pl](http://pem.itl.waw.pl). Wskazanie miasta oraz wybór lokalizacji (miasto, ulica), w której prowadzone były pomiary, pozwala na oglądanie wyników pomiarów w poszczególnych punktach pomiarowych. Istnieje także możliwość nałożenia filtrów na wyniki pomiarów, w zależności od rodzaju przeprowadzonych badań oraz uzyskanych wartości:

- pomiary szerokopasmowe, selektywne, selektywne tylko sieci komórkowych;
- wyniki pomiarów poniżej wartości dopuszczalnej, z możliwym przekroczeniem, z przekroczoną wartością dopuszczalną.



Rys. 4 Obrazowanie wyników pomiarów PEM – przykład: lokalizacje SBTK w Warszawie



Rys. 5 Obrazowanie wyników pomiarów PEM – przykład: lokalizacja SBTk z możliwym przekroczeniem dopuszczanego poziomu PEM

## 7. WYNIKI POMIARÓW – RLAN

Biorąc pod uwagę:

- wymagania, określone w rozporządzeniu Ministra Środowiska z dnia 30 października 2003 r. w sprawie dopuszczalnych poziomów pól elektromagnetycznych w środowisku oraz sposobów sprawdzania dotrzymania tych poziomów w miejscach dostępnych dla ludności (Dz. U. 2003, Nr 192, poz. 1883);
- wyniki badań poziomów pól elektromagnetycznych w otoczeniu punktów dostępnych sieci RLAN 2,4 GHz oraz 5 GHz, wykonanych w wyznaczonych punktach pomiarowych, w poszczególnych placówkach oświatowych,

w kolejnych podpunktach przedstawiono wnioski z wykonanych badań.

Opis pól – tabele wyników pomiarów selektywnych:

1. Lok. – oznaczenie punktu pomiarowego;
2. E – obliczona wartość natężenia pola elektrycznego w zakresie częstotliwości;
3. E-U% – minimalna wartość natężenia pola elektrycznego E z uwzględnieniem rozszerzonej niepewności pomiaru;
4. E+U% – maksymalna wartość natężenia pola elektrycznego E z uwzględnieniem rozszerzonej niepewności pomiaru.

Uwaga: Różnice pomiędzy poszczególnymi wartościami natężenia pola elektrycznego z uwzględnieniem rozszerzonej niepewności pomiaru (E-U%, E+U%), obliczonymi dla identycznej wartości natężenia pola elektrycznego ( $E_{zm}$ ), są związane z:

- koniecznością zaokrąglenia, zgodnie z Rozporządzeniem Ministra Środowiska z dnia 30 października 2003 r., wyników do jednego miejsca po przecinku;
- różnymi składowymi cząstkowymi rozszerzonej niepewności pomiaru dla poszczególnych zakresów częstotliwości.



### 7.1 Województwo dolnośląskie, Wrocław, Worcella

Stwierdza się, że w otoczeniu punktów dostępowych sieci RLAN 2,4 GHz oraz 5GHz, zlokalizowanej w Zespole Szkół Ekonomiczno-Administracyjnych im. Marii Dąbrowskiej na ul. Worcella 3 we Wrocławiu.

- a) zmierzone, w trakcie pomiarów selektywnych częstotliwościowo, maksymalne wartości natężenia pola elektrycznego we wszystkich 28 z 28 punktów pomiarowych, nie przekraczają wartości granicznej 7 V/m;
- b) obliczone, na podstawie wyników pomiarów selektywnych częstotliwościowo, wartości średniokwadratowe natężenia pola elektrycznego z uwzględnieniem oszacowanej rozszerzonej niepewności pomiaru (przedział ufności 95%), we wszystkich 28 z 28 punktów pomiarowych, nie przekraczają wartości granicznej 7 V/m.

Punkty pomiarowe: 1, 7, 9, 10, 11, 14, 17, 18, 19, 20, 23, 26 znajdowały się bezpośrednio pod punktami dostępowymi.

Tabl. 222 Wyniki pomiarów selektywnych  
– województwo dolnośląskie, Wrocław, Worcella

<b>1</b>	<b>2</b>	<b>3</b>	<b>4</b>
<b>Lok.</b>	<b>E</b>	<b>E+U%</b>	<b>E-U%</b>
<b>-</b>	<b>V/m</b>	<b>V/m</b>	<b>V/m</b>
<b>1.</b>	<b>0,4</b>	<b>0,5</b>	<b>0,2</b>
2.	0,5	0,6	0,3
3.	0,3	0,4	0,2
4.	0,5	0,8	0,4
5.	0,2	0,3	0,2
6.	0,2	0,3	0,2
<b>7.</b>	<b>0,4</b>	<b>0,5</b>	<b>0,2</b>
8.	0,5	0,8	0,4
<b>9.</b>	<b>1,0</b>	<b>1,3</b>	<b>0,7</b>
<b>10.</b>	<b>0,2</b>	<b>0,3</b>	<b>0,2</b>
<b>11.</b>	<b>1,1</b>	<b>1,5</b>	<b>0,7</b>
12.	0,3	0,5	0,2
13.	0,3	0,5	0,2
<b>14.</b>	<b>0,4</b>	<b>0,5</b>	<b>0,2</b>
15.	0,4	0,5	0,2
16.	0,4	0,5	0,2
<b>17.</b>	<b>0,2</b>	<b>0,3</b>	<b>0,2</b>
<b>18.</b>	<b>0,4</b>	<b>0,5</b>	<b>0,2</b>
<b>19.</b>	<b>0,8</b>	<b>1,1</b>	<b>0,6</b>
<b>20.</b>	<b>0,7</b>	<b>1,0</b>	<b>0,5</b>
21.	0,4	0,5	0,2
22.	0,4	0,5	0,2
<b>23.</b>	<b>0,7</b>	<b>1,0</b>	<b>0,5</b>
24.	0,7	0,9	0,4
25.	0,9	1,2	0,6
<b>26.</b>	<b>0,7</b>	<b>1,1</b>	<b>0,5</b>

1	2	3	4
Lok.	E	E+U%	E-U%
-	V/m	V/m	V/m
27.	0,6	0,9	0,5
28.	0,5	0,8	0,4

Szczegóły odnośnie przeprowadzonych badań oraz wyniki pomiarów zawarte są w Sprawozdaniu z badań nr 0110101018/RLAN\_WRO1– Załącznik 2.

## 7.2 Województwo dolnośląskie, Wrocław, Dawida

Stwierdza się, że w otoczeniu punktów dostępowych sieci RLAN 2,4 GHz, zlokalizowanej w Zespole Szkół Zawodowych nr 5 na ul. Jana Wł. Dawida 5 we Wrocławiu.

- zmierzone, w trakcie pomiarów selektywnych częstotliwościowo, maksymalne wartości natężenia pola elektrycznego we wszystkich 29 z 29 punktów pomiarowych, nie przekraczają wartości granicznej 7 V/m;
- obliczone, na podstawie wyników pomiarów selektywnych częstotliwościowo, wartości natężenia pola elektrycznego z uwzględnieniem oszacowanej rozszerzonej niepewności pomiaru (przedział ufności 95%), we wszystkich 29 z 29 punktów pomiarowych, nie przekraczają wartości granicznej 7 V/m.

Punkty pomiarowe: 1, 5, 10, 13, 16, 17, 18, 26, 28 znajdowały się bezpośrednio pod punktami dostępowymi.

Tabl. 223 Wyniki pomiarów selektywnych  
– województwo dolnośląskie, Wrocław, Dawida

1	2	3	4
Lok.	E	E+U%	E-U%
-	V/m	V/m	V/m
<b>1.</b>	<b>0,1</b>	<b>0,1</b>	<b>0,1</b>
2.	0,2	0,3	0,1
3.	0,2	0,3	0,1
4.	0,4	0,5	0,3
<b>5.</b>	<b>1,0</b>	<b>1,3</b>	<b>0,7</b>
6.	0,1	0,1	0,1
7.	0,6	0,8	0,4
8.	0,4	0,5	0,3
9.	0,6	0,8	0,4
<b>10.</b>	<b>0,7</b>	<b>0,9</b>	<b>0,5</b>
11.	0,7	0,9	0,5
12.	0,3	0,4	0,2
<b>13.</b>	<b>0,4</b>	<b>0,5</b>	<b>0,3</b>
14.	0,4	0,5	0,3
15.	0,7	0,9	0,5
<b>16.</b>	<b>0,3</b>	<b>0,4</b>	<b>0,2</b>
<b>17.</b>	<b>0,5</b>	<b>0,7</b>	<b>0,4</b>
<b>18.</b>	<b>0,6</b>	<b>0,8</b>	<b>0,4</b>
19.	0,8	1,1	0,6

<b>1</b>	<b>2</b>	<b>3</b>	<b>4</b>
<b>Lok.</b>	<b>E</b>	<b>E+U%</b>	<b>E-U%</b>
-	<b>V/m</b>	<b>V/m</b>	<b>V/m</b>
20.	0,5	0,7	0,4
21.	0,6	0,8	0,4
22.	0,4	0,5	0,3
23.	0,6	0,8	0,4
24.	0,5	0,7	0,4
25.	0,4	0,5	0,3
<b>26.</b>	<b>0,5</b>	<b>0,7</b>	<b>0,4</b>
27.	0,2	0,3	0,1
<b>28.</b>	<b>1,0</b>	<b>1,3</b>	<b>0,7</b>
29.	0,6	0,8	0,4

Szczegóły odnośnie przeprowadzonych badań oraz wyniki pomiarów zawarte są w Sprawozdaniu z badań nr 0110101018/RLAN\_WRO2– **Załącznik 2.**

### 7.3 Województwo kujawsko-pomorskie, Witoldowo

Stwierdza się, że w otoczeniu punktów dostępowych sieci RLAN 2,4 GHz zlokalizowanej w Szkole Podstawowej w Witoldowie, Witoldowo 33:

- a) zmierzone, w trakcie pomiarów selektywnych częstotliwościowo, maksymalne wartości natężenia pola elektrycznego we wszystkich 17 z 17 punktów pomiarowych, nie przekraczają wartości granicznej 7 V/m;
- b) obliczone, na podstawie wyników pomiarów selektywnych częstotliwościowo, wartości natężenia pola elektrycznego z uwzględnieniem oszacowanej rozszerzonej niepewności pomiaru (przedział ufności 95%), we wszystkich 17 z 17 punktów pomiarowych, nie przekraczają wartości granicznej 7 V/m.

Punkty pomiarowe: 1, 3 i 8 znajdowały się pod punktem dostępowym lub w bezpośrednim sąsiedztwie punktu dostępowego.

Tabl. 224 Wyniki pomiarów selektywnych  
– województwo kujawsko-pomorskie, Witoldowo

<b>1</b>	<b>2</b>	<b>3</b>	<b>4</b>
<b>Lok.</b>	<b>E</b>	<b>E+U%</b>	<b>E-U%</b>
-	<b>V/m</b>	<b>V/m</b>	<b>V/m</b>
<b>1.</b>	<b>0,2</b>	<b>0,3</b>	<b>0,1</b>
2.	0,0	0,0	0,0
<b>3.</b>	<b>0,6</b>	<b>0,8</b>	<b>0,4</b>
4.	0,5	0,7	0,4
5.	0,1	0,1	0,1
6.	0,1	0,1	0,1
7.	0,0	0,0	0,0
<b>8.</b>	<b>2,0</b>	<b>2,7</b>	<b>1,4</b>
9.	0,7	0,9	0,5
10.	0,5	0,7	0,4
11.	0,3	0,4	0,2

<b>1</b>	<b>2</b>	<b>3</b>	<b>4</b>
<b>Lok.</b>	<b>E</b>	<b>E+U%</b>	<b>E-U%</b>
-	<b>V/m</b>	<b>V/m</b>	<b>V/m</b>
12.	0,3	0,4	0,2
13.	0,7	0,9	0,5
14.	0,1	0,1	0,1
15.	0,1	0,1	0,1
16.	0,2	0,3	0,1
17.	0,5	0,7	0,4

Szczegóły odnośnie przeprowadzonych badań oraz wyniki pomiarów zawarte są w Sprawozdaniu z badań nr 0110101018/RLAN\_WIT01– **Załącznik 2**.

#### 7.4 Województwo kujawsko-pomorskie, Inowrocław, Kopernika

Stwierdza się, że w otoczeniu punktów dostępowych sieci RLAN 2,4 GHz zlokalizowanej w Szkole Podstawowej Nr 6 im. M. Kopernika w Inowrocławiu, ul. M. Kopernika 18:

- zmierzone, w trakcie pomiarów selektywnych częstotliwościowo, maksymalne wartości natężenia pola elektrycznego we wszystkich 34 z 34 punktów pomiarowych, nie przekraczają wartości granicznej 7 V/m;
- obliczone, na podstawie wyników pomiarów selektywnych częstotliwościowo, wartości natężenia pola elektrycznego z uwzględnieniem oszacowanej rozszerzonej niepewności pomiaru (przedział ufności 95%), we wszystkich 34 z 34 punktów pomiarowych, nie przekraczają wartości granicznej 7 V/m.

Punkty pomiarowe: 1, 4, 8, 12, 15, 19, 22, 24 i 28 znajdowały się pod punktem dostępowym lub w bezpośrednim sąsiedztwie punktu dostępowego.

Tabl. 225 Wyniki pomiarów selektywnych  
– województwo kujawsko-pomorskie, Inowrocław, Kopernika

<b>1</b>	<b>2</b>	<b>3</b>	<b>4</b>
<b>Lok.</b>	<b>E</b>	<b>E+U%</b>	<b>E-U%</b>
-	<b>V/m</b>	<b>V/m</b>	<b>V/m</b>
<b>1.</b>	<b>0,1</b>	<b>0,1</b>	<b>0,1</b>
2.	0,0	0,0	0,0
3.	0,1	0,1	0,1
<b>4.</b>	<b>0,9</b>	<b>1,2</b>	<b>0,6</b>
5.	0,6	0,8	0,4
6.	0,2	0,3	0,1
7.	0,1	0,1	0,1
<b>8.</b>	<b>0,9</b>	<b>1,2</b>	<b>0,6</b>
9.	0,5	0,7	0,4
10.	0,3	0,4	0,2
11.	0,1	0,1	0,1
<b>12.</b>	<b>1,3</b>	<b>1,7</b>	<b>0,9</b>
13.	0,3	0,4	0,2
14.	0,5	0,7	0,4
<b>15.</b>	<b>1,5</b>	<b>2,0</b>	<b>1,1</b>

<b>1</b>	<b>2</b>	<b>3</b>	<b>4</b>
<b>Lok.</b>	<b>E</b>	<b>E+U%</b>	<b>E-U%</b>
<b>-</b>	<b>V/m</b>	<b>V/m</b>	<b>V/m</b>
16.	0,3	0,4	0,2
17.	0,6	0,8	0,4
18.	0,2	0,3	0,1
<b>19.</b>	<b>0,8</b>	<b>1,1</b>	<b>0,6</b>
20.	0,3	0,4	0,2
21.	0,3	0,4	0,2
<b>22.</b>	<b>0,4</b>	<b>0,5</b>	<b>0,3</b>
23.	0,6	0,8	0,4
<b>24.</b>	<b>0,2</b>	<b>0,3</b>	<b>0,1</b>
25.	0,2	0,3	0,1
26.	0,0	0,0	0,0
27.	0,1	0,1	0,1
<b>28.</b>	<b>0,1</b>	<b>0,1</b>	<b>0,1</b>
29.	0,1	0,1	0,1
30.	0,0	0,0	0,0
31.	0,1	0,1	0,1
32.	0,1	0,1	0,1
33.	0,0	0,0	0,0
34.	0,0	0,0	0,0

Szczegóły odnośnie przeprowadzonych badań oraz wyniki pomiarów zawarte są w Sprawozdaniu z badań nr 0110101018/RLAN\_INO01– Załącznik 2.

### 7.5 Województwo lubelskie, Drzewce-Kolonia

Stwierdza się, że w otoczeniu punktów dostępowych sieci RLAN 2,4 GHz, zlokalizowanej w Szkole Podstawowej im. Ewy Szelburg-Zarembiny w Drzewcach-Kolonii 82A:

- zmierzone, w trakcie pomiarów selektywnych częstotliwościowo, maksymalne wartości natężenia pola elektrycznego we wszystkich 26 z 26 punktów pomiarowych, nie przekraczają wartości granicznej 7 V/m;
- obliczone, na podstawie wyników pomiarów selektywnych częstotliwościowo, wartości natężenia pola elektrycznego z uwzględnieniem oszacowanej rozszerzonej niepewności pomiaru (przedział ufności 95%), we wszystkich 26 z 26 punktów pomiarowych, nie przekraczają wartości granicznej 7 V/m.

Punkty pomiarowe: 1, 7, 25 znajdowały się pod punktem dostępowym lub w bezpośrednim sąsiedztwie punktu dostępowego.

Tabl. 226 Wyniki pomiarów selektywnych  
– województwo lubelskie, Drzewce-Kolonia

<b>1</b>	<b>2</b>	<b>3</b>	<b>4</b>
<b>Lok.</b>	<b>E</b>	<b>E+U%</b>	<b>E-U%</b>
<b>-</b>	<b>V/m</b>	<b>V/m</b>	<b>V/m</b>
<b>1.</b>	<b>1,1</b>	<b>1,5</b>	<b>0,8</b>
2.	0,4	0,5	0,3

<b>1</b>	<b>2</b>	<b>3</b>	<b>4</b>
<b>Lok.</b>	<b>E</b>	<b>E+U%</b>	<b>E-U%</b>
<b>-</b>	<b>V/m</b>	<b>V/m</b>	<b>V/m</b>
3.	0,0	0,0	0,0
4.	0,1	0,1	0,1
5.	0,2	0,3	0,1
6.	0,0	0,0	0,0
<b>7.</b>	<b>0,4</b>	<b>0,5</b>	<b>0,3</b>
8.	0,1	0,1	0,1
9.	0,1	0,1	0,1
10.	0,0	0,0	0,0
11.	0,0	0,0	0,0
12.	0,0	0,0	0,0
13.	0,1	0,1	0,1
14.	0,0	0,0	0,0
15.	0,0	0,0	0,0
16.	0,0	0,0	0,0
17.	0,0	0,0	0,0
18.	0,0	0,0	0,0
19.	0,1	0,1	0,1
20.	0,7	0,9	0,5
21.	1,8	2,4	1,3
22.	0,8	1,1	0,6
23.	0,5	0,7	0,4
24.	0,1	0,1	0,1
<b>25.</b>	<b>2,6</b>	<b>3,5</b>	<b>1,8</b>
26.	0,3	0,4	0,2

Szczegóły odnośnie przeprowadzonych badań oraz wyniki pomiarów zawarte są w Sprawozdaniu z badań nr 0110101018/RLAN\_DRZ01– **Załącznik 2.**

### **7.6 Województwo lubelskie, Zofiówka**

Stwierdza się, że w otoczeniu punktów dostępowych sieci RLAN 2,4 GHz, zlokalizowanej w Niepublicznym Gimnazjum im. Polskich Noblistów w Zofiówce 85:

- a) zmierzone, w trakcie pomiarów selektywnych częstotliwościowo, maksymalne wartości natężenia pola elektrycznego we wszystkich 25 z 25 punktów pomiarowych, nie przekraczają wartości granicznej 7 V/m;
- b) obliczone, na podstawie wyników pomiarów selektywnych częstotliwościowo, wartości natężenia pola elektrycznego z uwzględnieniem oszacowanej rozszerzonej niepewności pomiaru (przedział ufności 95%), we wszystkich 25 z 25 punktów pomiarowych, nie przekraczają wartości granicznej 7 V/m.

Punkty pomiarowe: 1, 5, 8, 13, 22, znajdowały się pod punktem dostępowym lub w bezpośrednim sąsiedztwie punktu dostępowego.

Tabl. 227 Wyniki pomiarów selektywnych  
– województwo lubelskie, Zofiówka

1	2	3	4
Lok.	E	E+U%	E-U%
-	V/m	V/m	V/m
<b>1.</b>	<b>1,7</b>	<b>2,3</b>	<b>1,2</b>
2.	0,2	0,3	0,2
3.	0,9	1,2	0,6
4.	0,9	1,2	0,6
<b>5.</b>	<b>1,5</b>	<b>2,0</b>	<b>1,1</b>
6.	0,6	0,8	0,4
7.	0,3	0,4	0,2
<b>8.</b>	<b>3,7</b>	<b>4,9</b>	<b>2,6</b>
9.	0,5	0,8	0,4
10.	0,2	0,3	0,2
11.	0,4	0,5	0,2
12.	0,3	0,4	0,2
<b>13.</b>	<b>1,6</b>	<b>2,1</b>	<b>1,1</b>
14.	0,9	1,2	0,6
15.	1,0	1,4	0,7
16.	0,7	1,0	0,5
17.	0,5	0,6	0,3
18.	0,4	0,5	0,2
19.	0,5	0,6	0,3
20.	1,1	1,5	0,8
21.	0,7	1,0	0,5
<b>22.</b>	<b>1,0</b>	<b>1,3</b>	<b>0,7</b>
23.	0,5	0,6	0,3
24.	0,3	0,4	0,2
25.	0,2	0,3	0,2

Szczegóły odnośnie przeprowadzonych badań oraz wyniki pomiarów zawarte są w Sprawozdaniu z badań nr 0110101018/RLAN\_ZOF01– **Załącznik 2.**

### 7.7 Województwo lubuskie, Zielona Góra, Szosa Kisielińska

Stwierdza się, że w otoczeniu punktów dostępowych sieci RLAN 2,4 GHz, zlokalizowanej w IV Liceum Ogólnokształcące na ul. Szosa Kisielińska 18 w Zielonej Górze:

- zmierzone, w trakcie pomiarów selektywnych częstotliwościowo, maksymalne wartości natężenia pola elektrycznego we wszystkich 25 z 25 punktów pomiarowych, nie przekraczają wartości granicznej 7 V/m;
- obliczone, na podstawie wyników pomiarów selektywnych częstotliwościowo, wartości natężenia pola elektrycznego z uwzględnieniem oszacowanej rozszerzonej niepewności pomiaru (przedział ufności 95%), we wszystkich 25 z 25 punktów pomiarowych, nie przekraczają wartości granicznej 7 V/m.

Punkty pomiarowe: 2, 3, 4, 5, 6, 7, 8, 10, 11, 13, 15, 16, 17, 18, 20, 21, 22, 23, 24, 25 znajdowały się bezpośrednio pod punktami dostępowymi.

Tabl. 228 Wyniki pomiarów selektywnych  
– województwo lubuskie, Zielona Góra, Szosa Kisielińska

1	2	3	4
Lok.	E	E+U%	E-U%
-	V/m	V/m	V/m
1.	0,4	0,5	0,3
2.	0,6	0,8	0,4
3.	0,9	1,2	0,6
4.	1,2	1,6	0,9
5.	1,3	1,7	0,9
6.	2,1	2,8	1,5
7.	1,1	1,5	0,8
8.	1,3	1,7	0,9
9.	0,5	0,7	0,4
10.	1,0	1,3	0,7
11.	0,6	0,8	0,4
12.	1,2	1,6	0,9
13.	0,9	1,2	0,6
14.	1,4	1,9	1,0
15.	1,3	1,7	0,9
16.	1,0	1,3	0,7
17.	1,5	2,0	1,1
18.	0,9	1,2	0,6
19.	0,3	0,4	0,2
20.	1,3	1,7	0,9
21.	1,1	1,5	0,8
22.	0,9	1,2	0,6
23.	0,5	0,7	0,4
24.	1,3	1,7	0,9
25.	1,0	1,3	0,7

Szczegóły odnośnie przeprowadzonych badań oraz wyniki pomiarów zawarte są w Sprawozdaniu z badań nr 0110101018/RLAN\_ZIE01– **Załącznik 2**.

### 7.8 Województwo lubuskie, Zielona Góra, św. Kingi

Stwierdza się, że w otoczeniu punktów dostępowych sieci RLAN 2,4 GHz, zlokalizowanej w Szkole Podstawowej nr 6 na ul. Św. Kingi 1 w Zielonej Górze:

- zmierzone, w trakcie pomiarów selektywnych częstotliwościowo, maksymalne wartości natężenia pola elektrycznego we wszystkich 20 z 20 punktów pomiarowych, nie przekraczają wartości granicznej 7 V/m;
- obliczone, na podstawie wyników pomiarów selektywnych częstotliwościowo, wartości natężenia pola elektrycznego z uwzględnieniem oszacowanej rozszerzonej niepewności pomiaru (przedział ufności 95%), we wszystkich 20 z 20 punktów pomiarowych, nie przekraczają wartości granicznej 7 V/m.

Punkty pomiarowe: 1, 2, 3, 18, 20 znajdowały się bezpośrednio pod punktami dostępowymi.



Tabl. 229 Wyniki pomiarów selektywnych  
– województwo lubuskie, Zielona Góra, św. Kingi

1	2	3	4
Lok.	E	E+U%	E-U%
-	V/m	V/m	V/m
1.	1,1	1,5	0,8
2.	0,2	0,3	0,1
3.	0,7	0,9	0,5
4.	0,1	0,1	0,1
5.	0,4	0,5	0,3
6.	0,2	0,3	0,1
7.	0,3	0,4	0,2
8.	0,6	0,8	0,4
9.	0,5	0,7	0,4
10.	0,0	0,0	0,0
11.	0,3	0,4	0,2
12.	0,2	0,3	0,1
13.	0,2	0,3	0,1
14.	0,0	0,0	0,0
15.	0,5	0,7	0,4
16.	0,2	0,3	0,1
17.	0,2	0,3	0,1
18.	0,2	0,3	0,1
19.	0,2	0,3	0,1
20.	1,1	1,5	0,8

Szczegóły odnośnie przeprowadzonych badań oraz wyniki pomiarów zawarte są w Sprawozdaniu z badań nr 0110101018/RLAN\_ZIE02– Załącznik 2.

### 7.9 Województwo łódzkie, Bełdów

Stwierdza się, że w otoczeniu punktów dostępowych sieci RLAN 2,4 GHz oraz 5 GHz zlokalizowanej w Szkole Podstawowej im. Ryszarda Wyrzykowskiego w Bełdowie 37:

- a) zmierzone, w trakcie pomiarów selektywnych częstotliwościowo, maksymalne wartości natężenia pola elektrycznego we wszystkich 25 z 25 punktów pomiarowych, nie przekraczają wartości granicznej 7 V/m;
- b) obliczone, na podstawie wyników pomiarów selektywnych częstotliwościowo, wartości średniokwadratowe natężenia pola elektrycznego z uwzględnieniem oszacowanej rozszerzonej niepewności pomiaru (przedział ufności 95%), we wszystkich 25 z 25 punktów pomiarowych, nie przekraczają wartości granicznej 7 V/m.

Punkty pomiarowe: 1, 3, 5, 10, 12 i 15, znajdowały się pod punktem dostępowym lub w bezpośrednim sąsiedztwie punktu dostępowego.

Tabl. 230 Wyniki pomiarów selektywnych  
– województwo łódzkie, Bełdów

1	2	3	4
Lok.	E	E+U%	E-U%
-	V/m	V/m	V/m
<b>1.</b>	<b>0,9</b>	<b>1,2</b>	<b>0,6</b>
2.	0,5	0,7	0,4
<b>3.</b>	<b>0,4</b>	<b>0,5</b>	<b>0,3</b>
4.	0,2	0,3	0,2
<b>5.</b>	<b>0,8</b>	<b>1,1</b>	<b>0,6</b>
6.	0,2	0,2	0,2
7.	0,2	0,2	0,2
8.	0,2	0,2	0,2
9.	0,2	0,2	0,2
<b>10.</b>	<b>0,8</b>	<b>1,1</b>	<b>0,6</b>
11.	0,3	0,4	0,2
<b>12.</b>	<b>3,0</b>	<b>4,0</b>	<b>2,1</b>
13.	0,9	1,2	0,6
14.	0,2	0,2	0,2
<b>15.</b>	<b>1,4</b>	<b>1,9</b>	<b>1,0</b>
16.	0,2	0,2	0,2
17.	0,1	0,1	0,1
18.	0,1	0,1	0,1
19.	0,1	0,1	0,1
20.	0,2	0,2	0,2
21.	0,1	0,1	0,1
22.	0,1	0,1	0,1
23.	0,3	0,4	0,2
24.	0,2	0,3	0,2
25.	0,2	0,2	0,2

Szczegóły odnośnie przeprowadzonych badań oraz wyniki pomiarów zawarte są w Sprawozdaniu z badań nr 0110101018/RLAN\_BEL01– **Załącznik 2**.

### 7.10 Województwo łódzkie, Popów, Poznańska

Stwierdza się, że w otoczeniu punktów dostępowych sieci RLAN 2,4 GHz zlokalizowanej w Szkole Podstawowej w Popowie, Łowicz ul. Poznańska 4:

- zmierzone, w trakcie pomiarów selektywnych częstotliwościowo, maksymalne wartości natężenia pola elektrycznego we wszystkich 41 z 41 punktów pomiarowych, nie przekraczają wartości granicznej 7 V/m;
- obliczone, na podstawie wyników pomiarów selektywnych częstotliwościowo, wartości natężenia pola elektrycznego z uwzględnieniem oszacowanej rozszerzonej niepewności pomiaru (przedział ufności 95%), we wszystkich 41 z 41 punktów pomiarowych, nie przekraczają wartości granicznej 7 V/m.

Punkty pomiarowe: 1, 3, 8 i 18, znajdowały się pod punktem dostępowym lub w bezpośrednim sąsiedztwie punktu dostępowego.

Tabl. 231 Wyniki pomiarów selektywnych  
– województwo łódzkie, Popów, Poznańska

<b>1</b>	<b>2</b>	<b>3</b>	<b>4</b>
<b>Lok.</b>	<b>E</b>	<b>E+U%</b>	<b>E-U%</b>
-	<b>V/m</b>	<b>V/m</b>	<b>V/m</b>
<b>1.</b>	<b>0,2</b>	<b>0,3</b>	<b>0,1</b>
2.	0,0	0,0	0,0
<b>3.</b>	<b>0,3</b>	<b>0,4</b>	<b>0,2</b>
4.	0,1	0,1	0,1
5.	0,0	0,0	0,0
6.	0,0	0,0	0,0
7.	0,0	0,0	0,0
<b>8.</b>	<b>1,6</b>	<b>2,1</b>	<b>1,1</b>
9.	0,4	0,5	0,3
10.	0,2	0,3	0,1
11.	0,0	0,0	0,0
12.	0,0	0,0	0,0
13.	0,0	0,0	0,0
14.	0,2	0,3	0,1
15.	0,0	0,0	0,0
16.	0,0	0,0	0,0
17.	0,0	0,0	0,0
<b>18.</b>	<b>0,5</b>	<b>0,7</b>	<b>0,4</b>
19.	0,2	0,3	0,1
20.	0,0	0,0	0,0
21.	0,0	0,0	0,0
22.	0,0	0,0	0,0
23.	0,0	0,0	0,0
24.	0,0	0,0	0,0
25.	0,0	0,0	0,0
26.	0,0	0,0	0,0
27.	0,0	0,0	0,0
28.	0,0	0,0	0,0
29.	0,0	0,0	0,0
30.	0,0	0,0	0,0
31.	0,0	0,0	0,0
32.	0,0	0,0	0,0
33.	0,0	0,0	0,0
34.	0,0	0,0	0,0
35.	0,0	0,0	0,0
36.	0,0	0,0	0,0
37.	0,0	0,0	0,0
38.	0,0	0,0	0,0
39.	0,1	0,1	0,1
40.	0,0	0,0	0,0
41.	0,1	0,1	0,1

Szczegóły odnośnie przeprowadzonych badań oraz wyniki pomiarów zawarte są w Sprawozdaniu z badań nr 0110101018/RLAN\_POP01– **Załącznik 2.**

### 7.11 Województwo małopolskie, Brzoskwinia

Stwierdza się, że w otoczeniu punktów dostępowych sieci RLAN 2,4 GHz zlokalizowanej w Szkole Podstawowej w Brzoskwini 129:

- zmierzone, w trakcie pomiarów selektywnych częstotliwościowo, maksymalne wartości natężenia pola elektrycznego we wszystkich 13 z 13 punktów pomiarowych, nie przekraczają wartości granicznej 7 V/m;
- obliczone, na podstawie wyników pomiarów selektywnych częstotliwościowo, wartości natężenia pola elektrycznego z uwzględnieniem oszacowanej rozszerzonej niepewności pomiaru (przedział ufności 95%), we wszystkich 13 z 13 punktów pomiarowych, nie przekraczają wartości granicznej 7 V/m.

Punkty pomiarowe: 2, 4, 13 znajdowały się bezpośrednio pod punktami dostępowymi.

Tabl. 232 Wyniki pomiarów selektywnych  
– województwo małopolskie, Brzoskwinia

1	2	3	4
Lok.	E	E+U%	E-U%
-	V/m	V/m	V/m
1.	1,0	1,3	0,7
2.	<b>0,5</b>	<b>0,7</b>	<b>0,4</b>
3.	0,3	0,4	0,2
4.	<b>1,0</b>	<b>1,3</b>	<b>0,7</b>
5.	0,8	1,1	0,6
6.	1,3	1,7	0,9
7.	0,1	0,1	0,1
8.	0,5	0,7	0,4
9.	0,9	1,2	0,6
10.	0,9	1,2	0,6
11.	0,9	1,2	0,6
12.	1,7	2,3	1,2
13.	<b>0,7</b>	<b>0,9</b>	<b>0,5</b>

Szczegóły odnośnie przeprowadzonych badań oraz wyniki pomiarów zawarte są w Sprawozdaniu z badań nr 0110101018/RLAN\_BRO01– **Załącznik 2.**

### 7.12 Województwo małopolskie, Kraków, Telimieny

Stwierdza się, że w otoczeniu punktów dostępowych sieci RLAN 2,4 GHz oraz 5 GHz zlokalizowanej w Zespole Szkół Ogólnokształcących nr 12 na ul. Telimieny 9 w Krakowie:

- zmierzone, w trakcie pomiarów selektywnych częstotliwościowo, maksymalne wartości natężenia pola elektrycznego we wszystkich 15 z 15 punktów pomiarowych, nie przekraczają wartości granicznej 7 V/m;
- obliczone, na podstawie wyników pomiarów selektywnych częstotliwościowo, wartości średniokwadratowe natężenia pola elektrycznego z uwzględnieniem oszacowanej

rozszerzonej niepewności pomiaru (przedział ufności 95%), we wszystkich 15 z 15 punktów pomiarowych, nie przekraczają wartości granicznej 7 V/m.

Punkty pomiarowe: 1, 4, 7, 10, 13 znajdowały się bezpośrednio pod punktami dostępowymi.

Tabl. 233 Wyniki pomiarów selektywnych  
– województwo małopolskie, Kraków, Telimeny

<b>1</b>	<b>2</b>	<b>3</b>	<b>4</b>
<b>Lok.</b>	<b>E</b>	<b>E+U%</b>	<b>E-U%</b>
-	<b>V/m</b>	<b>V/m</b>	<b>V/m</b>
<b>1.</b>	<b>1,0</b>	<b>1,4</b>	<b>0,7</b>
2.	0,5	0,8	0,4
3.	1,0	1,4	0,7
<b>4.</b>	<b>1,0</b>	<b>1,4</b>	<b>0,6</b>
5.	0,7	1,0	0,5
6.	0,7	1,0	0,5
<b>7.</b>	<b>1,0</b>	<b>1,3</b>	<b>0,7</b>
8.	0,5	0,8	0,4
9.	0,8	1,0	0,5
<b>10.</b>	<b>0,8</b>	<b>1,1</b>	<b>0,5</b>
11.	0,5	0,8	0,4
12.	0,3	0,4	0,2
<b>13.</b>	<b>0,8</b>	<b>1,1</b>	<b>0,6</b>
14.	1,0	1,3	0,7
15.	0,8	1,1	0,6

Szczegóły odnośnie przeprowadzonych badań oraz wyniki pomiarów zawarte są w Sprawozdaniu z badań nr 0110101018/RLAN\_KRA01– **Załącznik 2.**

### 7.13 Województwo mazowieckie, Warszawa, Ciasna

Stwierdza się, że w otoczeniu punktów dostępowych sieci RLAN 2,4 GHz zlokalizowanej w Szkole Podstawowej Nr 158 im. Jana Kilińskiego w Warszawie, ul. Ciasna 13:

- a) zmierzone, w trakcie pomiarów selektywnych częstotliwościowo, maksymalne wartości natężenia pola elektrycznego we wszystkich 30 z 30 punktów pomiarowych, nie przekraczają wartości granicznej 7 V/m;
- b) obliczone, na podstawie wyników pomiarów selektywnych częstotliwościowo, wartości natężenia pola elektrycznego z uwzględnieniem oszacowanej rozszerzonej niepewności pomiaru (przedział ufności 95%), we wszystkich 30 z 30 punktów pomiarowych, nie przekraczają wartości granicznej 7 V/m.

Punkty pomiarowe: 1, 10, 22 znajdowały się pod punktem dostępowym lub w bezpośrednim sąsiedztwie punktu dostępowego.

Tabl. 234 Wyniki pomiarów selektywnych  
– województwo mazowieckie, Warszawa, Ciasna

1	2	3	4
Lok.	E	E+U%	E-U%
-	V/m	V/m	V/m
<b>1.</b>	<b>1,0</b>	<b>1,3</b>	<b>0,7</b>
2.	0,5	0,7	0,4
3.	0,4	0,5	0,3
4.	0,1	0,1	0,1
5.	0,1	0,1	0,1
6.	0,2	0,3	0,1
7.	0,1	0,1	0,1
8.	0,1	0,1	0,1
9.	0,4	0,5	0,3
<b>10.</b>	<b>2,0</b>	<b>2,7</b>	<b>1,4</b>
11.	0,5	0,7	0,4
12.	0,2	0,3	0,1
13.	0,1	0,1	0,1
14.	0,1	0,1	0,1
15.	0,1	0,1	0,1
16.	0,2	0,3	0,1
17.	0,1	0,1	0,1
18.	0,1	0,1	0,1
19.	0,1	0,1	0,1
20.	0,6	0,8	0,4
21.	1,0	1,3	0,7
<b>22.</b>	<b>2,0</b>	<b>2,7</b>	<b>1,4</b>
23.	0,6	0,8	0,4
24.	0,2	0,3	0,1
25.	0,2	0,3	0,1
26.	0,1	0,1	0,1
27.	0,1	0,1	0,1
28.	0,0	0,0	0,0
29.	0,3	0,4	0,2
30.	0,0	0,0	0,0

Szczegóły odnośnie przeprowadzonych badań oraz wyniki pomiarów zawarte są w Sprawozdaniu z badań nr 0110101018/RLAN\_WAR01– **Załącznik 2.**

#### 7.14 Województwo mazowieckie, Warszawa, Cieszyńska

Stwierdza się, że w otoczeniu punktów dostępowych sieci RLAN 2,4 GHz oraz 5 GHz, zlokalizowanej w Szkole Podstawowej Nr 33 im. Wojsk Obrony Powietrznej Kraju w Warszawie, ul. Cieszyńska 8:

- a) zmierzone, w trakcie pomiarów selektywnych częstotliwościowo, maksymalne wartości natężenia pola elektrycznego we wszystkich 32 z 32 punktów pomiarowych, nie przekraczają wartości granicznej 7 V/m;

b) obliczone, na podstawie wyników pomiarów selektywnych częstotliwościowo, wartości średniokwadratowe natężenia pola elektrycznego z uwzględnieniem oszacowanej rozszerzonej niepewności pomiaru (przedział ufności 95%), we wszystkich 32 z 32 punktów pomiarowych, nie przekraczają wartości granicznej 7 V/m.

Punkty pomiarowe: 1, 8, 14, 16, 21 i 25 znajdowały się pod punktem dostępowym lub w bezpośrednim sąsiedztwie punktu dostępowego.

Tabl. 235 Wyniki pomiarów selektywnych  
– województwo mazowieckie, Warszawa, Cieszyńska

<b>1</b>	<b>2</b>	<b>3</b>	<b>4</b>
<b>Lok.</b>	<b>E</b>	<b>E+U%</b>	<b>E-U%</b>
<b>-</b>	<b>V/m</b>	<b>V/m</b>	<b>V/m</b>
<b>1.</b>	<b>0,5</b>	<b>0,7</b>	<b>0,4</b>
2.	0,2	0,2	0,2
3.	0,1	0,1	0,1
4.	0,2	0,2	0,2
5.	0,2	0,2	0,2
6.	0,1	0,1	0,1
7.	0,2	0,2	0,2
<b>8.</b>	<b>2,2</b>	<b>3,0</b>	<b>1,6</b>
9.	0,4	0,5	0,2
10.	0,1	0,1	0,1
11.	0,1	0,1	0,1
12.	0,2	0,2	0,2
13.	0,2	0,2	0,2
<b>14.</b>	<b>4,5</b>	<b>6,0</b>	<b>3,2</b>
15.	0,4	0,5	0,3
<b>16.</b>	<b>0,1</b>	<b>0,1</b>	<b>0,1</b>
17.	0,2	0,3	0,2
18.	0,2	0,2	0,2
19.	0,2	0,2	0,2
20.	0,2	0,2	0,2
<b>21.</b>	<b>0,8</b>	<b>1,1</b>	<b>0,6</b>
22.	0,2	0,2	0,2
23.	0,1	0,1	0,1
24.	0,1	0,1	0,1
<b>25.</b>	<b>1,1</b>	<b>1,5</b>	<b>0,8</b>
26.	0,7	0,9	0,5
27.	0,2	0,2	0,2
28.	0,3	0,4	0,2
29.	0,3	0,4	0,2
30.	0,2	0,2	0,2
31.	0,1	0,1	0,1
32.	0,2	0,3	0,2

Szczegóły odnośnie przeprowadzonych badań oraz wyniki pomiarów zawarte są w Sprawozdaniu z badań nr 0110101018/RLAN\_WAR02– Załącznik 2.

### 7.15 Województwo opolskie, Dąbrowa

Stwierdza się, że w otoczeniu punktów dostępowych sieci RLAN 2,4 GHz oraz 5 GHz, zlokalizowanej w Szkole Podstawowej na ul. Szkolnej 9 w Dąbrowie:

- a) zmierzone, w trakcie pomiarów selektywnych częstotliwościowo, maksymalne wartości natężenia pola elektrycznego we wszystkich 19 z 19 punktów pomiarowych, nie przekraczają wartości granicznej 7 V/m;
- b) obliczone, na podstawie wyników pomiarów selektywnych częstotliwościowo, wartości średniokwadratowe natężenia pola elektrycznego z uwzględnieniem oszacowanej rozszerzonej niepewności pomiaru (przedział ufności 95%), we wszystkich 19 z 19 punktów pomiarowych, nie przekraczają wartości granicznej 7 V/m.

Punkty pomiarowe: 1, 4, 7, 8, 10, 14, 17 znajdowały się bezpośrednio pod punktami dostępowymi.

Tabl. 236 Wyniki pomiarów selektywnych  
– województwo opolskie, Dąbrowa

<b>1</b>	<b>2</b>	<b>3</b>	<b>4</b>
<b>Lok.</b>	<b>E</b>	<b>E+U%</b>	<b>E-U%</b>
<b>-</b>	<b>V/m</b>	<b>V/m</b>	<b>V/m</b>
<b>1.</b>	<b>1,4</b>	<b>2,0</b>	<b>1,0</b>
2.	0,6	0,8	0,4
3.	0,7	1,0	0,5
<b>4.</b>	<b>1,3</b>	<b>1,8</b>	<b>0,9</b>
5.	0,6	0,9	0,5
6.	0,7	0,9	0,4
<b>7.</b>	<b>1,3</b>	<b>1,8</b>	<b>1,0</b>
<b>8.</b>	<b>0,7</b>	<b>0,9</b>	<b>0,4</b>
9.	0,4	0,6	0,2
<b>10.</b>	<b>1,1</b>	<b>1,5</b>	<b>0,8</b>
11.	0,4	0,6	0,2
12.	0,4	0,6	0,2
13.	0,4	0,5	0,2
<b>14.</b>	<b>0,8</b>	<b>1,0</b>	<b>0,5</b>
15.	0,7	1,1	0,5
16.	0,9	1,3	0,6
<b>17.</b>	<b>1,3</b>	<b>1,8</b>	<b>0,8</b>
18.	0,7	0,9	0,4
19.	1,0	1,5	0,6

Szczegóły odnośnie przeprowadzonych badań oraz wyniki pomiarów zawarte są w Sprawozdaniu z badań nr 0110101018/RLAN\_DAB01– **Załącznik 2.**



### 7.16 Województwo opolskie, Niemodlin

Stwierdza się, że w otoczeniu punktów dostępowych sieci RLAN 2,4 GHz oraz 5 GHz, zlokalizowanej w Szkole Podstawowej nr 1 na ul. Reymonta 9 w Niemodlinie:

- zmierzone, w trakcie pomiarów selektywnych częstotliwościowo, maksymalne wartości natężenia pola elektrycznego we wszystkich 15 z 15 punktów pomiarowych, nie przekraczają wartości granicznej 7 V/m;
- obliczone, na podstawie wyników pomiarów selektywnych częstotliwościowo, wartości średniokwadratowe natężenia pola elektrycznego z uwzględnieniem oszacowanej rozszerzonej niepewności pomiaru (przedział ufności 95%), we wszystkich 15 z 15 punktów pomiarowych, nie przekraczają wartości granicznej 7 V/m.

Punkty pomiarowe: 1, 4, 8, 12, 14, 15 znajdowały się bezpośrednio pod punktami dostępowymi.

Tabl. 237 Wyniki pomiarów selektywnych  
– województwo opolskie, Niemodlin, Reymonta

1	2	3	4
Lok.	E	E+U%	E-U%
-	V/m	V/m	V/m
<b>1.</b>	<b>1,3</b>	<b>1,7</b>	<b>0,9</b>
2.	0,5	0,7	0,3
3.	0,4	0,6	0,2
<b>4.</b>	<b>0,2</b>	<b>0,3</b>	<b>0,2</b>
5.	0,3	0,4	0,2
6.	0,5	0,8	0,3
7.	0,2	0,3	0,2
<b>8.</b>	<b>1,0</b>	<b>1,4</b>	<b>0,6</b>
9.	0,5	0,7	0,2
10.	0,5	0,8	0,3
11.	0,7	1,0	0,5
<b>12.</b>	<b>0,3</b>	<b>0,4</b>	<b>0,2</b>
13.	0,5	0,7	0,2
<b>14.</b>	<b>0,7</b>	<b>1,0</b>	<b>0,5</b>
<b>15.</b>	<b>0,2</b>	<b>0,3</b>	<b>0,2</b>

Szczegóły odnośnie przeprowadzonych badań oraz wyniki pomiarów zawarte są w Sprawozdaniu z badań nr 0110101018/RLAN\_NIE01– **Załącznik 2**.

### 7.17 Województwo podkarpackie, Brzezówka

Stwierdza się, że w otoczeniu punktów dostępowych sieci RLAN 2,4 GHz, zlokalizowanej w Szkole Podstawowej w Brzezówce 94:

- zmierzone, w trakcie pomiarów selektywnych częstotliwościowo, maksymalne wartości natężenia pola elektrycznego we wszystkich 11 z 11 punktów pomiarowych, nie przekraczają wartości granicznej 7 V/m;
- obliczone, na podstawie wyników pomiarów selektywnych częstotliwościowo, wartości natężenia pola elektrycznego z uwzględnieniem oszacowanej rozszerzonej

niepewności pomiaru (przedział ufności 95%), we wszystkich 11 z 11 punktów pomiarowych, nie przekraczają wartości granicznej 7 V/m.

Punkty pomiarowe: 1, 5 znajdowały się pod punktem dostępowym lub w bezpośrednim sąsiedztwie punktu pomiarowego.

Tabl. 238 Wyniki pomiarów selektywnych  
– województwo podkarpackie, Brzezówka

1	2	3	4
Lok.	E	E+U%	E-U%
-	V/m	V/m	V/m
<b>1.</b>	<b>0,3</b>	<b>0,4</b>	<b>0,2</b>
2.	0,3	0,4	0,2
3.	0,5	0,7	0,4
4.	0,3	0,4	0,2
<b>5.</b>	<b>1,2</b>	<b>1,6</b>	<b>0,9</b>
6.	0,1	0,1	0,1
7.	0,3	0,4	0,2
8.	0,0	0,0	0,0
9.	0,1	0,1	0,1
10.	0,0	0,0	0,0
11.	0,0	0,0	0,0

Szczegóły odnośnie przeprowadzonych badań oraz wyniki pomiarów zawarte są w Sprawozdaniu z badań nr 0110101018/RLAN\_BRZ01– Załącznik 2.

### 7.18 Województwo podkarpackie, Rzeszów, Hetmańska

Stwierdza się, że w otoczeniu punktów dostępowych sieci RLAN 2,4 GHz oraz 5 GHz, zlokalizowanej w Zespole Szkół Elektronicznych w Rzeszowie, ul. Hetmańska 120:

- zmierzone, w trakcie pomiarów selektywnych częstotliwościowo, maksymalne wartości natężenia pola elektrycznego we wszystkich 33 z 33 punktów pomiarowych, nie przekraczają wartości granicznej 7 V/m;
- obliczone, na podstawie wyników pomiarów selektywnych częstotliwościowo, wartości średniokwadratowe natężenia pola elektrycznego z uwzględnieniem oszacowanej rozszerzonej niepewności pomiaru (przedział ufności 95%), we wszystkich 33 z 33 punktów pomiarowych, nie przekraczają wartości granicznej 7 V/m.

Punkty pomiarowe: 1, 8, 12, 16, 20, 23, 26, 31 znajdowały się pod punktem dostępowym lub w bezpośrednim sąsiedztwie punktu dostępowego.

Tabl. 239 Wyniki pomiarów selektywnych  
– województwo podkarpackie, Rzeszów, Hetmańska

1	2	3	4
Lok.	E	E+U%	E-U%
-	V/m	V/m	V/m
<b>1.</b>	<b>1,8</b>	<b>2,4</b>	<b>1,3</b>
2.	0,9	1,3	0,6

<b>1</b>	<b>2</b>	<b>3</b>	<b>4</b>
<b>Lok.</b>	<b>E</b>	<b>E+U%</b>	<b>E-U%</b>
<b>-</b>	<b>V/m</b>	<b>V/m</b>	<b>V/m</b>
3.	0,7	1,0	0,5
4.	0,2	0,3	0,2
5.	0,2	0,2	0,2
6.	0,1	0,1	0,1
7.	0,9	1,3	0,5
<b>8.</b>	<b>1,5</b>	<b>2,0</b>	<b>1,1</b>
9.	0,5	0,8	0,4
10.	0,3	0,4	0,2
11.	0,3	0,4	0,2
<b>12.</b>	<b>1,0</b>	<b>1,3</b>	<b>0,6</b>
13.	0,3	0,4	0,2
14.	0,4	0,5	0,2
15.	0,2	0,3	0,2
<b>16.</b>	<b>0,3</b>	<b>0,4</b>	<b>0,2</b>
17.	0,3	0,4	0,2
18.	0,4	0,5	0,2
19.	0,2	0,2	0,2
<b>20.</b>	<b>1,5</b>	<b>2,1</b>	<b>1,1</b>
21.	0,6	0,9	0,4
22.	0,5	0,8	0,4
<b>23.</b>	<b>0,4</b>	<b>0,5</b>	<b>0,2</b>
24.	0,3	0,4	0,2
25.	0,3	0,4	0,2
<b>26.</b>	<b>1,1</b>	<b>1,4</b>	<b>0,7</b>
27.	0,4	0,5	0,2
28.	0,3	0,4	0,2
29.	0,2	0,2	0,2
30.	0,2	0,3	0,2
<b>31.</b>	<b>0,6</b>	<b>0,9</b>	<b>0,4</b>
32.	0,5	0,8	0,4
33.	0,5	0,6	0,3

Szczegóły odnośnie przeprowadzonych badań oraz wyniki pomiarów zawarte są w Sprawozdaniu z badań nr 0110101018/RLAN\_RZE01– **Załącznik 2**.

### 7.19 Województwo podlaskie, Białystok, Broniewskiego

Stwierdza się, że w otoczeniu punktów dostępowych sieci RLAN 2,4 GHz oraz 5 GHz, zlokalizowanej w Zespole Szkół Mechanicznych im. Św. Józefa Centrum Kształcenia Praktycznego Nr 2 w Białystoku, ul. W. Broniewskiego 14:

- a) zmierzone, w trakcie pomiarów selektywnych częstotliwościowo, maksymalne wartości natężenia pola elektrycznego we wszystkich 46 z 46 punktów pomiarowych, nie przekraczają wartości granicznej 7 V/m;
- b) obliczone, na podstawie wyników pomiarów selektywnych częstotliwościowo, wartości średniokwadratowe natężenia pola elektrycznego z uwzględnieniem oszacowanej

rozszerzonej niepewności pomiaru (przedział ufności 95%), we wszystkich 46 z 46 punktów pomiarowych, nie przekraczają wartości granicznej 7 V/m.

Punkty pomiarowe: 1, 5, 7, 9, 12, 15, 18, 24, 27, 31, 34, 36, 38, 41, 44 znajdowały się pod punktem dostępowym lub w bezpośrednim sąsiedztwie punktu dostępowego.

Tabl. 240 Wyniki pomiarów selektywnych  
– województwo podlaskie, Białystok, Broniewskiego

1	2	3	4
Lok.	E	E+U%	E-U%
-	V/m	V/m	V/m
<b>1.</b>	<b>1,6</b>	<b>2,2</b>	<b>0,9</b>
2.	0,7	1,0	0,5
3.	0,9	1,2	0,6
4.	0,2	0,3	0,2
<b>5.</b>	<b>1,1</b>	<b>1,5</b>	<b>0,8</b>
6.	0,3	0,4	0,2
<b>7.</b>	<b>0,7</b>	<b>0,9</b>	<b>0,5</b>
8.	0,2	0,3	0,2
<b>9.</b>	<b>0,6</b>	<b>0,8</b>	<b>0,4</b>
10.	0,5	0,7	0,4
11.	0,2	0,2	0,2
<b>12.</b>	<b>0,3</b>	<b>0,4</b>	<b>0,2</b>
13.	0,2	0,2	0,2
14.	0,3	0,4	0,2
<b>15.</b>	<b>1,0</b>	<b>1,3</b>	<b>0,7</b>
16.	0,3	0,4	0,2
17.	0,6	0,8	0,4
<b>18.</b>	<b>0,9</b>	<b>1,2</b>	<b>0,6</b>
19.	0,3	0,4	0,2
20.	0,7	0,9	0,5
21.	0,2	0,2	0,2
22.	0,2	0,2	0,2
23.	0,2	0,2	0,2
<b>24.</b>	<b>0,6</b>	<b>0,8</b>	<b>0,4</b>
25.	0,2	0,2	0,2
26.	0,1	0,1	0,1
<b>27.</b>	<b>0,4</b>	<b>0,5</b>	<b>0,3</b>
28.	0,6	0,8	0,4
29.	0,6	0,8	0,4
30.	0,3	0,4	0,2
<b>31.</b>	<b>0,3</b>	<b>0,4</b>	<b>0,2</b>
32.	0,4	0,5	0,3
33.	0,2	0,2	0,2
<b>34.</b>	<b>0,1</b>	<b>0,1</b>	<b>0,1</b>
35.	0,1	0,1	0,1
<b>36.</b>	<b>1,8</b>	<b>2,4</b>	<b>1,3</b>
37.	0,4	0,5	0,3
<b>38.</b>	<b>0,4</b>	<b>0,5</b>	<b>0,3</b>

1	2	3	4
Lok.	E	E+U%	E-U%
-	V/m	V/m	V/m
39.	0,2	0,3	0,2
40.	0,2	0,3	0,2
<b>41.</b>	<b>3,6</b>	<b>4,8</b>	<b>2,6</b>
42.	0,6	0,8	0,4
43.	0,4	0,5	0,3
<b>44.</b>	<b>1,3</b>	<b>1,7</b>	<b>0,9</b>
45.	0,9	1,2	0,6
46.	0,2	0,2	0,2

Szczegóły odnośnie przeprowadzonych badań oraz wyniki pomiarów zawarte są w Sprawozdaniu z badań nr 0110101018/RLAN\_BIA01– **Załącznik 2.**

## 7.20 Województwo podlaskie, Białystok, Piastowska

Stwierdza się, że w otoczeniu punktów dostępowych sieci RLAN 2,4 GHz zlokalizowanej w Liceum Ogólnokształcącym Nr VIII im. Kazimierza Wielkiego w Białystoku, ul. Piastowska 5:

- zmierzone, w trakcie pomiarów selektywnych częstotliwościowo, maksymalne wartości natężenia pola elektrycznego we wszystkich 22 z 22 punktów pomiarowych, nie przekraczają wartości granicznej 7 V/m;
- obliczone, na podstawie wyników pomiarów selektywnych częstotliwościowo, wartości natężenia pola elektrycznego z uwzględnieniem oszacowanej rozszerzonej niepewności pomiaru (przedział ufności 95%), we wszystkich 22 z 22 punktów pomiarowych, nie przekraczają wartości granicznej 7 V/m.

Punkty pomiarowe: 3, 5 i 7 znajdowały się pod punktem dostępowym lub w bezpośrednim sąsiedztwie punktu dostępowego.

Tabl. 241 Wyniki pomiarów selektywnych  
– województwo podlaskie, Białystok, Piastowska

1	2	3	4
Lok.	E	E+U%	E-U%
-	V/m	V/m	V/m
1.	0,5	0,7	0,4
2.	0,3	0,4	0,2
<b>3.</b>	<b>1,7</b>	<b>2,3</b>	<b>1,2</b>
4.	0,5	0,7	0,4
<b>5.</b>	<b>0,3</b>	<b>0,4</b>	<b>0,2</b>
6.	0,1	0,1	0,1
<b>7.</b>	<b>1,4</b>	<b>1,9</b>	<b>1,0</b>
8.	0,3	0,4	0,2
9.	0,1	0,1	0,1
10.	0,1	0,1	0,1
11.	0,0	0,0	0,0
12.	0,0	0,0	0,0

<b>1</b>	<b>2</b>	<b>3</b>	<b>4</b>
<b>Lok.</b>	<b>E</b>	<b>E+U%</b>	<b>E-U%</b>
<b>-</b>	<b>V/m</b>	<b>V/m</b>	<b>V/m</b>
13.	0,0	0,0	0,0
14.	0,0	0,0	0,0
15.	0,1	0,1	0,1
16.	0,6	0,8	0,4
17.	0,0	0,0	0,0
18.	0,0	0,0	0,0
19.	0,0	0,0	0,0
20.	0,0	0,0	0,0
21.	0,1	0,1	0,1
22.	0,1	0,1	0,1

Szczegóły odnośnie przeprowadzonych badań oraz wyniki pomiarów zawarte są w Sprawozdaniu z badań nr 0110101018/RLAN\_BIA02– **Załącznik 2**.

### 7.21 Województwo pomorskie, Gdańsk, Głęboka

Stwierdza się, że w otoczeniu punktów dostępowych sieci RLAN 2,4 GHz, zlokalizowanej w Zespole Szkół Ogólnokształcących Nr 6 w Gdańsku, ul. Głęboka 11:

- a) zmierzone, w trakcie pomiarów selektywnych częstotliwościowo, maksymalne wartości natężenia pola elektrycznego we wszystkich 29 z 29 punktów pomiarowych, nie przekraczają wartości granicznej 7 V/m;
- b) obliczone, na podstawie wyników pomiarów selektywnych częstotliwościowo, wartości średniokwadratowe natężenia pola elektrycznego z uwzględnieniem oszacowanej rozszerzonej niepewności pomiaru (przedział ufności 95%), we wszystkich 29 z 29 punktów pomiarowych, nie przekraczają wartości granicznej 7 V/m.

Punkty pomiarowe: 1, 3, 8 znajdowały się pod punktem dostępowym lub w bezpośrednim sąsiedztwie punktu dostępowego.

Tabl. 242 Wyniki pomiarów selektywnych  
– województwo pomorskie, Gdańsk, Głęboka

<b>1</b>	<b>2</b>	<b>3</b>	<b>4</b>
<b>Lok.</b>	<b>E</b>	<b>E+U%</b>	<b>E-U%</b>
<b>-</b>	<b>V/m</b>	<b>V/m</b>	<b>V/m</b>
<b>1.</b>	<b>2,4</b>	<b>3,2</b>	<b>1,7</b>
2.	0,8	1,1	0,6
<b>3.</b>	<b>1,1</b>	<b>1,5</b>	<b>0,8</b>
4.	0,2	0,3	0,1
5.	0,3	0,4	0,2
6.	0,0	0,0	0,0
7.	0,1	0,1	0,1
<b>8.</b>	<b>3,5</b>	<b>4,7</b>	<b>2,5</b>
9.	0,2	0,3	0,1
10.	1,1	1,5	0,8
11.	0,1	0,1	0,1

1	2	3	4
Lok.	E	E+U%	E-U%
-	V/m	V/m	V/m
12.	0,1	0,1	0,1
13.	0,6	0,8	0,4
14.	0,1	0,1	0,1
15.	0,1	0,1	0,1
16.	0,2	0,3	0,1
17.	0,1	0,1	0,1
18.	0,1	0,1	0,1
19.	0,1	0,1	0,1
20.	0,1	0,1	0,1
21.	0,1	0,1	0,1
22.	0,1	0,1	0,1
23.	0,1	0,1	0,1
24.	0,1	0,1	0,1
25.	0,1	0,1	0,1
26.	0,3	0,4	0,2
27.	0,1	0,1	0,1
28.	0,3	0,4	0,2
29.	0,4	0,5	0,3

Szczegóły odnośnie przeprowadzonych badań oraz wyniki pomiarów zawarte są w Sprawozdaniu z badań nr 0110101018/RLAN\_GDA01– Załącznik 2.

## 7.22 Województwo pomorskie, Starogard Gdański, Dominika

Stwierdza się, że w otoczeniu punktów dostępowych sieci RLAN 2,4 GHz oraz 5 GHz, zlokalizowanej w Publicznej Szkole Podstawowej Nr 6 im. J. Pawła II w Starogardzie Gdańskim, ul. Bp. Ks. Dominika 32:

- zmierzone, w trakcie pomiarów selektywnych częstotliwościowo, maksymalne wartości natężenia pola elektrycznego we wszystkich 32 z 32 punktów pomiarowych, nie przekraczają wartości granicznej 7 V/m;
- obliczone, na podstawie wyników pomiarów selektywnych częstotliwościowo, wartości średniokwadratowe natężenia pola elektrycznego z uwzględnieniem oszacowanej rozszerzonej niepewności pomiaru (przedział ufności 95%), we wszystkich 32 z 32 punktów pomiarowych, nie przekraczają wartości granicznej 7 V/m.

Punkty pomiarowe: 3, 5, 9, 12, 14, 18, 21, 24, 28, znajdowały się pod punktem dostępowym lub w bezpośrednim sąsiedztwie punktu dostępowego.

Tabl. 243 Wyniki pomiarów selektywnych  
– województwo pomorskie, Starogard Gdański, Dominika

1	2	3	4
Lok.	E	E+U%	E-U%
-	V/m	V/m	V/m
1.	0,4	0,5	0,2
2.	0,5	0,6	0,3

<b>1</b>	<b>2</b>	<b>3</b>	<b>4</b>
<b>Lok.</b>	<b>E</b>	<b>E+U%</b>	<b>E-U%</b>
<b>-</b>	<b>V/m</b>	<b>V/m</b>	<b>V/m</b>
<b>3.</b>	<b>1,8</b>	<b>2,5</b>	<b>1,3</b>
4.	0,4	0,6	0,2
<b>5.</b>	<b>4,4</b>	<b>5,9</b>	<b>3,1</b>
6.	1,3	1,7	0,9
7.	0,2	0,3	0,2
8.	0,2	0,2	0,2
<b>9.</b>	<b>3,2</b>	<b>4,2</b>	<b>2,2</b>
10.	0,6	0,8	0,4
11.	0,4	0,5	0,3
<b>12.</b>	<b>0,8</b>	<b>1,1</b>	<b>0,6</b>
13.	0,3	0,4	0,2
<b>14.</b>	<b>1,5</b>	<b>2,0</b>	<b>1,1</b>
15.	0,5	0,7	0,4
16.	0,3	0,4	0,2
17.	0,2	0,2	0,2
<b>18.</b>	<b>0,2</b>	<b>0,2</b>	<b>0,2</b>
19.	0,2	0,3	0,2
20.	0,1	0,1	0,1
<b>21.</b>	<b>2,1</b>	<b>2,8</b>	<b>1,5</b>
22.	1,1	1,5	0,8
23.	0,2	0,2	0,2
<b>24.</b>	<b>1,2</b>	<b>1,6</b>	<b>0,9</b>
25.	0,2	0,3	0,2
26.	0,3	0,4	0,2
27.	0,1	0,1	0,1
<b>28.</b>	<b>1,5</b>	<b>2,0</b>	<b>1,1</b>
29.	0,3	0,4	0,2
30.	0,2	0,3	0,2
31.	0,2	0,2	0,2
32.	0,2	0,2	0,2

Szczegóły odnośnie przeprowadzonych badań oraz wyniki pomiarów zawarte są w Sprawozdaniu z badań nr 0110101018/RLAN\_GDA02– **Załącznik 2**.

### 7.23 Województwo śląskie, Katowice, Mickiewicza

Stwierdza się, że w otoczeniu punktów dostępowych sieci RLAN 2,4 GHz oraz 5 GHz, zlokalizowanej w Liceum Ogólnokształcącym nr 3 na ul. Mickiewicza 11 w Katowicach:

- zmierzone, w trakcie pomiarów selektywnych częstotliwościowo, maksymalne wartości natężenia pola elektrycznego we wszystkich 32 z 32 punktów pomiarowych, nie przekraczają wartości granicznej 7 V/m;
- obliczone, na podstawie wyników pomiarów selektywnych częstotliwościowo, wartości średniokwadratowe natężenia pola elektrycznego z uwzględnieniem oszacowanej rozszerzonej niepewności pomiaru (przedział ufności 95%), we wszystkich 32 z 32 punktów pomiarowych, nie przekraczają wartości granicznej 7 V/m.



Punkty pomiarowe: 1, 7, 10, 13, 22, 26, 28, 29, 31 znajdowały się bezpośrednio pod punktami dostępowymi.

Tabl. 244 Wyniki pomiarów selektywnych  
– województwo śląskie, Katowice, Mickiewicza

<b>1</b>	<b>2</b>	<b>3</b>	<b>4</b>
<b>Lok.</b>	<b>E</b>	<b>E+U%</b>	<b>E-U%</b>
-	<b>V/m</b>	<b>V/m</b>	<b>V/m</b>
<b>1.</b>	<b>1,7</b>	<b>2,4</b>	<b>1,2</b>
2.	0,4	0,5	0,2
3.	0,4	0,5	0,2
4.	0,9	1,3	0,6
5.	0,8	1,2	0,6
6.	0,8	1,2	0,6
<b>7.</b>	<b>1,1</b>	<b>1,7</b>	<b>0,8</b>
8.	0,5	0,6	0,3
9.	0,7	0,9	0,4
<b>10.</b>	<b>1,1</b>	<b>1,5</b>	<b>0,7</b>
11.	0,6	0,9	0,5
12.	0,5	0,7	0,4
<b>13.</b>	<b>1,4</b>	<b>1,9</b>	<b>1,0</b>
14.	0,5	0,7	0,3
15.	0,7	1,0	0,5
16.	1,0	1,4	0,6
17.	0,7	0,9	0,4
18.	0,6	0,8	0,4
19.	0,9	1,3	0,6
20.	0,7	0,9	0,4
21.	0,6	0,9	0,4
<b>22.</b>	<b>1,5</b>	<b>2,1</b>	<b>1,0</b>
23.	0,2	0,3	0,2
24.	0,3	0,5	0,2
25.	0,5	0,7	0,3
<b>26.</b>	<b>1,1</b>	<b>1,4</b>	<b>0,7</b>
27.	0,5	0,6	0,3
<b>28.</b>	<b>1,0</b>	<b>1,4</b>	<b>0,6</b>
<b>29.</b>	<b>1,3</b>	<b>1,7</b>	<b>0,9</b>
30.	0,7	0,9	0,5
<b>31.</b>	<b>0,9</b>	<b>1,3</b>	<b>0,6</b>
32.	0,2	0,3	0,1

Szczegóły odnośnie przeprowadzonych badań oraz wyniki pomiarów zawarte są w Sprawozdaniu z badań nr 0110101018/RLAN\_KAT01– **Załącznik 2.**

### 7.24 Województwo śląskie, Katowice, Bolesława Chrobrego

Stwierdza się, że w otoczeniu punktów dostępowych sieci RLAN 2,4 GHz, zlokalizowanej w Zespole Szkół Ogólnokształcących nr 3 na ul. Bolesława Chrobrego 4 w Katowicach:

- zmierzone, w trakcie pomiarów selektywnych częstotliwościowo, maksymalne wartości natężenia pola elektrycznego we wszystkich 13 z 13 punktów pomiarowych, nie przekraczają wartości granicznej 7 V/m;
- obliczone, na podstawie wyników pomiarów selektywnych częstotliwościowo, wartości natężenia pola elektrycznego z uwzględnieniem oszacowanej rozszerzonej niepewności pomiaru (przedział ufności 95%), we wszystkich 13 z 13 punktów pomiarowych, nie przekraczają wartości granicznej 7 V/m.

Punkty pomiarowe: 3, 11, 13 znajdowały się bezpośrednio pod punktami dostępowymi.

Tabl. 245 Wyniki pomiarów selektywnych  
– województwo śląskie, Katowice, Bolesława Chrobrego

<b>1</b>	<b>2</b>	<b>3</b>	<b>4</b>
<b>Lok.</b>	<b>E</b>	<b>E+U%</b>	<b>E-U%</b>
-	<b>V/m</b>	<b>V/m</b>	<b>V/m</b>
1.	0,0	0,0	0,0
2.	0,0	0,0	0,0
<b>3.</b>	<b>0,6</b>	<b>0,8</b>	<b>0,4</b>
4.	0,3	0,4	0,2
5.	0,1	0,1	0,1
6.	0,2	0,3	0,1
7.	0,4	0,5	0,3
8.	0,2	0,3	0,1
9.	0,1	0,1	0,1
10.	0,0	0,0	0,0
<b>11.</b>	<b>0,4</b>	<b>0,5</b>	<b>0,3</b>
12.	0,2	0,3	0,1
<b>13.</b>	<b>0,3</b>	<b>0,4</b>	<b>0,2</b>

Szczegóły odnośnie przeprowadzonych badań oraz wyniki pomiarów zawarte są w Sprawozdaniu z badań nr 0110101018/RLAN\_KAT02– Załącznik 2.

### 7.25 Województwo świętokrzyskie, Kielce, Zagórska

Stwierdza się, że w otoczeniu punktów dostępowych sieci RLAN 2,4 GHz zlokalizowanej w Zespole Szkół Przemysłu Spożywczego w Kielcach, ul. Zagórska 14:

- zmierzone, w trakcie pomiarów selektywnych częstotliwościowo, maksymalne wartości natężenia pola elektrycznego we wszystkich 28 z 28 punktów pomiarowych, nie przekraczają wartości granicznej 7 V/m;
- obliczone, na podstawie wyników pomiarów selektywnych częstotliwościowo, wartości natężenia pola elektrycznego z uwzględnieniem oszacowanej rozszerzonej niepewności pomiaru (przedział ufności 95%), we wszystkich 28 z 28 punktów pomiarowych, nie przekraczają wartości granicznej 7 V/m.

Punkty pomiarowe: 1, 5, 12, 16, znajdowały się pod punktem dostępowym lub w bezpośrednim sąsiedztwie punktu dostępowego.

Tabl. 246 Wyniki pomiarów selektywnych  
– województwo świętokrzyskie, Kielce, Zagórska

<b>1</b>	<b>2</b>	<b>3</b>	<b>4</b>
<b>Lok.</b>	<b>E</b>	<b>E+U%</b>	<b>E-U%</b>
-	<b>V/m</b>	<b>V/m</b>	<b>V/m</b>
<b>1.</b>	<b>1,6</b>	<b>2,1</b>	<b>1,1</b>
2.	0,9	1,2	0,6
3.	0,5	0,7	0,4
4.	0,1	0,1	0,1
<b>5.</b>	<b>0,7</b>	<b>0,9</b>	<b>0,5</b>
6.	0,4	0,5	0,3
7.	0,7	0,9	0,5
8.	0,1	0,1	0,1
9.	0,7	0,9	0,5
10.	0,1	0,1	0,1
11.	0,1	0,1	0,1
<b>12.</b>	<b>3,0</b>	<b>4,0</b>	<b>2,1</b>
13.	0,5	0,7	0,4
14.	0,5	0,7	0,4
15.	0,1	0,1	0,1
<b>16.</b>	<b>0,5</b>	<b>0,7</b>	<b>0,4</b>
17.	0,6	0,8	0,4
18.	0,5	0,7	0,4
19.	0,1	0,1	0,1
20.	0,2	0,3	0,1
21.	0,1	0,1	0,1
22.	0,0	0,0	0,0
23.	0,1	0,1	0,1
24.	0,0	0,0	0,0
25.	0,1	0,1	0,1
26.	0,1	0,1	0,1
27.	0,0	0,0	0,0
28.	0,0	0,0	0,0

Szczegóły odnośnie przeprowadzonych badań oraz wyniki pomiarów zawarte są w Sprawozdaniu z badań nr 0110101018/RLAN\_KIE01– **Załącznik 2**.

### **7.26 Województwo świętokrzyskie, Kielce, Aleja Legionów**

Stwierdza się, że w otoczeniu punktów dostępowych sieci RLAN 2,4 GHz, zlokalizowanej w VII Liceum Ogólnokształcącym im. Józefa Piłsudskiego, I Liceum Profilowane (ZSP Nr 2) w Kielcach, Aleja Legionów 4:

- a) zmierzone, w trakcie pomiarów selektywnych częstotliwościowo, maksymalne wartości natężenia pola elektrycznego we wszystkich 52 z 52 punktów pomiarowych, nie przekraczają wartości granicznej 7 V/m;

b) obliczone, na podstawie wyników pomiarów selektywnych częstotliwościowo, wartości natężenia pola elektrycznego z uwzględnieniem oszacowanej rozszerzonej niepewności pomiaru (przedział ufności 95%), we wszystkich 52 z 52 punktów pomiarowych, nie przekraczają wartości granicznej 7 V/m.

Punkty pomiarowe: 1, 6, 11, 14, 18, 22, 25, 30, 32, 36, 40, 42, 49, znajdowały się pod punktem dostępowym lub w bezpośrednim sąsiedztwie punktu dostępowego.

Tabl. 247 Wyniki pomiarów selektywnych  
– województwo świętokrzyskie, Kielce, Aleja Legionów

<b>1</b>	<b>2</b>	<b>3</b>	<b>4</b>
<b>Lok.</b>	<b>E</b>	<b>E+U%</b>	<b>E-U%</b>
-	<b>V/m</b>	<b>V/m</b>	<b>V/m</b>
<b>1.</b>	<b>1,5</b>	<b>2,0</b>	<b>1,1</b>
2.	0,3	0,4	0,2
3.	0,1	0,1	0,1
4.	0,1	0,1	0,1
5.	0,0	0,0	0,0
<b>6.</b>	<b>1,4</b>	<b>1,9</b>	<b>1,0</b>
7.	0,5	0,7	0,4
8.	0,2	0,3	0,1
9.	0,1	0,1	0,1
10.	0,1	0,1	0,1
<b>11.</b>	<b>1,9</b>	<b>2,5</b>	<b>1,4</b>
12.	0,5	0,7	0,4
13.	0,3	0,4	0,2
<b>14.</b>	<b>0,6</b>	<b>0,8</b>	<b>0,4</b>
15.	0,3	0,4	0,2
16.	0,2	0,3	0,1
17.	0,1	0,1	0,1
<b>18.</b>	<b>1,5</b>	<b>2,0</b>	<b>1,1</b>
19.	0,5	0,7	0,4
20.	0,8	1,1	0,6
21.	0,2	0,3	0,1
<b>22.</b>	<b>1,0</b>	<b>1,3</b>	<b>0,7</b>
23.	0,1	0,1	0,1
24.	0,0	0,0	0,0
<b>25.</b>	<b>1,7</b>	<b>2,3</b>	<b>1,2</b>
26.	0,2	0,3	0,1
27.	0,1	0,1	0,1
28.	0,1	0,1	0,1
29.	0,0	0,0	0,0
<b>30.</b>	<b>3,2</b>	<b>4,3</b>	<b>2,3</b>
31.	0,9	1,2	0,6
<b>32.</b>	<b>1,2</b>	<b>1,6</b>	<b>0,9</b>
33.	0,1	0,1	0,1
34.	0,1	0,1	0,1
35.	0,3	0,4	0,2
<b>36.</b>	<b>1,5</b>	<b>2,0</b>	<b>1,1</b>

1	2	3	4
Lok.	E	E+U%	E-U%
-	V/m	V/m	V/m
37.	0,4	0,5	0,3
38.	0,0	0,0	0,0
39.	0,1	0,1	0,1
<b>40.</b>	<b>0,9</b>	<b>1,2</b>	<b>0,6</b>
41.	0,3	0,4	0,2
<b>42.</b>	<b>0,5</b>	<b>0,7</b>	<b>0,4</b>
43.	0,0	0,0	0,0
44.	0,0	0,0	0,0
45.	0,0	0,0	0,0
46.	0,0	0,0	0,0
47.	0,0	0,0	0,0
48.	0,0	0,0	0,0
<b>49.</b>	<b>0,4</b>	<b>0,5</b>	<b>0,3</b>
50.	0,0	0,0	0,0
51.	0,0	0,0	0,0
52.	0,0	0,0	0,0

Szczegóły odnośnie przeprowadzonych badań oraz wyniki pomiarów zawarte są w Sprawozdaniu z badań nr 0110101018/RLAN\_KIE02– **Załącznik 2.**

### 7.27 Województwo warmińsko-mazurskie, Olsztyn, Bałtycka

Stwierdza się, że w otoczeniu punktów dostępowych sieci RLAN 2,4 GHz oraz 5 GHz, zlokalizowanej w Zespole Szkół Elektronicznych i Telekomunikacyjnych w Olsztynie, ul. Bałtycka 37a:

- zmierzone, w trakcie pomiarów selektywnych częstotliwościowo, maksymalne wartości natężenia pola elektrycznego we wszystkich 99 z 99 punktów pomiarowych, nie przekraczają wartości granicznej 7 V/m;
- obliczone, na podstawie wyników pomiarów selektywnych częstotliwościowo, wartości średniokwadratowe natężenia pola elektrycznego z uwzględnieniem oszacowanej rozszerzonej niepewności pomiaru (przedział ufności 95%), we wszystkich 99 z 99 punktów pomiarowych, nie przekraczają wartości granicznej 7 V/m.

Punkty pomiarowe: 2, 4, 10, 11, 14, 31, 33, 34, 44, 47, 54, 56, 79, 82, znajdowały się pod punktem dostępowym lub w bezpośrednim sąsiedztwie punktu dostępowego.

Tabl. 248 Wyniki pomiarów selektywnych  
– województwo warmińsko-mazurskie, Olsztyn, Bałtycka

1	2	3	4
Lok.	E	E+U%	E-U%
-	V/m	V/m	V/m
1.	0,1	0,1	0,1
<b>2.</b>	<b>0,7</b>	<b>0,9</b>	<b>0,5</b>
3.	0,4	0,5	0,2
<b>4.</b>	<b>1,8</b>	<b>2,5</b>	<b>1,3</b>

<b>1</b>	<b>2</b>	<b>3</b>	<b>4</b>
<b>Lok.</b>	<b>E</b>	<b>E+U%</b>	<b>E-U%</b>
<b>-</b>	<b>V/m</b>	<b>V/m</b>	<b>V/m</b>
5.	0,4	0,5	0,2
6.	0,4	0,5	0,2
7.	0,4	0,5	0,2
8.	0,4	0,5	0,2
9.	0,4	0,6	0,2
<b>10.</b>	<b>0,8</b>	<b>1,0</b>	<b>0,5</b>
<b>11.</b>	<b>0,5</b>	<b>0,7</b>	<b>0,4</b>
12.	0,4	0,5	0,2
13.	0,4	0,5	0,2
<b>14.</b>	<b>0,4</b>	<b>0,6</b>	<b>0,2</b>
15.	0,4	0,5	0,2
16.	0,4	0,5	0,2
17.	0,4	0,5	0,2
18.	0,4	0,5	0,2
19.	0,4	0,5	0,2
20.	0,4	0,5	0,2
21.	0,4	0,5	0,2
22.	0,4	0,5	0,2
23.	0,4	0,5	0,2
24.	0,4	0,5	0,2
25.	0,4	0,5	0,2
26.	0,4	0,5	0,2
27.	0,4	0,5	0,2
28.	0,4	0,5	0,2
29.	0,4	0,5	0,2
30.	0,4	0,5	0,2
<b>31.</b>	<b>2,4</b>	<b>3,2</b>	<b>1,7</b>
32.	0,4	0,5	0,2
<b>33.</b>	<b>1,3</b>	<b>1,7</b>	<b>0,9</b>
<b>34.</b>	<b>1,8</b>	<b>2,5</b>	<b>1,3</b>
35.	0,4	0,5	0,2
36.	0,4	0,5	0,2
37.	0,4	0,5	0,2
38.	0,5	0,7	0,4
39.	0,3	0,4	0,2
40.	0,4	0,5	0,2
41.	0,4	0,5	0,2
42.	0,4	0,5	0,2
43.	0,4	0,5	0,2
<b>44.</b>	<b>1,4</b>	<b>1,9</b>	<b>1,0</b>
45.	0,4	0,5	0,2
46.	0,4	0,5	0,2
<b>47.</b>	<b>3,6</b>	<b>4,8</b>	<b>2,6</b>
48.	0,4	0,5	0,2
49.	0,5	0,7	0,4

<b>1</b>	<b>2</b>	<b>3</b>	<b>4</b>
<b>Lok.</b>	<b>E</b>	<b>E+U%</b>	<b>E-U%</b>
<b>-</b>	<b>V/m</b>	<b>V/m</b>	<b>V/m</b>
50.	0,4	0,6	0,2
51.	0,4	0,5	0,2
52.	0,4	0,5	0,2
53.	0,5	0,7	0,3
<b>54.</b>	<b>2,5</b>	<b>3,3</b>	<b>1,8</b>
55.	0,4	0,5	0,2
<b>56.</b>	<b>3,5</b>	<b>4,7</b>	<b>2,5</b>
57.	0,4	0,5	0,2
58.	0,4	0,5	0,2
59.	0,4	0,5	0,2
60.	0,4	0,5	0,2
61.	0,4	0,5	0,2
62.	0,4	0,5	0,2
63.	0,4	0,6	0,2
64.	0,4	0,5	0,2
65.	0,4	0,5	0,2
66.	0,4	0,5	0,2
67.	0,4	0,5	0,2
68.	0,5	0,6	0,3
69.	0,4	0,5	0,2
70.	0,4	0,5	0,2
71.	0,4	0,5	0,2
72.	0,4	0,5	0,2
73.	0,4	0,5	0,2
74.	0,4	0,5	0,2
75.	0,4	0,5	0,2
76.	0,4	0,5	0,2
77.	0,4	0,5	0,2
78.	0,4	0,5	0,2
<b>79.</b>	<b>3,0</b>	<b>4,0</b>	<b>2,1</b>
80.	0,4	0,5	0,2
81.	0,6	0,9	0,5
<b>82.</b>	<b>2,6</b>	<b>3,5</b>	<b>1,8</b>
83.	0,4	0,5	0,2
84.	0,5	0,6	0,3
85.	0,4	0,5	0,2
86.	0,4	0,5	0,2
87.	0,4	0,5	0,2
88.	0,4	0,5	0,2
89.	0,4	0,5	0,2
90.	0,4	0,5	0,2
91.	0,4	0,5	0,2
92.	0,4	0,5	0,2
93.	0,4	0,5	0,2
94.	0,4	0,5	0,2

1	2	3	4
Lok.	E	E+U%	E-U%
-	V/m	V/m	V/m
95.	0,4	0,5	0,2
96.	0,4	0,5	0,2
97.	0,4	0,5	0,2
98.	0,4	0,5	0,2
99.	0,4	0,5	0,2

Szczegóły odnośnie przeprowadzonych badań oraz wyniki pomiarów zawarte są w Sprawozdaniu z badań nr 0110101018/RLAN\_OLS01– Załącznik 2.

### 7.28 Województwo warmińsko-mazurskie, Olsztyn, Żołnierska

Stwierdza się, że w otoczeniu punktów dostępowych sieci RLAN 2,4 GHz oraz 5 GHz, zlokalizowanej w Zespole Szkół Budowlanych im. Żołnierzy Armii Krajowej w Olsztynie, ul. Żołnierska 15:

- zmierzone, w trakcie pomiarów selektywnych częstotliwościowo, maksymalne wartości natężenia pola elektrycznego we wszystkich 71 z 71 punktów pomiarowych, nie przekraczają wartości granicznej 7 V/m;
- obliczone, na podstawie wyników pomiarów selektywnych częstotliwościowo, wartości średniokwadratowe natężenia pola elektrycznego z uwzględnieniem oszacowanej rozszerzonej niepewności pomiaru (przedział ufności 95%), we wszystkich 71 z 71 punktów pomiarowych, nie przekraczają wartości granicznej 7 V/m.

Punkty pomiarowe: 2, 3, 20, 56 znajdowały się bezpośrednio pod punktem dostępowym.

Tabl. 249 Wyniki pomiarów selektywnych  
– województwo warmińsko-mazurskie, Olsztyn, Żołnierska

1	2	3	4
Lok.	E	E+U%	E-U%
-	V/m	V/m	V/m
1.	0,4	0,5	0,2
<b>2.</b>	<b>2,0</b>	<b>2,7</b>	<b>1,4</b>
<b>3.</b>	<b>1,3</b>	<b>1,7</b>	<b>0,9</b>
4.	0,4	0,5	0,2
5.	0,4	0,5	0,2
6.	0,4	0,5	0,2
7.	0,4	0,5	0,2
8.	0,4	0,5	0,2
9.	0,4	0,5	0,2
10.	0,4	0,6	0,2
11.	0,4	0,5	0,2
12.	0,4	0,5	0,2
13.	0,4	0,5	0,2
14.	0,4	0,5	0,2
15.	0,4	0,5	0,2
16.	0,4	0,5	0,2



<b>1</b>	<b>2</b>	<b>3</b>	<b>4</b>
<b>Lok.</b>	<b>E</b>	<b>E+U%</b>	<b>E-U%</b>
<b>-</b>	<b>V/m</b>	<b>V/m</b>	<b>V/m</b>
17.	0,4	0,5	0,2
18.	0,4	0,5	0,2
19.	0,4	0,5	0,2
<b>20.</b>	<b>3,8</b>	<b>5,1</b>	<b>2,7</b>
21.	0,5	0,7	0,4
22.	0,4	0,5	0,2
23.	0,4	0,5	0,2
24.	0,4	0,5	0,2
25.	0,4	0,5	0,2
26.	0,4	0,5	0,2
27.	0,4	0,5	0,2
28.	0,4	0,5	0,2
29.	0,4	0,5	0,2
30.	0,4	0,5	0,2
31.	0,4	0,5	0,2
32.	0,4	0,5	0,2
33.	0,4	0,5	0,2
34.	0,4	0,5	0,2
35.	0,4	0,5	0,2
36.	0,4	0,5	0,2
37.	0,4	0,5	0,2
38.	0,4	0,5	0,2
39.	0,4	0,5	0,2
40.	0,4	0,5	0,2
41.	0,4	0,5	0,2
42.	0,4	0,5	0,2
43.	0,4	0,5	0,2
44.	0,4	0,5	0,2
45.	0,4	0,5	0,2
46.	0,4	0,5	0,2
47.	0,4	0,5	0,2
48.	0,4	0,5	0,2
49.	0,4	0,5	0,2
50.	0,4	0,5	0,2
51.	0,4	0,5	0,2
52.	0,4	0,5	0,2
53.	0,4	0,5	0,2
54.	0,4	0,5	0,2
55.	0,4	0,5	0,2
<b>56.</b>	<b>4,3</b>	<b>5,7</b>	<b>3,1</b>
57.	0,8	1,0	0,5
58.	0,4	0,5	0,2
59.	0,4	0,5	0,2
60.	0,4	0,5	0,2
61.	0,4	0,6	0,2

<b>1</b>	<b>2</b>	<b>3</b>	<b>4</b>
<b>Lok.</b>	<b>E</b>	<b>E+U%</b>	<b>E-U%</b>
<b>-</b>	<b>V/m</b>	<b>V/m</b>	<b>V/m</b>
62.	0,4	0,5	0,2
63.	0,4	0,5	0,2
64.	0,4	0,5	0,2
65.	0,4	0,5	0,2
66.	0,4	0,5	0,2
67.	0,4	0,5	0,2
68.	0,4	0,5	0,2
69.	0,4	0,5	0,2
70.	0,4	0,5	0,2
71.	0,4	0,5	0,2

Szczegóły odnośnie przeprowadzonych badań oraz wyniki pomiarów zawarte są w Sprawozdaniu z badań nr 0110101018/RLAN\_OLS02– **Załącznik 2**.

### 7.29 Województwo wielkopolskie, Poznań, Prądyńskiego

Stwierdza się, że w otoczeniu punktów dostępowych sieci RLAN 2,4 GHz, zlokalizowanej w Szkole Podstawowej nr 25 na ul. Prądyńskiego 53 w Poznaniu:

- zmierzone, w trakcie pomiarów selektywnych częstotliwościowo, maksymalne wartości natężenia pola elektrycznego we wszystkich 15 z 15 punktów pomiarowych, nie przekraczają wartości granicznej 7 V/m;
- obliczone, na podstawie wyników pomiarów selektywnych częstotliwościowo, wartości natężenia pola elektrycznego z uwzględnieniem oszacowanej rozszerzonej niepewności pomiaru (przedział ufności 95%), we wszystkich 15 z 15 punktów pomiarowych, nie przekraczają wartości granicznej 7 V/m.

Punkty pomiarowe: 1, 4, 5, 6, 7, 10, 13 znajdowały się bezpośrednio pod punktami dostępowymi.

Tabl. 250 Wyniki pomiarów selektywnych  
– województwo wielkopolskie, Poznań, Prądyńskiego 53

<b>1</b>	<b>2</b>	<b>3</b>	<b>4</b>
<b>Lok.</b>	<b>E</b>	<b>E+U%</b>	<b>E-U%</b>
<b>-</b>	<b>V/m</b>	<b>V/m</b>	<b>V/m</b>
<b>1.</b>	<b>1,1</b>	<b>1,5</b>	<b>0,8</b>
2.	0,9	1,2	0,6
3.	0,7	0,9	0,5
<b>4.</b>	<b>0,9</b>	<b>1,2</b>	<b>0,6</b>
<b>5.</b>	<b>0,6</b>	<b>0,8</b>	<b>0,4</b>
<b>6.</b>	<b>0,8</b>	<b>1,1</b>	<b>0,6</b>
<b>7.</b>	<b>1,9</b>	<b>2,5</b>	<b>1,4</b>
8.	0,8	1,1	0,6
9.	0,7	0,9	0,5
<b>10.</b>	<b>3,6</b>	<b>4,8</b>	<b>2,6</b>
11.	0,9	1,2	0,6

<b>1</b>	<b>2</b>	<b>3</b>	<b>4</b>
<b>Lok.</b>	<b>E</b>	<b>E+U%</b>	<b>E-U%</b>
-	<b>V/m</b>	<b>V/m</b>	<b>V/m</b>
12.	2,1	2,8	1,5
<b>13.</b>	<b>1,6</b>	<b>2,1</b>	<b>1,1</b>
14.	0,6	0,8	0,4
15.	0,9	1,2	0,6

Szczegóły odnośnie przeprowadzonych badań oraz wyniki pomiarów zawarte są w Sprawozdaniu z badań nr 0110101018/RLAN\_POZ01– **Załącznik 2.**

### 7.30 Województwo wielkopolskie, Poznań, Bydgoska

Stwierdza się, że w otoczeniu punktów dostępowych sieci RLAN 2,4 GHz, zlokalizowanej w Poznańskiej Ogólnokształcącej Szkole Muzycznej I stopnia nr 2 na ul. Bydgoskiej 4 w Poznaniu:

- zmierzone, w trakcie pomiarów selektywnych częstotliwościowo, maksymalne wartości natężenia pola elektrycznego we wszystkich 31 z 31 punktów pomiarowych, nie przekraczają wartości granicznej 7 V/m;
- obliczone, na podstawie wyników pomiarów selektywnych częstotliwościowo, wartości natężenia pola elektrycznego z uwzględnieniem oszacowanej rozszerzonej niepewności pomiaru (przedział ufności 95%), we wszystkich 31 z 31 punktów pomiarowych, nie przekraczają wartości granicznej 7 V/m.

Punkty pomiarowe: 1, 6, 7, 10, 13, 17, 18, 20, 23, 27 znajdowały się bezpośrednio pod punktami dostępowymi.

Tabl. 251 Wyniki pomiarów selektywnych  
– województwo wielkopolskie, Poznań, Bydgoska

<b>1</b>	<b>2</b>	<b>3</b>	<b>4</b>
<b>Lok.</b>	<b>E</b>	<b>E+U%</b>	<b>E-U%</b>
-	<b>V/m</b>	<b>V/m</b>	<b>V/m</b>
<b>1.</b>	<b>0,2</b>	<b>0,3</b>	<b>0,1</b>
2.	0,3	0,4	0,2
3.	0,1	0,1	0,1
4.	0,3	0,4	0,2
5.	0,1	0,1	0,1
<b>6.</b>	<b>0,1</b>	<b>0,1</b>	<b>0,1</b>
<b>7.</b>	<b>0,1</b>	<b>0,1</b>	<b>0,1</b>
8.	0,2	0,3	0,1
9.	0,2	0,3	0,1
<b>10.</b>	<b>0,3</b>	<b>0,4</b>	<b>0,2</b>
11.	0,3	0,4	0,2
12.	0,8	1,1	0,6
<b>13.</b>	<b>0,2</b>	<b>0,3</b>	<b>0,1</b>
14.	0,3	0,4	0,2
15.	0,5	0,7	0,4
16.	0,1	0,1	0,1

1	2	3	4
Lok.	E	E+U%	E-U%
-	V/m	V/m	V/m
<b>17.</b>	<b>0,5</b>	<b>0,7</b>	<b>0,4</b>
<b>18.</b>	<b>0,8</b>	<b>1,1</b>	<b>0,6</b>
19.	0,5	0,7	0,4
<b>20.</b>	<b>0,4</b>	<b>0,5</b>	<b>0,3</b>
21.	0,3	0,4	0,2
22.	0,2	0,3	0,1
<b>23.</b>	<b>0,6</b>	<b>0,8</b>	<b>0,4</b>
24.	0,4	0,5	0,3
25.	0,1	0,1	0,1
26.	0,5	0,7	0,4
<b>27.</b>	<b>0,7</b>	<b>0,9</b>	<b>0,5</b>
28.	0,4	0,5	0,3
29.	0,1	0,1	0,1
30.	0,1	0,1	0,1
31.	0,1	0,1	0,1

Szczegóły odnośnie przeprowadzonych badań oraz wyniki pomiarów zawarte są w Sprawozdaniu z badań nr 0110101018/RLAN\_POZ02– Załącznik 2.

### 7.31 Województwo zachodniopomorskie, Szczecin, Pomorska

Stwierdza się, że w otoczeniu punktów dostępowych sieci RLAN 2,4 GHz oraz 5 GHz, zlokalizowanej w III Liceum Ogólnokształcącym na ul. Pomorskiej 150 w Szczecinie:

- zmierzone, w trakcie pomiarów selektywnych częstotliwościowo, maksymalne wartości natężenia pola elektrycznego we wszystkich 17 z 17 punktów pomiarowych, nie przekraczają wartości granicznej 7 V/m;
- obliczone, na podstawie wyników pomiarów selektywnych częstotliwościowo, wartości średniokwadratowe natężenia pola elektrycznego z uwzględnieniem oszacowanej rozszerzonej niepewności pomiaru (przedział ufności 95%), we wszystkich 17 z 17 punktów pomiarowych, nie przekraczają wartości granicznej 7 V/m.

Punkty pomiarowe: 1, 4, 7, 10, 14 znajdowały się bezpośrednio pod punktami dostępowymi.

Tabl. 252 Wyniki pomiarów selektywnych  
– województwo zachodniopomorskie, Szczecin, Pomorska

1	2	3	4
Lok.	E	E+U%	E-U%
-	V/m	V/m	V/m
1.	1,6	2,1	1,1
2.	0,3	0,4	0,2
3.	0,5	0,7	0,4
<b>4.</b>	<b>0,2</b>	<b>0,3</b>	<b>0,1</b>
5.	1,0	1,3	0,7
6.	1,0	1,3	0,7

1	2	3	4
Lok.	E	E+U%	E-U%
-	V/m	V/m	V/m
<b>7.</b>	<b>0,1</b>	<b>0,1</b>	<b>0,1</b>
8.	0,2	0,3	0,1
9.	0,4	0,5	0,3
<b>10.</b>	<b>0,2</b>	<b>0,3</b>	<b>0,1</b>
11.	0,2	0,3	0,1
12.	0,4	0,5	0,3
13.	0,6	0,8	0,4
<b>14.</b>	<b>1,2</b>	<b>1,6</b>	<b>0,9</b>
15.	0,4	0,5	0,3
16.	0,4	0,5	0,3
17.	0,6	0,8	0,4

Szczegóły odnośnie przeprowadzonych badań oraz wyniki pomiarów zawarte są w Sprawozdaniu z badań nr 0110101018/RLAN\_SZC01– **Załącznik 2.**

### 7.32 Województwo zachodniopomorskie, Szczecin, Hoża

Stwierdza się, że w otoczeniu punktów dostępowych sieci RLAN 2,4 GHz oraz 5 GHz, zlokalizowanej w Zespole Szkół nr 5 na ul. Hoża 3 w Szczecinie:

- zmierzone, w trakcie pomiarów selektywnych częstotliwościowo, maksymalne wartości natężenia pola elektrycznego we wszystkich 25 z 25 punktów pomiarowych, nie przekraczają wartości granicznej 7 V/m;
- obliczone, na podstawie wyników pomiarów selektywnych częstotliwościowo, wartości średniokwadratowe natężenia pola elektrycznego z uwzględnieniem oszacowanej rozszerzonej niepewności pomiaru (przedział ufności 95%), we wszystkich 25 z 25 punktów pomiarowych, nie przekraczają wartości granicznej 7 V/m.

Punkty pomiarowe: 1, 2, 3, 5, 7, 8, 10, 11, 12, 13, 15, 16, 18, 19, 20 znajdowały się bezpośrednio pod punktami dostępowymi.

Tabl. 253 Wyniki pomiarów selektywnych  
– województwo zachodniopomorskie, Szczecin, Hoża

1	2	3	4
Lok.	E	E+U%	E-U%
-	V/m	V/m	V/m
<b>1.</b>	<b>0,9</b>	<b>1,2</b>	<b>0,6</b>
<b>2.</b>	<b>0,2</b>	<b>0,3</b>	<b>0,1</b>
<b>3.</b>	<b>0,4</b>	<b>0,5</b>	<b>0,3</b>
4.	0,3	0,4	0,2
<b>5.</b>	<b>0,4</b>	<b>0,5</b>	<b>0,3</b>
6.	0,3	0,4	0,2
<b>7.</b>	<b>0,7</b>	<b>0,9</b>	<b>0,5</b>
<b>8.</b>	<b>0,3</b>	<b>0,4</b>	<b>0,2</b>
9.	0,1	0,1	0,1
<b>10.</b>	<b>0,4</b>	<b>0,5</b>	<b>0,3</b>

<b>1</b>	<b>2</b>	<b>3</b>	<b>4</b>
<b>Lok.</b>	<b>E</b>	<b>E+U%</b>	<b>E-U%</b>
<b>-</b>	<b>V/m</b>	<b>V/m</b>	<b>V/m</b>
<b>11.</b>	<b>0,2</b>	<b>0,3</b>	<b>0,1</b>
<b>12.</b>	<b>0,3</b>	<b>0,4</b>	<b>0,2</b>
<b>13.</b>	<b>0,4</b>	<b>0,5</b>	<b>0,3</b>
14.	0,3	0,4	0,2
<b>15.</b>	<b>0,4</b>	<b>0,5</b>	<b>0,3</b>
<b>16.</b>	<b>0,5</b>	<b>0,7</b>	<b>0,4</b>
17.	0,2	0,3	0,1
<b>18.</b>	<b>0,4</b>	<b>0,5</b>	<b>0,3</b>
<b>19.</b>	<b>0,4</b>	<b>0,5</b>	<b>0,3</b>
<b>20.</b>	<b>0,4</b>	<b>0,5</b>	<b>0,3</b>
21.	0,6	0,9	0,4
22.	0,9	1,3	0,5
23.	0,2	0,3	0,1
24.	0,1	0,1	0,1
25.	0,3	0,4	0,2

Szczegóły odnośnie przeprowadzonych badań oraz wyniki pomiarów zawarte są w Sprawozdaniu z badań nr 0110101018/RLAN\_SZC02– **Załącznik 2.**

## 8. PODSUMOWANIE I WNIOSKI Z POMIARÓW – RLAN

Pomiary PEM w otoczeniu punktów dostępowych sieci RLAN 2,4 GHz oraz 5 GHz, wykonane w 32 lokalizacjach, pozwalają sformułować następujące wnioski:

- największe wartości natężenia pól elektrycznych występują w bezpośrednim otoczeniu punktu dostępowego i są tym większe, im mniejsza odległość od punktu dostępowego. Mierzone natężenie pola elektrycznego na wysokościach od 0,3 m do 2 m zależy m.in. od wysokości, na której jest zainstalowany punkt dostępowy. Na przykład:
  - w przypadku punktu dostępowego zainstalowanego w budynku Szkoły Podstawowej Nr 33 w Warszawie, ul. Cieszyńska, pracującego w zakresach częstotliwości 2400 ÷ 2483,5 MHz oraz 5150 ÷ 5350 MHz, 5470 ÷ 5725 MHz, w punkcie pomiarowym nr 14, znajdującym się bezpośrednio pod punktem dostępowym, przy min. odległości anteny pomiarowej od punktu dostępowego 0,6 m, największa obliczona wartość natężenia pola elektrycznego, w zakresie częstotliwości 2400 ÷ 2483,5 MHz, wynosiła 4,5 V/m;
  - w przypadku punktu dostępowego zainstalowanego w budynku Szkoły Publicznej Podstawowej Nr 6 w Stargardzie Gdańskim, ul. Bp. Ks. Dominika, pracującego w zakresach częstotliwości 2400 ÷ 2483,5 MHz, w punkcie pomiarowym nr 5, znajdującym się bezpośrednio pod punktem dostępowym, przy min. odległości anteny pomiarowej od punktu dostępowego 0,6 m, największa obliczona wartość natężenia pola elektrycznego wynosiła 4,4 V/m;
  - w przypadku punktu dostępowego zainstalowanego w budynku Zespołu Szkół Budowlanych w Olsztynie, ul. Żołnierska, pracującego w zakresach częstotliwości 2400 ÷ 2483,5 MHz oraz 5150 ÷ 5350 MHz, 5470 ÷ 5725 MHz, w punkcie pomiarowym nr 56, znajdującym się bezpośrednio pod punktem dostępowym, przy min. odległości anteny pomiarowej od punktu dostępowego 0,6 m, największa obliczona wartość natężenia pola elektrycznego, w zakresie częstotliwości 2400 ÷ 2483,5 MHz, wynosiła 4,3 V/m;
- we wszystkich punktach pomiarowych, zlokalizowanych zarówno wewnątrz jak i na zewnątrz pomieszczeń, wartość średniokwadratowa natężenia pól elektrycznych, obliczona na podstawie wykonanych pomiarów selektywnych częstotliwościowo, nie przekracza wartości dopuszczalnej w miejscach dostępnych dla ludności;
- we wszystkich punktach pomiarowych, zlokalizowanych zarówno wewnątrz jak i na zewnątrz pomieszczeń, wartość średniokwadratowa natężenia pól elektrycznych, obliczona z uwzględnieniem oszacowanej rozszerzonej niepewności pomiaru na podstawie wykonanych pomiarów selektywnych częstotliwościowo, nie przekracza wartości dopuszczalnej w miejscach dostępnych dla ludności.

W Tabl. 254 przedstawione są maksymalne wartości poziomego natężenia pola elektrycznego, uzyskane w wyniku przeprowadzonych pomiarów selektywnych oraz wykonanych obliczeń, w 32 wytypowanych do pomiarów lokalizacjach placówek oświatowych na terenie kraju.

Opis pól w tabeli:

E – obliczona wartość natężenia pola elektrycznego w zakresie częstotliwości;

E-U% – minimalna wartość natężenia pola elektrycznego E z uwzględnieniem rozszerzonej niepewności pomiaru;

E+U% – maksymalna wartość natężenia pola elektrycznego E z uwzględnieniem rozszerzonej niepewności pomiaru.

Tabl. 254 Maksymalne wartości poziomego natężenia pola elektrycznego w otoczeniu punktów dostępowych RLAN

Lp.	Województwo	Lokalizacja	Liczba pionów pom.	E (sel.)	E-U% (sel.)	E+U% (sel.)
1	Dolnośląskie	Wrocław, Dawida	29	1,0	0,7	1,3
2	Dolnośląskie	Wrocław, Worcella	28	1,1	0,7	1,5
3	Kujawsko-Pomorskie	Inowrocław, Kopernika	34	1,5	1,1	2,0
4	Kujawsko-Pomorskie	Witoldowo	17	2,0	1,4	2,7
5	Lubelskie	Drzewce-Kolonia	26	2,6	1,8	3,5
6	Lubelskie	Zofiówka	25	3,7	2,6	4,9
7	Lubuskie	Zielona Góra, Szosa Kisielińska	25	2,1	1,5	2,8
8	Lubuskie	Zielona Góra, św. Kingi	20	1,1	0,8	1,5
9	Łódzkie	Bełdów	25	3,0	2,1	4,0
10	Łódzkie	Popów, Poznańska	41	1,6	1,1	2,1
11	Małopolskie	Brzoskwinia	13	1,7	1,2	2,3
12	Małopolskie	Kraków, Telimeny	15	1,0	0,7	1,4
13	Mazowieckie	Warszawa, Ciasna	30	2,0	1,4	2,7
<b>14</b>	<b>Mazowieckie</b>	<b>Warszawa, Cieszyńska</b>	<b>32</b>	<b>4,5</b>	<b>3,2</b>	<b>6,0</b>
15	Opolskie	Dąbrowa	19	1,4	1,0	2,0
16	Opolskie	Niemodlin	15	1,3	0,9	1,7
17	Podkarpackie	Brzezówka	11	1,8	1,3	2,4
18	Podkarpackie	Rzeszów, Hetmańska	33	1,8	1,3	2,4
19	Podlaskie	Białystok, Broniewskiego	46	3,6	2,6	4,8
20	Podlaskie	Białystok, Piastowska	22	1,7	1,2	2,3
21	Pomorskie	Gdańsk, Głębocka	29	3,5	2,5	4,7
<b>22</b>	<b>Pomorskie</b>	<b>Starogard Gdański, Dominika</b>	<b>32</b>	<b>4,4</b>	<b>3,1</b>	<b>5,9</b>
23	Śląskie	Katowice, Mickiewicza	32	1,7	1,2	2,4






Lp.	Województwo	Lokalizacja	Liczba pionów pom.	E (sel.)	E-U% (sel.)	E+U% (sel.)
24	Śląskie	Katowice, Bolesława Chrobrego	13	0,6	0,4	0,9
25	Świętokrzyskie	Kielce, Legionów	52	3,2	2,3	4,3
26	Świętokrzyskie	Kielce, Zagórska	28	3,0	2,1	4,0
27	Warmińsko-Mazurskie	Olsztyn, Bałtycka	98	3,6	2,6	4,8
<b>28</b>	<b>Warmińsko-Mazurskie</b>	<b>Olsztyn, Żołnierska</b>	<b>70</b>	<b>4,3</b>	<b>3,1</b>	<b>5,7</b>
29	Wielkopolskie	Poznań, Bydgoska	31	0,8	0,6	1,1
30	Wielkopolskie	Poznań, Prądyńskiego	15	3,6	2,6	4,8
31	Zachodniopomorskie	Szczecin, Hoża	25	0,9	0,6	1,3
32	Zachodniopomorskie	Szczecin, Pomorska	17	1,6	1,1	2,1
<b>Razem liczba punktów pomiarowych</b>			<b>948</b>			

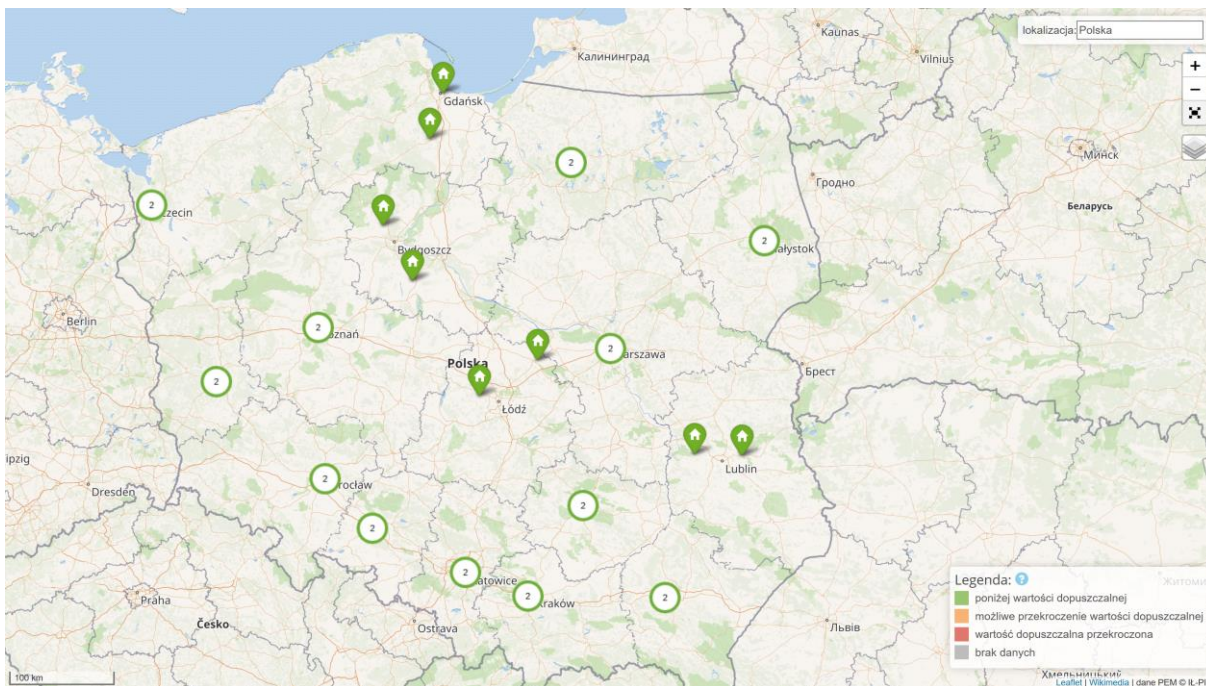
Na Rys. 6 i Rys. 7 przedstawione zostały przykładowe mapy służące obrazowaniu wyników pomiarów PEM wykonywanych w otoczeniu punktów dostępowych sieci RLAN, w placówkach oświatowych wytypowanych do pomiarów.

Wszystkie wyniki pomiarów wykonanych w roku 2018 (także wyniki z poprzedniej kampanii pomiarowej w 2017 r.) są prezentowane na mapie Polski w ogólnodostępnym serwisie [pem.itl.waw.pl](http://pem.itl.waw.pl).

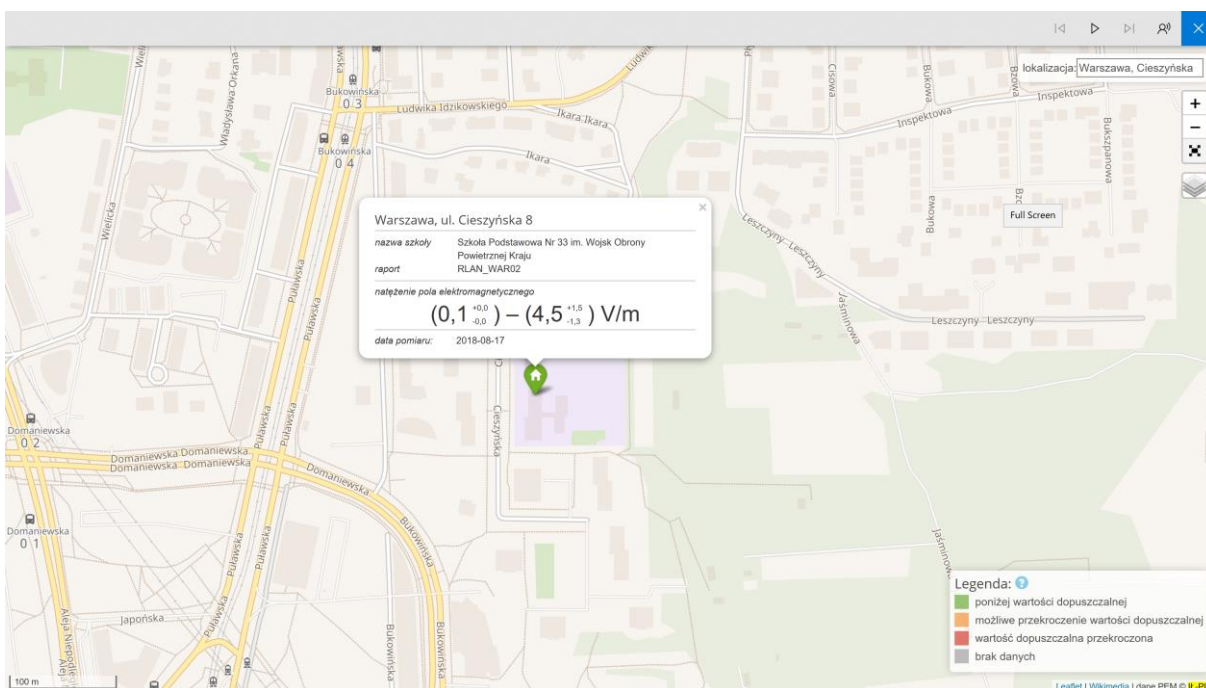
Każda placówka oświatowa, w której prowadzone były pomiary, została wyróżniona graficznie (odpowiednim kolorem) w zależności od uzyskanych wyników poziomu PEM:

- brak przekroczeń – wyróżnienie kolorem zielonym   
kryterium:  $E < 7 \text{ V/m}$  oraz  $E+U\% \leq 7 \text{ V/m}$ ;
- możliwość wystąpienia przekroczeń – wyróżnienie kolorem żółtym   
kryterium:  $E \leq 7 \text{ V/m}$  oraz  $E+U\% > 7 \text{ V/m}$ ;
- wystąpienie przekroczeń – wyróżnienie kolorem czerwonym   
kryterium:  $E > 7 \text{ V/m}$  oraz  $E+U\% > 7 \text{ V/m}$ .

Wskazanie na mapie miasta oraz placówki oświatowej, w której prowadzone były pomiary, pozwala na odczytanie maksymalnej wartości poziomu natężenia pola elektrycznego w otoczeniu punktów dostępowych RLAN, jaki uzyskano w prowadzonych w tej placówce pomiarach.



Rys. 6 Obrazowanie wyników pomiarów PEM – przykład: placówki oświatowe z RLAN



Rys. 7 Obrazowanie wyników pomiarów PEM – przykład: wybrana placówka oświatowa



Instytut Łączności – Państwowy Instytut Badawczy  
ul. Szachowa 1, 04-894 Warszawa

[www.il-pib.pl](http://www.il-pib.pl)

